

學會用

第48回講演会

講演予稿集

昭和45年11月4日～11月7日

於 京都府勤労会館

日本地球電氣磁氣学会

日本地球電気磁気学会

第48回総会並びに講演会プログラム

期日 昭和45年11月4日(水)・5日(木)・6日(金)・7日(土)

会場 京都府労働会館(京都市中京区烏丸丸太町通下る)

電話 (075) 221-7821, 7822

| 日 時 | | 9 | 9:30 | 10 | 11 | 12 | 12:30 | 13 | 13:30 | 14 | 15 | 16 | 16:30 | 17 | 18 | | | |
|--------------|------|---------|----------|----|------|----|-----------|----|-------|----|-------|-----|-------|----|----|--|--|--|
| 11月4日 (水) | 第1会場 | | 中間圏・電離圏 | | | | 中間圏・電離圏 | | | | 運営委員会 | | | | | | | |
| | 第2会場 | | 地磁気・地球内部 | | | | 地磁気・地球内部 | | | | | | | | | | | |
| 11月5日 (木) | 第1会場 | 中間圏・電離圏 | | | | | 極域現象 | | | | 評議員会 | | | | | | | |
| | 第2会場 | 岩石磁気 | | | 岩石磁気 | | 岩石磁気 | | | | | | | | | | | |
| 11月6日 (金) | 第1会場 | 磁気圏プラズマ | | | | | 特別講演・総会 | | | | | 懇親会 | | | | | | |
| | 第2会場 | 観測方法 | | | | | | | | | | | | | | | | |
| 11月7日 (土) | 第1会場 | 磁気圏プラズマ | | | | | 太陽風 | | | | | | | | | | | |
| | 第2会場 | 宇宙線 | | | | | 電波伝播・大気電気 | | | | | | | | | | | |

第1日 11月4日(水)

中間圏・電離圏 於 第1会場(10:00—12:30)

開会の辞

- 1-1 早川幸男・伊藤浩式・松本敏雄・西村徹郎・小野忠良(名大理)赤外夜光の観測 (10分)
- 1-2 広野求和・内野修・牧野行雄(九大理)上層大気成分観測に用いるDye Laserの特性(1) (15分)
- 1-3 上山弘・有賀規(東北大理)レーザーレーダー試験観測 (15分)
- 1-4 上山弘(東北大理)市川敏朗(岐阜大教養)上層大気の分光観測 (15分)

- 1-5 渡谷邦彦（鳥取大）Xe+O₂放電によるOI λ 5577の発光 (12分)
 1-6 小川利紘・渡辺隆（東大理）中間紫外線アルベドー球面大気の場合 (15分)
 1-7 岩坂泰信（東大理）100 Km領域の熱構造について (10分)
 1-8 岩坂泰信（東大理）100 Km領域の大気組成と対流（鉛直方向）によるO, O₂の輸送 (10分)
 1-9 石嶺剛（電波研）流星風について (15分)
 1-10 石嶺剛（電波研）アンペヤ力の大気潮汐に及ぼす効果について (15分)

地磁気・地球内部 於 第2会場 (10:00—12:30)

- 2-1 藤田尚美・田島稔（国土地理院）海底磁力計（I） (10分)
 2-2 加藤愛雄・青山巖・遠山文雄（東海大工）バルーンによる地磁気測定 (10分)
 2-3 水野浩雄（国土地理院）一等磁気測量の資料による地磁気変化量分布について (15分)
 2-4 本藏義守（東大地震研）三宅島における地磁気変化異常(2) (15分)
 2-5 本藏義守（東大地震研）三宅島における地磁気変化異常(3) (15分)
 2-6 前田坦・鈴木亮（京大理）住友則彦（京大教養）瑞穂町（京都府）における地磁気観測について (8分)
 2-7 荒木健・大久保謙二（地磁気観測所）女満別、鹿屋における地磁気日変化について (10分)

中間圈・電離圏 於 第1会場 (13:30—17:00)

- 1-11 前田憲一（京大工）E層下部の電子密度分布に関する考察 (15分)
 1-12 平尾邦雄・小山孝一郎（東大宇宙研）下部電離層の電子温度について (15分)
 1-13 藤原玄夫・広野求和（九大理）Es Wind Shear理論における金属イオンの役割に対する考察 (15分)
 1-14 丸橋克英（電波研）電離圏・磁気圏のイオン分布に関するモデル (15分)
 1-15 藤高和信（東大理）夜間E-F中間層の生成について (10分)
 1-16 北村泰一（九大理）電離層内の長周期振動 (15分)
 1-17 三浦輝夫・並川富一（阪市大理）台風による内部重力波の励起と地磁気変化 (15分)
 1-18 深尾昌一郎・加藤進（京大工）Ionosphere Perturbed by Gravity Wave — Numerical Experiment — (15分)
 1-19 村田宏雄（岐阜大工）電離層ダイナモ理論 II β -plane (15分)
 1-20 加藤進（京大工）Ion Cloudの運動 (15分)
 1-21 前田坦（京大理）電離層における中性・電離大気の運動(1) (15分)
 1-22 前田坦（京大理）電離層非周期風による電流系(2) (10分)

地磁気・地球内部 於 第2会場 (13:30—16:00)

- 2-8 太田恆次郎（京大教養）夜間Sq変化について (10分)
 2-9 西田泰典（北大理）北海道における地磁気短周期変化(II) (10分)
 2-10 加藤愛雄・瀬戸正弘・早坂孝（東北工大）東海地方のCA観測 (10分)

- 2-11 宮腰潤一郎 (鳥取大教養) 安原通博 (京都教育大) 住友則彦 (京大教養) 鈴木亮
 (京大理) 鳥取砂丘における地電流観測について (15分)
- 2-12 柳原一夫 (地磁気観測所) 関東地方における地表電流と電場磁場 (15分)
- 2-13 白木正規・柳原一夫 (地磁気観測所) 地電流の局所的および局地的異常について (15分)
- 2-14 福島直・富田宏・飯島健 (東大理) 地磁気鉛直成分変動を考慮したsfe電流系 (15分)
- 2-15 藤井尚美・井内登 (国土地理院) ランダムに分布した磁気双極子による全磁力分布 (10分)
- 2-16 行武毅 (東大地震研) 地球磁場の停滯性磁場と移動性磁場 (続報) (15分)
- 2-17 宇野栄 (東大理) 力武常次 (東大地震研) Bullard Gellman LilleyのDynamo Modelの非定常解 (10分)

第 2 日 11月 5 日 (木)

中間圈・電離圏 於 第1会場 (9:00—12:30)

- 1-23 福島直・上出洋介 (東大理) Equatorial electrojet return currentの拡がり (10分)
- 1-24 白木正規 (地磁気観測所) 地磁気日変化のスペクトル構造 (15分)
- 1-25 米沢利之 (電波研) 電離層における半年変化 (15分)
- 1-26 松浦延夫・北條尚志・西崎良・永山幹敏・中村義勝 (電波研) 上部電離層の磁力線に沿った構造 (15分)
- 1-27 西崎良・松浦延夫・永山幹敏 (電波研) Alouette-IIによるDucted Echoes (15分)
- 1-28 西崎良・永山幹敏 (電波研) 衛星と地上からの観測による $f_o F_2$ の比較 (15分)
- 1-29 中田美明・菅官夫・合歓垣礼子・加藤仲夏・吉田忠彦 (電波研) 磁気嵐時の中緯度における N_T の変化 (15分)
- 1-30 中村純二・松岡猛 (東大教養) 加藤進 (京大工) 大地登 (岐阜大教養)
 K-8-16号機による風の観測 (15分)
- 1-31 加藤進・麻生武彦 (京大工) 江尻全機 (東大宇宙研) K-8-16号機による
 インピーダンスプローブの実験の結果 (10分)
- 1-32 江尻全機 (東大宇宙研) 麻生武彦・横堀進義 (京大工) L-3H-5号機による
 インピーダンスプローブの実験 (15分)
- 1-33 倉橋克典 (名大空電研) 超音速で電離層内を動く物体によるプラズマ波動の励起 (15分)
- 1-34 佐藤哲也 (京大理) 松田美之 (スタンフォード大) 小川忠彦 (京大工) 弱電離プラズマ中の波動の非線形数値解析—I (15分)

岩石磁気 於 第2会場 (9:30—12:30)

- 2-18 新妻信明・木村勝弘・酒井豊三郎 (東北大理) 銚子周辺の地磁気層位 (15分)
- 2-19 浅海英三・時枝克安 (島根大文理) 有田・唐津窯および山陰安来の窯の考古地磁気について (10分)
- 2-20 堂面春雄 (山口大教育) 第四紀火山灰層の磁化 (Ⅳ) (10分)
- 2-21 青木豊 (東大理) 火山灰の帶磁機構 (Ⅱ) (10分)
- 2-22 百瀬寛一 (信州大理) 火山灰中の強磁性鉱物の磁気的性質 (10分)
- 2-23 村上敬助・乗富一雄・鈴木正明 (秋田大鉱山) 秋田県男鹿半島の火山岩の磁気 (15分)

- 2-24 笹嶋貞雄・西田潤一(京大理)アルカリ玄武岩のP-N-typeの磁化について (15分)
 2-25 伊藤晴明(島根大文理)M.Fuller(ピットバーグ大)地球磁場の反転機構について (15分)
 2-26 木下肇・河野長・青木豊(東大理)インド・デカン高原の古地磁気学(2)
 NRMとその安定性 (15分)
 2-27 伊藤晴明・時枝克安(島根大文理)Paleogene Graniteの古地磁気(I) (10分)
 2-28 野村哲(郡馬大教養)岐阜県下呂町付近に分布する濃飛流紋岩の磁化 (15分)
 2-29 西田潤一・笹嶋貞雄(京大理)和歌山県下の二疊系に属する玄武岩の古地磁気 (10分)

極域現象　於 第1会場 (13:30—17:00)

- 1-35 平沢威男・等松隆夫・永田武(東大理)川口貞男(極地センター)平尾邦雄
 (東大宇宙研)昭和基地に於けるロケット発射実験及び観測結果 (15分)
 1-36 平沢威男(東大理)極光からみた極磁気嵐(II) (15分)
 1-37 金田榮祐(東大理)極冠に於けるオーロラの変動特性 (15分)
 1-38 林幹治(東大理)VLF emission sub-storm aurora chorus (10分)
 1-39 林幹治(東大理)SSC,Siの際のpolar chorusのdynamic spectrum (10分)
 1-40 林幹治(東大理)JARE 10における極光観測より (10分)
 1-41 国分征・平沢威男(東大理)VLF emission substorm (auroral hiss) (15分)
 1-42 柴田喬・奥沢隆志(電気通信大)OGO-1データによるVLFエミッション
 について (10分)
 1-43 桑島正幸・森岡昭・斎藤尚生(東北大理)地磁気変動と降下粒子 (12分)
 1-44 恩藤忠典(電波研)高緯度SIについて (15分)
 1-45 上出洋介(東大理)Field-aligned currentによる磁場分布 (13分)
 1-46 上出洋介・福島直(東大理)午後側におけるPolar magnetic substormの
 空間的構造と時間的特性 (15分)
 1-47 飯島健(東大理)Magnetospheric substorm (Tail-field disturbance) (10分)

岩石磁気　於 第2会場 (13:30—16:30)

- 2-30 小林和男・北沢一宏(東大海洋研)太平洋底堆積物の古地磁気 (15分)
 2-31 北沢一宏・小林和男(東大海洋研)海洋底岩石の磁性 (10分)
 2-32 北沢一宏(東大海洋研)海底マンガン鉱物の物性(II) (10分)
 2-33 兼岡一郎・小嶋稔(東大理)大洋底よりドレッジされた岩石のK-Ar年代
 について (15分)
 2-34 小嶋稔・座主繁男(東大理)上野直子(東洋大文)海山玄武岩のK/Rb,Sr
 アイソトープ比 (15分)
 2-35 永田武(東大理)F.C.Schwerer(U.S.Steel, Research Center)
 アポロ12号月岩石及細砂の磁気的性質 (15分)
 2-36 永田武(東大理)アポロ月岩石の圧磁気効果 (12分)

- 2-37 永田武(東大理)月角礫岩残留磁気の特殊性 (15分)
2-38 川井直人(阪大基礎工)極移動の原因について (15分)

第3日 11月6日(金)

磁気圏プラズマ 於 第1会場(9:00—12:30)

- 1-48 前川紘一郎(京都教育大理)前田坦(京大理)極域電離層電流—数値実験Ⅰ (12分)
1-49 小川忠彦(京大工)佐藤哲也(京大理)多重オーロラ・アークの生成(Ⅱ) (15分)
1-50 田辺弘道・武井恵雄・桜井亨(東北大理)DP2場とPolar Substorm (15分)
1-51 並川富一(阪市大理)高温プラズマと地磁気脈動 (15分)
1-52 桜井亨・斎藤尚生・森岡昭(東北大理)Pc1型地磁気脈動の低緯度伝播特性 (15分)
1-53 福島直・佐々木克己・平沢威男(東大理)地磁気脈動pi2のスペクトラム (15分)
1-54 宮崎光旗・国分征(東大理)太陽最盛期におけるPc脈動 (15分)
1-55 三浦輝夫(阪市大理)極プラズマ風の温度異方性と微視的不安定 (15分)
1-56 渋谷仙吉(山形大理)磁気中性面における磁場勾配の加速への影響 (15分)
1-57 上田稔・深尾昌一郎・津田孝夫(京大工)磁力線のリコネクション (15分)
1-58 塩見正・深尾昌一郎・津田孝夫(京大工)Convective Motion of Non-Interacting Charged Particles in the Earth's Magnetosphere. (15分)

観測方法 於 第2会場(9:00—12:30)

- 2-39 北村泰一・大道寅男(九大理)SQUID磁力計の基礎実験(Ⅱ) (15分)
2-40 竹屋芳夫・奥本隆昭・南繁行(阪市大工)正荷電粒子流の測定 (15分)
2-41 斎野信義(電波研)前田浩五郎(電子総合技研)伊藤富造(東大宇宙研)中性分子測定用質量分析器(Ⅱ) (10分)
2-42 中村良治・伊藤富造(東大宇宙研)スペースチェンバー中の電子波伝播 (15分)
2-43 平尾邦雄・田中高史(東大宇宙研)下部電離層における荷電粒子の捕捉 (10分)
2-44 向井利典・松村正三・平尾邦雄(東大宇宙研)低エネルギー電子スペクトロメータ (15分)
2-45 平尾邦雄・三留重夫(東大宇宙研)宮崎茂・森弘隆(電波研)スペースチェンバーによるFaraday Cupの基礎実験 (15分)
2-46 江尻全機(東大宇宙研)麻生武彦・横堀進義(京大工)プラズマ中のアンテナ相互インピーダンス (15分)
2-47 斎藤尚生・森岡昭・桑島正幸(東北大理)High Speed Spectrum Analyzer (HISSA)について (10分)
2-48 松本治弥(神戸大工)L-3H-5号機による荷電粒子観測結果(速報) (10分)
2-49 松本治弥(神戸大工)試作増倍管計数効率のX線波長感度特性 (15分)

総会および特別講演 於 第1会場(13:30—17:00)

懇親会 於 楽友会館(18:00—20:00)

第 4 日 11 月 7 日 (土)

磁気圏プラズマ 於 第 1 会場 (9:00—12:30)

- | | | |
|-------|--|--------|
| 1-5 9 | 武井恵雄 (東北大理) 磁気圏の構造と対流 | (15 分) |
| 1-6 0 | 玉尾孜 (東大理) Induced and Polarization Electric Fields Associated Inward Penetration of the Tail Plasma Sheet (II) | (15 分) |
| 1-6 1 | 南部充宏 (東大理) 弱く乱れたプラズマのスペクトラムについて | (15 分) |
| 1-6 2 | 南部充宏 (東大理) 弱く乱れたプラズマ中の粒子の軌道について | (15 分) |
| 1-6 3 | 南部充宏 (東大理) プラズマの異常輸送について | (10 分) |
| 1-6 4 | 坂井純一 (名大プラズマ研) 地球磁気圏尾の電磁流体波動 | (15 分) |
| 1-6 5 | 恩藤忠典・相京和弘 (電波研) Plasmapause の電波伝播に及ぼす影響 | (15 分) |
| 1-6 6 | 西田篤弘・鶴田浩一郎 (東大宇宙研) 磁気圏尾部の構造 | (15 分) |
| 1-6 7 | 河島信樹・大藪修義 (東大宇宙研) Neutral Sheet のModel実験 | (15 分) |
| 1-6 8 | 木村磐根 (京大工) Cerenkov Instability in Whistler Mode | (15 分) |
| 1-6 9 | 荒木徹 (京大工) 不均一プラズマ中でのnon-reciprocal な波動伝播 | (15 分) |

宇宙線 於 第 2 会場 (9:30—12:00)

- | | | |
|-------|--|--------|
| 2-5 0 | 北村正彥 (気象研) 宇宙線日変化の 22 年変化 | (15 分) |
| 2-5 1 | 須田友重 (気象研) 極地域の宇宙線日変化 | (10 分) |
| 2-5 2 | 藤本和彦 (名大理) The calculation of the coupling coefficient for the analysis of the cosmic ray daily variation at Mt.Norikura multi-directional meson telescope | (15 分) |
| 2-5 3 | 和田雅美・奥谷晶子 (理化学研) 宇宙線異方性の逐日解析 | (15 分) |
| 2-5 4 | 石田喜雄・菅野常吉 (福島大教育) 斎藤俊子 (福島医大物理) 宇宙線日変化と太陽活動について (II) | (15 分) |
| 2-5 5 | 森覚・安江新一 (信州大理) 一之瀬匡興 (信州大教養) 宇宙線強度の日変化の解析 | (15 分) |
| 2-5 6 | 一之瀬匡興 (信州大教養) 森覚・安江新一・鷺坂修二 (信州大理) 地下 30 m.w.e における宇宙線の強度変化 | (15 分) |

太陽風 於 第 1 会場 (13:30—17:00)

- | | | |
|-------|---|--------|
| 1-7 0 | 永田武・河野長 (東大理) 太陽風と月との電磁相互作用及び月岩石の電気伝導度 | (15 分) |
| 1-7 1 | 広瀬徹 (名大理) 太陽活動静穏期における太陽風 | (15 分) |
| 1-7 2 | 竹之下裕五郎 (電波研平磯支所) Pioneer 6,7 および Vela 衛星における太陽風速の相互関係 | (15 分) |
| 1-7 3 | 山下喜弘・山口又新 (地磁気観測所) 中緯度に於ける地磁気 SI と太陽風不連続 | (10 分) |
| 1-7 4 | 柿沼隆清・渡辺堯・鷺見治一・小島正宣 (名大空電研) 電波星シンチレーションによる太陽風の観測 | (15 分) |
| 1-7 5 | 柿沼隆清・鷺見治一・渡辺堯・小島正宣 (名大空電研) 電波星シンチレーションによる太陽風の解析 | (15 分) |

- 1-76 羽倉幸雄(電波研)太陽プロトンのS成分とバースト—1966年6月のプロトン現象— (15分)
- 1-77 亘理宣夫・上山弘(東北大理)定常状態における磁場とプラズマ流との境界に関するself-consistentな解 (15分)
- 1-78 国分征(東大理)磁気嵐と惑星間磁場変動 (15分)
- 1-79 前田力雄(電波研平磯支所)地磁気の27日周期成分について(Ⅱ) (15分)
- 1-80 A.Loveless(プリティッシュコロニア大)馬淵久夫・小嶋稔(東大理)
R.D.Russel(プリティッシュコロニア大)柳田昭平(東大理) Gd アイソトープに基いた原始太陽系についての一考察 (15分)

電波伝播・大気電気 於 第2会場 (13:00—17:00)

- 2-57 简井稔・小川徹(京大工)HFドップラーによるTID観測 (15分)
- 2-58 中村義勝(電波研)上部電離層でのRay Tracing (15分)
- 2-59 田中義人(名大空電研)VLFヒスの偏波、入射角について (15分)
- 2-60 荒木徹(京大工)ホイッスラー波の電離層入射—ダクトによらないエネルギー集中の一機構— (15分)
- 2-61 鶴田浩一郎(東大宇宙研)ホイッスラー波の電離層通過 (15分)
- 2-62 梶靖夫・奥沢隆志・芳野赳夫・上滝実(電通大)管平に於けるホイッスラー空電観測 (10分)
- 2-63 奥沢隆志・芳野赳夫・山中馨(電通大)磁気嵐とホイッスラー伝播 (10分)
- 2-64 鎌田哲夫(名大空電研)電離層内における短波帶電波の伝播実験結果 (15分)
- 2-65 橋詰庄一郎・徳田八郎衛・田中敬史(防衛技研)Multi-frequency Backscatterによる電離層の観測(2) (15分)
- 2-66 山下亨子(名大空電研)S.I.D時におけるVLF局電波の位相変化 (10分)
- 2-67 田中良和・小川俊雄(京大理)シューマンレゾナンスと雷活動度について (15分)
- 2-68 小川俊雄(京大理)超高層大気現象と大気電場 (15分)
- 2-69 芳野赳夫(電通大)極地氷冠上の電波反射 (15分)
- 2-70 宮武貞夫・松本紘・木村磐根(京大工)Three wave processによるIon音波の励起 (15分)

閉会の辞

第 1 会 場

講演番号 1-1~1-80

赤外夜光の観測

早川幸男, 伊藤浩式, 松本敏雄, 西村徹郎, 小野忠良
名大理

観測ロケット K-10-4 に搭載して赤外線観測装置による大気光の観測結果を報告する。図1に示す観測装置を光軸がロケット軸に垂直になるように搭載した。入射光は球面鏡で PBS 検知器に集められる。検知器の前に 5 種類のフィルター及び標準光源を 2 秒おきに置きかえ、可視部から波長 2.5 μ までのスペクトルをとった。フィルターの透過波長領域及び各領域における感度を表1に示した。装置の詳細及び黄道光観測結果の概要是 Space Research X に掲載してある。ロケットは 1969 年 1 月 14 日 19:00 JST に発射された。この時の太陽の大頂角は 108° であった。観測は高さ 60 Km から始まり、1 スピン周期に 2 回強いピークを得た。図2に示すように、ピーク間隔および高さはロケット高度と共に徐々に変化する。これより发光層の中心高度 80 Km, 層の厚さ約 10 Km が得られた。図2にはこのような发光層から期待されるスピンドル角と強度の計算結果を実験値と比較してある。この観測結果から導いた夜光のスペクトルを図3に示す。スペクトルは太陽からの離角に弱く依存する。ロケットが僅かに (cone half angle = 1.5°) プレセツシヨンしたため、太陽からの離角の異なる場所を見た。図2で西方のピークの高さが変化しているのはこのためである。これは日没後発光が数十分の半減期で弱くなることを示す。これに比べて東方のピークはほとんど変化せず、夜中の定常値を表わす。以上の観測結果に基き、赤外夜光の発光並びに消滅について論ずる。

| フィルター名 | 有効波長 | 波長巾(FWHM) |
|--------|--------|-----------|
| V | 0.52 μ | 0.24 μ |
| J | 1.23 | 0.27 |
| H | 1.57 | 0.40 |
| K | 2.16 | 0.47 |
| IR | > 1.0 | |

(表1)

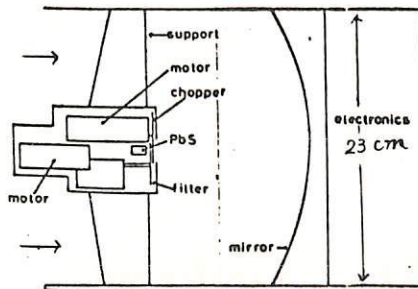


Fig. 1. Schematic diagram of the telescope system.

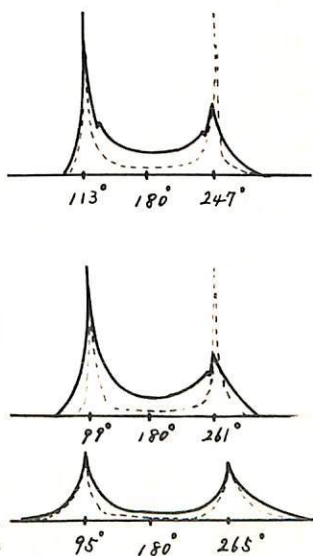
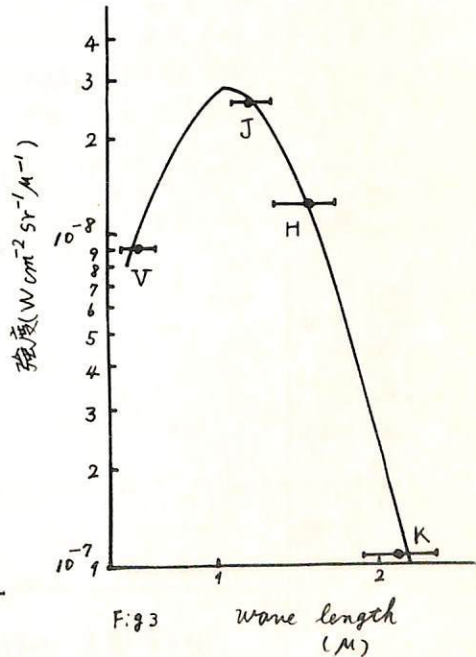


Fig. 2

Fig. 3
Wavelength (μ)

上層大気成分観測に用ひる Dye Laser の特性 (I)

広野求和 内野修 牧野行雄
九大物理

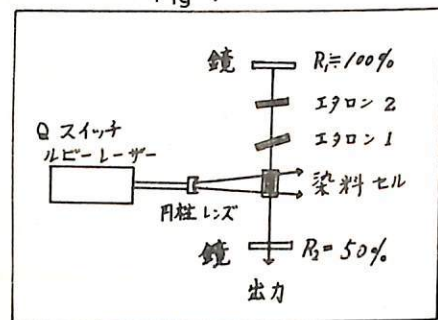
上層大気成分をレーザーによって観測する際、地表から 30 km の高さ迄におけるエアロゾルの Mie 散乱が重要な障害になる。それで二波長 λ_1, λ_2 を同時に観測を行ない、 λ_1 は例えは O₃ の A バンドの吸収をうけ、 λ_2 はそのような吸収をうけないようになると、後述した信号の中からエアロゾルと他の大気成分の分子や原子からの後方散乱光を選び分けることができる、という可能性が前回の講演で述べられた。Dye laser を用いてこの二波長を作ることが企てられ、若干の実験結果が得られたので報告する。Dyeとしては、3,3'-Dimethyl-2,2'-Oxatricarbocyanine iodide を用い、これを Dimethyl sulfoxide に溶かし濃度を種々変えて波長の変化を調えた。Optical pumping のために自水冷式 Ruby laser を用いた。この特性は、2 J/1 pulse, パルスの時間幅は約 40 ns であり、尖頭出力約 50 MW, パルス繰り返しは 1 pulse/5 s の程度である。

(Fig 1 参照) Dye solution の両側に反射鏡を置き、その反射率を $R_1 = 100\%$, $R_2 = 50\%$ としたときには、発振波長は約 200 Å の幅をもち、その中心波長は濃度とともに Fig 2 のように変化する。この波長幅は現在の目的のために広すぎる所以、エタロン板を発振器中に挿入して狭帯域化をおこなった。エタロン板の間隔としては、 $d_1 = 20 \mu m$, $d_2 = 0.15 mm$ を用いた。その結果 d_1 のときは発振波長幅は 14 Å, d_2 のときは 8 Å, 両方同時に用いたときは 3 Å の程度になった。

Fig 3 は d_1 を用いて、光軸からの回転角によって発振波長が如何に変化するかを示したもので、図中の 3 本の曲線は、発振が同時に 3 本おこつることを意味する。

Dye laser 装置の製作については、工学部電気工学科教室の宮副泰、前田三男両氏に御教示をいただきたことを深く感謝する。

Fig 1



DYE LASER 装置

Fig 2

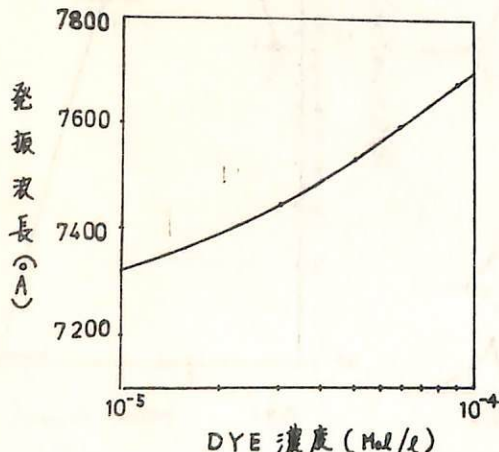
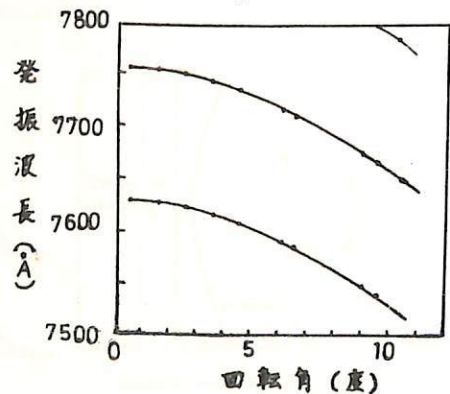


Fig 3



レーザーレーダー試験観測

上山弘，有賀規（東北大・理学部）

(I) まえがき

光散乱への応用としてのレーザーレーダーは、MITのFiocco等(1963, Nature)が最初に実験して以来、英國の Radio and Space Research Station 他数ヶ所で超高层の観測に成功している。又気象学的応用は、Stanford Research Institute などにおいて多く行われてきた。我々はレーザーレーダーを用いて超高层の観測の検討を、従来行われてきた Rayleigh-Mie 散乱の他に、Raman 散乱、共鳴散乱方式について行なってきた。既に、Raman 散乱方式については、地上での大気汚染分子の検出を行なうことができた。最近、蔵王山麓に新しくレーザーレーダー装置を設置しており、その試験観測の結果を報告する。

(II) 実験装置

Fig. 1. Table 1 に Rayleigh-Mie 散乱方式のレーザーの構成図及び動作特性を示す。光源は Q-Switched Ruby Laser ($\lambda = 6943\text{\AA}$) である。受信系では電子計数方式と A-スコープ方式を併用している。送信系と受信系は光学的、電気的距離を少くするため約 15 m 離れており、構成である。

Table 1

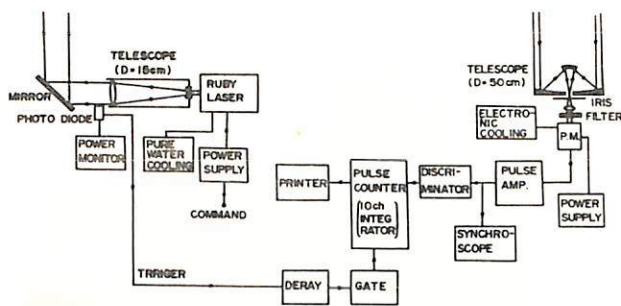


Fig. 1

| | |
|--------------------|---|
| Transmitter | |
| Laser | Q-Switched Ruby Laser ($\lambda = 6943\text{\AA}$) |
| Max. Output Energy | > 5 Joule / shot |
| Pulse Length | < 1 μsec |
| Beam Divergence | < 1 mrad |
| Receiver | |
| Telescope | D = 50cm Cassegrain |
| Field of View | < 5 m rad |
| Filter Band width | 30 \AA |
| Gate width | 33 μsec , 66 μsec |
| Counter | 10 channel |

(III) 信号及び雑音強度

Fig. 2, 100 shots, 1000 shots の場合の大気高層
大気からの Rayleigh 散乱に対する期待されるカウント数及び S/N 比を示した。S/N = 3 を下限とした場合の信頼限界とすると、100 回 JT では約 80 km までの純粹の空気による Rayleigh 散乱光が検出できる。夜光雲等による Mie 散乱が少なければその検出は容易である。

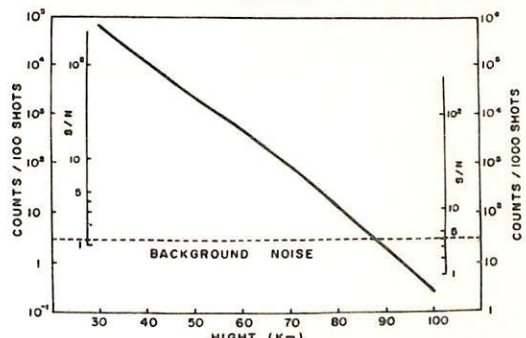


Fig. 2

現在 Rayleigh-Mie 散乱、Raman 散乱、共鳴散乱の実験を行なっており、今後は主に Rayleigh-Mie 散乱の実験結果を報告する。

上層大気の分光観測

上山 弘

東北大理

市川敏朗

岐阜大教養

今までに多くの Twilight 及び夜光の分光観測の結果が発表されているが、Bradfoot 等は格子分光器と、メモリ一方式による光子計数器を組み合わせて観測し、興味ある結果を発表している。それによると、 N_2^+ 391 nm A の Twilight に関しては Saskatoon と Kitt Peak の観測ではほぼ完全にその様子が解明されているが、その他の中層大気の微量成分の観測は、アルカリ金属をのぞいては、まだあまり十分とはいえない。

原子輝線の測定にはファブリーペロの分光器が最も適しているが、分子 Band に対しては、格子分光器による上記の方式が適している。

今回主として、Twilight 時における上層大気の散乱の様子を知る目的で、格子分光器と光子計数方式による分光測光器を組み立て東北大学の遠刈田観測所で、8月から10月にかけて予備的な観測を行つたので、その測光器のあらましと結果の一部を速報的に報告する。

分光器はツェルニーターナーマウント、シングルビームの格子分光器で、格子は 1200 lines/mm, 中央 6 mm , ブリース波長 500 nm のものを用い、空の像を焦点距離 100 mm の凸レンズで、 15 mm の入射スリット面上に結ばせ、スリットの高い方向が太陽の方位とは直角になるようにして、天頂方向の観測を行つた。

$Xe + O_2$ 放電による $O I \pi 5577$ の発光

渡谷 邦彦
鳥取大 教育 物理

Xe グロー放電管内に微量の O_2 ガスを混入して、 $O I \pi 5577$ を強く発励したので報告する。すでに $A + O_2$ 放電による $O I \pi 5577$ の発励機構について報告している¹⁾。これと同様な目的および方法により、今回の実験による発励条件を考察し、できればその発励機構を提案したい。

実験：放電管 (Pyrexガラス) L. 700 mm, D. 40 mm V. 5.53500 cc (L. 600 mm, D. 70 mm, V. 5.539800 cc)
電極 Al (L. 30 mm, D. 18 mm)

電源 15,000 V, 60 mA (10,000 V, 80 mA) 交流間欠 (1秒断, 2秒続) 放電
分光器 (定偏角ガラスプリズム) 総分散度 75 A/mm (5600 A)

結果：1) $\pi 5577$ の発励に適する O_2 の混合率は 5 ~ 40% の範囲である。

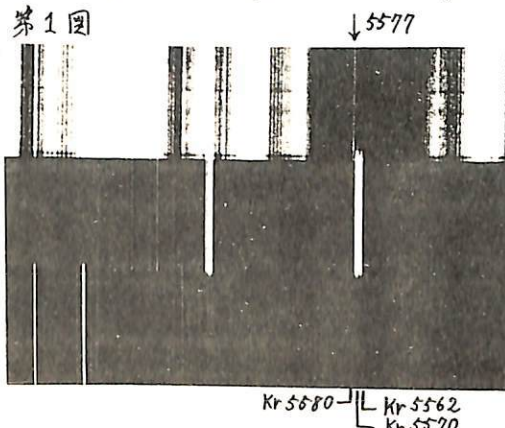
2) $\pi 5577$ の発光強度が特に強い条件では、 $Xe(^3P_2)$ に遷移する Xe 線の強度は、他の Xe 線に比べて弱い。

3) 黄色グローを発光する条件では、 $\pi 5577$ の強度は特に強い。

4) $A + O_2$ 放電による $\pi 5577$ の発励条件とは異なる。

O_2 の光分解による $O(^3S)$ の生成でも、 O_2 の混合率が 10% 程度のとき N/N 比が特に良くなる報告²⁾もあるし、実測関係では $O_2(^3Ag)$ が D 戸での主要な源と考えられ³⁾、その寿命も 36

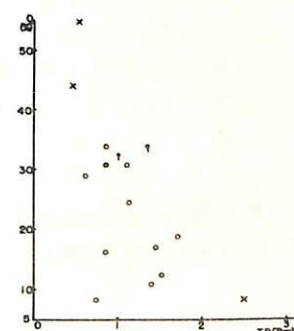
第1図



a. 金圧 0.7 torr.
 O_2 9%
3000 V, 45'.

b. 金圧 0.6 torr.
 O_2 40%
3000 V, 45'.

第2図



00 秒と計算されている⁴⁾。もし可能ならば以下の発励機構を提案したい。

- ① $Xe(^3S_0) + e \rightarrow Xe''(5p \text{ 以上の group})$
- ② $Xe'' + O_2(^3\bar{Z}_g^-) \rightarrow Xe'(3, 4p \text{ までの group}) + O_2^*(a'\Delta_g)$
- ③ $Xe' \rightarrow Xe''(^3P_2) + h\nu$
- ④ $Xe''(^3P_2) + O_2^*(a'\Delta_g) \rightarrow Xe(^3S_0) + O(^3P) + O(^3S) + K.E.$
- ⑤ $O(^3S_0) \rightarrow O(^1D_2) + h\nu (\pi 5577)$

1) Watadani, J. Geomag. Geoelectr. 19, 273 ('67)

2) Filseth et al., J. Chem. Phys. 51, 839 ('69)

3) Hunten et al., J. Geophys. Resear. 23, 2421 ('68)

4) Stolarski et al., J. Geophys. Resear. 22, 3967 ('67)

中間紫外線アルベド — 球面大気の場合

小川利弘， 渡辺隆
東大理学部

2000 ~ 3000 Å の太陽中間紫外放射は大気中のオゾンの Hartley band の吸収をうけるので、オゾン密度測定に用いられてきた。ここでは、オゾン層より高いところから地球を見下した時の太陽中間紫外線アルベドを、与えられたオゾン密度分布について計算を行なう。

観測の原理

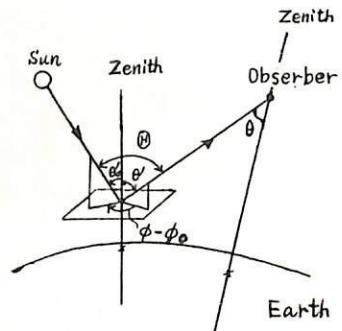
観測される散乱アルベドは次式のようになる。

$$4\pi I_\lambda(\theta, \phi) = \frac{3}{4} (1 + \cos^2 \theta) \pi F_\lambda^\circ(\infty) \int_{\text{Emergent path}} \sigma_\lambda(M) n_M(z) dz \times \\ \times \exp \left[- \int_{\text{Incident path}} (\sigma_\lambda(O_3) n_{O_3}(z) + \sigma_\lambda(M) n_M(z)) dz' - \int_{\text{Emergent path}} (\sigma_\lambda(O_3) n_{O_3}(z) + \sigma_\lambda(M) n_M(z)) dz'' \right]$$

二二二

- $I_\lambda(\theta, \phi)$: 放射測定輝度 [photons/cm²/sec/Å/sterad.]
- $\pi F_\lambda^\circ(\infty)$: 太陽放射束 [photons/cm²/sec/Å]
- $\sigma_\lambda(O_3)$: オゾン吸収断面積 [cm²/molecule]
- $\sigma_\lambda(M)$: レーリー散乱断面積 [cm²/molecule]
- θ : 散乱角
- ϕ : nadian 角
- ϕ : 方位角

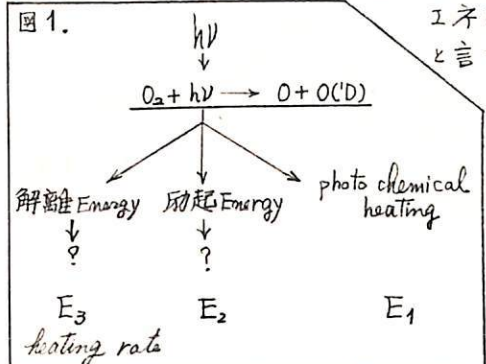
大気密度の変化による屈折の効果及び second-order の散乱の効果は無視している。



100 Km 領域の熱構造について

岩坂泰信
東大・地球物理

100 Km 領域の熱構造は、主として吸収されたエネルギーなどのように分配されるかと、いう点で決まる。表1は100 Km 領域で吸収される太陽紫外光が、各プロセスを通じて熱となる量を示したものである。また図1は、そのプロセスをおおよそは示すものである。図でもわかるようにエネルギーは三つの流れにわけられ、そこから今までそのエネルギー全体まとめて熱構造正論の視点はなま、だと言つてよい。Johnson & Wilkins (1965) によつて熱伝導と E_1 による heating によつて下部熱圈及び上部中間圏の熱度構造を決定するモデルが提案された。



本年2月のシンポジウム（中間圏・電離圏大気力学とエネルギー収支に関するシンポジウム）で、それら3つのエネルギーの流れは、物質の分布、特に O , O_2 の分布と関連するもので、 O , O_2 が同時に若えればならぬことと示し、 E_2 による heating ($O(D)$ の脱活性によつて) が無視できない要素であることを主張した。その後この状態の酸素の脱活性化プロセスを考えた。この酸素はオーバー近似的には N_2 によって deactivation を行うだとうる問題はこの反応によって N_2 の振動温度が 100 Km 領域の大気温度とくらべてきゆめて高くなる。そして vibration-vibration のエネルギー交換によって振動エネルギーが下方へはづけられる現象がある。そして下方へはづけられる途中で vibration-translation のエネルギー交換によつて vibrational energy relaxation を解く方程式

で大気温度を高めるものと考えられる。

$$\frac{dn_r}{dt} = \sum_s (Q_{sr} n_s N - Q_{rs} n_r N) + \sum_s (\sum_{l+m} (Q_{sr}^{lm} n_s n_e - Q_{rs}^{ml} n_r n_m) + Q_T)$$

n_i = the population of the i -th vibrational level

Q_{sr} = the rate coefficient ; $n_s + M \rightarrow n_r + M$

Q_{sr}^{lm} = the rate coefficient ; $n_s + n_e \rightarrow n_e + n_m$

Q_T = production rate of T -the level : $O(D) + n_0 \rightarrow n_T + O^3P$

参考文献

1965. Johnson F.S. &
Wilkins E.M.
J.G.R. 72, 1281

1970. 笠松隆丈, 岩坂泰信
中間圏電離圏シンポジウム
講演集

この方程式には上下方向へ輸送されるエネルギーの評価はされておらずそのため十分ではないが、これによつて得られる 100 Km 領域の N_2 の振動温度は 4000 K 近くになる。

(遷移確率は Sharp and Rapp の Two-state method によつて)

100 km領域の大気組成と対流によるO₂輸送

岩波 春三
東大・気象物理

最近、F-Z層にみられる電子密度の季節変化と中性大気の組成変化によく説明しようとすると考え方がありになっております。それ故100 km領域の組成変化が、上層、大気組成などのように影響するかといふ問題は、一度はきちんとたゞ小ればたゞおこなわれます。なぜならF領域の中性粒子は、近似的に110 kmあたりから拡散平衡によつて決められており、このことはとりとてたゞ100 km領域の大気組成が下部域の大気組成と大きく左右していることを示してます。そのような觀点から、100 km領域とF領域の大気組成などのようにカップルしてみるかと數値計算を行つ。

計算式

$$\text{分子拡散} \rightarrow \text{flux} ; \phi_i^m = -D_i \left(\frac{n_i}{H_i} + \frac{n_e}{T} \frac{dT}{dz} + \frac{dn_i}{dz} - \frac{n_i}{N} \sum_j \frac{\phi_j^m}{D_{ij}} \right)$$

$$\text{渦拡散} \rightarrow \text{flux} ; \phi_i^e = -D_{edd} \left(\frac{dn_i}{dz} + \frac{n_e}{T} \frac{dT}{dz} + \frac{n_i}{H_{edd}} \right)$$

$$\text{convection flow flux} ; \phi_i^c = U n_i$$

$$\text{連続の式} \quad \frac{d\phi_i}{dz} = R_i$$

$$R_1 = Z \partial J N_2 - Z k n_2 N$$

$$R_2 = k m^2 N - J N_2$$

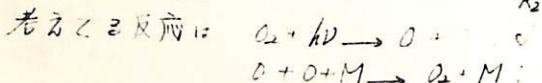


図1

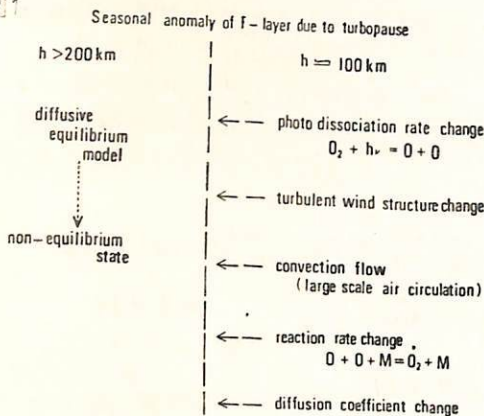


図1は turbopause が起因する季節的変化であると思われる要素を示すである。

表1

| Height (km) | $V=0$ $n(O)(cm^{-3})$ | $n(O_2)$ | $V=10^2 cm/sec$ (下) | $n(O)$ | $n(O_2)$ |
|-------------|--------------------------|----------|---------------------|----------|----------|
| 110 | 2.20(11) | 3.70(11) | 2.20(11) | 3.70(11) | |
| 150 | 1.08(10) | 2.80(9) | 1.08(10) | 2.83(9) | |
| 180 | 3.43(9) | 7.97(8) | 3.43(9) | 7.91(8) | |
| 200 | 1.77(9) | 4.58(8) | 1.77(9) | 4.41(8) | |
| 210 | 1.01(9) | 3.12(8) | 1.01(9) | 3.00(8) | |

$$T_{co} = 1000^\circ K$$

$$D_{edd} = 4.5 \times 10^6 cm^2/sec$$

表1は計算結果、一部であり、 $10^2 cm^2/sec$ という程度の convection speed でようやく組成変化があらわれてくる。現在夏半球、冬半球のモデルを設定して計算を行つてあり、今後ではその結果を報告する。

流星風について

石 領 剛 電波研究所

英國三エフ・フィールド大学の流星レーダーを便へて得ら小方流星風資料の解析結果について報告する。使ひた資料は1964年8月-1965年7月の毎水曜日の観測資料及び1966, 1968, 1969年の連続(3-4日間)観測各1例である。

使用周波数は25MHz及び36MHzで出力は20kW及び200kWである。アントナは北西面より南西に向け、半直角は25°である。西方のアントナと交互に25°を観測し、風の鉛直成分は無視できまとしてこの直角成分から風速ベクトルを求める。流星跡(meteor trail)の高度は反射エコーの形状から決定できることはないが、それによれば13-13.5kmが假定を必要とする(ここで流星領域(80-110km)における風速の高度分布は求めず、そこで平均値と取る)。流星跡の発生頻度は95km附近が最大で、それからこの平均値(95km附近の風速を近似するものとみなしてよ)と想る。観測時間隔は1.5分で平均値はこの時間について求めた。

上の方法で求めた観測例をFig.1図に示す。この図からもわかる通り、半日周期成分が大きく、またこの中、くりかえし変動に短周期のこまかい変動が重畠されているのが大さな特徴である。これららの変動を詳しくみるために連続観測資料とパワースペクトル解析したのがFig.2図に示される。半日周期成分が圧倒的に大きいことばかりでなく持続性である。短周期変動の周期は2~4時間でこれがいわゆる内部重力波に相当と思われる。

この半日周期成分が卓越することは Goddard Bank の観測でも確かめられ、地表面で観測される気压も同様の変化をすることを想起すれば興味深い。重力以外は起潮力を除外すれば起潮力は一日周期成分が卓越することが予想されるとともにもう一つから見てこれは大気潮汐は半日周期成分が卓越することについて多くの人々が議論していることは周知の通りである。この問題はアンペア力を考慮に入れて議論される("アンペア力の大気潮汐には何を考慮にする")。

次に毎観測(約1.5分間隔)の標準偏差を乱流成分として定義し、二つの日変化を取めてみると、12時と24時附近に極大値となる傾向にある。

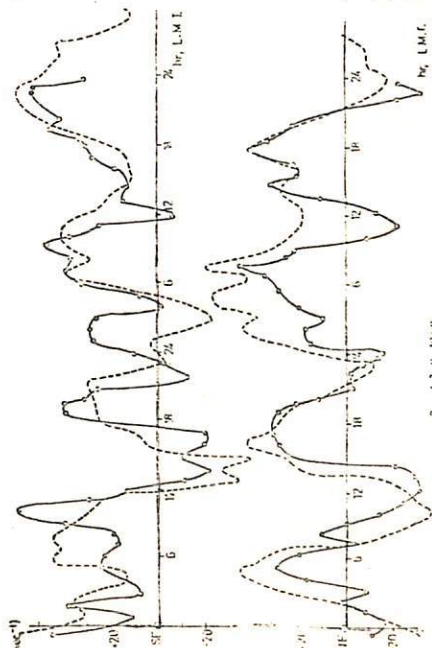


Fig. 1: CONTINUOUS 1.5-MINUTE RECORDINGS OF THE METEOR WIND AT SHEFFIELD TAKEN OVER TWO YEARS.

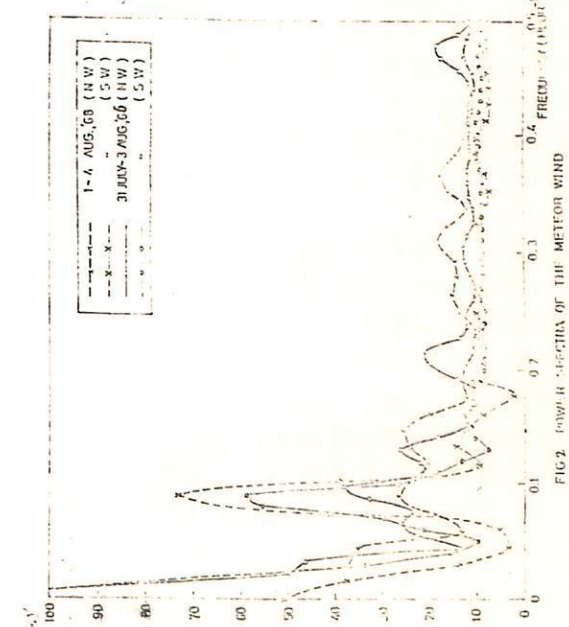


FIG. 2: POWER SPECTRA OF THE METEOR WIND

7.11.6

石 顥 剛

電波研究所

$\gamma = \alpha \times \text{力 } J \times B_0$ を考慮し、通常近似を行ひ L Legendre's operator とす。

$$L = \left\{ D + \frac{g}{K} (\mu - \alpha) \right\} \left\{ D - \frac{g}{K} (\mu + \alpha) \right\} - \left(\frac{g}{K} \right)^2$$

但し $K = \frac{G}{2\omega}$, α は $\gamma = \alpha \times \text{力 } J \times B_0$ 大きさをパラメータ, 他は Hough の式と同様

$\alpha = 0$ はアンペア力が零の場合に対応し, Hough の式と帰着する。これは $\alpha = 0$ の固有函数と球面調和の係数間の関係式を求めるとき次のようにある。

この方程式系が自明な解以外の解をもつ場合には、この首次方程式の行列式が零となることを利用して解を求める。 $n = 20$ の場合 K = 100 で計算する。この場合行列式は約 720 次方程式の解であるが、直線解は次のようにして求められる。右の領域で (-40 , 80 km) まで、 $\Delta h = 100$ m 間隔で行列式の符号を調べ、符号が零化する領域で、右の領域で Δh を小さくしてから同様操作をくり返し、右の誤差許容率 ($\Delta h = 1m$) に達した計算を行つた。

周期が 48, 24, 12 時間の場合について計算を行つたところ他、如何に加減すれば常に負の値となり、12 時間周期下では正値となる。ところが一日周期では $\alpha = 0$ のとき正、負値が混在し、 $\alpha = 0.1$ などとすれば負の値しかとなり。即ち一日周期の潮汐はアンペア力が存在する場合には外部汲上げが存在しないからである。

但し上の計算では 100 m の間 K 行列式の符号が零化すれば根は必ずどちらかの間に初期の増加率 $\Delta h = 100$ m を小さくして検討して叶ふ必要があるかも知れない。

$$\begin{aligned} & (-c_{n-4} \cdot b_{n-4} \cdot b_{n-3} \cdot b_{n-2} \cdot b_{n-1} \cdot b_{n-3}) \beta_{n-4} \\ & + (2 \cdot c_{n-4} \cdot b_{n-3} \cdot b_{n-2} \cdot b_{n-1} \cdot b_{n-2}) \beta_{n-3} + \left(\frac{g^2 \alpha}{4 \omega^2 w^2} \cdot c_{n-2} \right. \\ & \cdot b_{n-2} \cdot b_{n-1} - (c_{n-4} \cdot b_{n-3} \cdot b_{n-2} \cdot b_{n-1} \cdot c_{n-3} \cdot d_{n-3} \cdot c_{n-4} \cdot b_{n-2} \\ & \cdot b_{n-2} \cdot b_{n-1} \cdot c_{n-1} \cdot c_{n-2} \cdot b_{n-1} \cdot -2 \cdot c_{n-2} \cdot b_{n-2} \cdot b_{n-3} \cdot b_{n-2} \\ & \cdot c_{n-1} \cdot d_{n-1}) \big) \beta_{n-2} \\ & + 2 \cdot \infty \cdot \frac{1}{K} \left(\frac{g^2 \alpha}{4 \omega^2 w^2} \cdot b_{n-1} \cdot b_{n-1} - 2 \cdot b_{n-1} \cdot b_{n-1} \cdot c_{n-1} \right. \\ & \left. + b_{n-2} \cdot b_{n-1} \cdot c_{n-1} \cdot b_{n-2} \right) \beta_{n-1} \\ & + (2 (c_{n-2} \cdot b_{n-3} \cdot b_{n-4} \cdot c_{n-1} \cdot c_{n-1} \cdot d_{n-1} + c_{n-2} \cdot b_{n-3} \cdot b_{n-4} \cdot c_{n-2} \cdot d_{n-1}) \\ & + b_{n-1} \cdot c_{n-1} \cdot c_{n-2} \cdot b_{n-1} \cdot \frac{g}{4 \omega^2 w^2} \cdot c_{n-1} \cdot b_{n-1} \cdot c_{n-1}) \\ & - c_{n-1} \cdot b_{n-2} \cdot b_{n-1} \cdot c_{n-1} \cdot c_{n-1} \cdot d_{n-1} - c_{n-1} \cdot b_{n-1} \cdot b_{n-1} \cdot c_{n-2} \cdot c_{n-3} \cdot d_{n-1}) \beta_n \\ & + 2 \cdot \infty \cdot \frac{1}{K} \left(\frac{g^2 \alpha}{4 \omega^2 w^2} (-N_{n-2}) \cdot c_{n-2} + b_{n-1} \cdot c_{n-2} \cdot c_{n-3} \cdot b_{n-2} \right. \\ & \left. - 2 \cdot b_{n-1} \cdot c_{n-1} \cdot c_{n-2} \cdot b_{n-1} \right) \beta_{n+1} \\ & + (2 c_{n-2} \cdot b_{n-1} \cdot c_{n-1} \cdot c_{n-2} \cdot c_{n-3} \cdot d_{n-1} + \frac{g}{4 \omega^2 w^2} c_{n-2} \cdot c_{n-2} \cdot c_{n-3} \\ & - (c_{n-1} \cdot b_{n-2} \cdot c_{n-2} \cdot c_{n-3} \cdot c_{n-3} \cdot d_{n-1} + c_{n-4} \cdot b_{n-2} \cdot c_{n-2} \cdot c_{n-3} \cdot c_{n-4} \cdot d_{n-3} \\ & + \frac{g^2 \alpha}{4 \omega^2 w^2} (c_{n-2} \cdot c_{n-3})) \beta_{n+2} + 2 \cdot \infty \cdot \frac{1}{K} \cdot c_{n-2} \cdot c_{n-3} \cdot c_{n-4} \cdot d_{n-2} \\ & - c_{n-4} \cdot c_{n-2} \cdot c_{n-3} \cdot c_{n-4} \cdot c_{n-5} \cdot d_{n-3} = 0 \end{aligned}$$

($n = 1, 2, 3, 4, \dots$)

Where

$$a_n = n(n+1) \frac{1}{K}$$

$$b_n = \frac{n}{(2n+1)}$$

$$c_n = \frac{n}{(2n-1)}$$

$$N_n = n$$

$$d_n = \frac{1}{(n(n+1) - \frac{1}{K})}$$

E層下部の電子密度分布に関する考察

前田憲一
京都大学 工学部

1) URSIとCOSPARとIRI (International Reference Ionosphere) の作業部会が設けられていて、電離層について CIRA に匹敵するものを作ろうとしている。このうち E 層の 80 ～ 120 KM について関係者の間では、筆者の JGG の論文 (1969) にある N プロファイルが有用であるとされている。このプロファイルは実験結果をまとめてものであるが、これに理論的根拠を与えることができるかどうかを考察する。

2) 従来 E 層の生成理論では、CIRA の平均大気モデルを基礎とし、これに対する HLy-β と X 線の電離作用を計算している。しかし CIRA にも掲載されているように、大気モデルは 80 KM までについて月毎に相異がある。そこで大気モデルを夏 (6, 7 月平均), 冬 (12, 1, 2 月平均), 春 (3, 4 月平均), 秋 (10 月) の 4 季に分け、これを基礎として従来のやり方で電子生成率 (Q) を計算することとした。

3) Q の計算には大気粒子 (N_2, O_2, O) の数密度 (n) のほかに、太陽光子束密度 (E), 吸收断面積 (σ), 光子当たりの電子逃離率 (η) を知り必要がある。80 KM 以上 120 KM までのれんについてはこの間の気温分布を適当に仮定して計算した。その他の諸量は過去の文献によった。

Q を与えよ式は

$$Q = \sum_{\lambda} \overline{n_{\lambda} G_{\lambda}} \eta_{\lambda} n e^{-\tau_{\lambda} sec X}, \quad \tau_{\lambda} = G_{\lambda} \int_{z_0}^{\infty} n dz$$

であるが、附標入をつけたものは太陽放射線の波長に依存することを意味する。X 線については重. が大きいとそれでいて $\lambda = 2, 3, 4, 5, 6, 7, 8$ オおよび 33.7 Å を対象として。

4) 電子消滅は再結合型として有効再結合係数 (d_{eff}) と Q より電子密度 (N) を計算する。 d_{eff} については大塙氏の論文を参考とした。

5) 結果の要約 (i) 前述の筆者の論文にある N プロファイル中, $X > 60^\circ$ と $30^\circ < X < 60^\circ$ に対する 2 つの場合は、今回の計算と極めてよく一致する。 $X < 30^\circ$ の場合は計算値の方がやや小さい傾向にみるが、実験のすが数少ないで何とも言えない。(ii) E 層最大電子密度 $N_{e,max}$ の $cos X$ 依存性はチャフマン理論のように簡単ではない。これは 80 ～ 120 KM で温度が上昇していること、季節ごとに n の分布がちがうことより考えて当然の帰結である。また言い換えれば、平均大気モデルの n 分布だけで X を変えることによって N の季節変化を説明することは無理があるということになる。(iii) 従来衝突回数 (ν) はこの辺の高さでは $\nu \propto p$ (気圧) とされていて、夏のすが冬よりもやや大とされている。しかしそれ $> 90 \text{ KM}$ より上では ν は夏より冬のすが大である。したがって、2 ～ 3 MHz 程度の電波の減衰 (α) は N_p に比例すると言えども夏の減衰は N の増加の程度ほどには増加せず、 ν の影響のために減衰される傾向にある。

6) 冬季異常 冬季異常の時に電波の減衰が増大し、またす電子密度は増加するといわれている。この現象を説明することを試みた。その結果は未だ満足すべきものではないが、零点を次に記す。(i) 冬季異常のときに 50 KM 以上の温度分布を夏型と仮定すると、電子密度も夏型となり増加する。この仮定には若干の実験的根拠があつて十分とはいえない。(ii) 冬季異常の区域が 1,000 KM 横度のスケールだといわれているが、ここが夏型で他の区域よりも圧力が低いとすると大気の流入が起り、これにヒヤウで電子ヒイオンも流入する。これは ν の増大か電子の Loss の軽減を意味する。これを考慮すると電子密度の増大がさらに助長され、電波減衰の異常増加も説明される可能性がある。

下部電離層の電子温度について

平尾邦雄、小山彦一郎
東京大学宇宙航空研究所

昭和45年1月のロケット実験以降、電子温度の測定に、改良された新しい形の電子温度計を使用している。(An improved type of electron temperature probe J.G.G. 印刷中) 新しい電子温度計は測定用電極の他に軸正用電極を同時に使用し、ロケット電位の変化が電子温度の測定に及ぼす影響を打ち消しており、その精度は $\pm 50^{\circ}\text{K}$ 以内である。この電子温度計を用いて、いわゆる Bottom Side の電離層の電子温度を測定したデータは K-9M-28, K-9M-29, K-9M-32 の3回である。3回の測定結果はそれぞれ特徴のある分布を示している。特に K-9M-28号機の観測(1970 JAN. 25 14:00 JST)においては日中であるにも拘わらず、100 km ~ 200 km の高度における電子温度は 500 K 以下と極めて低い電子温度が認められる。このようく低い温度は普通考えられないものである。しかし同時に測定された電子密度分布も、この領域において異常に小さな値を示している。このような異常な分布の機構について考察する。3回の測定結果から共通に言えることは 100 km 近傍における電子温度は 300 K 前後であって、中性粒子の温度と、ほぼ等しい。いままでのロケットによる電子温度の観測において、層内 500 K ~ 700 K 程度の高温が観測され Back-scatter 法により求められた電子温度が常に低く観測されたことと食い違っていることが問題にされたが、これは測定法に問題があるものと考えられる。

Es Wind Shear 理論における金属イオンの役割 に対する考察

藤原玄夫・広野永和
九州大学理学部

中低緯度地方の *Sporadic E* 層の生成に関する *Wind Shear* の理論では、電離層気体中の正イオンが、例えば NO^+ や O_2^+ のように再結合係数が比較的大きい ($\alpha \sim 10^{-7} \text{ cm}^3 \text{ sec}^{-1}$) 分子イオンだけで構成されているとするならば、 0.1 sec^{-1} 程度のかなり大きい *Wind Shear* によっても、normal E 層の数倍以上の高電子密度の層を形成することはできない。そこで、再結合係数の小さい金属原子イオンの存在が重要になるが、金属イオンの life time は *Es* 層の維持時間に比較すれば非常に長いため、金属イオンをも含む *iwa* や *う* 種イオン理論では、定常状態と仮定することは不適当である。

電離気体は再結合係数の異なる 2 種の正イオン（例えば NO^+ と Mg^+ ）および電子から成るものとすれば、それらの密度は次の方程式で記述される。

$$\frac{\partial n_1}{\partial t} = g_1 - L_1 - \frac{\partial}{\partial z} (n_1 w_1)$$

$$\frac{\partial n_2}{\partial t} = g_2 - L_2 - \frac{\partial}{\partial z} (n_2 w_2)$$

$$n_e = n_1 + n_2$$

非定常の問題を取り扱う一歩として、ここでは mode に集積する荷電粒子の密度の時間的变化を考察する。定常状態での議論から推論すれば、電子密度のピークでは、再結合係数の小さいイオンが卓越する。そこできず、電荷の生成は photoionization のみとすると、金属イオンが 0 から normal E 層の密度程度にまで増加するに要する時間は、 $g_2 = 1 - 10^{-2}$ (Mg 原子密度で $10^3 - 10^5 / \text{cm}^3$) で數 10 分程度に見積もれる。散直実験によると、この程度あるいは以下の g_2 に対して、重力波の周期程度の時間内に、mode におけるどの位荷電粒子が集積を小得るかを、次の 2 つの場合に分けて考察する。

1. g, L : photoionization, recombination
2. g, L : photoionization, recombination, charge transfer

電離圏・磁気圏のイオン分布に関するモデル

丸橋克英
電波研究所

電離圏・磁気圏のイオン分布については、考える領域を図の様に3つに分けて考察するのが適當と思われる。すなわち、(I) 開いた磁力線の領域、(II) プラズマポーズの内側領域、(III) プラズマポーズの外側で磁力線が閉じている領域、の3つである。

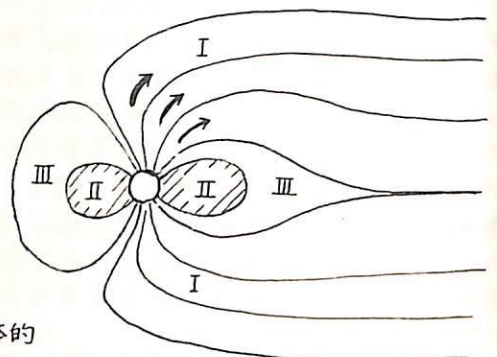
磁力線が開いている領域の大きい特徴は、電離層から上昇したイオンが十分なエネルギーを得れば、地球からの脱出が可能であることである。

磁気圏尾部へのイオンの逃散過程については、流体的な考え方と無衝突脱出の考え方が提出されている。

イオンの逃散フラックス、密度分布については、両者は同程度の結果を与えることが示された。しかしながら、実際に流体的に振舞うに十分な等価的衝突過程が磁気圏尾部に存在するかどうかは、今後の問題である。

磁力線が閉じている領域で、イオンの平衡分布を考える場合には、南北両半球を結ぶ磁力管内の力学としての考察が必要である。たとえば、南北の電離層が完全に対称な状態にあれば、定常状態では、赤道面をよこぎる磁力管内の流れは存在し得ない。もちろん、イオンの生成・消滅が起こっている領域では運動は可能であり、日変化などの電離層領域の時間変化にともなって、磁力管内に流れが生ずるが、この場合でも、赤道面では速度0の条件を満たすはずである。従来の動的電離層モデルでは、この点の考慮が不足しているように思われる。

上の議論は、(II)、(III)の領域に共通だが、特に(III)の領域は(I)の領域と磁力線の交換が行なわれるため、時間に依存するモデルとして、より複雑になる。また、(II)の領域の運動が流体的に扱えることは疑いないが、(III)では(I)と同様に、等価的な衝突過程があるかどうかが問題になる。



夜向 E 一下 中間層の生成について

藤高和信
東大 理

夜向 E 領域が $10^3 / \text{cc}$ 程度の電子密度を持つことは観測からほほ明らかにされており、従って夜間にも電離源を必要とすることが予想され、geocoronal & interplanetary space からの UV 放射が有効と考えられる。 (Tohmatsu & Ogawa 66)。それによると $90 - 120 \text{ km}$ では H Ly β (1026 Å)、それより下方では H Ly α (1216 Å)、 150 km 以上では He I 587 Å 及び He II 304 Å 放射の寄与を考えることができる。これらによる電離の profile は 100 km 付近に peak を持ち、 140 km 付近に電離の谷をもつ。一方 sounding rocket による夜向電離層の電子密度の平均 profile によれば 100 km 附近に $10^3 \sim 10^4 / \text{cc}$ の peak を持ち $120 - 170 \text{ km}$ に谷を持つ。(K. Maeda 89)。従って geocoronal theory は夜向 "E 層" の存在とその上方の valley の存在を説明するには成功していると思われる。しかし実際には geocoronal theory によるものよりずっと多くの谷が観測されることがあるし、下部 E 領域には細かい irregularity が観測されている。ここで説明する為に中性の風の鉛直 shear による電子の輸送を考慮することができる。1968年 Feb 22 に Wallops Island より打上げられた rocket による電子密度と中性の水平方向の風の連続理論の結果 (L.G. Smith '70) を用いて輸送効率を入れた連続の方程式を解いたところ、観測された電子密度 profile と基本的には同じ profile を得た。(前回講演 '70)。観測された profile は上部 E 領域に $10^3 / \text{cc}$ の order の main peak (中間層) を含み、下部 E 領域には細かい irregularity をもつ。計算結果と比較して、中間層の生成が wind shear の効果で説明されることはほぼ確実と思える。中間層は鉛直 drift 速度 (ion v) の nodal point に沿って下降していくが、再結合に要する時間を考慮すると、 $v_{\text{eff}} \gtrsim 2 \times 10^7 \text{ cm}^3 / \text{sec}$ として $t_{\text{rec}} = (d_{\text{eff}} \cdot N_e)^{-1} \leq 2500 \text{ sec}$ となり、生成された電子は 1 時間以内に消滅するはずであるから電離雲がそのまま下降したと考えるよりは、下降する wind shear によって ambient な電子密度が perturbation を受けたと考えた方が適当であろう。一方下部における sporadic E 層の微細構造は計算結果には現わらず、wind profile とも対応がつかない。 $\frac{dv}{dz} < 0$ の時ののみ存在し $\frac{dv}{dz} > 0$ の場合は消滅する peak と、観測期間を通じて存在する peak がある。これらの downward motion は平均 15 cm/sec にすぎず、中間層の下降速度の高さ $1/10$ にすぎない。これらを見て、中間層と sporadic E とは一応別々に考えべきかも知れない。古くから sporadic E は中間層の場合よりも、もっと小規模な擾乱に原因を持つのではないかと予想される。Sporadic E の多層構造を波動的にとらえるとその波長は数 km であり、超高层に存在する波動 (internal gravity wave) の波長と比較すると意味深い。(以上詳しくは近く Constantinescu & Bedinger が J.A.T.P. に、 Fujitaka, Ogawa & Tohmatsu が P.S.S. に投稿する予定である。)

電離層内の長周期振動

— 電離層内における Rossby 波の存在の可能性について —

北林泰一
九大理

地球の下層大気や海洋には数日周期のゆっくりした波動が存在する (Rossby 波又は Planetary wave)。この Rossby 波は本質的には Coriolis 力がその存在に寄与するものであるが、それを記述する方程式の性質からみて電離層内でも Rossby 波が存在する可能性があると考えられる。電離層の特長は Ampere 力の存在にあるが、これがいかに "Rossby 波" を modify するかをみるのがこの目的である。

§1 座標系は x を南向き y を東向き z を上方にとり Coriolis 力に $f = f_0 + \beta x$ ($f_0 = 2\Omega \sin \phi$ 地球角速度 Ω 緯度 $\beta = 1/a \cdot (\partial f_0 / \partial \phi)$ 地球半径) とする。運動方程式に Coriolis 力と Ampere 力をくみこみその curl をとつて線形化すると

$$\frac{\partial}{\partial t}(\nabla \times \mathbf{u}) + \nabla \times (f \times \mathbf{u}) = \frac{1}{\rho} (\mathbf{B}_0 \cdot \nabla) \mathbf{J} \quad (1)$$

この式の z 成分をとると左辺は中性大気の Rossby 波そのものであり、右辺がその Rossby 波に与える $\mathbf{J} \times \mathbf{B}_0$ 項の影響となる。これからわかるように

結論① $J_z = 0$ のば Ampere 力の Rossby 波への寄与はなくなり電離層と中性大気の coupling はとける。

§2 $J_z \neq 0$ のとき

J_z はダイナモ理論では従来オーダーとしてゼロと考えられてきた。(しかしわざから J_z が存在してもおかしくないし、又その存在の重要性に着目する必要性が何度も指摘され議論されてきた。今の場合 $J_z \sim J_x/100$ 程度とおも $(J_z \cdot \mathbf{B}_0)/\rho$ の大きさは左辺の各項の $1/10$ 又はそれ以上となり決して無視出来ない。Maxwell 方程式と Ohm 方程式から電磁方程式とおこ

$$-\frac{\partial \mathbf{B}}{\partial t} + \nabla \times (\mathbf{u} \times \mathbf{B}_0) = \nabla \times [A_{ij}] \cdot \mathbf{J} \quad (2)$$

\mathbf{B} は擾乱磁場、 \mathbf{u} は中性大気速度 $[A_{ij}]$ は電離層伝導率テンソルの逆テンソルである。 $(1)/(2)$ 式と $\mathbf{J} = \nabla \times \mathbf{B}/4\pi$ を考慮すると分散式が求まる。多め長計算を遂行すると一般的には $\mathbf{J} \times \mathbf{B}_0$ 項で modify された Rossby 波を含む 6 つのモードの波の存在が可能となる。波動は Ohmic loss のため dissipation term を含み自由振動とての存在は無理であるが何らかの外力(励起構造)があれば存在する。この modification の一般的な模様は複雑で未だ明快なイメージは得られていないが、特別の場合とて東西に伝播するモードを考えかつ議論を絞り度と張ると分散式は

$$i\omega^3(-\omega k_y + \beta)(\omega^2 - i\delta\omega - T) = 0 \quad (3) \quad S, T \text{ は } \sigma_0, \sigma_2 \text{ の函数}$$

モード(I) モード(II)

β は β -平面近似による β であるが (II) のモードは例とて (I) のモードは中性大気の Rossby 波そのものである。結局

結論② J_z が存在しても 級緯度では東西に伝播する波動については電磁力と中性大気の coupling がとけ、中性大気中の Rossby 波そのものとなる。

台風による内波重力波の励起と地磁気擾乱

三浦光軍夫・並川高一
(阪大大理)

上層大気の擾乱・不規則運動に主として低周波内波重力波が寄与していることが、Hines (1960) により指摘されている。この波の励起機構の一つとして対流圏での気象擾乱があげられている。Gassard (1962) は温度運動場での波動のスペクトラムより内波の励起を確認している。今回は対流圏での大規模な擾乱である台風に着目し、内波の励起と超高层大気の擾乱との関連の可能性を試論する。周期1時間程度の波に対しては充分関連性があるようと思える。

Ionosphere Perturbed by Gravity Wave,
Numerical Experiment.

深尾昌一郎・加藤進
京大工学部

The ionosphere is disturbed by a gravity wave which arrives from below and travels upwards. It is found that the disturbed ionization density always follows closely the gravity wave disturbance of neutral gas immediately upon its arrival. The amplitude of the disturbed ionization increases with that of the gravity wave. The disturbed ionization (mass) motion, however, depends on the ratio of the intensity of the gravity wave disturbance to the gravity wave phase velocity relative to the ambient ionization which is driven upwards by d.c. electric field. If this ratio is larger than unity, the ionization tends to move with the phase velocity of the gravity wave. If not, the ionization continues to be driven by the d.c. electric field with a modulation by the gravity wave. In any case, we have transient phenomena upon the gravity wave arrival, not in density, but in movement of ionization. The present model is valid on the equator side of the S_q -current vortex in the ionosphere.

電離層ダウナモ理論Ⅱ β -plane

村田宏雄 岐阜大工

IではNon-rotating Earthについて取り扱ったが、今回の地球の回転効果によって生ずるコリオリ力を β -plane 近似のもとで考慮した場合について考察する。垂直磁場の下でのNon-rotating Earthの場合方程式は解け、正の固有値を持つモードが存在し、その振動の垂直方向伝播にあたりアンペア力の効果について明らかにされた。 $W^2 = \Omega_1^2 + \Omega_2^2 \approx \Omega_2^2$ なるところ $\beta=3$ で共鳴現象がみられ強力な波の反射、減衰がある。

ここに W は太気振動の角振動数、 $\Omega_1 \equiv \alpha_1 B_0^2 / \rho_0$ 、 $\Omega_2 \equiv \alpha_2 B_0^2 / \rho_0$ (α_1 ; Pedersen conductivity, α_2 ; Hall conductivity, B_0 ; 磁場, ρ_0 ; 密度) であり Ω_1 はアンペア力が大気の運動に減衰を与えるときの単位時間当たりの減衰の割合、 Ω_2 はアンペア力が大気の運動に回転を与える（北半球では反時計回り）ときの角振動数である。太気振動の角振動数とアンペア力による大気の回転角振動数とが平行一致するところ $\beta=3$ で共鳴が生じる。垂直方向の電流の効果も考慮に入ると磁力線方向の conductivity のかわり、 α_2 が十分大きいため振動にたって荷電分離がおこなわれても瞬間的に磁力線に沿って放電が行われ（単位時間当たりの放電の割合 $\Omega_0 \equiv \alpha_0 B_0^2 / \rho_0$ ）静電場ポテンシャルは磁力線に沿って一定となる中性大気の振動本数もこの割合のモード、つまり磁力線に直角に伝播するものが得られた。中性大気中での太気の振動は球面上に支配され、これにたって電離大気内では振動が磁力線に支配されることになる。

負の固有値をもつモードを議論するためには地球の回転効果を考慮しなければならぬ。ここでは β -plane 近似の下でのダウナモ電場によるアンペア力について考察し、適当なモデル化により静電場の垂直分布を求める静電場によるアレペア力についても検討する。 β -plane の厚さと colatitude $\theta_0 = \frac{\pi}{2}$ のところに置くことにする。ダウナモ電場によるアンペア力の効果によって Non-rotating Earth の場合と同様の共鳴現象を生ぜしり、その条件は（垂直磁場下で）

$$W^2 = \Omega_1^2 + (\beta - \Omega_2)^2$$

が満足されるところである。すなはちコリオリ因子 $2\Omega \cos \theta \approx 2\Omega \cos \theta_0$ 、 Ω ；地球回転角速度である。115 km の高さ附近では $\Omega_1 < \Omega_2 (< \beta)$ であるので、この共鳴現象の条件は $W^2 \approx (\beta - \Omega_2)^2$ で表わされる。これは太気振動の角振動数が大気の運動に時計回りの回転を与えるコリオリ力と反時計回りに回転を与える Hall 効果の差、つまり見掛け上の大気の回転角振動数に等しくして共鳴が生ずることを表わし、強力な波の反射、減衰がある。高さが高くなるにつれて Ω_1 が大きくなるからそれと同時に Ω_2 もその値に近づくため、この間は共鳴条件をほぼ満足してくる。 $\beta=3$ かつ $\Omega_2 < \beta$ なるところでは大気の回転の見掛け上の角振動数はなくなり、したがって固有値問題は Non-rotating Earth の場合と類似して見掛け上の固有値はるくなり、正の固有値をもつ領域がでてくる。したがって、ここでは垂直方向へ伝播可能である。 $\Omega_2 > \beta$ なる高さでは、コリオリ力よりアンペア力が大きくなるため大気の運動は反時計回りとなる。この大気のモデルに大さくは $125 \sim 130$ km のところに相当する静電場を採用するため、簡単にモデルのままでダウナモ方程式を三次元的に解くと求められる。

Susumu Kato,
Ionosphere Research Laboratory,
Kyoto University, Kyoto, Japan.

We examine theoretically how the ions which initially form a field-aligned cylindrical cloud with excess density move in applied uniform electrostatic and magnetostatic fields. Due to polarization field in the presence of the cloud, these ions move very peculiarly, resulting in elongation of the cloud transverse to the magnetic field. The elongation becomes very spectacular at high altitudes as above 200 km, a result which can explain the barium cloud experiment. Besides elongation, the width of the cloud becomes very narrow above 200 km, another result which is consistent with the experiment. It is shown that the elongated ion cloud tends to lose the original excess density. However, the different ion species between the cloud and the ambient plasma always produces different ion mobilities between them causing an instability on the cloud boundary. Such instability can explain the observed striation of intense barium cloud.

電離層非周期風による電流系(2)

京大理 前田 坦

電離層内で考えられる非周期風が、どの程度の電流系形成に帰属するかと云ふ問題は、①電離層に期待される各種の運動の性質を明らかにする；②地磁気曰変化磁場が生成にこれら各種の運動がどのよび何様にしていかかしらべる；③各種の運動と関連した電流や電場の分布を求め、それから電離層の力学的性質に及ぼす影響を明らかにする、などのために重要なである。この問題は二つに分けて考えられ、まず地球の磁極が回転軸と傾くために誘導される電流はすでに Part (1) で述べ、合計の曰変化電流の約 7/8 が帰属がかかる事が分った。次には風や電気伝導度があなた変化することによっておもむろに電流をここで報告する。

大気モデルは CIR A 1965 の model 5 (mean solar activity) を用い、電離層モデルはこれにちょっと modified Chapman type ($\ln E \propto \chi^2$ となるといつてよい) を用いて電気伝導度の世界分布を計算し、風速の緯度変化・高度変化は十分な観測がないので仮定した。最も気になつて假定は偏極電場が高さ変化しないと言つて、これは赤道付近では適切でない。しかしそれでもこの假定が結果に及ぼす影響はそんなく大きいとは考えられない。

取扱い方法は、高さにつれて積分したもつて $J_r = \int_{r_1}^{r_2} j_r dr = 0$ として $J_\theta = \int_{r_1}^{r_2} j_\theta dr$ と $J_\lambda = \int_{r_1}^{r_2} j_\lambda dr$ これから $\operatorname{div} J = 0$ を解く。最終的には $\alpha \frac{\partial \xi}{\partial r} + \beta \frac{\partial^2 \xi}{\partial \lambda^2} + \gamma \frac{\partial \xi}{\partial \theta} + \delta \frac{\partial \xi}{\partial \lambda} = \xi$ のよき直立円柱型偏微分方程式となるので、 $(\xi)_{r=0} = 0$, $(\frac{\partial \xi}{\partial \theta})_{\theta=\frac{\pi}{2}} = 0$ なる境界条件下のもつて“数値的に解く。(但し $r_1 = 90 \text{ km}$, $r_2 = 150 \text{ km}$ としてある)

Equatorial Electrojet Return Current の拡がり

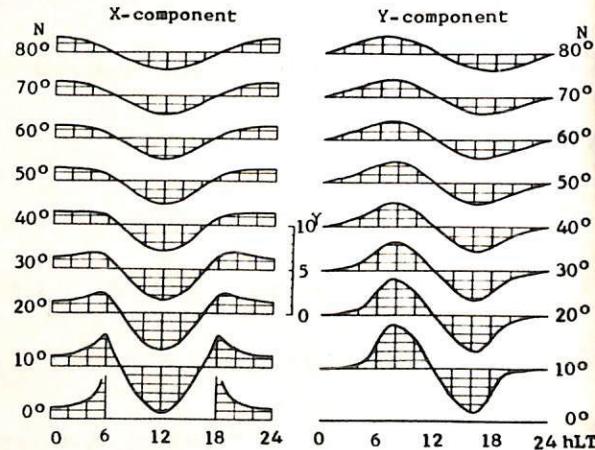
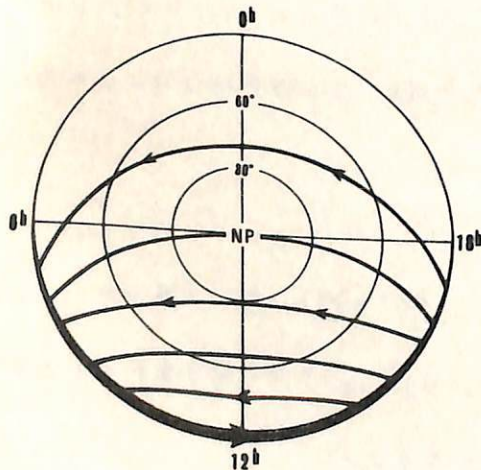
福島直・上出洋介
東京大学理学部

Equatorial electrojetのreturn currentが中低緯度においてどの範囲まで及んでいるかまたそれが地磁気日周変化にどの程度の影響を及ぼすかについて考察した結果を述べる。筆者らが先に auroral-zone electrojet の勢力範囲を求めた場合と同様な方法を用い、赤道をはさんで緯度 4° 中に、強さが経度の cosine に比例する (12 h meridian を経度 0° とする) electric dipoles を昼間側の半球に置き、それによる導体球殻上の電流分布を求めた。球殻上の電気伝導度が一定の場合には、equatorial electrojet return current の電流曲面 J は

$$J \propto \int_{-\frac{\pi}{2}}^{\frac{\pi}{2}} \frac{\cos \lambda_0 d\lambda_0}{1 + \sin \theta \cos \lambda \cos \lambda_0 + \sin \theta \sin \lambda \sin \lambda_0}$$

$$= \frac{1}{\sin \theta} \left[\cos \lambda \left\{ \pi \left(1 - \frac{1}{\cos \theta} \right) - \frac{2}{\cos \theta} \tan^{-1} (\tan \theta \cos \lambda) \right\} + \sin \lambda \cdot \log \left| \frac{1 + \sin \theta \sin \lambda}{1 - \sin \theta \sin \lambda} \right| \right]$$

という形になる。電流分布の形は下左図に示されてゐる。Equatorial electrojet が赤道上において正午に 100γ の地磁気変動を及ぼすと仮定した場合、その return current の X-成分および Y-成分の地磁気変動に及ぼす影響を算出した結果を右下図に示してある。



地磁気日変化のスペクトル構造

(序報)

白木正規

気象庁 地磁気観測所

地磁気日変化の詳細なスペクトル構造を調べるために、一日周期、半日周期、
および $1/3$ 日周期の周波数領域で日変化のスペクトル解析を行った。

データ 柏原 1969

D および H の Hourly value

< 解析結果 >

3つの週波数領域で大きな振幅をもつのは、 S_1, S_2, S_3 項の3つである。これらのスペクトルの大きさは小さく非常に尖鋭である。 S_1, S_2, S_3 の他の周波数の成分は、これらに比べて振幅が非常に小さい。

1日周期の領域

H の S_1 は 2つのピークに分かれている。

L_1 項に対応する $1/3$ 日 ピークはあるが存在は確定していない。

H は L_1 項とは別な太陽項 (L') のピークがみられる。

半日周期の領域

L_2 項が振幅は小さいかはっきり現れない。

$$D: L_2 \sim \frac{1}{8.5} S_2, \quad H: L_2 \sim \frac{1}{7} S_2$$

H は L'_2 と L_2 と同じ程度の大きさのピークを下している。

$1/3$ 日周期の領域

D は L_2 と S_1 の couple 項がみられる。

$$D: L_2 \cdot S_1 \sim \frac{1}{2} L_2$$

H は L'_3 とみられるピークがある。

電離層における3年年変化

電波研究所 米沢 利三

超高層大気の密度（または温度と考えてもよい）が半年周期の変化をしてることはよく知られる事実であるが、その原因については今迄所全く不明で、この現象はこの方面の研究者により least understood phenomena の一つであると考えられてい。最近では高さ 90 km のレベルにおいても大気密度の半年変化が存在すると言ふ人は多いが、これは対して疑問を持つ研究者もあるようである。とくに F2 層の電子密度にも半年周期の変化が含まれている。この半年変化の極大が起るときは、平均すれば、正午の電子密度では北半球で 4 月（または 10 月、以下では北半球を省略する）17 日、南半球では 4 月 18 日であり、真夜中の電子密度では北半球で 5 月 1 日、南半球で 4 月 26 日である。一方 Jacchia 年が与えているデータを用いて計算すると、超高層大気温度の半年変化は 1958-66 年の平均では 4 月 23 日、1961-65 年の平均では 4 月 25 日に極大になるので、この二つの現象の極大の時期はほとんど一一致するものと見なせられる。更に太陽黒点数が 0 から 200 まで変わると同時に、正午の電子密度では、極大時期が北半球では 4 月 26 日から 13 日まで、南半球では 4 月 30 日から 12 日まで前進する（真夜中の場合も同様であるが、日付がやや不正確であるからこゝでは述べない）。超高層大気温度の場合にも同様な位相の前進があることは、1958-66 年および 1961-65 年の平均太陽黒点数がそれぞれ 71.9 および 28.9 であったことを考えれば、むかしではある（ただし統計的有意性に関する明確な証拠はない）。これらを明確にするために、F2 層電子密度と超高層大気温度の半年変化の間に何等かの深いつながりがありうるに想像されるのであるが、今の所ではその正体が何であるかはまだ知らない。しかしそれを見たまでは、F2 層電子密度と超高層大気温度の半年変化の間に何等かの深いつながりがありうるに想像されるのであるが、今の所ではその正体が何であるかはまだ知らない。しかしそれを見たまでは、F2 層電子密度と超高層大気温度の半年変化の間に何等かの深いつながりがありうるに想像されるのであるが、今の所ではその正体が何であるかはまだ知らない。しかしそれを見たまでは、F2 層電子密度と超高層大気温度の半年変化の間に何等かの深いつながりがありうるに想像されるのであるが、今の所ではその正体が何であるかはまだ知らない。

次に、若しも高さ 90 km のレベルにおいて大気密度の半年変化が存在するならば、それが E 層に影響するとも考えられるので、E 層の正午の電子密度に果して半年変化が含まれているかどうかを調べてみた。その結果（赤道地方の観測所においては半年変化があるのは当然であるが）中緯度地方においても半年変化の存在が明確には認められない。たゞその振幅は非常に小さく、年平均電子密度の数パーセントの程度である。また極大の時期になると、得られた数値のばらつきが大きくて、余りほつき（たゞとは言えないが、赤道地方では春秋分に起るといふのが、緯度が増加するに伴つていくらか早く起るようになり、地理緯度 25 度の辺りで最も早く、2 月末から 3 月始り頃極大が現れるようになるが、更に緯度が小さいと再び極大生起は遅くなつて、60 度辺りでは大体春秋分の頃に公算という傾向があるよう見えられる。この点は今後調査する観測所の数を増して更に吟味を加えつもりである。ところが上記のような振幅の小さな半年変化は、1 年周期の季節変化が太陽地軸間の距離の変化により変調を受けたことによつても起ると思われる。その場合には極大は 3 月 10 日前後に現れることはなく、この時期は春秋分にかなり近いので、観測結果の解析からこれが事実起つていいかどうかを判定するには中々難かしい。しかし緯度 25 度の辺りで極大が早く現れるのはこの変調の効果の現れであるかも知れない。それに反して比較的緯度が高い所で春秋分に極大が現れるのは、荷電粒子侵入の影響と考えるべきであるかも知れない。何れにしても E 层における半年変化は F2 層の場合とは性質の異なるものであると考えるのが妥当であるように思われる。

左お層高の半年変化に関する考察を加えたが、高さのデータは正確度が劣るので、結論を得る事が困難である。しかし F2 層のピークの高さに半年変化が存在して春秋に極大を取る事は間違いないようである。

上部電離層の磁力線に沿った構造

松浦延夫・北條尚志・西崎良・永山幹故・中村義勝
電波研

上部電離層の構造を探る方法に、トップサイド・イオノグラムを用いた $N(h)$ 解析がある。 Alouette II のイオノグラムを用いた $N(h)$ 解析結果については、前回の号まで報告し、また "Data on Topsid Ionosphere" として発表している。

Alouette-II, ISIS-I のように高高度を飛翔する人工衛星データはより広範な領域の電子密度分布が得られるゆえであるが、衛星高度が高くなるとそれだけ解析上の困難が増えてくる。衛星高度が低い場合にはアンテナからの電波は磁鉄直方向伝搬を行なうよりと考えられるが、衛星高度が高くなると鉛直方向以外からの伝搬によるエコーがむしろ卓越してくる。これが一つの困難な点である。

鉛直方向から外れた伝搬の中で最も可能性の高いのが磁力線に沿った伝搬（主に黒帯波）であろう。南北両半球の共役臭間を電波が往復していることを示す“共役ダクト・エコー”がしばしばトップサイド・イオノグラムに現れ、このようなエコーは磁力線に沿って伝搬していることが考えられる。そこでダクト・エコーを利用して磁力線に沿った $N(h)$ 解析を行い、各磁力線に沿った電子密度分布を求めた。これでは、磁力線の形を決める際に IGRF 1965.0 の係数が用いられている。

現在 Alouette-II の軌道についての例が得られているので、それらについて報告する。

磁力線に沿って得られた $N(h)$ プロファイルから、算電子密度曲線を描くことによって電子密度分布の不規則性が容易に認められる。磁力線方向に長く伸びた電子密度の下規則分布は意外著しく、 $\Delta N/N \sim$ 数十パーセント、磁力線に直角方向のスケールは不規則度间隔にて $0.5 \sim 5^\circ$ 程度である。ただし、アンティークの周波数掃引時間は約30秒であるので、分解能は限られており微細構造を知ることはできない。

Alouette-II の軌道に沿って南北両半球にまたがってデータが得られている場合には、南北両半球の電子密度の共役性を調べることができる。可なり多くの共役性が認められる場合があり、Alouette-II が観測範囲を通過する時間（約10分）の間は少くとも下規則分布は定常的であったことになる。

電子密度不規則分布の山と谷で表された磁力線に沿った $N(h)$ プロファイルスケールハイトには明瞭な差が認められることがあり、少くとも高度約 700 km 近辺から上の部分での電子密度が一様に（高度につれて一定の割合で）増減することによって不規則分布が形成されることが考えられる。

算電子密度曲線から得られる電子密度の鉛直分布は可なり凹凸のある不規則分布となつてゐる。ダクト・エコーモード観測される極の場合、ある程度高い周波数に到るまで O および X モード共に鉛直伝搬のエコーがイオノグラム上に現れてこないのは、このようないくつかの不規則構造に起因するかが知れり。

Alouette - II による Ducted Echoes.

西崎良・松浦延夫・永山幹敏
電波研究所

Alouette のイオノグラムに時々共役臭間を電波が往復することによって生ずる多重反射エコー（共役性ダクトエコー）が見られる。このようすエコーは Alouette - I のイオノグラムから Muldrew によって発見されている。その後も Muldrew, Rama Sastry および Walsh によって発生場所、発生時刻などの統計結果が報告されており、又最近においては Ray Tracing によるダクトエコーの計算結果が発表されている。

今回は鹿島支所において受信された 66 年 10 月から 68 年 10 月までの Alouette - II のイオノグラムを用い、同じような統計結果と二三の興味深い結果について報告する。

1. 共役ダクトエコーの統計結果

ダクトエコーの出現した 305 例のうち、共役臭間を 1 往復したもののは 258 回、2 往復したもの 97 回、3 往復したもの 25 回と低減している。

ダクトエコーの周波数分布は 0.9 MHz から 2.5 MHz の範囲内で f_{xs} (行星臭における Extraordinary) より高い周波数で起こっており、ダクトの下限周波数は地磁気赤道附近では f_{xs} に近い周波数から発生し、地磁気緯度の比較的高い所では f_{xs} より若干高い周波数から発生している。

又発生場所の統計では 行星高度 1000 Km 以上、地磁気緯度 45° 以下、L 係数 1.2 ~ 1.7 の範囲で 1.4 附近にピークが見られる。

発生時刻は地方時で夜半から午前中に多く発生し、午後から日没頃までは殆んど起っていない。

2. 行星臭とその共役臭間のダクト伝搬

行星が北半球にある場合をうば、北側から反射エコーと南側の Conjugate Point からの反射エコーの見掛けの高さの差 ($h_s - h_N$) を求めると、ある周波数区间この差が殆んど変化しない場合がある。行星臭とその共役臭間の磁力線の長さ L と $h_s - h_N$ の関係を 1 Pass について比較すると、非常によい比例関係が得られた。

3. 地上観測イオノグラムとの比較

トップサイドでダクトが起っている場合の 30 例程について 行星位置を通る磁力線上の地上局のイオノグラムを調べてみた。その結果 F 層にしばしばもう一つの成層が現われている場合があり、はっきりした成層ではない散乱性のものまで含めると相当多い対応が得られそうである。行星が動いているため時刻、場所等 1 対 1 の比較は難かしいが、ダクトを起こす電子密度の変動は下層附近までおよんでいるのではないかと考えられる。

1-28 往星と地上からの観測による f_0F2 の比較

西崎 良， 永山幹敏
電波研究所

国産電離層衛星で得た電離層の最大電子密度、 f_0F2 の世界地図を作成することが主要目的の一つになり、というが、これが地上から観測した値と一致するかどうか調べる目的で、次のデータを使用して行った。

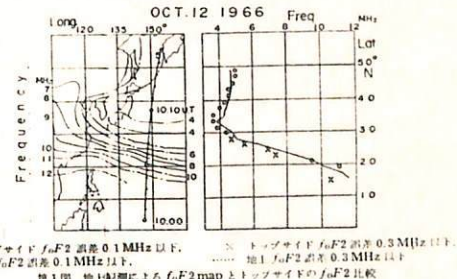
① 1968年1月から1969年12月までの2年間で、Alouette-IIの軌道が、種内秋田、国分寺、山川の4観測所を中心とした半径3度以内を通過する時のTopSideの f_0F2 と地上観測の f_0F2 の比較。

② 1966年10月から1967年9月までの1年間で、Alouette-IIの軌道が、種内秋田、国分寺、山川の4観測所を中心とした緯度±1度以内、経度±25度以内の時のTopSideの f_0F2 を読み取り経度方向について1度当たり半分として時差補正し、地上観測による f_0F2 と比較。

③ オーストラリアから C.C.I.R.に報告されたいざ Documento を引用して検討した。(この Documento は Alouette-I の軌道が、28 地上局を緯度、経度共に 1 度以内を通過したときの。TopSide と地上観測による f_0F2 の比較である。)

この結果同時観測では、10 点しか得ることとは出来なかったが、非常に良く合っている。しかしオーストラリアからの Documento は対応が良くなく、標準偏差は 0.85 MHz になっている。又②の結果は、全体の 90% 以上が 0.5 MHz 以内に入り比較的良く合っている。この標準偏差は 4 観測所共に 0.3 MHz 前後であった。

又地上観測による f_0F2 Map と TopSide による f_0F2 の比較をしてみた。
1966年10月の 2 pass について、国内4観測所と、台北、マニラの地上観測 f_0F2 から日本附近を中心とする f_0F2 Map を作り、これと Alouette-II で観測された f_0F2 を比較した。結果は下図に示す様に電離層の傾度が大きい北緯 30 度以南で、差が大きくなる傾向にあったが比較的良く合っている。

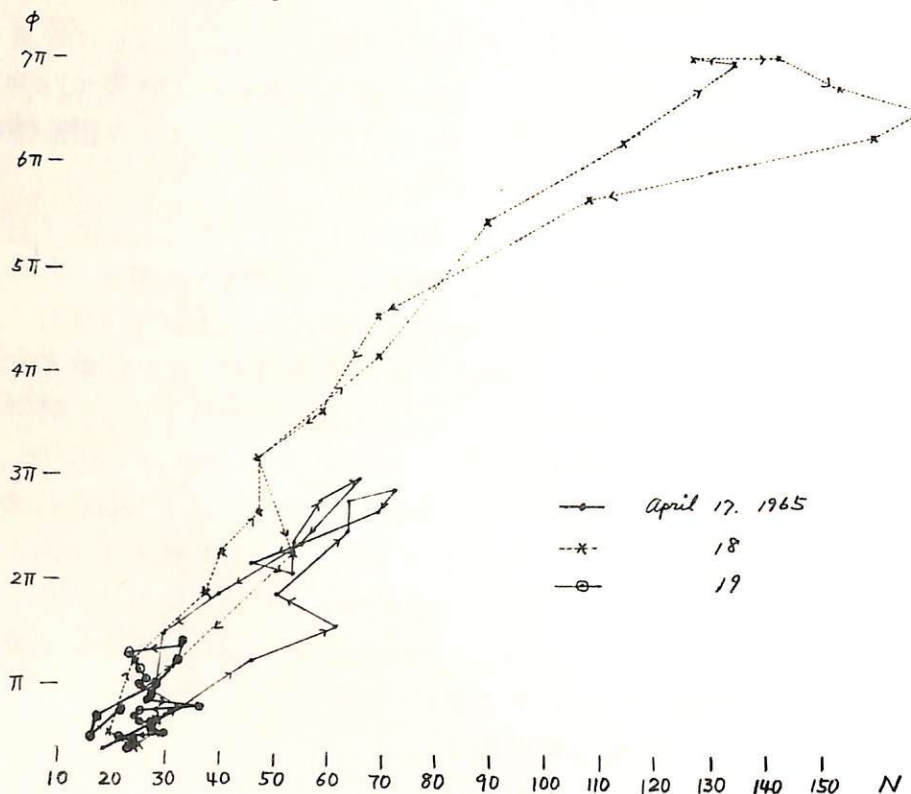


— ツップサイド f_0F2 減差 0.1 MHz 以下。 — ツップサイド f_0F2 減差 0.3 MHz 以下。
— 地上 f_0F2 減差 0.1 MHz 以下。 地上 f_0F2 減差 0.3 MHz 以下
第1回 地上観測による f_0F2 map とツップサイドの f_0F2 比較

磁気嵐時の中緯度における N_T の変化

中田美明 菅宮夫 合歓垣礼子 加藤仲夏 吉田忠彦
電波研究所

1964年10月—1969年6月までの期間は Syncor 3号により、1969年8月—1970年8月までの期間は Intelsat 2F2による静止衛星の電波の Faraday 効果によって、全電子数 N_T の連続観測を行い、いくつかの磁気嵐時の N_T の変化を得ることができた。代表的な例として 1965年4月17日—19日を図にて示した。図は横軸に国分寺の最大電子密度 N をとり、縦軸に Faraday 回転角 χ をとり、それぞれの毎時の値を plot して結んだものである。磁気嵐は 17 日 22 時 07 分に起きたが、図によればその翌日 N および χ は非常に増加したが、更にその翌日は非常に減少していることがわかる。又 plot した点を結ぶ傾斜はほぼ slab thickness を表わすとみなされるが、磁気嵐の翌日は増加していることが示されている。今回はこのような操作によつていくつかの磁気嵐時において得られた観測結果について述べる。



K-8-16号機による風の観測

* 中村 純二 松岡 猛 ** 加藤 進 大地 登 ***
 東大放電 工 岐阜大飯養 ***

1970年 9月2日 19時14分, K-8-16号機は Na 発光弾・Ba 卷光弾・電子温度測定器及び電子密度測定器を搭載して、上下角 81° で発射され、正常に飛しょうした。発光雲は内之浦・南郷・種子島・山川及び谷山の5観測点から、写真撮影が行なわれ、内之浦・南郷及び種子島では、部分的に薄雲にさえぎられたが、各発光雲について少くも 3 観測点からの同時撮影を行なうことができた。また山川では同時に電離層ドリフトの観測が行なわれた。

Na 発光雲はロケット上昇時の X 雲と、下降時の Y 雲が作られ、特に前者は断続弁を利用して左写真のような数個のクビレのある発光雲を作ることに成功した。

Ba 卷光雲は南郷を除く 4 観測点から写真撮影を行なう



Na-X雲 (谷山)

Na-Y雲 (南郷)

ことができたが、予期されたようなく十分な気化が行なわれず、かつロケット高度も低かった為、必要な数の Ba^+ が作られず、イオン風を求めるとはできなかった。しかし直径 1 米程度に拡がった BaO 卷光雲からロケットの航跡を全長 50 米にわたって精度 100 米以下で求めることができる。

現在発光雲の解析は進行中であるが、これまでに判明した概略は下の通りである。

| 発光雲 | 高度範囲 (km) | 内之浦からの水平距離 (km) |
|-------|-----------|-----------------|
| Na X雲 | 90 ~ 120 | 40 ~ 55 |
| Ba 雲 | 170 ~ 150 | 115 ~ 160 |
| Na Y雲 | 150 ~ 130 | 160 ~ 190 |

内之浦からの方位は北から東へ約 141°

また風向風速の概略値の一例は下の通りである。

| 発光雲 | 高度 (km) | 風向 ($^\circ$) | 風速 (m/s) |
|------|---------|-----------------|----------|
| Na X | 92 | 345 | 18 |
| Na X | 94 | 150 | 20 |
| Na X | 98 | 205 | 19 |
| Na X | 107 | 225 | 15 |
| Na Y | 140 | 230 | 50 |

ただし風向は北から東まわりに測ったベクトルの向きを示す。一般的傾向として高度 90 ~ 100 km の間に大きい風速の shear が見られ、また高度 105 km 以上の diffusive zone では高度が増すと共に上から見て風向が時計まわりとなっているのは、これ迄の観測の結果と同じである。

K-8-16号機によるインピーダンスプローブ
実験の結果

加藤 進・麻生武彦(京大工) 江尻全機(東大宇宙研)

K-8-16号機は Na及びBaの放出による電離層の風シャーの測定及び静電場の測定を主目的とする人工雲の専用ロケットであり、インピーダンスプローブは実験の背景となる電離層電子密度分布、Ba弾放出時のロケット近傍の電子密度の測定及び100 km附近でのスカラティックE層の検出等による実験の総合的で成功を企図して搭載された。

観測装置は通常のジヤイロアラズマプローブを0.5~9 MHzの周波数掃引時間62.5 msecと0.5 msecのものと二系統装備し高度に対する高い分解能と、弾の燃焼に際しての不測の事態に対する冗長性をもたらした。またこちらのバッファ用としてロケットに対して正バイアスされた球形プローブを先端に突き出し約50 dBのダイナミックレンジで電子飽和電流の測定も併せて行なった。

実験は9月2日1914 JSTにロケットが打ち上げられタイムシーケンスに従いNaX, BaU, BaZ, NaYの各弾が噴出された。インピーダンスプローブの各センサーは発射後72秒後に展開し、機器は動作し始めたが、飛翔後半に電源電圧の低下、掃引周波数帯域の変動等生じ又ガス噴出により何らかの障害と受けた可能性もある。

観測結果は、未だ正確な軌道データ、電離雲の噴出状況の記録等が入手されていないので最終的な結果を学会の講演に於て述べることとする。今の時点では(1)NaX(±73~100 sec)に向噴出する予定であるが、これが物の70プローブに17.83.6秒からインピーダンスプローブ(IPプローブ)とランプミニア飽和電流プローブ(Lプローブ)に全く相似の現象でおりX+87秒で前者によりアラームで周波数で6.7 MHz、後者によりそれに対応した160 μAの電流が流れている。Na弾は電離するわけではなく又この100 km近傍に於けるEs(EF山川)の観測では $f_0 Es = 2.4 \text{ MHz}$ (1915 JST)であるから少し高すぎるように思われる。②BaUとBaZの噴出に対しては機器はショックを受けて波形が乱れているが電離による電子密度の増加は見られない。地上からの観測でBa雲の発光が見られないことと対応している。(3)下りの高度100 km附近では人工雲の噴出が止めたのでIPプローブにEsによる音波から電流が流れている。IPプローブではこれに対応する放電は緩やかでスピノン運動により瞬時ウエイク領域にセンサーがあつたと音波から、低密度で真空レベルを示して居り、見出せない。

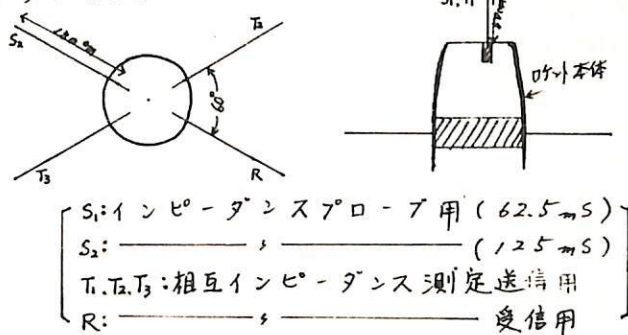
K-9M-33号機による同種の実験が来年1~2月に行なわれる予定であるが、我々はこのK-8-16号機によるテストを通じて人工雲との相乗りによるインピーダンスプローブ実験の可能性を確認した。又L-プローブのように直流プローブでガス噴出に伴うプローブ表面の汚れがかなり定量的解析をあやしくすることを認めた。又以上のようすは実験はMax-PlanckのHaerendelのグルーブが程度の行いやはり周波数掃引型のインピーダンスプローブにより電子密度の測定を行なうがBa+CuOの噴出により背景の5~6倍の電子密度の増加を観測している。

(次上)

L-3H-5号機によるインピーダンス
プローブの実験

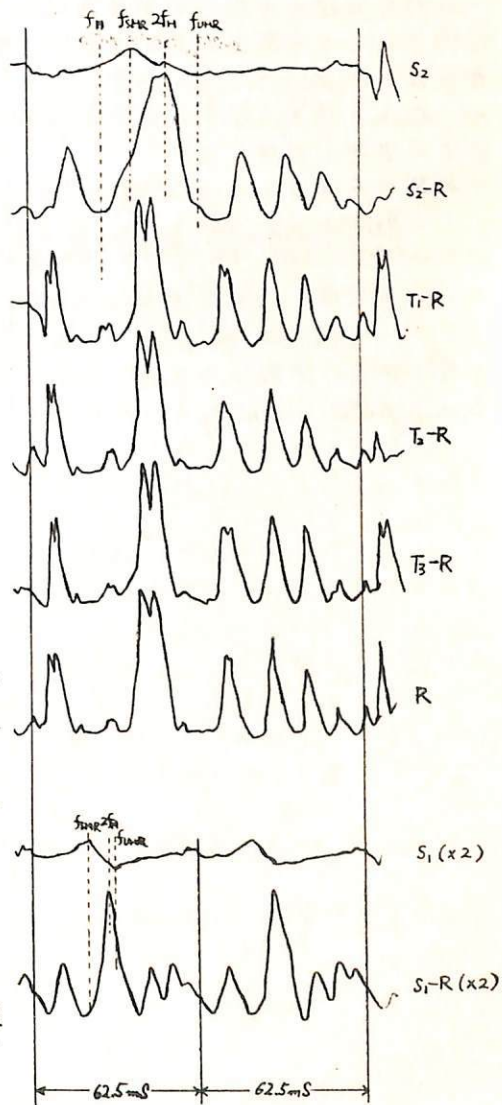
江尻全機・麻生武彦・横堀進義
東大宇宙研 京大工 京大工

1970年9月19日20時30分に、内の浦より打ち上げられた観測ロケットL-3H-5号機に搭載されたインピーダンスプローブによって、300km～2000kmの、夜間の電子密度分布が測定された。又、プラズマ中に、送信、受信用のアンテナを突き出し、その間の相互インピーダンスを測定し、電子密度、電子温度、或は、静電波の伝播についての解析を試みた。実験装置は、5本のアンテナを備え、タイムシェアリングで各アンテナを切り換えて、インピーダンスプローブ用、相互インピーダンス測定送信、受信用として用いた。これは、伝播方向を変えて測定すれば、地球磁場、及び、スピーンによる影響を明らかにし、更に、地球磁場の方向を決める事ができるであろうと思われるからである。



アンテナの配置図

送信側を定電圧駆動すれば、電流は、自己インピーダンスの周波数特性に依存するから、その時、受信アンテナに誘起する電圧を測定すれば、プラズマを介した時のアンテナの相互インピーダンスの周波数特性を求める事ができる。インピーダンスプローブによる電子密度測定は、これまで、ロケット実験によって、高精度で行なわれてきたが、相互インピーダンス測定によるプラズマパラメータに関する考察は、未だあまり進められてはいないので、宇宙研のスペースセンターに於て得られた、基礎実験の結果や、前回のL-3H-6号機で得られた、データと比較し、検討する。



各モードの波形

超音速で電離層内を動く物体によるプラズマ
波動の励起

倉橋克典

名古屋大学空電研究所

電離層の aerodynamics の理論的研究は主として Soviet の Ya. L. Al'pert, A. V. Gurevich, L. P. Pitaevskii を中心とする group によりなされて居り最近ではかなり詳しい部分まで究明されて来た。しかし波動の励起の問題については従来あまり積極的な研究はなされなかつた。これは電離層では damping が大きく波動の存在の可能性が少ないと考えられたためと思われる。しかしながら satellite の観測、及び laboratory での simulate 実験によるとその存在が確認(音波)され理論的解明が望される。

波動の励起の可能性のある領域は粒子の rarefaction の領域であるがこの領域はさうに電子と ion の密度の差から生じる電場の影響を大きく受ける body の近傍と、静磁場及び粒子の diffusion の影響の大きい body から比較的離れた部分とに大別できる。後者は plasma physics の束から多くの興味深い現象を含むがここでは電波観測上重要な前者に限定して述べる。

考察の方法は poisson's eq と Boltzmann's eq

$$\frac{\partial f_d}{\partial t} + V \frac{\partial f_d}{\partial r} + \frac{e_d}{m_d} (E_0 \frac{\partial f_d}{\partial V} + E_1 \frac{\partial f_d}{\partial v}) = \frac{r'(V+V_c)}{r'} \delta(r-R_0) H(-r(V+V_c)) f_0$$

但し右辺は body の surface による粒子の absorption を表わす項で $H(x)$ は Heaviside function である。

を用いて分布関数 f_d を求めこれから perturbed density, 電場を求めその dispersion relation, field intensity について論じる予定である。

弱電離プラズマ中の波動の非線形数値解析 - I

佐藤哲也・松田美之・小川忠彦
京大理 スターフォード大 京大工

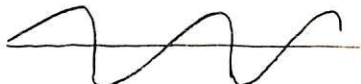
前回の講演において、弱電離プラズマ中のドリフト不安定(cross-field instability)の非線形解析の結果、モード間結合により、爆発的行波の成長(explosive instability)に導かることを示しました。この例からもわかるように、自然界で生じる爆発的現象に対して、プラズマの不安定性とともにモード間結合(波-波相互作用)が何らかの役割を果していることは異論の余地はないであろう。この研究の目的はモード間結合のひき起す特徴的な性質を電子計算機を利用して詳しく調べることにある。

一般に、平衡状(ブラソフ)プラズマ中の波動の構造には、プラズマの粒子的側面(微視的側面)が重要であり、モード間結合のみでとり出して調べることはむづかしい。ところが、弱電離プラズマは流体的取扱いが可能であり、微視的意味での粒子と波の相互作用(共鳴粒子)を考慮する必要がある。非線形効果としては、(1)平均流への由来(「ゆみる準線形効果」と(2)モード間結合の二通りしかない。このよう見地から、ここでは弱電離プラズマをとりあげて、モード間結合の性質を調べることにする。

磁場の弱い弱電離プラズマでは、粒子間平衡実効果のために、波の励起はほとんどなく興味ある現象に及ぶるが、このプラズマに磁場を加えると、Hall効果により種々の現象が現れる。電離層はまさにこのようなプラズマ状態にあり、種々の波(irregularities)が存在することが、電波伝播や直接測定により確認されている。中でも Hall電流(equatorial electrojet, auroral electrojet)によってイオニカ波やドリフト波の二流体不安定、クロス・フィールド不安定性の結果、生じることが理論的にも実験上も確かめられている。ここでは、これらの流体不安定性及びクロス・フィールド不安定性の非線形発展について解説を進める。

今回の報告は、クロス・フィールド不安定性によって励起するドリフト波のモード間結合の波に及ぼす影響についてお話しします。詳細は講演にまわすことにして、簡単な結果のみと述べる。

- (1) 非線形性の弱い領域では $U(x,t) = U(x - V_p t)$, $V_p = \text{一定}$ の定常解(steady state)が存在し、その波形は鋸歯状波となる。(図1)
- (2) 非線形性の比較的強い領域では、波は局在した波形(soliton状)である。(図2)
- (3) (2)の領域にあける波のエネルギー・スペクトル(密度波の振幅 \propto 乗)は k^{-3} に比例する。
- (4) (2)の領域では、条件可逆的である。即ち、赤は軟い遷移(soft type transition)とされ、初期条件は無関係で定常解を有する。
- (5) 非線形性の強い領域では、非常に強く乱れた乱流状態になり、計算機でもつづく解析がむづかしくなる。



[図 1]



[図 2]

昭和基地に於けるロケット発射実験及び観測結果

平沢威男・等松隆夫・永田 式 (東大理) 川口貞男 (極地研究センター)
半尾邦雄 (東大宇宙研)

◎ 第1次南極地域観測隊 (JARE-11) は、今年の1月 昭和基地に超高空観測用ロケット発射設備を建設し、2月10日、17日の両日には、初、ロケット S-160型 2機を打ち上げに成功、極地域の電子密度とオゾン分布の観測 data を収集した。

今回の報告では

- ① 昭和基地に建設されたロケット発射設備の紹介
- ② ロケット発射実験の状況
- ③ 観測 data の結果及びその検討

につづいて述べる。

◎ 電子密度分布

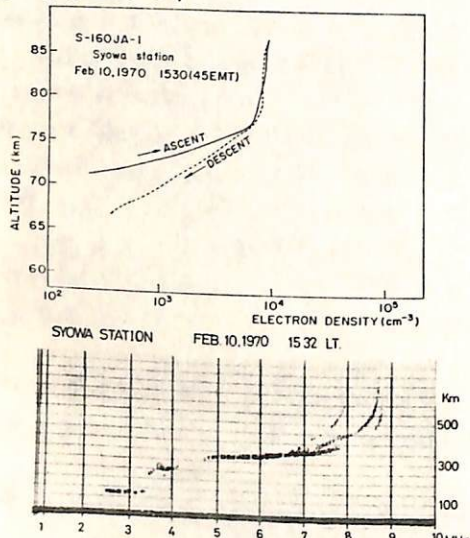


Fig. 1. 第1号機による電子密度分布図(アイオニアグラム).

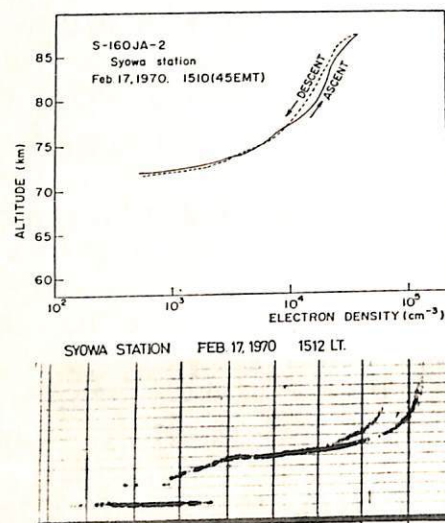
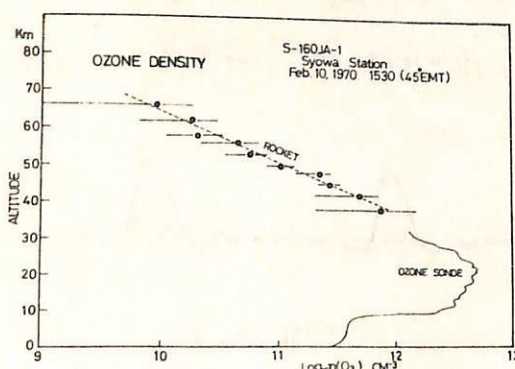


Fig. 2. 第2号機による電子密度分布図(アイオニアグラム).

第1号機は、静穏時
第2号機は、Positive Bay 現象の最中に
打ち上げられた。
この2種の発射機
が地方時、季節、
Solar zenith angle
は、ほとんど同じ。
従つて、第1号と第2
号による電子密度
の差 ($3 \times 10^3 - 2 \times 10^3$
は、positive Bay
現象中に侵入する
荷電粒子による電離
と考えられる。

◎ オゾン密度分布



• 40 km 以上の高さに於ける オゾン密度の減少は
 $N(O_3, z) = N(O_3, 40 \text{ km}) e^{-(z-40)/5.1}$
 z : 高さ; $N(O_3)$: オゾン密度 (cm^{-3})
 • 極地域のオゾン密度分布は、静穏時に於ける
中低緯度で得られたものとそれほどちがわない。

Fig. 3. 第1号機によるオゾン密度分布.

極光からみた極磁気嵐 (II)

平沢威男 (東大理)

昭和基地で取得された meridian scanning photometer の data から得られた "極光の時間空間変化図" (ref. JARE Scientific Reports, Series A, NO. 8) を中心に、地磁気変動、地磁気脈動、極光脈動、リオメータ及 VLF 等の data を利用し、極磁気嵐の特性を調べる。

① Break-up type の極光

極光からみた基本的なパターンとして、次のように定義してみる。"■とんど静止状態にある Band 又は Arc 状の極光が、急に明るさを増し、範囲を $300^{\circ} \sim 800^{\circ}/sec$ 位で連れて、Poleward へ動き出す現象。" 随伴現象としては、極光の明るさが増す時、数十 ~ 数 KC の auroral hiss; Poleward の動きと同時に地磁気リオメーターの Sharp な変動; 短周期成分 ($> 1H_3$ 程度) 変動を含む不規則な地磁気・極光脈動。

② ブレイク・アップ現象後 2 次的 ■ に生成される極光

ブレイク・アップ type の極光が通過した領域には、2 次的に diffused surface 又は Rayed Arc 状の極光が広範囲に生成され、これらの極光は漸次 equator ward に移動する。この極光は伴い、地磁気及びリオメーターはゆるやかな変動を示し、地磁気・極光脈動に周期 5 ~ 10 秒程度の連続した pulse 的な変動がみられる。時に Auroral chorus や ■ 觀測される。

③ 極磁気嵐前駆時の極光

かすかに輝く ($\sim 0.3 KR - 1 KR$ 程度) Back ground 的な極光が、Poleward から Equatorward へと拡がり初める。この極光の中に明るい部分として homogenous Band 又は Arc が存在する。この時は、地磁気とリオメーターの変動が幾分認められる程度で、代には顕著な随伴現象はない。

④ 極磁気嵐 (Bay-type disturbance)

一つの極磁気嵐 (所謂 极地方の Bay disturbance) の多くは、③の前駆現象があり、①で定義された Break-up type の極光現象が、いくつか連鎖的に起り、それにより 2 次的に生成される極光のひろまりを考慮することで、一応 Systematic に説明がつくと考える。

極値に於けるオーロラの変動特性

金田葉瓶(東大院)

これまで、極底擾乱の前後に於ける極値でのオーロラの変動と South Pole ($\lambda = -38.5^\circ$) の全天電離記録と ASCAPA-D (デジタル型極光全天電離光電解析装置) による解析から発明して来たが、今回ひつて東大頂部に於て居た極光活動の解析と、東西南北の地平線4領域に於ける極光活動の解析結果を加味したうえで報告する。その結果の二、三を要約すると。

1. South Pole は magnetic local time の正午附近では auroral oval の下に位置するところであるが、この時間帯での極光活動は polar substorm の開始に先行する事 1~3 時間に増加し開始する。この活動の増加は IMP-C の惑星間距離の観測結果と比較した場合、黄道面に対する重正成角 (F_\odot) の北から S 側への移行に対応する。この場合極光の構造は東西に延びた非常に弱い Arc の輝度を増し次第に低輝度に移行する事が認められる。
2. 夕方側に於いても大体この傾向は同じであるが、低輝度側への移行の度合は大きく、極光の低輝度側の地平線を越えて移行する事が多く、この様な場合全天での極光輝度は 24 時前中の最高を示す事が多い。
3. DP-2 型と呼ばれる磁場変動と極光活動との対応であるが、今迄 DP-2 にて挙げられて来たものは South Pole に於いて明かりに正午前の時間帯に入ると始まるものであるが、その例の中で極光の記録が同時に使へる二、三の例にて言へば、極光輝度の変動の mini-max と DP-2 の mini-max との対応はあると言へるが、この対応が現象相互の生成計算上質的るものかどうかに於ては解析を加へる必要がある。
4. South Pole に於いては極光輝度の輝度的特性は低輝度側に高輝度側の対応する場合が殆んどであるが、上述の substorm に先行する極光活動は高輝度側に始まる特性を有し、同時に存在する事もある低輝度側の活動とは殆んど独立である。

林 輝 治
東大・理学部

地上における magnetic あるいは auroral event としての substorm の認識は磁気圏の様相が明らかになるにつれて magnetospheric plasma event としての把握が最近は一般的になりつつある。磁気圏における energetic particle の自由エネルギー放出と考えられる VLF emission についてもその energy input まで考慮するときわめて VLF emission substorm として現象把握をした方がすっきりするものが多い。

ここでは前章の emission 現象である仮の "auroral chorus" と呼ばれているものについて報告する。

朝方は

Substorm は真夜中付近を境に各種の性質が一変する。Magnetic には sharp な broad な negative な bay が、magnetic pulsation は Pi-2 より Pi-1 が、aurora は break up の後は diffuse な pattern が生じる (pulse していことがある) が、zokav 度の hard な electron flux が卓越する領域となる。auroral chorus はこのような時間帯に発生し、以下の特徴を有する

- ① 発生は 0ch ~ 07h (local magnetic time) の間で頻度は 03h 優れど 07h が最も多くなる。(下図)
- ② 周波数は 0.4 ~ 1.5 kHz の範囲で発生する。
- ③ f-オースペクトル構造は全体が 0.1 秒ぐらりの周波数幅 200 Hz 程度の細かい riser の集りの 2 秒ぐらり経緯ある group を構成されながら 10 秒内外間隔で出現する。
- ④ group の中心周波数は時間とともに drift up してゆき周波数上昇率は local time の早いほど大きく遅くなるにつれて小さくなるようである。
- ⑤ 他の現象との関連は Pi-1 pulsation が出現してから 3 週間に観測され、pulsating aurora と関連して出現することが多々ある。

解析が十分に進んでいないので emission の特性及び発生機構について詳しい議論を行なうことはできないうが、

(i) electron event の一種である。

(ii) 発生機構について cyclotron like instability を考

えるうち、substorm のある stage で加速された electron が midnight 付近よりの drift の過程で energy dispersion を受けたため低い周波数から

現象が始まるところを可能である。

(iii) 現象としての重要性は Pi-1 pulsation が現在

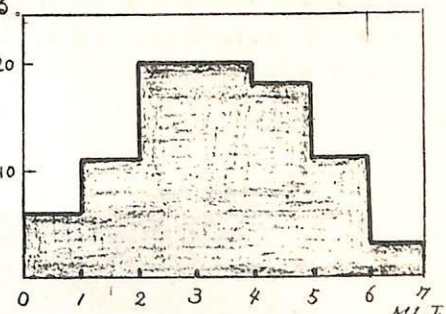
Colonati-Kenne (JGR, '70) など何人かの人により言わ

れているように何らかの Drift Instability によるものとすればその stabilizing process に発生している可能性がある。

(iv) Satellite による観測結果の中でもこれに相当するものが見られるようである。

(Scarf et al., Particle and Field, 225, 1970)

(v) Substorms の関連は昨年の AE index が無いので 11 月から高精度 station の magnetogram と比較中ではっきりしたことは言えないが関連はあると言って関連があるようである。



Starting time of Auroral chorus

(May 1969 ~ Jan. 1970)

SSC, Si⁺, Si⁻ の際の polar chorus の dynamic spectrum

林 駿 治
東大・理学部

極域自激電波現象のうち 08 LT ~ 20 LT 頃に観測される中に polar chorus と呼ばれるものがある。通常周波数は 0.2 ~ 2 kHz で background hiss と rise time が多少程度の discrete をスペクトル構造を有するが、地磁気活動の上昇とともに周波数・時間 ($f-t$) のスペクトル形は多様に変化し、周波数帯を広がることが多い。polar chorus は磁気圏及び電離層での実験現象 (SSC, Si, solar flare effect) の影響を敏感に受け各領域の論断に使える可能性があるが従来実験現象を磁気データに補えることよりデータ貯蔵量の点で困難であった。第 10 回南極地域観測に於いては観測する周波数帯を狭め、方位の記録で現象を追う可能性はほとんど無いという見通しの上に連続磁気データ記録が行なわれた (周波数帯 0.2 ~ 8 kHz)。solar flare effect については良い例が得られていなかつて、SSC, Si については多數の例が得られた。現在までの解析で判明した点は 42, 43 講演会での報告をほぼ裏付けるものである。(cf. (1), (2))

(1) 磁気圏の圧縮を伴う SSC, Si⁺ の際には周波数の 上昇及ぶ放射強度の増加 が見られる。

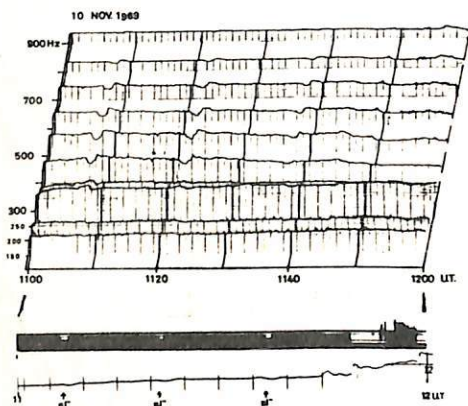
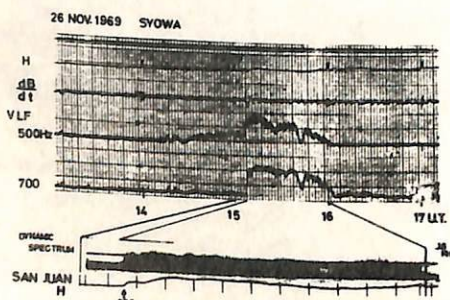
(2) " Si⁻ " " 下降 " " 減少 "

特に Si⁻ の際従来の記録では現象消滅が周波数減少を伴うかどうかはっきりしなかつたが今回その点のあいまりさが除かれ一つの統一的な見方が可能になった。

図 1 ~ 3 はスペクトルの一例で図 4 に Si⁻ の際の周波数減少が見られる。

polar chorus と一口に呼んでいる現象の中身は多様で前の公演の auroral chorus と呼ばれるものもその中に含む場合もあり。先に述べた地磁気活動によるスペクトルパラメータの変化、またその日変化なども割合と躍進で地球物理学観点に立っての統計的処理も今後行なわなければならぬと考えている。発生機構については従来及び今回の経験から言えること ideal electron による cyclotron-like な不規則性と考えるのが適当であろう (1), (2)。

(当時は SSC 際の emission の音の変化もお届けできる予定である)



[参考文献]

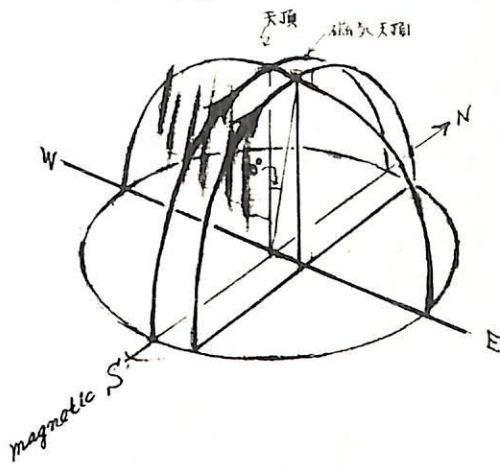
- (1) K. Hayashi, S. Kokubun and T. Oguti, Rep. Ionos. Space Res. Japan, 22, 149, 1968.
- (2) S. Kokubun, K. Hayashi and T. Oguti, Japan Antarctic Research Expedition Science Reports Series A No 6

林 幸一

東大 理学部

第10次南極地底観測における極光夜光部門の研究観測部門では天頂極光強度観測。
 $(\lambda > 78\text{A})$
 磁気子午線とそれを含む子午面に平行な小円面に含まれる小円上を高速(10回毎秒)に掃天する
 光電發光系を使つて観測が行なわれた。 今回は後者についての速報を行う。

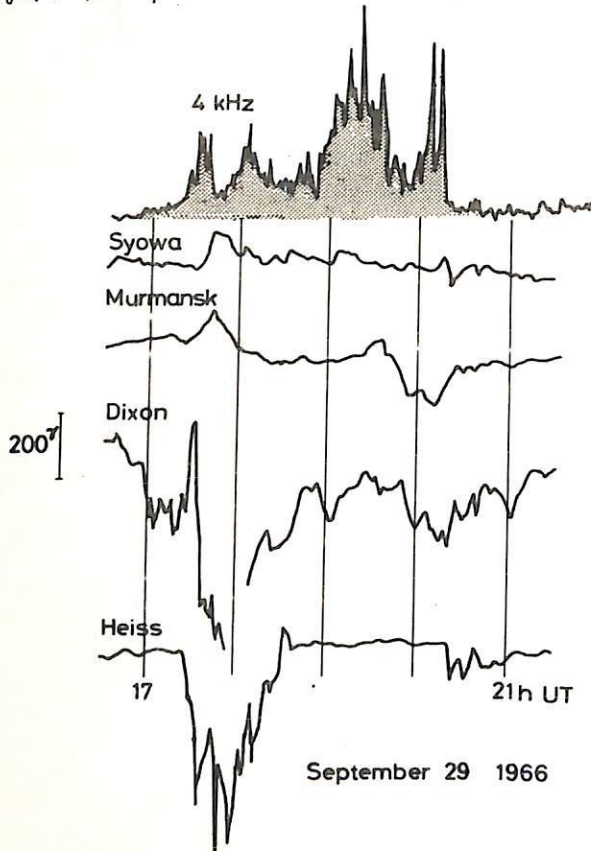
後者については新しい観測系であり光電發光器の性能としては限界に近い使い方にいたることなどにより各種の問題点が現地で発生し、更にフィルム乾燥であるため現像、露光、焦点合わせなどに問題が入り込み、良質の data の量は1回門分程度であった。 得られた記録例について報告する。



国分 征 平沢威男
東大理・地球物理研究施設

極光帯における hiss とその関連現象について Morozumi (1965), Harang 等 (1965, 1967) によってかなり詳しく論議がなされている。Morozumi は VLF emission と aurora や地磁気乱れとの関係から、substorm を三つの phase に分けた。N1 と呼ばれてくる真夜中前の phase は hiss と diffuse な arc が大の aurora が特徴的であり、CNA は小さい。N2 phase はいわゆる auroral breakup であり、impulsive hiss と pi 乱れが卓越する。N3 は post breakup phase で hiss は強くなる傾向はない。二の分け方には一つの観測実験的では変化していく現象をみて分けたものであり、三つ世界的な現象である polar substorm の発達過程とそれを示す phase がどのように対応するかが注目されている。最も問題となるのは N1 と N2 が平衡的にちがつたものであるか、単に地方時の方針で N1 と N2 が違うのである。二の束は、最近ではこの二つを substorm の前に前兆現象といい得べきものが追加される問題にも関係がある。

昭和基地での N1 に対する hiss と auroral electrojet activity とを比較してみると多くの場合 真夜中附近に起る breakup が始まる substorm に対する hiss が発生している。しかししながら jet activity が強くなると増加していく arc が明くなりそれに伴う hiss がある場合があり詳しい吟味が必要である。



September 29 1966

OGO-1 データによる
VLF エミッションについて
柴田商 奥沢隆志
電通大

OGO-1 衛星の '65. Mar. 21 から '65. Nov. 24 までの、バンアレン内帯からスロットにかかる場所での VLF 観測データに見られる triggered emission について、一つの解析を行はめた。 emission は、特徴的に右図の 3, のタ ^{10, 11}, のタ ²⁾, のタ ³⁾ に分けられ、それについて、エミッショント周波数 f_{ES} を、衛星位置の L 値、

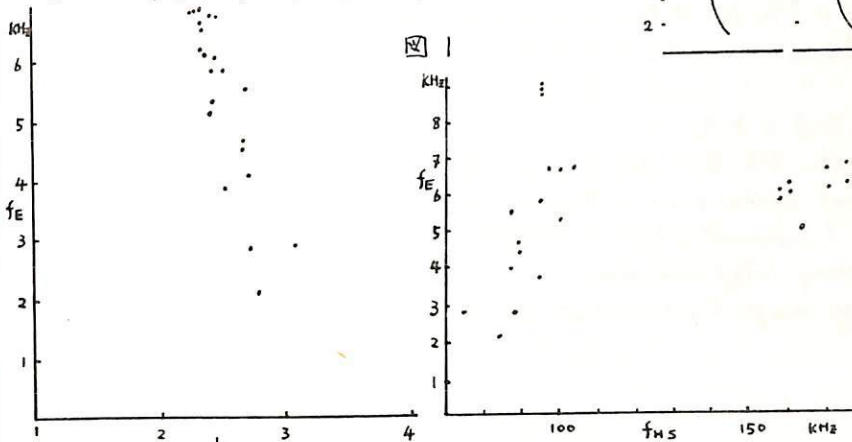


図 1

衛星位置のジャイロ周波数 f_{HS} に対してプロットすると、図 1, 2, 3 の様になる。これらより、タイ ^{10, 11), 2)} のエミッショント放電位置は、衛星位置値ではなく、 L 値のみで決定される場所、即ち、赤道面であると考えられる。

これに基き、これらエミッショントの観測されており、バンアレン内帯のエッジ付近で存在可能なエネルギー領域の電子による、サイクロトロン放電として、このエミッショントを解釈した結果、電子のエネルギーは、500 KeV ~ 1 MeV となる。タイ ^{10, 3)} のエミッショントについては、これらと同様の考え方をするとき、 $f_E - L$ 図が逆センスとなり、半端ではなく、この考え方をあてはまらない。

なお、タイ ^{10, 11, 2, 3)} の通りを決定する要素や、タイ ^{10, 3)} のエミッショント周波数の変動を支配する要素等、重要な問題が残るが、これらは後にゆずることにする。

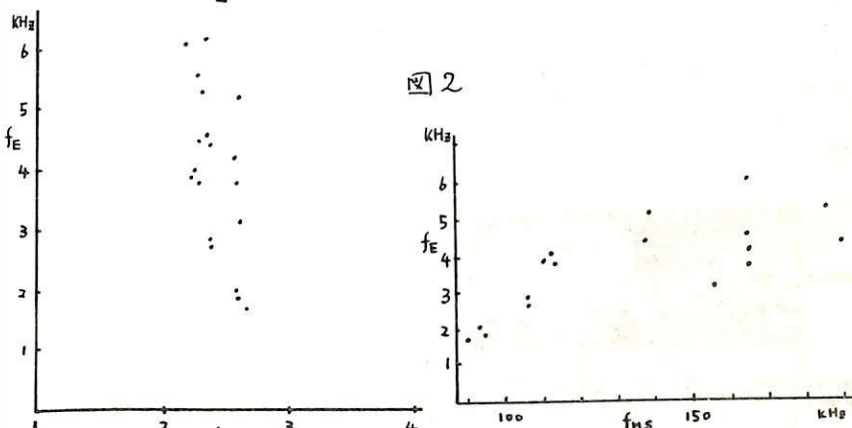


図 2

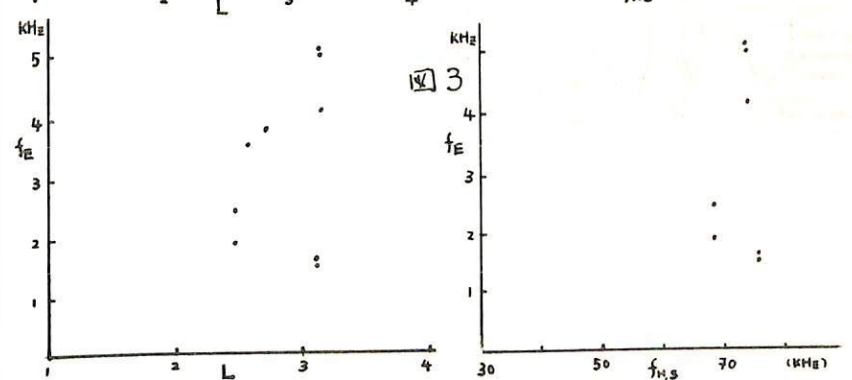


図 3

地磁気変動と降下粒子

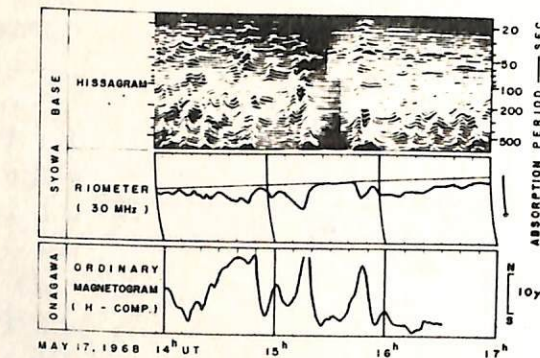
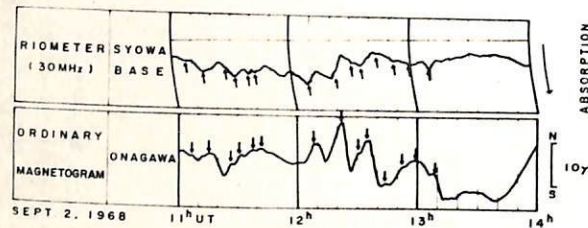
桑島 正幸 森岡 昭 前藤 尚生
東北大学理学部地球物理教室

前回の学会で、低緯度における地磁気変動と極光帯における particle precipitation (CNA 現象) とには、極めて良い相関があることを述べた。すなはち、これまで知らていた SO, Si 時に粒子の降下がおこる事実の他、極光帯で M-type の CNA 現象がおこっているとき、この CNA 現象の変動と、磁気圏の compression, expansion に対応するような現世界的地磁気変動とか、非常に良く対応している。(図参照)

今回は、この型の対応がどの位の周期のものまで保たれるか、またこの型の対応一般に知られており、極光帯における PC5 と降下粒子との対応との関連等について解析を始めた。

用いた資料は次の通りである。

- (1) 昭和基地 riometer (電波研究所 池田氏の御好意による)
- (2) 昭和基地 auroral radar echo (電波研究所 長谷川氏の御好意による)
- (3) 昭和基地 ULF (Rayspan 型 Hisa による解析、講演番号 2-4) 参照
- (4) 昭和基地 ordinary magnetogram
- (5) 低緯度 ordinary magnetogram および La Cour type magnetograms



高緯度 SIについて

恩藤忠典
郵政省電波研究所

Mead (1964) は定常な太陽風 (n_1/cm^3 , $V_1 km/sec$) を変形された地磁場を求め、その上に嵐時の太陽風 (n_2 , V_2) が吹いて来た時の地上SI(or SC) の振幅を求めた。

$\Delta B(Y) = 0.03 (V_2 \sqrt{n_2} - V_1 \sqrt{n_1})$, $\Delta X = \Delta B \cos \theta$, $\Delta Y = 0$, $\Delta Z = -\Delta B \sin \theta$ (X : 磁気的北, Y : 東, Z : 下向き, θ : 磁気緯度) 即ちSIの水平成分は $\Delta Y = 0$ で、 ΔX は高緯度に行くにつれて小さくなる。NOV. 7, 1966, 1720 UT に起つたSIの水平成分 (ΔX , ΔY) の世界分布を求めると、 ΔX , ΔY 共に緯度 60° 近りから高緯度へ行くにつれて増大し、 70° ~ 75° 近りで最大になり、それまでは逆に小さくなる。この傾向は Mead モデルでは説明できない。一方 Wilson & Sugiura (1961) は 5° 以高の SC 水平成分の横円偏波を見付け、これを磁力線に沿って伝ばんする横波モードの磁気流作波にようとした。しかし彼等は高緯度大振幅にはつかれなかつた。

Greifinger & Greifinger (1965) によれば高緯度の磁力線に沿つて伝ばんする磁気流作波の高度 $500 km$ と $80 km$ との間の吸収は $0.1 Hz$ 以下では無視しうる (SIは $0.01 \sim 0.003 Hz$)。今磁気圏赤道面での振幅を b_e , 磁気流作波速度を V_{Ae} , 磁力管の断面積を S_e , 磁場強度を B_e とすると、磁力管に沿つての地磁気束及び磁気流作波電力束の保存, $B_e S_e = B_{500} S_{500}$ 及び $b_e^2 S_e V_{Ae} = b_{500}^2 S_{500} V_{A500}$ から高度 $500 km$ の振幅 $b_{500} = b_g$ (b_g : 地上振幅) を求めると、 b_g が大きくなる。赤道面でのSI波が全方向に伝ばん可能と仮定して、立体角について、赤道面でのSI振幅の観測値 b_0 を平均した。 $\bar{b}_e = b_0 / \sqrt{3}$ プラズマポーズ及び $500 km$ の平均イオン質量数、電子密度の緯度変化を考慮し、又磁力線に沿う横波モードの振幅として b_e をとり、赤道面での観測値 $b_0 = 11$ (L=5) 用いて b_g の緯度変化を求めると、緯度 60° ~ 65° の間で急速に b_g は増加し、観測値とよく一致する。

70° 以高でのSI振幅中の減少は赤道面での b_0 の分布に依存すると思われる。又 $L=5$ の磁力線に沿つて Collisionless モデルの電子密度分布を用いて求めた磁気流作波の赤道面から地上までの伝ばん時間、30.3秒は赤道面上で地上までの伝ばん時間44秒よりも小さく、高緯度の方が早くSIが起つていくことになる。

Field-aligned current による磁場分布

上出洋介(東大理)

Polar magnetic substorm を夜側極光帯付近の field-aligned current で説明する試みは古くから為されており、model current による磁場分布の計算も多い。が、それらはすべて、パラメータ (field line の形、separation angle など) を限定したり、特定の地球上の点についてのみ計算している。本論文では、いろいろなタイプの current による地球上のすべての点における磁場 ($\Delta H, \Delta D$) を計算し、実測の ΔD (field-aligned current は中低緯度の ΔD に最も顕著に現われる) を調べ、もし field-aligned current があるならどういうタイプのものがどこにあり得るかについて考えた。計算においては、電流は南北半球に対称に存在し、扱う磁力線はすべて赤道面で $4R_E$ を通るものと仮定した。得られた主な結果は次のとおり。

1. 図 1(a) のような current loop (図の電流系は片半球を省略) $i_R = 2i_L = 2i_p$ による場合と、実際あり得る (b) $i_R = 2i_p \propto \frac{\alpha}{\pi} \cos(\frac{\alpha}{\pi} \lambda)$, $i_L d\lambda \propto \frac{\alpha}{\pi} \sin(\frac{\alpha}{\pi} \lambda) d\lambda$ による地球上の各点の磁場を比較すると、 ΔH に関しては、(a) とほとんど同じ効果をつくる (b) の α_c (たとえば、 $\alpha = 90^\circ$, $\alpha_c = 120^\circ$) がある。

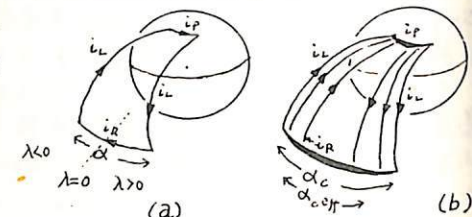


図 1

2. Fukushima, Vasylunas は無限遠方から直線に沿って入射および出る電流の及ぼす地上の磁場分布は AEJ の return current と同効果であることを示した。しかし、実際にあり得る curved field line に沿った電流と直線に沿う場合と比べると、磁場変動の各成分の傾向は同じだが、大きさは特に低緯度で最大 factor ~2 の差がある。すなわち、Chapman-Vestine と Birkeland-Alfvén 型の電流系は低緯度に関しては等価でない。

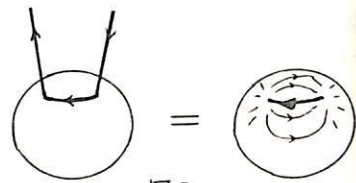


図 2

3. Compressed dipole の磁力線に沿う電流の地球上の磁場効果は、あり得る compression の程度では pure dipole の場合と大差ない。

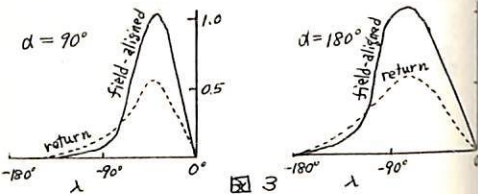


図 3

4. ΔD の λ -dependenceを return current の場合と比較すると図 3 のようにかなりの差が出る。図は $\varphi_m = 40^\circ$, $\lambda = 0^\circ$ の ΔH を normalize してある。

5. $\varphi_m = 40^\circ$ の経度に広く分布する 12 の stations の ΔD を 21 個の substorm の各 phase について調べた。データは、return, field-aligned current の latitude dependence の計算結果 (それぞれの傾向はほとんど等しい) の平均により $\varphi_m = 40^\circ$ の値に normalize した結果、(1) 夕方側の $\Delta D > 0$ が朝方の $\Delta D < 0$ より 1.5~2 倍大きい (2) 概して max ~ recovery stage には return current が優勢となる、ことがわかった。まとめると、polar magnetic substorm 時には、図 4 のようなモデル電流系を考えることができる。

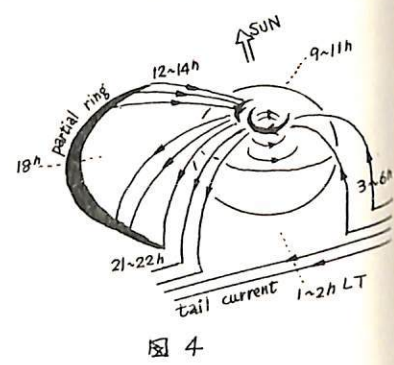


図 4

午後側における Polar magnetic substorm の 空間的構造と時間的特性

上出 洋介・福島 直（東大理）

午後側における polar magnetic substorm の current pattern に代表される magnetospheric sub-storm の発達特性は複雑で、特に極光帯でよく観測されるいわゆる positive bay が独立した eastward electrojet か auroral oval を流れな westward electrojet の return current によるものであるかは、partial ring current, field-aligned current が存在するか否と関連し重要な問題である。しかし現在までは、適当な station network がないため、substorm 時の magnetic disturbing force の分布に対する統一的な解釈がない。ここでは、図 1 のような polar region から低緯度にほぼ同経度に並ぶ 17 個の station の magnetogram を用いて ΔH , ΔZ の latitude profile を調べ、また同時に worldwide current vector, 他の午後側の現象 (partial ring current, H_B , sweeper) との関連について考察を行なった。

その結果、午後側の ΔH の latitude profile については平均的に図 2 (a) のような中低緯度と高緯度のいろいろな組合せの pattern があり (それに対し、午前側は (b) のようなものしか観測されない)、どの型になるかは (1) substorm (2) storm time (3) local time に依っている; したがって、従来のように午後側の極光帯の positive bay をすべての場合 eastward electrojet か return current のいずれかによるものであるとするのは困難であるということがわかった。

図 3 は今回調べた 10 例の substorm の main phase における $|\Delta H|$ のその local time における最大値を ΔH_{\max} についてそれと平均したものの、およびそれが最大になる geomagnetic latitude Λ を local time の関数として表したものである。太線で示したのは positive bay が同じ local time の negative bay より絶対値が大きくなる区間である。これによると、positive bay は 17~18 LT で最大になり、これは eastward electrojet の存在を表わしているものと思われる。この positive bay は、(1) そのさらに高緯度を流れる westward current (これは夜側からの auroral oval に沿った延 (2) その中心は substorm の発達と共に equator (3) filamentary or patchy な微細構造がある。

長と看えられる) の変動と coherent でない方向に動く (平均スピード $\sim 125 \text{ m/sec}$ 、magnetosphere に投影すると $\sim 2 \text{ RE/hr}$) のに対し negative bay の中心は極方向に動く。

また H_B -aurora, sweeper (IPDP) は午後側において positive bay と同時に観測される (後者は $\Delta Z > 0$ 、すなわち positive bay の中心より赤道側で)

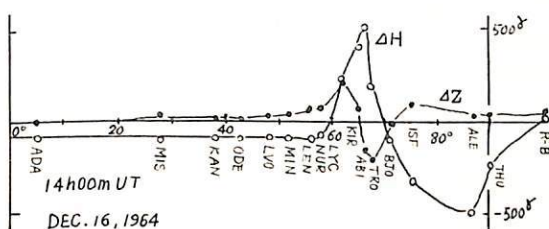


図 1

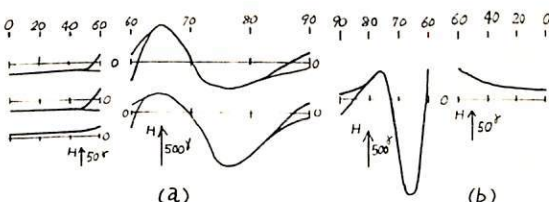


図 2

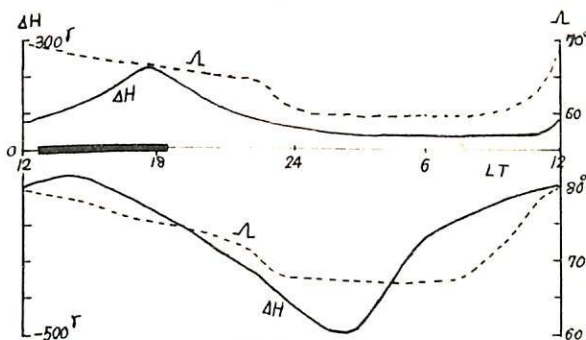


図 3

飯 島 健

東京大学理学部

Polar storm (D_p) の構造を考えていく場合最も primitive で大功なことはこれがどの様な核から生長していくかである Auroral Electrojet (AEJ) となり、磁気嵐を形成していくからと説明することである。Auroral Electrojets が発達し生長していく時に 素地と 上位地磁気擾乱があること (永田・飯島 (1964), 永田・国分・飯島 (1966), 飯島・永田 (1968, 70), Heppner・杉浦 (1967)), 極磁気嵐 (中) 最も目立つ事 AEJ は本質的には永田・福島 (1952, 53) の polar-elementary storm に似ていて、大筋においては磁気嵐内部である物理現象の一部が地上に反映されていくものである (赤木 (1968))。

素地と 上位地磁気擾乱は極地圏に最もはつきりあらわれ、おもに南北半球の子午線にわたって勢力の大いなる電流渦が表される。これは主として磁気共役性をもつて、南北半球では冬半球に比べて3倍位大きい。この現象は主として Solar wind のモードルギー (速度と電荷密度) の変化に起因する Polar Disturbance と考えられる。最初のものは永田・国分 (1962) の D_p の individual constituent である S_{pc} である。次に S_{pc} Feldstein-DPC (1969) と並ぶとともに DPC は AEJ が最も多くおこる所であり、かつ polar cap と子午線の auroral zone から 電流渦の裏では harmonise している。又、磁気嵐をひいた auroral oval には Westward AEJ だけではなく東方の電流渦が存在する。auroral zone はあらわす positive-AH-擾乱ともいふべき要素とせよと主張する杉浦・Heppner の考え方を支持するものである。又、 S_{pc} だけでは D_p は説明しきれないという点では赤木 (1970) とも一致している。

AEJ が発生する頃、1まとくのアーチ型は発生1~2時間前より 上位地磁気嵐 (SP) が発達している。伊藤謙次によると AEJ のときとは異なり形態は地磁気変化にあらわされる。この現象が AEJ-precursor である。

今日はこの precursor-stage の磁気嵐尾部の磁場構造がどうか: 今まで主として調査され発表されてきた種々の結果を一応総合してみよう。plasma sheet の発達が著しい大まき形態が急変し (飯島 (1970), Fairfield-Ness (1970), Russell et al (1970)), plasma 容度およびエネルギーが変化がみられ plasma-sheet の発達が止まる (Hones et al (1970)). かつ、全圧力 (plasma pressure + 地磁気压) が急激に増加 (Lazarus et al (1969))。

以上の地磁気嵐の初期に出現し SP にのみ特徴づけられる AEJ-precursor は太陽風より地磁気嵐にエネルギーが大きく与えられるつある時期をすこし magnetospheric storm (DM-storm) の storage-phase に対応する現象であり、AEJ の発生が特徴づけられる D_p -storm は主に magnetospheric storm release-phase に対応すると考えられる。

もう少しあるく、惑星間空間諸物事が南北半球をもつて時と時をめぐらす。南北半球の擾乱の形態がどのように変っていくか、又、太陽風の運動圧変化が南北半球に生じて南北半球の擾乱をもつて南北半球の地磁気嵐の morphology を複雑にしておこして、南北半球の大功なことである。Precursor から Auroral Electrojet までの物理現象を考えていく上に着目しておこうと思われる。

(最終回)。総合上、文書の reference は用意させていただく。

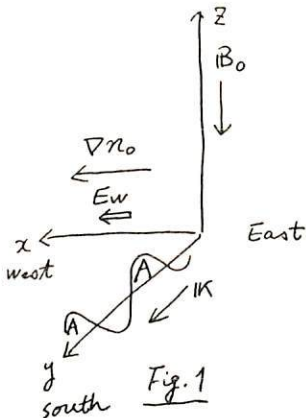
多重オーロラ・アークの生成 - II

小川忠彦 佐藤哲也
(京大工) (京大理)

前回のオ47回講演会において我々は、多重オーロラアークの生成に関する見解を示した。即ち、

1. オーロラアークの多重構造の生成因は S. Akasofu の考へている磁気中性面での tearing mode より、むしろ電離層にあるのではないか。そうだとすると多重構造を説明する為の、tail での複雑な加速機構は必要でない。
2. オーロラの発光現象をカラー・テレビジョンの映像管に見そらえるならば、S. Akasofu の考へは 3 つの電子銃をもつシャドーマスク型であり、我々のそれは 1 つの電子銃をもつクロマトロン型である。つまり発光パターンはスクリーンのすぐ前面の偏光ヨークによって制御されるとする。
3. これらの根拠となる考へは、電離層は必ずしも一様でなく静穏時でもスクロブ electrostatic density instability が起っているとする。一旦この不安定が起ると conductivity が場所的に変化し、元々 tail を一様に出発した electron beam は conductivity の高い所へ降下し易くなり、その場の conductivity を増々高くする。結果的に electron beam は電離層で self-focusing を受け discrete に分離し、アークの多重構造が現れる。

今回は 3. の density insta. として cross-field insta. を提案し解析の結果について言及する。cross-field insta. (C.F.I.) は T. Tsuda, T. Sato 等によって非線形領域まで研究されており、赤道、中緯度の電離層 irregularity の説明に供されている。C.F.I. をオーロラ領域に適用すると“もし適当な西向きの電界（例えば dawn to dusk 電界） E_w と large scale な西向きの勾配をもつ電子密度分布があると、地球磁場の元で東西方向に平行な wave front をもつ large scale のドリフト波が発生する (Fig. 1)” という結果を得る。



運動方程式、連続方程式を準中性プラスマの条件で線形解析し、例えれば $E_w = 10^{-2} V/m$, $(\frac{\partial n_0}{\partial x})^{-1} = 10^3 \text{ km}$, $V_{en} = 10^4 / \text{sec}$, $V_{en} = 200 / \text{sec}$, $T_e = T_i = 300^\circ K$ とすると growth rate $\gamma \sim 3 \times 10^{-4} / \text{sec}$, $\lambda = \frac{2\pi}{k} = 20 \text{ km}$ となる。Fig. 1 で A の部分が high density (high conductivity) の領域でアーカーに相当する。結果として ① アーク間の観測値は 30~40 km が普通であるから、大略説明できる。② 位相速度は $\sim \frac{E_w}{B_0} = 200 \text{ m/sec}$ で、これは recovery phase にあてはまる。③ Cowling conductivity による強い西向きのジェット電流が流れ。④ 各アーカーの北側は、南向きの polarization field によって再び small scale の C.F.I. が発生し東にドリフトしながら崩れていく。これは small scale foldings を説明するかもしれない。

C.F.I. がオーロラ領域で生じるには、上記の E_w , $\frac{dn_0}{dx}$ が本質的であるが、density gradient に関しては実験的に検証されていらない。しかしこれは、朝側が夕方側より冷たいと思われる所以多分存在するものと想われる。他に、アーカー存在時の電離層一磁気圏間の current system についても簡単に言及する予定である。

DP 2 場と Polar Substorm

田辺弘道・武井忠雄・梅井亨

東北大学 理学部

惑星間空間の状態は、地球上で観測される種々なタイプの磁場変動に直接的、あるいは間接的に自己を表示する。その中で、西田等のいわゆる DP-2 型変動は惑星間空間磁場の Z 成分と相関のよいことが示されている。

我々は前回の学会で、Polar Substorm の出現に至る過程を調べ、"惑星間空間磁場の変動に共変的な DP-2 場の発達——その中の DP-1 場の出現"、という時系列が存在すると述べたが、この時系列のもつ意味を明らかにし、Polar Substorm の機構を知るために、更に、解析を加えている。

まず、DP-2 型変動そのもの、及びその時の惑星間空間磁場の性質を明らかにするために、1965 年後半期の IMP-C 及び極地域 (Alert) の magnetogram を用いて周波数解析を行なってみる。

また、DP-2 → DP-1 の時系列を定量的に把握するため、DP-2 場の表現として、極地域 (Alert) の magnetogram から、X、Y 成分の double amplitude を読み取り DP-1 場の表現として、AE index をつくり、DP-1 場の発達過程について解析を行なってみる。

以上の二点から

惑星間空間磁場変動 → DP-2 型変動 → DP-1 型変動
の各時系列の性質を示す。

高温アラズマと地磁気振動

並川富一
阪市大理

高いアラズマ中に熱アラズマが混じている場合のイオニサイクロトロン波及びドリフト波の周波数の規則性を調べた。高いアラズマ中モードである磁気音波、アルファウェン波の他にオシロモード（本質的に高熱アラズマ中の音波）が存在する。アルファウェン波は $T_B/T_A \geq 1$ (T_B : 热アラズマ中の音波、 T_A : 混合アラズマ中のアルファウェン速度) で高いアラズマ中より更に非等方的になると、非等方性は周期的である（イオニサイクロトロン周期）に近づくにつれて易しい。これは磁場と或角度以上で非等方性になくなる。 $T_B/T_A < 1$ のときはオシロモード、超熱モードが二つとも振舞をする。高いアラズマ中では等方的に非等方磁気音波も熱アラズマが混じてると非等方的になる。 $1 + \frac{w}{\omega_c} = \left(\frac{T_B}{T_A}\right)^2$ の所じ磁気音波と超熱モードの交換がある。

(w : 周期の周期) $1 + \frac{w}{\omega_c} < \left(\frac{T_B}{T_A}\right)^2$ の w に対しては磁気音波が非等方的であるか $1 + \frac{w}{\omega_c} > \left(\frac{T_B}{T_A}\right)^2$ の w では超熱モードが非等方的である。 $\left(\frac{T_B}{T_A}\right)^2 > 2$ ではすべての w が磁気音波が非等方的に行進する。多くの非等方性は w が ω_c に近づくにつれて大となる。超熱モードは $\left(\frac{T_B}{T_A}\right)^2 \geq 1$ で右回り、左回りと極性が変わる。

地磁気振動 P_{c1}, P_{c5} の右回りの純地磁気振動が高いアラズマ中では一様に行進するので説明しにくくなるが 1 keV 幅度の高熱アラズマが 1 eV 幅度の高いアラズマ中に混合した場合の磁気音波の磁力線に沿って行進する性質で容易に説明出来る。オシロモードの超熱モード P_c, SI 、磁気音波指進に寄与する部分があると想われる。

Pc 1 型地磁気脈動の低緯度伝播特性

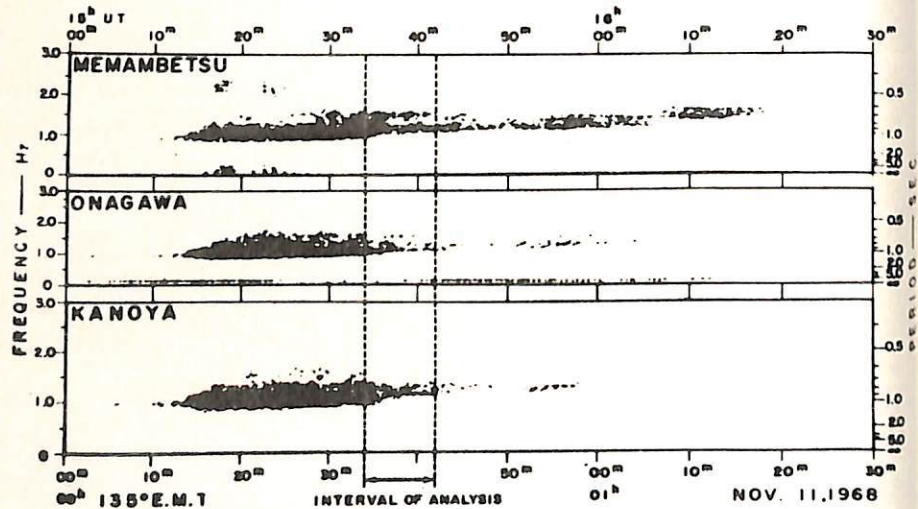
桜井 亨 斎藤尚生 森岡昭
東北大学理学部地質物理学教室

目的 Pc 1 ($0.2 \sim 5 \text{ Hz}$) 型地磁気脈動の電離層 duct 伝播について、今迄多くの理論的研究がなされて来た。これらの研究の中、duct attenuation の周波数依存性を定量的に求めたのは、Greifinger と Manchester であるが、彼等の求めた attenuation の周波数依存性は全く逆の特性を示している。この様に Pc 1 の duct attenuation の特性は理論的には互いに相反する結論が得られた上、未だ実験的に確かめられていない。この研究では、女満別、女川、鹿屋と言う低緯度の観測点で同時に観測された Pc 1 event (第 1 図参照) を解析して上に述べた duct attenuation に関する 2 つの相反する理論。何が正しいかを実験的に検証する事がねらいである。

解析方法 磁気テープに記録された 3 観測点における信号を同一の周波数解析装置 Minilizer 型 Hinia (講演番号 2-47 の予稿参照) を使用して、 0.1 Hz 間隔で各周波数毎に振幅 — 時間曲線を求め、これ等から女満別を基準にして女川、鹿屋での relative power spectrum を求めた。

解析結果及び議論 この結果は、 0.9 Hz 以下の周波数に対して周波数が増すにつれ power は小さくなり、 0.9 Hz 以上の周波数に対して周波数が増すに従い power が大きくなると言う傾向を示した。女満別を基準にして女川、鹿屋におけるこの relative power spectrum は同時に女満別を基準にして各地点での duct attenuation を示す事にもなる。この duct attenuation の曲線の傾向は、Manchester の理論から求めた曲線の傾向に合っており、Greifinger の結果とは逆の傾向を示す事が明らかとなつた。

謝辞 女満別、鹿屋の磁気テープによる Pc 1 の資料を提供して下さった筑波地磁観測所の方々に感謝の意を表します。



第 1 図

福島 直 佐々木克己 平沢威男 (東大理)

極磁気嵐の開始時 Pi 2 とよばれる低周波周期成分を持った不規則な波形の地磁気脈動が発生する。発生時は同じくても 極光帯附近で観測されるものと、中緯度で観測されるものとでは、その波形やパワー・スペクトルは非常に異なる、たものである。この原因について考察を加える。

- ① 極光帯 Pi 2 の定義； Break-up type 极光 (Ref. 予稿 講演会 1-36) に伴う不規則な地磁気脈動。
- ② ①の定義による Pi 2 を 49 例えらびだし、そのパワー・スペクトルを調べる。平均的にみて、極光帯 Pi 2 は、周期 160 秒 - 8 秒の範囲で $f^{-\alpha}$ で表わされる。雑音型 スペクトルを示す。
- ③ 中緯度 Pi 2 の定義； ほぼ同じ meridian の高精度 station の Sharp な H-comp. decrease (Bay onset) と同時に現われる 不規則な減衰型の脈動。
- ④ ③の定義による 中緯度 地磁気脈動 Pi 2 を 70 例えらびだし、そのパワー・スペクトラムを調べる。中緯度 Pi 2 は 周期 120 ~ 60 秒の範囲に卓越したパワーを有する。
- ⑤ 以上の事実は、雑音型スペクトルを持つ波動が 高緯度から中緯度に伝播する途中で、プラスマ 7° -ズ附近で 泡滅され、中緯度では $120 \sim 60$ 秒の範囲に卓越性を有するようになると考えることにより説明がつく。

宮崎光輝・國分征

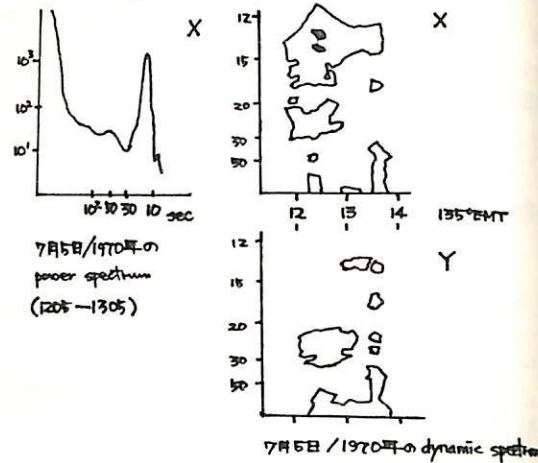
東京大尙理學部

柿岡(地磁気精度 2.6%)での地磁気脈動記録から 1969年9月15日—10月15

日、及び 1970年6月30日—7月23日の計 7千日間を選びて、周波数解析器によ

り、周期 10 秒—100 秒の地磁気脈動の dynamic spectrum をつくり、解析した。

この中で、太陽活動の盛んな時によくみられる、地磁気の範囲内間に多く出現する周期 10 秒台の短周期地磁気脈動について、上記の dynamic spectrum と共に、power spectrum を算出し、調べた。その結果、この短周期脈動は、いわゆる 35 mHz 脈動等に比べ、X, Y 成分の強度比が大きく、周期の変動はあまりないことがわかった。(この解析には上記以外の日の記録も解説)



極アラズマ風の温度異方性

三浦輝夫
(阪市大理)

極域電離層の H^+ の減少を説明する一つのモデルが Banks-Holzer (1968) によって提唱されている。それによれば、高度 $z_0 \approx 1000 \text{ km}$ で $\eta_{\perp} \approx M = 1$ となり、 $z > z_0$ の領域では電子の熱速度の中を超音速となる磁気圏に侵入することになる。その流れの断面積が $\sim r^2$ で増大するとき、流速の変化が大きくなりれば、 H^+ は重として流れに垂直な方向に冷却されることになる。

一般に電力学的平衡にない希薄ガスの非一様な高速流は温度異方性を示す。たとえば、中性ガス・ジェット流では流れの方向に、太陽風アラズマ流では惑星間磁場方向にそれが温度が高くなる、といふ。この現象は本質的には粒子間の相互作用が充分ではなく、局所的な熱平衡を保つことができないことによる、といふ。

極アラズマ風においても、(i) $z > z_0 \sim 2000 \text{ km} > z_0$ では電子間の衝突がめぐらしくあるので、その温度異方性が充分期待される。(ii) しかししながら異方性を説明するためには極アラズマ風を含む極域磁気圏の温度分布 $T(r)$ を考慮しなければならない。その領域での温度分布は、磁気圧界面を通しての太陽風による加熱が重いエネルギー源であるため $T_p(\text{sheath}) \rightarrow T_0 \rightarrow T_{\parallel} \rightarrow T_{\perp}$ の過程で加熱されていふと思われる。

以上(i),(ii)を巨視的にみれば、 H^+ に対して圧カテンソル $P = P_{\parallel\parallel} \mathbb{I} + P_{\perp\perp} (\mathbb{I} - n_{\parallel} n_{\parallel}) \dots (1)$ 多方向変化則 $P_{\parallel\perp} \sim (m_p m)^{\alpha}, \beta \dots (2)$; e^- に対して $P = P_{\parallel\parallel} \mathbb{I}, P_{\perp\perp} \sim (m_e m)^{\alpha} \dots (3)$ を用いることに対応している。さらに各々のガスに対するスクエアル分布を仮定して、

$$P_{\parallel\parallel, \perp, e} = n k T_{\parallel\parallel, \perp, e} \quad \text{を用いる。基礎方程式系は:}$$

$$\left\{ m_e U r^2 = m_0 U_0 r_0^2 \dots (4), \frac{1}{m_e m_e} \cdot \frac{\partial P_{\perp}}{\partial r} + \frac{e E_s}{m_e} = 0 \dots (5) \right.$$

$$\left. \left(U \frac{\partial U}{\partial r} + \frac{1}{m_p m} \left[\frac{\partial P_{\parallel}}{\partial r} + \frac{S}{r} (P_{\parallel} - P_{\perp}) \right] + \frac{g_0 r_0^2}{r^2} - \frac{e E_s}{m_e} = 0 \dots (6) \right) \right.$$

$$K = T_{\parallel\parallel} / T_{\perp\perp} = (U/U_0)^{\alpha} \cdot (r/r_0)^{S\beta}, \quad \beta = \beta - \alpha.$$

いま特別な場合として断熱運動を考える。そのとき $\alpha=1, \beta=2$ とするとこれは $T_{\parallel\parallel} = c_{\text{co}}$, $T_{\perp\perp} = c_{\text{co}}$ すばわる、流れの方向には等温、垂直な方向には n_{\parallel} とともに減じてゆく。 H^+ の温度異方性は $K \sim (r/r_0)^3$ で増大する傾向にある。太陽風の場合この条件で超音速加速をすることがでなければ、加速度係数 α が重として P_{\perp} の部分であり、温度 $T_{\perp\perp}$ が急減するに重力場に打ち勝つことができなくなるからである。即ち K を減さざることは太陽風の陽気の必要条件である。一方極アラズマ風の場合には H^+ の $P_{\perp\perp}$ だけではなく電子の垂直方向の圧力を存在する。電子は平衡状態(電学的)にあり異方性はない。等温を考えると ($\alpha_e = 1$)、この項は重力場より充分大きいので、 H^+ を有効に加速する。したがって H^+ が断熱変化をするときに重アラズマ風は存在し得る。この意味での電子圧 $P_{\perp\perp}$ は偏重電荷 E_s の存在の重要性が指摘される。 α, α_e の値は磁気圏の温度分布に一致するように決めなければならぬ。離済係数及び熱伝導率の方程式を用いて求められた値を基準にする。これらの値は β を含めて巨視的な観点から基礎づける必要がある。

波谷仙吉
山形大・理学部

すでに Murayama や Simpson 等によつて 磁気中性面での高エネルギー ($\gtrsim 100 \text{ keV}$) 電子の分布が明かにされてゐる。これによると, neutral sheet を中心とする土 3 Re 程度の領域に分布してゐること, さらに 地球からの距離が大きくなるにつれて 高エネルギー粒子の密度が小さくなる傾向があることなどが最も大きな特徴として指摘されており。これらの観測結果を説明する必要にせまられている。

今度発表することは、従来のように Syrovatskii の加速機構を磁気圏尾部に応用し、磁気中性面での磁場勾配が地球から遠くなるほど小さくなることをすれば、高エネルギー粒子が地球から遠く離れたところで密度が小さくなるということ間に関係づけられないかと計算を試みるのがそのねらいである。

応用の仕方は前には Syrovatskii の導いた結論に幾度変換を行つて、それに磁気圏の状態常数を代入してはいたが、今回は最初から土上に電流をもいて計算しなおし、その結果をそのまま使う。このようにして導いた結果のみを記すと、

$$W_h = \frac{H^2}{8\pi} V \approx \frac{1}{8\pi} \left(\frac{h_0 \delta L}{r_0} \right)^2 \cdot \pi r_0^2 \cdot L = \frac{1}{8} h_0^2 \delta^2 L^3 \quad (1)$$

$$\Delta W_0 = 2 \left(\frac{1}{c} |j| \cdot H_1 V \right) \cdot \delta = 2 \frac{1}{c} \left(\frac{e h_0}{4} \right) \left(\frac{h_0 L}{4} \right) V \cdot \delta = \frac{1}{8} h_0^2 \delta L^4 \quad (2)$$

$$\epsilon = \frac{h_0^2 \delta^2 L^2}{16 \pi r_0^2 \log \frac{\sqrt{\delta L}}{r_0}} \quad (3)$$

$$\tau \ll \sqrt{\delta L} / V_s \quad , \quad V \approx \frac{\delta}{\tau} \gg V_s (\frac{\delta}{L})^{1/2} \quad (4)$$

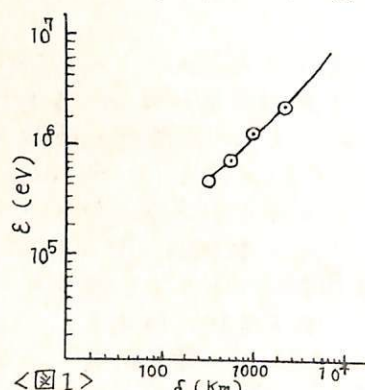
$$\text{Efficiency } \eta = \frac{(\Delta W_0 - W_h)}{\Delta W_0} = \frac{L - \delta}{L} \quad (5)$$

ここでは、 $H_0 = 50 \text{ gammas}$, $T = 10^5 \text{ K}$, $L = 10^9 \text{ cm}$, $I_m = 600 \text{ km}$, $n = 50 \text{ cm}^{-3}$, $h_0 = 8.3 \times 10^{-12} \text{ G/cm}$, $r_0 = 158 \text{ km}$ をとり、 $\delta = 500 \text{ km}$ とおくと $\frac{h_0}{r_0} = 7.6 \times 10^5 \text{ eV}$, $W_h = 2.2 \times 10^9 \text{ erg}$, $\Delta W_0 = 4.3 \times 10^{10} \text{ erg}$, $\tau \ll 54 \text{ sec}$, $V \gg 9.2 \text{ keV}$, $\eta = 0.95$.

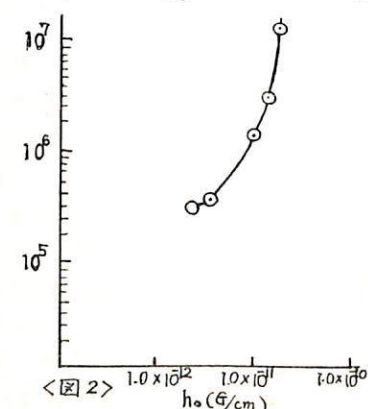
h_0 を一定にあえて ϵ と δ のグラフを両対数方眼紙に記すと、図 1 のようになる。

次に $\delta = 500 \text{ km}$ に fix して 磁気中性面での勾配 $h_0 = H_0 / r_0$ と、 ϵ の関係を片対数方眼紙に記すと 図 2 のようになつた。図 2 からわかりますように、磁気中性面での磁場勾配が大きいところほど大きなエネルギーをもつ粒子が存在することを示す。

よつて 磁気中性面の厚さがそれほど変化がなければ 地球よりあまり遠いところでは 高エネルギーに加速できず、地球より比較的近いところで大きく加速が行われることを暗示しており、観測結果の一つの説明になると思われる。



<図 1>



<図 2>

磁力線のリコネクション

上田 稔、深尾昌一郎、津田彦夫

京都大学工学部 電子工学科

オーロラ、solar flare、あるは強い radio source 等に伴う加速粒子の生成には、磁力線リコネクションは極めて有力な過程と考えられており、その意味で磁力線リコネクションの構造を明らかにする事が必要であるが未だ充分な議論がなされていない。Yeh & Axford (1969) は完全導電性、非粘性流体の X-型中性点の解析解を導き、流れは X-line の張る角の底へエッジから流入し、狭いエッジから流出する事を明らかにした。更に粘性は X-line 近傍に生成される shock にて、また有効な導電率は中性点近傍 (diffusion region) にそのどれ程重要かあり、この領域ごと流れの振舞は外部 (convection region) の流れの流れにすぎず、リコネクションレイトは本質的には粘性、導電率の影響をうけない」と述べている。しかし彼の diffusion region の解は deductive であるから領域の大きさについては明らかにされていない。我々は有限導電性及び粘性流れの X-型中性点におけるリコネクション過程の計算機による数値解析を試みた。問題を以下のように設定している。

(1) まず非粘性性についての事より $\nabla \cdot \mathbf{U} = 0$

Maxwell の式

$$\nabla \cdot \mathbf{B} = 0 \quad \nabla \times \mathbf{E} = -\frac{\partial \mathbf{B}}{\partial t}$$

Ohm の法則

$$\mathbf{E} + \mathbf{U} \times \mathbf{B} = \mathbf{J}/\sigma$$

 σ : conductivity

運動方程式

$$\rho \frac{\partial \mathbf{U}}{\partial t} + \rho (\mathbf{U} \cdot \nabla) \mathbf{U} = -\nabla P + \frac{1}{\rho} (\nabla \times \mathbf{B}) \times \mathbf{B} + \rho \nu \nabla^2 \mathbf{U}$$

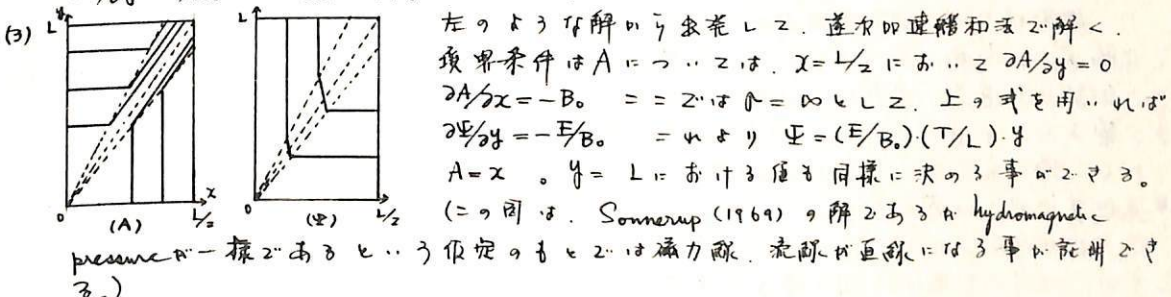
以上の式を用いて $\nabla \times \mathbf{A} = \mathbf{B}$ $\nabla \times \mathbf{E} = \mathbf{U}$ なる不定方程式 $\mathbf{A} = (0, 0, A)$ $\mathbf{U} = (0, 0, U)$ を導入して最終形 A , U の運動方程式とする。 (U, B, E) は x, y だけに依存して変化するとして、一次元では取り扱う) ρ : mass density ν : viscosity

(2) 定常状態を解くべき方程式: 流れの分布は時間的に変化しないとして、磁力線は一定の割合で供給され又速り去られることとする。

$$\frac{\partial \Psi}{\partial t} = 0, \quad \frac{\partial A}{\partial t} = -E \quad (\equiv \text{const.})$$

$$[\frac{\partial^2 \Psi}{\partial y^2} \cdot \frac{\partial^2 x}{\partial x^2} - \frac{\partial^2 \Psi}{\partial x^2} \cdot \frac{\partial^2 y}{\partial y^2}] \nabla^2 \Psi - \beta \cdot [\frac{\partial A}{\partial y} \cdot \frac{\partial^2 x}{\partial x^2} - \frac{\partial A}{\partial x} \cdot \frac{\partial^2 y}{\partial y^2}] \nabla^2 A - \gamma \nabla^2 \Psi$$

$$\frac{\partial \Psi}{\partial y} \cdot \frac{\partial A}{\partial x} - \frac{\partial \Psi}{\partial x} \cdot \frac{\partial A}{\partial y} = E + \alpha \cdot \nabla^2 A$$



(4) 前式より定数 α , β , γ の意味を考えよう。 $\alpha = U/V_A \cdot 1/R_m$ $\beta = 1$

$$\beta = U/V_A \cdot 1/R \quad (\text{但し } U: \text{characteristic velocity}, R_m: \text{magnetic Reynolds number}, R: \text{Reynolds number})$$

V_A : Alfvén velocity であり端の状態を表すものである。計算結果 X-型中性点を持った流れの磁力線 pattern, 流れ pattern のどちらの存在が確認された。 diffusion 模式では解はラプラスの式を満たすが、解より diffusion 域を推定する事が可能である。更に α, β の値でその状況がどう変わることかわかった。

(5) 上の求めた定常解から出発して時間変化を考える。即ち、磁力線がどう動くか、リコネクションの様子はどうかなどを、更に電界分布の変化等の動的側面につれて少し触れる。

(参考) Yeh & Axford (1969) Sommerup (1969)

Convective Motion of Non-Interacting Charged Particles in the Earth's Magnetosphere.

塙見正・深尾昌一郎・津田孝夫

京大工学部

磁気圏におけるプラズマの対流についての研究は、それが、太陽の活動に依存した、磁気圏内の諸現象の重要な内容をなしていると考えられるために大変興味深い。

我々は、下記のような磁気圏のmodelを用い、計算機によつて、磁気圏尾部（地球の中心から $10 R_E$ 程度）におかれたら、種々の値のエネルギーをもつ荷電粒子（電子と陽子）がどのようにドリフトするかを追跡した。赤道面における荷電粒子のドリフトについては、Kavanaghら [1968]*の計算があり、我々はこれを三次元に拡張した。

Model

磁気圏磁場

昼側 …… Mead [1968]による磁場のmodel.

夜側 …… 主磁気双極子（地球の中心）と逆双極子（磁気圏後方 $14 R_E$ ）を用いて磁気中性面の存在を考慮したmodel (Kavanagh, 1968).

電場

朝側から夕側に向かう一様電場 (0.3 volt/km).

共回転電場.

プラズマ圏

地球を中心に含む半径 $4 R_E$ の導体球で近似.

計算にあたっては、荷電粒子間の相互作用は考へに入れず、また、磁力線に垂直な方向の $\nabla \times B$ ドリフトおよび ∇B ドリフトのみを考慮した。

得られた結果を簡単に示すと次のようである。

1. 荷電粒子は、磁気圏尾部から前方へドリフトしつゝ、尾部において赤道面から離れて北側または南側にあつたものが、急速に赤道面近くへ集積する。一方、これらの荷電粒子の軌跡を赤道面に投影してみると、Kavanagh が得たと同様な傾向を示している。つまり、電子および低エネルギー (1 eV 程度) の陽子は地球近傍を朝側に回り込んで“前方へドリフトし、逆に高エネルギー (1 keV 程度以上) の陽子は夕側に回り込む。陽子のドリフト速度は地球近傍では遅くなる。

2. 特に高エネルギー (10 keV 程度以上) の荷電粒子（特に電子）は、地球近傍にとらえられ、地球の自転の方向（電子の場合）に回りつづける。

* Kavanagh, L. D. Jr., J. W. Freeman, Jr., and A. J. Chen, Plasma Flow in the Magnetosphere, J. Geophys. Res., 73 (1968), 5511-5519.

磁気圏の構造と対流

武井 恵雄
東北大学理学部

之に著者等(*)は、惑星間空間磁場及び極域磁場擾乱の解析を通して、Polar Substorm の break up, に導く過程を考察してみた。その中で、TP 1 場の出現にとて、"惑星間空間磁場の南北成分の変化——それと共に変動的な DP 2 場の発達" という事が一つの要件として挙げられる事を指出し、Polar Substorm の break up に先立つて、磁気圏対流が強められる事に注意を払った。

磁気圏対流の発起は、磁気圏(ここでは磁気圏・同圏界面・同尾部上部を含む意味で用いる)の構造と密接な関係をもつから、上記のことから、我々の地球磁気圏は、惑星間空間磁場の変動とともに共変的に変動する磁気圏対流を許すものでなければならぬ。換言すると、それに肉厚する電場を伝達する機能がなければならぬ。この点を考慮してあるのが Dungey のモデルであろう。しかし同時に、人工衛星によって現在迄に観測されている磁気圏の諸々の特性——磁気圏の形状・磁気圏内部の磁場の配位・Plasma Sheet 等の特徴的な領域の存在等々——は、そのモデルの自然な帰結として出てくるものでなければならないが、彼のモデルはその点不利であろう。むしろ Chapman - Ferraro 以来の伝統的モデルの方が(対流といふ事を除けば)観測事実に対する有理な面をもつてゐる。

Dungey / Chapman - Ferraro 型兩モデルから出発して構成された昨今の数種類の磁気圏モデルについて検討した結果、現在迄の理論とはちれて、直接人工衛星へ提供する事実と共に、いくつかの基本的仮定を置く事によつて可能な磁気圏モデルを導いてみる必要を感じ、一つのモデルを提出する。そのモデルについて、磁場の配位・Plasma の分布・対流のパターンを調べ、磁気圏モデルとしての当舎・動力学的特性について論ずる。このモデルでは、Plasma Sheet の存在・Neutral Sheet Electron の存在等が、磁気圏対流との有機的関連で示される。

(*) 田辺・松井・武井 前回講演

Induced and Polarization Electric Fields Associated with
Inward Penetration of the Tail Plasma Sheet (II)

玉尾 猛
東大理 地球物理研究施設

磁気圏内に朝うからさに向う大規模電場が存在した場合のプラズマシートの地球に向かって侵入する問題を数值実験で考察する。その際の考慮すべき重要な事項として
1) プラズマ密度、空間依存性による diamagnetic current の存在、及ぶそれによる磁場、局所的変化

- 2) 磁場の非一様性によるドリフトによる生ずる空間電荷による polarization field, E_p
- 3) 磁場の時間変化による induced electric field, E_i
- 4) 磁力線沿う電流 (j_{\parallel}) による Loss.

等が考えられる。是等の効果を考慮した場合の粒子密度は次式で表される。

$$\frac{\partial n_i}{\partial t} + \operatorname{div}(\vec{v}_{D_i} n_i) = -\text{Loss} \quad (j_{\parallel} \text{ 電子又はイオン}) \quad (1)$$

但し

$$\vec{v}_{D_i} = \vec{v}_E + \vec{v}_{B_i} + \vec{v}_E \quad (2)$$

$$\vec{E} = \vec{E}_0 + \delta \vec{E}, \quad \delta \vec{E} = \vec{E}_p + \vec{E}_i = -\nabla \Phi + \operatorname{rot}(\vec{A}) \quad (3)$$

$$\nabla^2 \Phi = 4\pi c^2 e (n_i - n_e), \quad \text{polarization field} \quad (4)$$

$$\nabla^2 A = \partial B / \partial t, \quad \text{induced field} \quad (5)$$

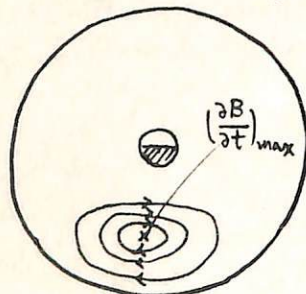
現象の時間スケールが電磁波伝播の伝播時間に比べて充分ゆくついていなければ、polarization current は無視出来るとする電流としている。

$$\vec{J}_i = \vec{J}_D + \vec{J}_{\text{diamag}}, \quad \vec{J}_D = \sum_i N_i \vec{v}_{D_i}, \quad \vec{J}_{\text{diamag}} = -\sum_i \operatorname{rot}_\perp (1/n_i \vec{N}_i \vec{M}_i) \quad (6)$$

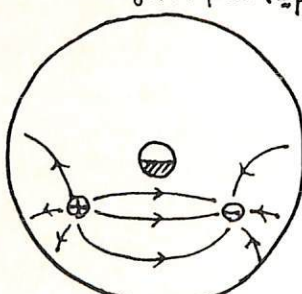
この近似の下では $\sum_i P_{D_i} + B^2/8\pi = \text{const.}$

$$\frac{\partial N_e}{\partial t} = -\operatorname{div}(N_e \vec{v}_{D_e}) - 1/e^2 \operatorname{div} \vec{J}_D, \quad \frac{\partial N_i}{\partial t} = -\operatorname{div}(N_i \vec{v}_{D_i}) \quad (1')$$

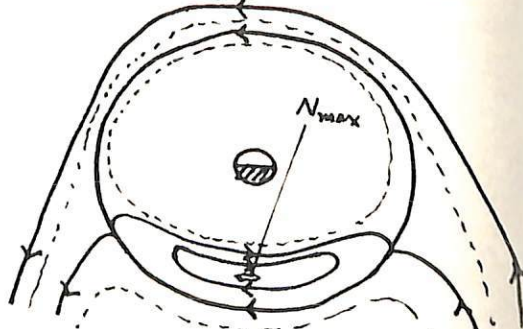
induced field (E_i)



polarization field (E_p)



Diamag Current ($N=\text{const}$)



前部 加密
(東大・理)

1. Introduction

プラズマの輸送係数をきめるのはスペクトラムであり、ここでは立地分派プラズマのスペクトラムを team があるときと、ない場合について全領域にわたってスペクトラムを analytic に求め、前者が後者に比してどの位 Enhance されるかを調べた。

Space における輸送現象に因るして分散函数が非平衡である篇の効果と

Space or Geometry による 輸送の Enhancement

この2つの効果の研究がこれから Space Plasma の問題として未解決であると考えられるが前者の例として本論文は位置づけられる。尚これば安定なプラズマの効果である。

2. 結果

安定な非平衡プラズマの Spectrum (綱成分) (1)

$$\langle E^2 \rangle_{k\omega} \propto \frac{\int f_0 \delta(\omega - k\omega) d\omega}{|f_0(k, \omega)|^2}$$

$$(a) f_0 = \frac{\bar{v}_B}{\pi} \frac{1}{\omega^2 + \bar{v}_B^2} \quad \text{さて} \quad f_0(k, \omega) = \frac{(\omega + ik\bar{v}_B - \omega_p)(\omega + ik\bar{v}_B + \omega_p)}{(\omega + ik\bar{v}_B)^2} \quad (2)$$

$$\langle E^2 \rangle_{k\omega} \propto \frac{\bar{v}_B}{\pi} \frac{1}{(\omega - \omega_p)^2 + \bar{v}_B^2} \frac{(\omega + ik\bar{v}_B)^2 (\omega - ik\bar{v}_B)^2}{(\omega + ik\bar{v}_B - \omega_p)(\omega - ik\bar{v}_B - \omega_p)(\omega + ik\bar{v}_B + \omega_p)(\omega - ik\bar{v}_B + \omega_p)}$$

$$(b) f_0 = \frac{\bar{v}_B}{\pi} \frac{1}{(\omega - \omega_p)^2 + \bar{v}_B^2} \quad \text{さて}$$

$$\langle E^2 \rangle_{k\omega} \propto \frac{\bar{v}_B}{\pi} \frac{1}{(\omega - \omega_p)^2 + \bar{v}_B^2} \frac{(\omega - k\omega_p + ik\bar{v}_B)^2 (\omega - k\omega_p - ik\bar{v}_B)^2}{(\omega - k\omega_p + ik\bar{v}_B - \omega_p)(\omega - k\omega_p - ik\bar{v}_B - \omega_p)(\omega - k\omega_p + ik\bar{v}_B + \omega_p)(\omega - k\omega_p - ik\bar{v}_B + \omega_p)}$$

$$\times \frac{1}{(\omega - k\omega_p - ik\bar{v}_B + \omega_p)}$$

(1) Sitenko, Electromagnetic Fluctuations in Plasma (87)

(2) O'Neill and Malmberg Phys. of Fluids 11 (68) 1254

弱く乱れたプラズマ中の粒子の軌道について
猪 部 充 広
(東大・理)

1. Introduction

準線型方程式(1)がプラズマ中の諸現象のようなら本質的に Dynamical の過程を記述するには不十分である事に気付かれ markov process から non-markov process へと拡張されて来た。(2)

しかし今はごく最近まで運動の効果が粒子の軌道へ与える効果が無視されているように思われたのが、いわゆる "Strong Turbulence" と並んでいろいろと誤解されたりした Dupree の理論(3)が上記の効果をそのものずばり取り入れた理論にすぎないという非常に重要な注意が前川(4)によってなされた。だが具体的に Dupree がどのダイヤグラムを取っていて、無視している部分はどれか?。この疑問に答えられるところまでぱりといひながら。

本講演では上記の注意を念頭に置き非線型 Vlasov eq. の運動方程のうち長時間後にまだよくダイヤグラムの部分和を多体問題ごとく使用される Resolvent の方法(5)を用いて種々の图形に対して粒子の軌道へプラズマ運動がいかなる効果を与えるかを論じ時に Dupree がどの图形に対応し彼が無視してしまったのはどのダイヤグラムかを明白にし将来のプラズマ乱流理論を発展させること一步としていたい。尚、この効果は明らかに弱く乱れたプラズマ中の効果であり Space の諸現象に対しても当然考慮されなければいけないものである事を注意したい。(特に輸送現象)

本講演の内容は昨年末から本年春にかけて 我々電磁気研究室・プラズマグループ 内での Discussion を講演者がまとめて代表して発表しているにすぎない事を付記したい。又この理論を量子論的方法から拡張する事は大切であると考えた。

2. 粒子の free streaming $\frac{1}{\omega - kv}$ で表現される propagator への変更を考える。

$$= \frac{1}{\omega - kv + \delta(v, k, \omega)} = \text{---} + \text{---} \quad \text{lowest order の補正}$$

$$\delta(v, k, \omega) = \left(\frac{e}{m}\right)^2 \sum_{R, \omega_1} \frac{1/F(R, \omega_1)}{\partial V}^2 \frac{1}{(\omega + \omega_1) - (k + R) V} \frac{\partial}{\partial V}, \quad \text{超越方程式に由来}.$$

$$= \frac{1}{\omega - kv + \delta(v, k, \omega)} = \text{---} + \text{---} = \text{---} + \text{---} + \text{---} + \text{---} +$$

$$+ \text{---} + \text{---} + \text{---} + \text{---} + \text{---}$$

$$+ \text{---} + \text{---} + \text{---} + \text{---}$$

$$\therefore \text{変換が Dupree の理論に相当する。 } \delta(v, k, \omega) = \left(\frac{e}{m}\right)^2 \sum_{R, \omega_1} \frac{1/F(R, \omega_1)/^2}{\omega + \omega_1 - (k + R) V + \delta(v, k, \omega_1, \omega + \omega_1) \partial V} \frac{\partial}{\partial V}$$

(1) Drinnond and Pines

Nucl. Fusion, 1962 Suppl. Pt 3, 1049

(2) Altshul and Karpman

JETP, 22 (66) 361

(3) Dupree

Phys. Fluids, 9 (66) 1773

(4) 前川

第8回 プラズマ若手グループ 夏の学校 (第2分冊) (89)

(5) Van Hove

Physica, 31 ('55) 901

プラズマの異常輸送について

南部 元宏

東大・理

1. Introduction

異常輸送の物理的メカニズムを解明する事は Space Plasma の研究にとって最も重要な課題に数えてきておりと考える。ここ粒子の分布函数が異常輸送に与える効果がいくつか報告されている。(1, 2) この効果の本質を極り下げる現象論の段階を出る事は非常に重要な事と考える。

本講演では有限振幅の単色波 (periodic) をプラズマ中に伝播させ、その前の分布函数のゆがみを正確に (擾動の範囲) 定め、外力に対する応答である電流の寄与を共鳴領域、非共鳴領域の夫々の部分に分けて計算した結果、共鳴領域からの寄与は他の部分からのそれと比して $\sqrt{\frac{eE_0}{T}} \ll 1$ (五; 有限振幅の振幅, T ; 热エネルギー) 程度である事を得た。従って電気伝導度への非線型効果の変更は、境界域、非共鳴域粒子の寄与によるものであると考える。これは別の方法で既に報告されており傾向と矛盾しない。(3, 4) 尚、得られた分布函数を用いて種々の輸送係数 (速度空間ごとの拡散係数、磁場を横切る拡散係数 D_L) を計算すれば Bohm 型とは違った意味での異常輸送が起きると考える。

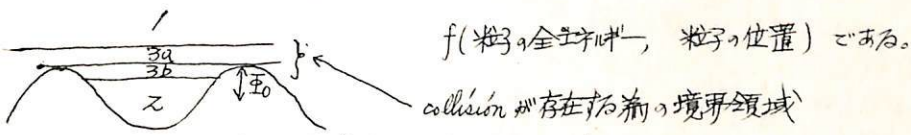
2. 定式化

弱いながら衝突の存在するプラズマに伝播する単色波 (位相速度 \gg 伝導度) を通し、この Large Amplitude の波の効果を粒子の分布函数にきちんととり入れる。(5) ($\frac{eE_0}{T} \ll 1$)

$$\text{分布函数の微分式}: \frac{\partial f}{\partial t} + v \frac{\partial f}{\partial x} + \frac{e}{m} \frac{dE}{dx} \frac{\partial f}{\partial v} = -\frac{3}{2} \frac{\partial}{\partial v} \left(\frac{\partial f}{\partial v} v^2 \right) + v f$$

$$T_p = m^2 v_f^2 / 8\pi e^2 n L, L: \text{クロン対数}$$

衝突部分を擾動として解くと 各領域 (1, 3a, 3b, 2) について粒子の分布函数が求まる。



f (粒子の全エネルギー, 粒子の位置) である。

collision が存在する前の境界領域

1次のモーメントを計算すれば" (電気伝導度)

$$(\text{数因子}) \times \sqrt{\frac{eE_0}{T}} \cong \frac{\text{領域 } 3b \text{ からの寄与}}{\text{領域 } 1 \text{ からの寄与}} \ll 1, \quad \frac{\text{領域 } 3b \text{ からの寄与}}{\text{領域 } 2 \text{ からの寄与}} \cong 1$$

各 response は非線型性のため電場に比例した形をとっています。

$$(\text{数因子}) \times \sqrt{\frac{eE_0}{T}} \cong \frac{\text{領域 } 2 \text{ からの寄与}}{\text{領域 } 3a \text{ からの寄与}} \ll 1,$$

この方法を種々の輸送係数の ~~場合~~ に適用する事は有意義であると考える。

(1) Sitenko, Electromagnetic Fluctuations in Plasma (67)

(2) 丸井, 地球電磁気学会講演 ('70 春)

(3) S. Toshioka Phys. of Fluids 5 (1962) 1272

(4) K. Nishioka and T. Ichikawa Jour. of Phys. Soc. Japan Suppl. 28 (64)

(5) Zakharov et al Soviet Physics JETP (63) 351

地球磁気圏尾の電磁流体波動

坂井純一, 川村孝次
(名大プラズマ研)

地球磁気圏尾は、しばしば振動状態にあることが知られている。我々は、この運動を2つに分離する必要があると考える。1つは、太陽風内で尾全体が揺らぐ運動と、尾内部に磁気中性面が存在することに本質的に起因する運動である。ここでは、後者、すなはち場から磁気圏尾内を伝播する電磁流体波が、磁気中性面の存在と、巨視的プラズマ流によって、その磁場構造に与える効果を電磁流体モデルを用いて考察する。

尾のプラズマは、シート状で、巨視的流れは磁場に平行で、磁場方向に伝播する波動を担う。種々の物理量、1次の微少量を $\sum \tilde{\phi}(x) e^{i(\omega t - kx)}$ とし、零次の定常分布 $P_0(x)$, $B_x^{(0)}(x)$, $V_z^{(0)}(x)$ について線形化すると、シートを横切る方向の磁場強度を決定する式が得られる；

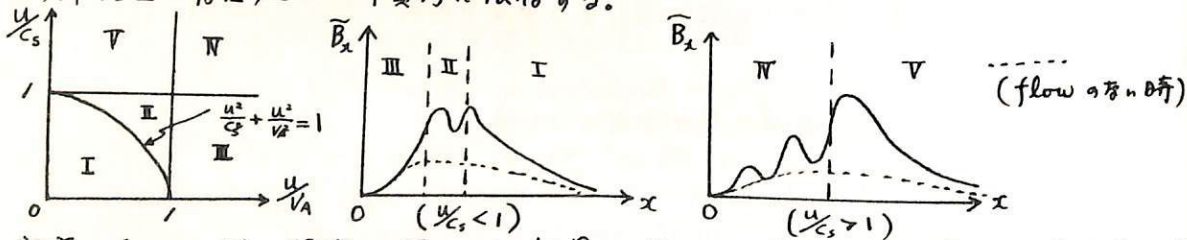
$$\frac{d^2 \tilde{B}_x}{dx^2} + P(k, \omega, x) \frac{d\tilde{B}_x}{dx} + Q(k, \omega, x) \tilde{B}_x = 0$$

$$\left\{ \begin{aligned} P(k, \omega, x) &= \frac{V_A^2 (U^2 - C_s^2)}{V_A^2 (U^2 - C_s^2) + U^2 C_s^2} \left\{ \frac{b U^2}{U^2 - C_s^2} + \frac{a U^2 C_s^2}{V_A^2 (U^2 - C_s^2)} + C_s^2 \frac{d}{dx} \left(\frac{U^2}{V_A^2 (U^2 - C_s^2)} \right) \right\} \\ Q(k, \omega, x) &= \frac{V_A^2 (U^2 - C_s^2)}{V_A^2 (U^2 - C_s^2) + U^2 C_s^2} \left[-k^2 \frac{(V_A^2 - U^2)}{V_A^2} + a C_s^2 \frac{d}{dx} \left(\frac{U^2}{V_A^2 (U^2 - C_s^2)} \right) + \frac{a b C_s^2 U^2}{V_A^2 (U^2 - C_s^2)} + b C_s^2 \right. \\ &\quad \times \left. \frac{d}{dx} \left(\frac{V_A^2 - U^2}{V_A^2 (U^2 - C_s^2)} \right) + b^2 \frac{C_s^2 (V_A^2 - U^2)}{V_A^2 (U^2 - C_s^2)} + \frac{C_s^2}{V_A^2 (U^2 - C_s^2)} \left\{ U^2 \frac{da}{dx} + (V_A^2 - U^2) \frac{db}{dx} \right\} \right] \end{aligned} \right.$$

$$a(x) = \frac{1}{P_0} \frac{dP_0}{dx}, \quad b(x) = \frac{1}{B_x^{(0)}} \frac{dB_x^{(0)}}{dx}, \quad V_A(x) = \frac{B_x^{(0)}}{\sqrt{4\pi P_0}}, \quad U(x) = \frac{\omega}{k} - V_z^{(0)}(x), \quad C_s^2 = f \propto T$$

境界条件； $\tilde{B}_x(x \rightarrow \infty) = 0$, $\tilde{B}_x(x \rightarrow 0) = \tilde{B}_x'(x \rightarrow 0) = 0$, λ : current layer 厚さ

定常分布の例として、 $P_0(x) = \frac{P_0(x)}{\cosh^2(\frac{x}{\lambda})}$, $B_x^{(0)} = B_0 \tanh(\frac{x}{\lambda})$, $V_z^{(0)}(x)$: ($x=0$ で対称で $x \rightarrow \infty$ で一定) を考えると、上の境界条件を満たす解の存在することが確かめられる。定常流れの空間変化が充分ゆっくりしていなければ、下図の様な、シートを横切る方向に、場所的に磁場強度が振動する解がある。これは、巨視的流れと、Alfvén速度が空間的に変化している（即ち磁気中性面の存在）ことに本質的に依存する。



実際の尾では、(II)の領域は狭く、この効果は出ないが、 $u > C_s$ の時には、中性面を中心とする特有のパターンとして観測されると考える。

Plasmapause の電波伝播に及ぼす影響

恩賀忠典, 相京和弘
郵政省 電波研究所

$L \leq 8.5$ の磁気圏は Plasmapause ($L \approx 4$) を境界として Plasmasphere ($L \leq 4$) と Plasma trough ($4 \leq L \leq 8.5$) とに大別される。Plasmapause の粒子密度の減少は cm^{-3} 当り 1 order にも及び、電波伝播にも影響を及ぼすはずで、今回は VLF 帯電波がその境界によりどのような影響を受けるかを Ray Tracing 法で調べた。

図 1 図に示すように、粒子分布モデルとして、 $L \leq 4$ の Plasmasphere 内と $L \geq 4$ 、高度 3000 km 以下の領域に Diffusive Equilibrium Model を、また、それ以外の領域に Collisionless Model を適用し、境界をスムーズにするため step 関数に近い関数 $f_i(L, \theta, E) = \frac{1}{\pi} [\frac{\pi}{2} \pm \tan^{-1} \frac{L-4}{E}]$ ($i=\pm 1$) を用いた両モデルの線型結合型を仮定した。すなわち、 i 種の粒子密度 N_i は $N_i = [f_{-1}(L, \theta_L, E_L) + f_1(L, \theta_L, E_L)] n_{DE,i} + [f_{-1}(L, \theta_R, E_R) + f_1(L, \theta_R, E_R)] n_{COL,i}$ と与えられる。 n_{DE} , n_{COL} はおのおの Diffusive Equilibrium, Collisionless Model に与えられる粒子密度である。簡単のために、磁場線上に沿っては粒子速度は一定、等温と仮定し、基準高度 1000 km での電子密度、温度を地磁気緯度の関数として与えた。基準高度でのモデルとして (1) 定度、温度、組成共緯度依存性なし (2) 定度、温度は緯度依存性、組成は依存性なし の 2 種を考え、(2) は Equinox の昼間、夜間の Alouette-I の観測値を採用した。

計算結果を要約すると、(i) Ray が反対半球のある緯度帯に収束する。これはすでに、Plasmasphere ($L \leq 4$) 内のみでの伝播計算でも確認されているが、Plasma trough 内 ($L \geq 4$) では以下: Ray が一度、trough 内で伝播した後、更に Plasmasphere 内に入り、収束緯度に到達する。しかし、この場合、赤道越えると Resonance Cone に近づくため、吸収量が増大し、反対半球の低高度までは伝搬できないであろう。これは Alouette による $L \sim 4$ の whistler の spatial cutoff の観測事実にも一致する。この効果は最高到達点が赤道近くの緯度が増すと共に発生半球側に移るといふことに因る。赤道面から赤道附近には収束効果は相対的に少い。(ii) Plasmapause の内側と外側で反射が起ることがある。これは周波数、入射位置、入射角に依存する。

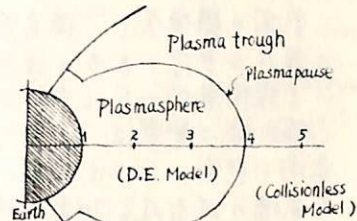


図 1 図

磁気圏尾部の構造

西田萬弘 鶴田結一郎
東京大学宇宙航空研究所

前回の講演会で、磁気圏尾部の力学的バランスを論じた際には（鶴田）、電場の存在は無視できると仮定していった。しかし、内部磁気圏では 0.1 mV/m 程度の大規模電場が存在することが種々の方法によって確認されている。もしも、「磁力線は等電位」という仮定が尾部においても成り立つとすれば、上の程度の電場が朝側から夕側に向い、尾部を貫いて存在する管である。今日はこのような電場の存否及び効果を検討してみる。主なポイントは、(1) 尾部に適用されるオーム則が、 $E = -\kappa \times B$ であるための条件、(2) ドリフト κ がプラズマシートの維持に及ぼす影響、(3) DPZとの関連、(4) Speiser の effective conductivity の適用の可否、などである。

Neutral Sheet の Model 実験

河島信樹 大數修義

東大宇宙研

Neutral current sheet の問題は space physics や Plasma physics に亘りて興味ある問題である。地球の背後には Neutral sheet と呼ばれる current sheet が厚さ 500 Km 程度で地球背後から遠方まで広がっている。

また太陽の flare 現象に亘りても、この問題は重要なである。これらの現象を究明する手がかりとして我々は neutral sheet を実験室で作り、その Model 実験を試みていく。

まず、Neutral sheet Pinch の平衡と安定性を調べるために以下の実験を行った。

準定常的な quadrupole field に plasma current を流れ、図 2 の様な配位の neutral sheet を作る。適当な条件のもとで sheet pinch が plasma の流れに沿って小さな pinches に分かれること (図 3)。

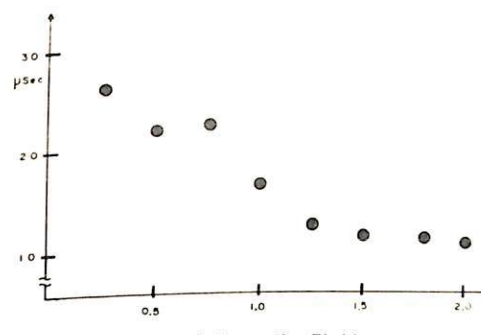


図 5 磁場 Dependence

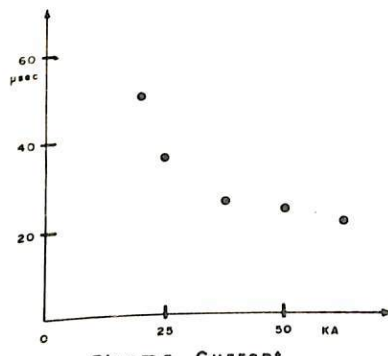


図 6 Plasma Current Dependence

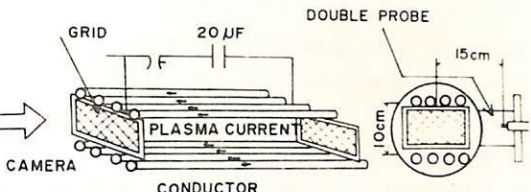


図 1 実験装置

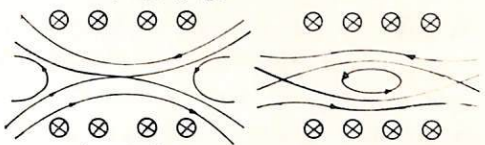


図 2 外部磁場

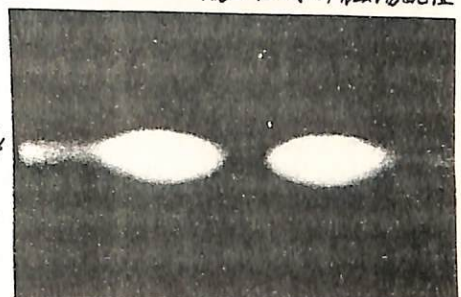
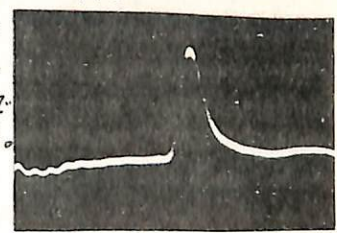
Plasma current を
流れさせた時の磁場配位

図 3



Double Probe a signal

結果は、磁場の強さと plasma current を増すと、又 plasma discharge 前の圧力を減らすほど、その時間は短くなる (図 5, 6, 7)。我々はこの instability を resistive tearing mode と予想しており、上の結果とは矛盾していない。

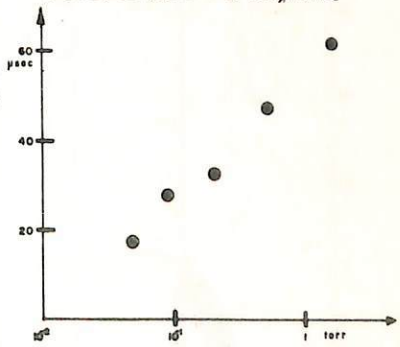


図 7 Pressure Dependence

木村盤根

(京大工)

VLF 放射のメカニズムの一つとして、磁気圏プラズマ中を電子ビームが走ったときにできる空間電荷波 Space Charge wave (以下 S.C.W. と略記) とワイエラモード波 (W.M.W.) との結合を再検討した。この結合により不安定が起り電波が成長することになれば、それはテレニコフ放射がコヒーレントになる条件をも満足し、強い放射が期待される。この結合を調べるために磁気圏プラズマ中を電子ビームが走る系の分散式を解けばよい。そこには下簡便のため 1) 電子ビーム (速度 v_b) が外部磁場に平行にコールドプラズマ中を走るとして i) マクスウェルの方程式、ii) 連続式、iii) 運動方程式から線形化し分散式を導き、これを計算機で解いた。

S.C.W. 外部磁場方向に伝搬する S.C.W. の屈折率 $n = (c/v_b)(1 \pm \sqrt{\pi b^2/(\omega^2 - \pi a^2)})$ (1) で与えられる ($T_2 T_2$ で πa はビームの、 πa は周囲プラズマのプラズマ周波数)。このモードは $\pi a \ll \Omega$ ならば位相速度 v_{ph} が D_b 近傍の 2 つのモードになり、 $\omega < \pi a$ では複素根となり、特に $\omega \approx \pi a$ では強い不安定を起こす。伝搬方向 θ キーに対しても $v_{ph} \approx U_b \cos \theta$ となる。

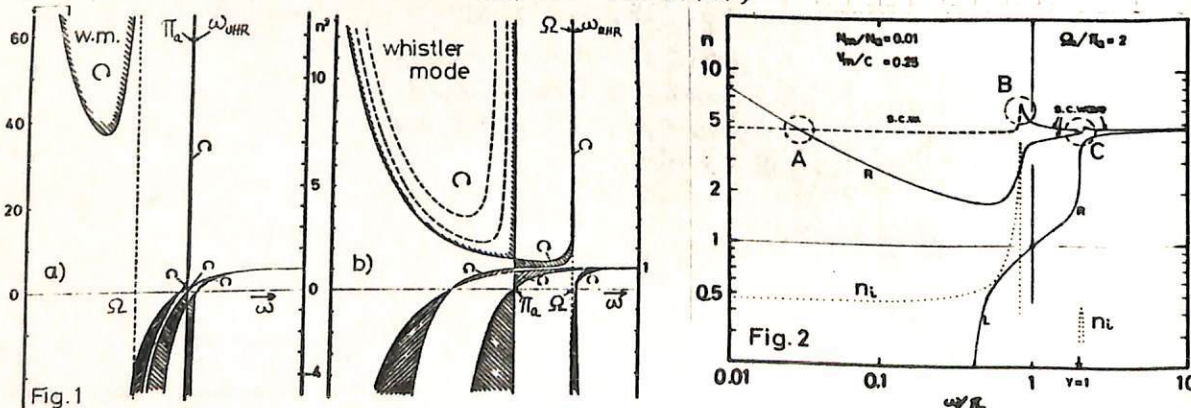
W.M.W. ビームがなり場合の電波のモードは Fig. 1(a), (b) のように電子のジマ一口周波数 ω と πa の相対的大小によって全く種類が異なる。これは重要なトピックである。

モード結合 上記のモードと S.C.W. との結合は定性的には次のようにしてみつけられる。い.e. Fig. 1 上に S.C.W. として ω 軸に平行な直線 $n^2 = (c/D_b \cos \theta)^2$ を描くと、電波の曲線と交差付近で結合が起る。この交差は図の a), b) 両ケース共一般に 3 点あり。周波数の低いものから A, B, C と名付けよと。分散式の計算結果は以下の表に要約される。
i) コールドの取扱いの範囲では a), b) 両ケース共 A 点では結合が起らなければ、B, C 点では共に結合が起る。ii) 特に a) の C 点、b) の B 点では成長率 (n_i) が大きい。これは S.C.W. の特性 ($\theta = 0$ では $\omega \approx \pi a$, $n_i = \infty$) から了解される。

Fig. 2 には $\pi a < \Omega$ の場合 (b) の場合) の計算結果の一例を示す。

上述のように a), b) 両ケース共 B, C 点で電波の成長があるが、a) の B, b) の C 点は $\omega \approx \Omega$ のための磁気圏ではワイヤロトロン減衰が強く、又 b) の C は W.M.W. に直接つながるなどとを考えると、VLF 放射に最も結びつくのは b) の B の場合である。しかし $\pi a < \Omega$ の条件で且つ πa が VLF になるのはプラズマボーズの外側でしかありえないのが、このメカニズムで起る放射の発生点は自ら制限をうける。なお計算結果によると b) の B の場合、最も成長率の高い周波数 ω は伝搬方向 θ に依存しおよそ $\pi a \cos \theta$ となる。

文献 1) I. Kimura, R.I.S.R.J. 15, 171-191 (1961)



荒木 篤
(京大工)

TLF 電波が地表と電離層の間の空間を東から西へ伝わる時には西から東へ伝わる時より大きな減衰を受けたことは古くから知られてきた。Barber and Crambie (1959) と Galejs (1963) は電離層下端での反射係数 (又は surface impedance) が non-reciprocal 性質を持つことと示し、これは一方の現象を説明しようとした。彼等の論理と法則は、一方には変化するプラズマ中の non-reciprocal 波動伝播が生じることを予想したことであることを考察する。

図 1 のように静磁場が新面に垂直 (x 方向) にあつて、一様なプラズマ 1 とプラズマ 2 の間にある境界での波の反射係数を考へる。入射波の電界が

入射面 ($y-z$ plane) 内にあつて反射係数 R 、透過程係数 T

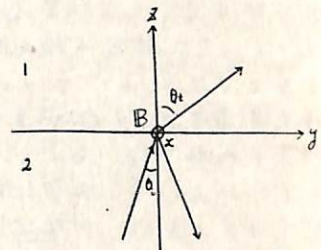


図 1

$$R = \frac{A_2 N_2 (B_1 \sin \theta_i + A_1 \cos \theta_i) - A_1 N_1 (B_2 \sin \theta_t + A_2 \cos \theta_t)}{A_1 N_1 (B_2 \sin \theta_t + A_2 \cos \theta_t) - A_2 N_2 (B_1 \sin \theta_i - A_1 \cos \theta_i)}$$

$$T = \frac{2 A_1 A_2 \cos \theta_i}{A_1 N_1 (B_2 \sin \theta_t + A_2 \cos \theta_t) - A_2 N_2 (B_1 \sin \theta_i - A_1 \cos \theta_i)}$$

$$A = 1 - \frac{i}{4\pi\omega} \alpha_L \quad (\alpha_L: Pedersen conductivity), \quad B = \frac{i}{4\pi\omega} \sigma_H \quad (\sigma_H: Hall conductivity)$$

$$n = \sqrt{\frac{A^2 + B^2}{A}} \quad (n: 層折率)$$

α_L は符号を仮定しており、磁場が x 方向か $-x$ 方向かによつて B の符号がまつり、したがつて R, T の値が異る。

上のよつて sharp boundary と gradual を媒質変化の極限と定めると、gradual を変化させた媒質中で non-reciprocal な process が起り得るはずである。今媒質が又方向に gradual に変化する場合、静磁場 (x 方向) は直角に進歩律を考へる。この時には、 E (電場) $= (E_x, 0, 0)$, b (磁の磁場) $= (0, b_y, b_z)$ となる。このとき、 $E = (0, E_y, E_z)$, $b = (b_x, 0, 0)$ となる。これは方程式をつくるのが後者には、 E_y と b_z が存在して $b_z = \phi(z) e^{i(k_y y - \omega t)}$ とおくと、中は

$$\frac{d^2 \phi(z)}{dz^2} + \frac{d}{dz} \left(\log \frac{A}{A^2 + B^2} \right) \frac{d\phi(z)}{dz} + \left[i b_y \frac{A^2 B^2}{A} \left(\frac{d}{dz} \frac{B}{A^2 + B^2} \right) - b_y^2 + \frac{i\omega}{c} \frac{A^2 + B^2}{A} \right] = 0$$

を満たねばならない。[] の第一項は静磁場 (又は b_y) の符号を含んでいるから、これはよつて [] の値がまつり、したがつて $\phi(z)$ の値がまつてく。媒質が均一の時は $b_y^2 + E_y^2 = \frac{i\omega}{c} \frac{A^2 + B^2}{A} = \alpha$ となり、上式は $-b_y^2 + \frac{i\omega}{c} \frac{A^2 + B^2}{A} \approx 0$ と置くことは可能であり、この時には non-reciprocity が発生するはずである。Galejs はこの式と電離層下端での surface impedance を導いたが、これが電離層 Hall region の F 层付近 Plasma pause 付近では、これは non-reciprocal な波動伝播が生じる可能性がある。

大津仁助
名古屋大学空電研究所

VLF 放射が磁気圏プラズマと、高速荷電粒子流との相互作用で起ることとは既に疑問の余地がないが、その発生機構についてはまだ決定的なものはない。しかし、POG01によるVLF 放射の統計的な解析結果、ASE (Artificially Stimulated Emission) の波形の説明や Kenell-Petschek による electron stream の flux に関する上限値の計算等により、現在ところ電子流による Cyclotron Resonance Instability 説が有力になつて来ている。ところが、1967年5月～11月に行われたイギリスの人工衛星 UK-3 の観測結果によると、磁気嵐発生時ににおける Hiss の源は、 $L = 2 \sim 3.5$ 程度の磁気圏内部にあることが確認された。Fig. 1 にサイクロトロン及びエレシコフ レジナンス時の電子のエネルギーを示したが(電子密度は地 $\pm 6,370 \text{ cm}^{-3}$ の磁気赤道面で $10^3/\text{cm}^3$ をとり、 $f_0 \propto \sqrt{f_H}$ の分布を假定した。エネルギーの計算には相対論効果を入れて行った), これより明らかのように、このような磁気圏内ではサイクロトロンレジナンスでは、必要な電子のエネルギーは概 100 keV になるとすれば、エレシコフでは $1 \sim 2 \text{ keV}$ に過ぎない。他方、人工衛星によるエレクトロニクスエネルギーpekt ラムの観測結果から(磁気嵐時のリングカレントに関する限り、観測例は少くないが), 後者のエネルギー範囲の電子のねか、前者のエネルギー範囲のものに比し、遙かに多いであらうことが推測出来る。また、UK-3 と地 \pm における Hiss の観測結果から、Hiss は SC より主に夜にかけて、真夜中前より夜明の地域 (Magnetic Local Time で見て 11:30) で発生し、地球の自転と共に東まわりに発生域が広がることは明らかになつた。これは磁気嵐時に形成される環電流中の電子が Hiss の発生に関与しており、この電子流の orbiting period が地球自転速度に比し、極めて遅いことを意味し、これがエレシコフ レジナンスエレクトロンのエネルギー帯の電子流とよく合致している。また、Stepanov 等の計算によると、(ユールトープラズマ中のコールトーピームの場合で), エレシコフインスタビリティの VLF 波の成長率はかなり大きく、ビームの電子の密度を $0.1/\text{cm}^3$ とした場合、 100 dB の増大を得るときの様子を Fig. 2 に示した。

Hiss の発生機構として、エレシコフインスタビリティが重要な役割を果す。

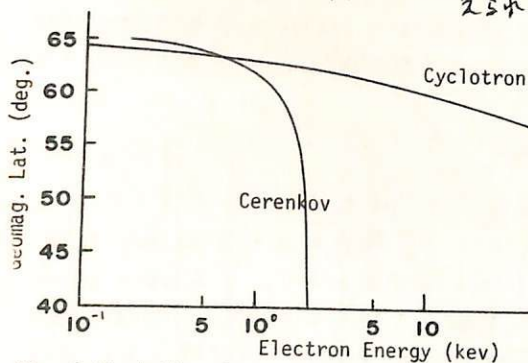


Fig. 1 Variation of resonant electron energy in the equatorial plane of geomagnetic dipole field

$$f = 3.2 \text{ khz}, \theta = 45^\circ, d = 30^\circ, f_0 = 27.226\sqrt{f_H}$$

$$d = \text{pitch angle}, f_0 = \text{plasma freq.}, f_H = \text{gyrofreq.}$$

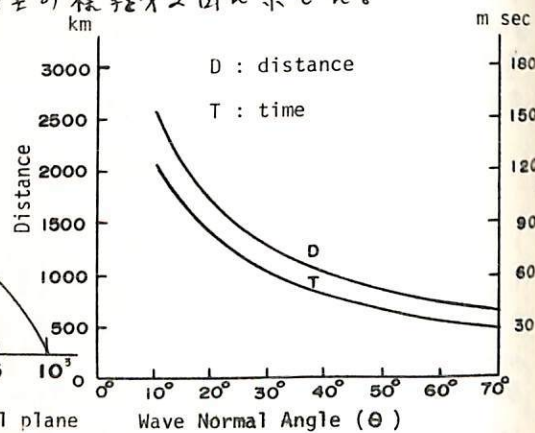


Fig. 2 Cerenkov interaction distance and time for 100 dB growth

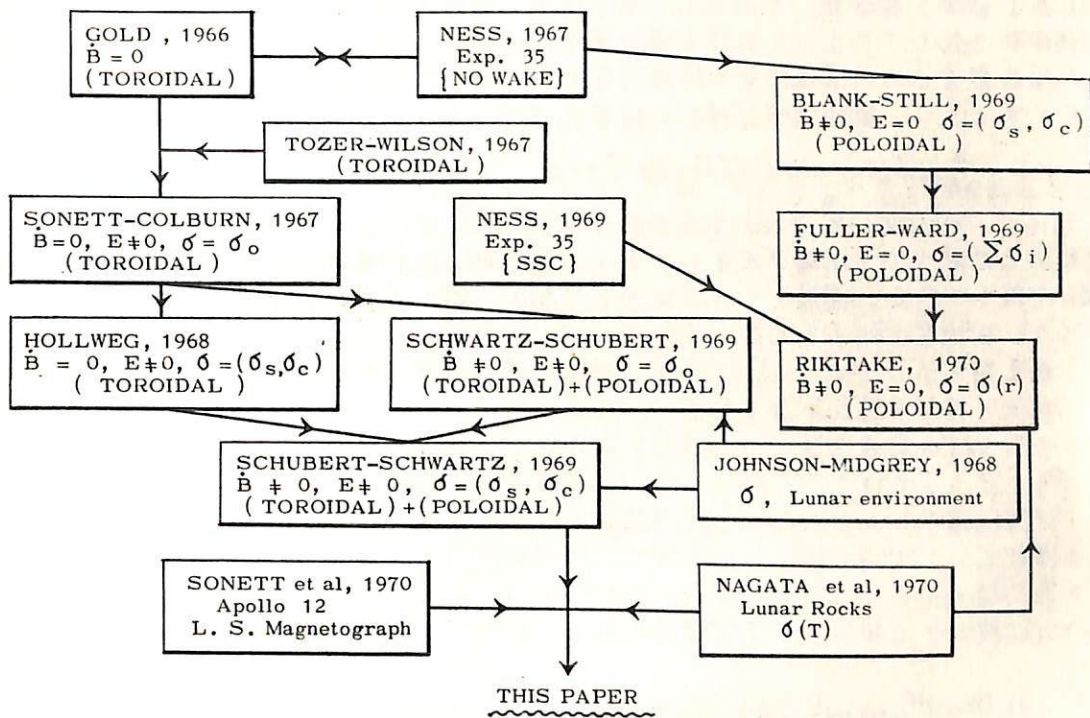
$$f = 3.2 \text{ khz}, L = 2.42(50^\circ)$$

$$f_0 = 27.226\sqrt{f_H}$$

太陽風と月との電磁的相互作用 及び月岩石の電気伝導度

永田 武 河野 長
東京大学 理学部

(i) 太陽風は、プラズマ流と電気伝導体である月との間の電磁相互作用については、その考え方の道筋に於いてかなりの混乱がつづいていた。最近5年間にわけるこの問題の研究の進展の主流は、次の如くである。



上の研究進展系統図に示す如く、この論文では、 $B \neq 0, E \neq 0 (E \neq 0)$ の立場を支持し TOROIDAL 磁場と POLOIDAL 磁場の双方を考える。理論的な段階としては、 $B \neq 0, E \neq 0, \sigma = \sigma(r)$ の場合を取り扱うべきであるが、 $\sigma = \sigma(r)$ の影響を数値的に取扱うにはまだ観測データが足りないので $\sigma = (\sigma_s, \sigma_c)$ 模型に近い $\sigma = \sigma(r)$ 模型を考える。

(ii) Apollo 11号及12号採集による火成岩の $\sigma(T)$ の実測結果は次の如くである。

$$(\#10024-22) \quad (T) = 7.9 \times 10^{-2} \cdot \exp\left(-\frac{0.51 \text{ eV}}{kT}\right) + 3.1 \times 10^4 \exp\left(-\frac{1.25 \text{ eV}}{kT}\right) \quad (\Omega \text{ cm})^{-1}$$

$$(\#12043-47) \quad (T) = 2.3 \times 10^{-1} \exp\left(-\frac{0.63 \text{ eV}}{kT}\right) + 1.8 \times 10^3 \exp\left(-\frac{2.42 \text{ eV}}{kT}\right) \quad (\Omega \text{ cm})^{-1}$$

双方ともに地球内岩石より全温度区间において σ が著しく大きい。

(iii) 月面に在る L.S. 磁力計によって得られた磁場変動を Explorer 35号磁力計による同時観測値と比べる。著しいことは太陽側にみける月面上での磁場変動がきわめて大きい事実である。

(iv) (iii)の観測事実は、月内部の σ が大きいことで理解される。又月の WAKE も観測されない事実は、月表面近くの σ が大きくなりことによつて理解される。

太陽活動静穏期における太陽風

広瀬 徹

名大理

太陽活動静穏期 (1963, Nov. ~ 1964, Feb.) における IMP-1衛星によるプラズマ・磁場の惑星間空間のデーターを解析した。一時間平均値の太陽風各物理量の相関は、(速度一密度) ≈ -0.4, (速度一磁場の強さ) ≈ 0.1, (密度一磁場の強さ) ≈ 0.3 であった。

3 太陽回転周期中、10例の「プラズマ速度の正勾配 (positive gradient)」~factor 1.5 を示すものが観測されたが、そのうち 9 例が密度・磁場の大きさが変化を伴っており、地磁気の乱れを引き起している。その模式図を第1図に示す。300 km/sec から 600 km/sec への速度変化は太陽表面近くの太陽風速度の経度的変化とみなされ、それが密度・磁場のふらつきを誘起したと考えよう。電磁流体力学式の線型式；

$$\frac{\partial}{\partial t} (\delta \rho) + \operatorname{div} (\rho_0 \delta \vec{v} + \delta \rho \cdot \vec{B}_0) = 0, \quad \frac{\partial}{\partial t} (\delta \vec{B}) - \operatorname{rot} (\vec{v}_0 \times \delta \vec{B} + \delta \vec{v} \times \vec{B}_0) = 0$$

において、 $\rho_0, \vec{v}_0, \vec{B}_0, \delta \vec{v}$ を与えれば、 $\delta \rho, \delta \vec{B}$ が求まる。観測より、 $\rho_0, \vec{v}_0, \vec{B}_0$ 及び速度の正勾配 $\delta \vec{v}$ (伝播中不變とする) を適当に仮定した近似計算の結果を、観測値と第2回に比較してある。磁場についてはある程度の一一致を示すが、速度勾配が大きい時、密度はこうした線型近似より大きくずれる。

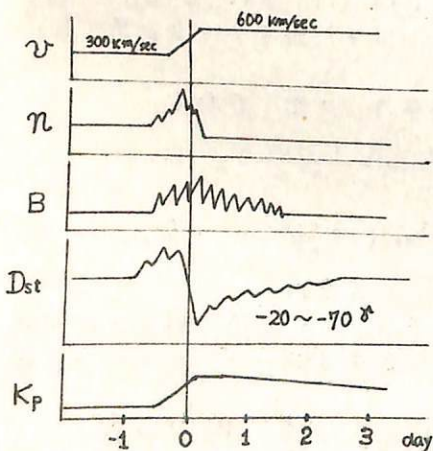
第1図に示したように、太陽風と地磁気擾乱には systematic な関連が見られる。全期間中、15例の地磁気擾乱があったが、太陽風のデーターが得られたのは 12 例であり、そのうち 9 例が大略第1図の如き対応を示した。この時期において、惑星間空間磁場の正成分、 B_x 、については 1 例を除き、Dst, Kp との特別な相関はみられなかった。

地球磁場 Dst の正の成分と太陽風密度は良い相関を示しており、これは太陽風の運動圧の増加として理解し得る。第3図に、地磁気静穏時と主相の運動圧の差と、Dst 正の成分の最大値とが示してある。Siscoe et al (1968) は、Pioneer 6号によるプラズマの観測と地磁気 SICCA 比較から点線のような実験式を出してあり、二の解析結果とよい一致を示す。

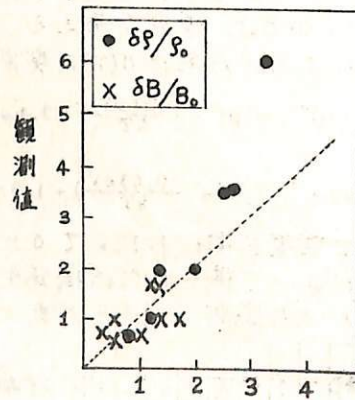
(1) T.Hinse, M.Fujimoto, and K.Kawabata, "Magnetohydrodynamical Processes of the Sector Structure in the Solar Wind",

Publ. Astronomical Soc. Japan, 22, No.4. (in press).

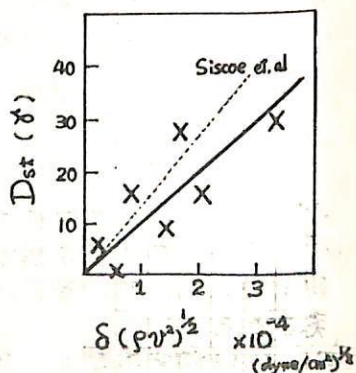
(2) G.L.Siscoe, V.Fermisano, and A.J.Lazarus, J.G.R. 73, 4869, 1968.



第1図



第2図 計算値



第3図

中緯度地磁気 Si と太陽風不連続

山下 喜弘, 山口 又新
地磁気観測所

1965年5月～1966年12月の期間に起った中低緯度における地磁気擾乱の、主相(DR場)の形成具合と、惑星間空間磁場の状態を比較検討した。使用資料は、IMP-C磁場(B, θ, ϕ)資料と、中低緯度地上磁場である。

特にIMP-Cが、地球磁気圏に対して、太陽側惑星間空間を通過時(1965年6月～12月, 1966年7月～12月)に起つて磁気嵐について調べた。この期間の磁気嵐は22個であった。この中、A) 顕著なDR場の発達していったものが6例、B) 急変化は存在するが、その後のDR場の発達が顕著でないものが16例である。

A) の場合、

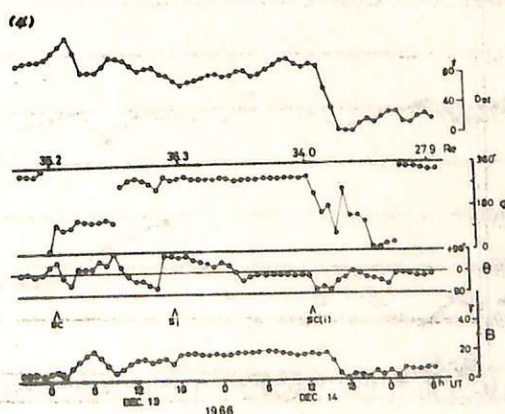
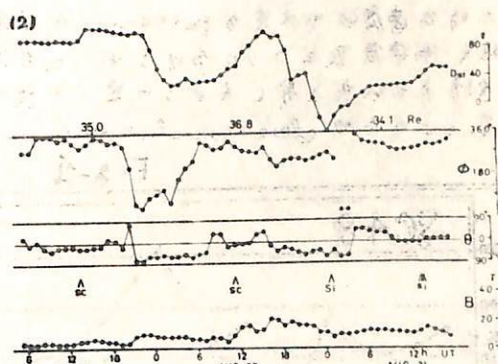
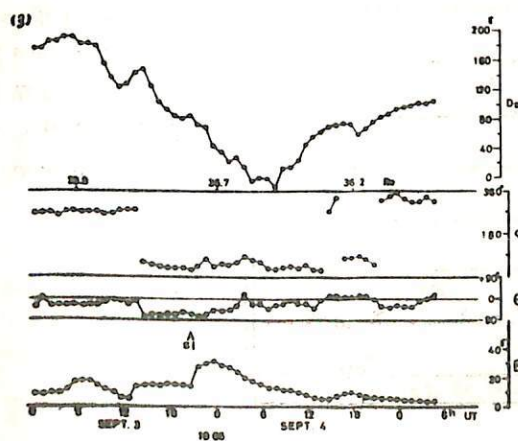
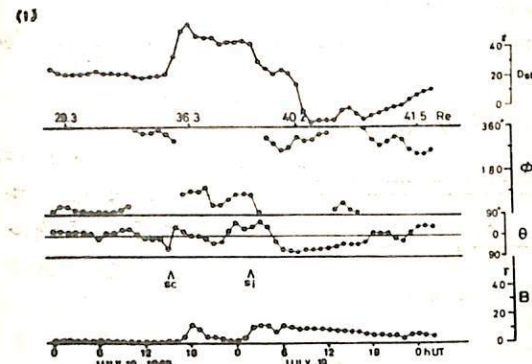
地上の磁場は数回の急変化(Si)が見られ、主相(DR場)の発達時と数時間前後して惑星間磁場は、急激に南向きになり、磁場の強さは、15～30%変化し、その平均の状態が、10時間以上続いている。

B) の場合、

惑星間磁場の南北成分が、数時間間隔で変動している。

今後更に他の関連現象について比較検討していく。

(A) の例



電波星シンチレーショントによる太陽風の観測

柿沼隆清・渡辺 勇・鶴見治一・小島正宣
(名大空電研)

本年6月より笠置川へ富士の2点で同時観測を行つた。使用した電波源は6月中が3C48, 7,8月は3C197と3C196, 9月中は3C286, 10月より3C296を用いた。このうち3C48大気モードデータを提供してくれた。観測時間は毎日の午後3時~夕方6時である。データは計算機で処理し、毎日のデータ(7点)でのauto correlation, power spectrum 2点間のcross correlation を算出させていた。cross correlation curve の peak の大きさの変化により笠置川へ富士間(約126km)での diffraction pattern の見かけの移動速度を得る。spectrum の中 f_d が pattern の scale $d = u/\sqrt{f_d}$ $\times 10^5$ である。 u の量は weak scattering の場合 solar wind の見かけの速度と乱れの大きさに対応がつく。3C48より出した u , f_d , d の日々変化の様子をFig-1に示した。dateにつけて○印は T-p. 第2以上のフレアのあとを示す。

Fig-1 図で注目すべき点は d を比較して見て、13, 14日のフレアの後に生じた d の peak 時には d も大きくなっている。(しかし、25日のフレアの後の peak 時には d は増大していない) 平均的な scale d が 100 km を示している。 u の曲線をグラフに plot (そのが Fig-2 図である) みると d には略々比例して増加する場合とそうでない場合との2通りがあるようだ。この事を毎日の観測を約100秒毎にプロットにかけてみると、 d を算出ししてみると、 u が突然 50% 位も増加する事があり、その時は d も増加(=1)の場合が多い。これは見かけの速度 u が本來の pattern の速度 V と d に因らず、速度 V の2倍に分けられ、 d の増大により見かけ上の u が上昇したように見える場合である。このため cross-correlation curve 上に u と d solar wind

Fig-1

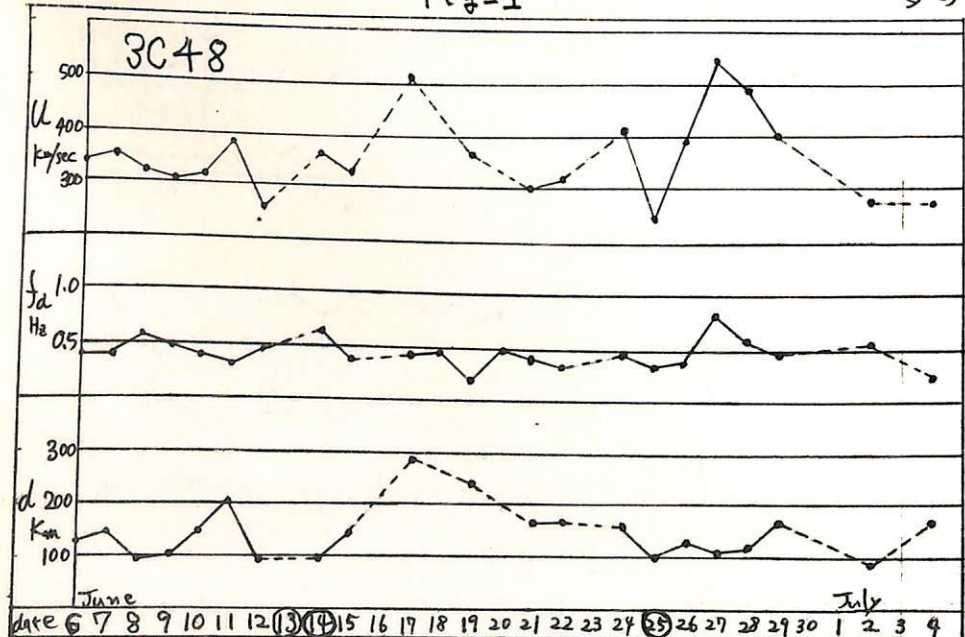
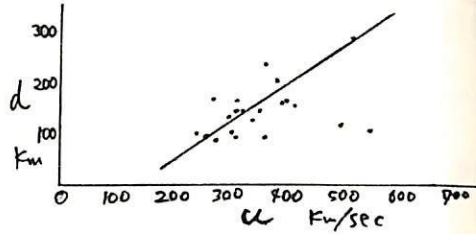


Fig-2

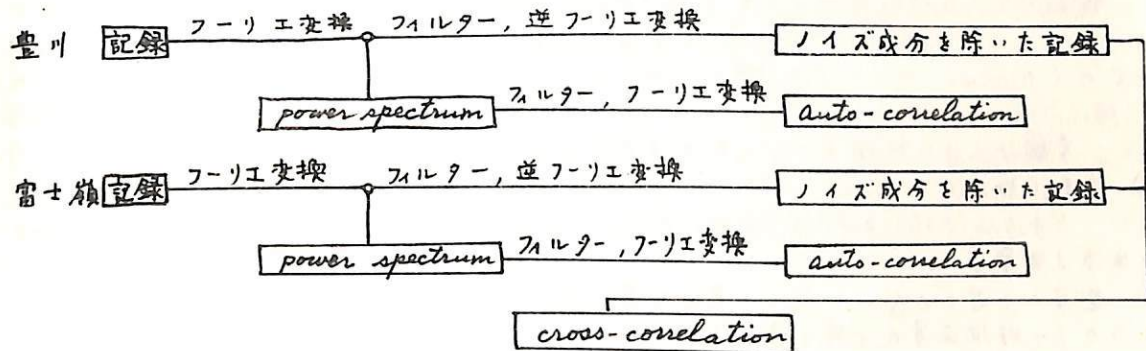


の関係を調べてはいるが、
まだ必要である。
経験的の傾向の平均化が必要である。
ここで T_c を求めたところにすると各日は非常に早く分配の直線(x軸 u)に乗り見かけの速度 u と d は極めて密接に連絡していなかったものである。

電波星シンチレーションによる太陽風の解析

柿沼隆清、鶴見治一、渡辺亮、小島正宜
名大空電研

電波星からの電波は太陽風中の密度の irregularity (δn) によって散乱されるため、地上には diffraction pattern (大きさ ℓ) が映される。この diffraction pattern は太陽風の流れと共に動くので、2点で同時観測として cross-correlation を計算すると2点で結ぶ線方向の速さ V が求められ、又周波数 f と波数 g ($g = 2\pi/\ell$) は $f = Vg/2\pi$ の関係があるため1点での観測で求まる power spectrum は diffraction pattern の spatial power spectrum $P(g)$ に対応づく。現在豊川と富士嶺の2点での同時観測より、各点での power spectrum と auto-correlation 及び2点間の cross-correlation の計算をしているが、そのデータ処理の略図を次に示す。



電磁波の散乱理論を用いて $P(g)$ より δn の spatial power spectrum を求めるところを現在検討中である。又 δn は縦波的波動によるものと考えられるが、これは space-craft で測られる磁場の変動は横波的波動によるものと考えられるので、これを対比させて太陽風中のプラズマ波動の解析を行っている。

太陽プロトンの成分とバースト

- 1966年6月のプロトン現象 -

垣倉章雄

電波研究室

(1)

前回の報告書に述べて、1969年プロトンフレア強化観測期間 (PFP Retrospective Interval 1969) 中の太陽活動変動、地球磁気振幅 (太陽風、1969年6月7日20:30 UTC) が太PCA、そして同時に時刻は AT 5'-12' 観測された。伯エニルギー- (5 MeV) プロトン現象は6月5日10時、太陽経度 64° E (Ca plage 領域 10134) にかられた重複度 3B のフレアでありと推定された。 7° フラッシュフレアと伯エニルギー-プロトン現象の発生時間差と時間間隔は惑星向空洞距離 12.8×10^9 リー² の半分であることを説明するには充分ではないが、これは 8月9日5:08 UTC 地球から逃げた shock wave の後方 12.8 リー 4 本の伯エニルギー-プロトンを示す。

しかし伯エニルギー-プロトンの位置は Fan ⁽²⁾ が Pioneer 6, $7^{\circ} 0-6$ MeV のプロトン観測で示した活動距離を含む 180° のセクターを考慮すれば必要もあり、また6月5日10時、フレアが離かれたことと合わせた所には、その後の地球磁気変動 (Pioneer 6, 7 月) 類似のプロトントラックデータを入手する必要がある。

今回は上述の経緯をさらに固めよう。

(1) PFP期間中の Pioneer 6-7 を用いて、太陽プロトンの成分とバーストの存在と、それと太陽活動領域、太陽風速度から推定した惑星向空洞のセクター構造との関係を考察し、

(2) 惑星の位置と太陽バーストの発生位置、時刻によつて、惑星が見出された 3° プロトン $\pm 45^{\circ}$ の時間的変化や種々変化 (うそ = E を含む)、

(3) 最後に Pioneer 6, 7 プロトントラック (イカゴ大学 J.A. Simpson の提供) さすり 2 月 5 日 10 時のフレア直前にプロトンフレアが現れたことを示し、24と 6 月 7 日 21 時の earth event をつながりを考察する。

(参考)

(1) 4月1回観測報告書、詳くくほ

Y. Hakura, Results of Special Observations for the Proton Flare Project 1969, VI. Summary of the June 1969 Events, J. Radio Research Labs., 17, 55, 1970.

(2) C.Y. Fan et al., Protons Associated with Centers of Solar Activity and Their Propagation in Interplanetary Magnetic Field Regions Corotating with the Sun, J. Geophys. Res., 73, 1555, 1968.

定常状態における磁場とプラズマ流との境界

に関する self-consistent な解

亘理宣夫・上山 弘

東北大、理学部

Cold plasma 流と磁場との相互作用は Chapman and Ferraro (1931) 以来、数多くの研究者によって取扱われ、地球磁気圏境界の形や構造に関する基本的問題である。しかし、境界層の微細構造を理解する為には、従来の解析結果を再検討し、プラズマ流の diamagnetic 及び dielectric な性質をより明らかにする必要がある。

ここでは一次元モデルを扱い、

① プラズマ流は H^+ と電子から成り、初速 $V_0 = (V_{0\xi}, V_{0\eta}, 0)$ は共に等しく、 $\xi = 0$ から $\xi > 0$ の領域に流れます。

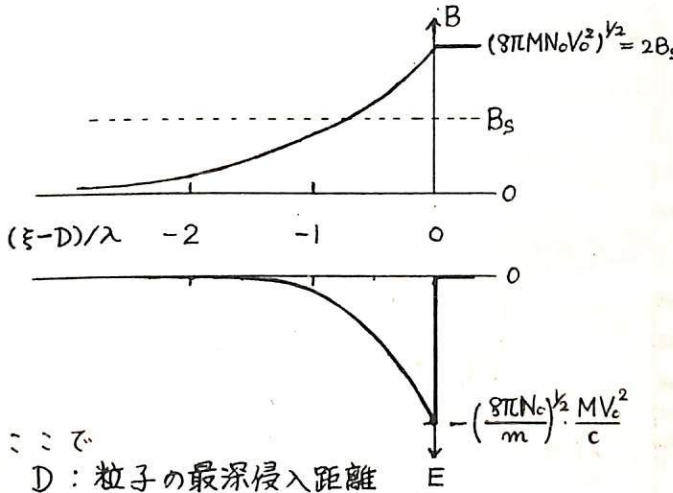
② プラズマ流がない場合の磁場 $B_S = (0, 0, B_S)$ は一様。

③ プラズマ流と磁場の初期境界面は $\xi = 0$ 上の $\psi = 0$ 面。プラズマ流の境界面に対する入射角 ψ は任意。磁場に対しては直角。

という仮定の下に、Maxwell の方程式、運動方程式、それに連続の方程式を組合せることにより定常状態における self-consistent な平衡解を求めた。

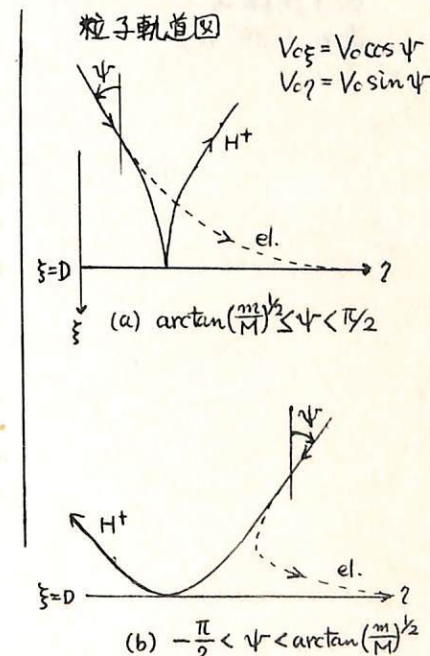
その結果、磁場 (B)、電流密度 (j)、電気 potential (ψ)、電場 (E)、電荷密度 (ρ)、流束 (J)、エネルギー (W) などの分布、さらに粒子の軌道に沿るまで、境界層の形成にあずかる諸量を入射角と侵入距離 (ξ) の函数として表わすことができます。

下図に一例として、 $\psi = 0$ ($V_{0\eta} = 0$) の場合の磁場と電場の分布を示す。



m, M : 電子、 H^+ の質量
 N_0 : 初期プラズマ流粒子密度

c : 光速
e : 電荷



磁気嵐と惑星間磁場変動

國分 行正
東大理・地球物理研究施設

IMP-3 の観測資料を用いて、1965年7月から1967年1月までに起つた磁気嵐と惑星間磁場変動との関連について解析した結果を述べる。
結果は次のように要約される。

1. AE 及び Dst が発生する場合。

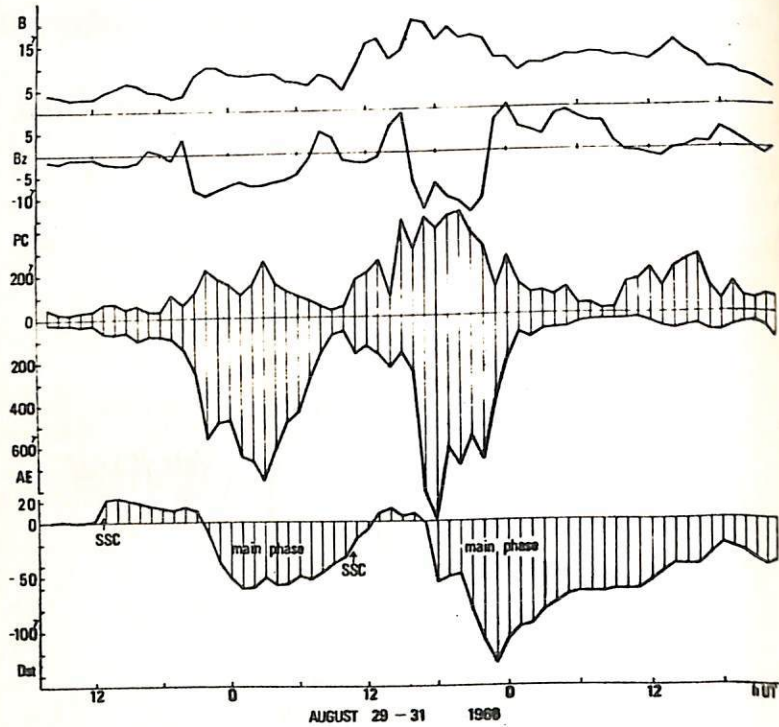
惑星間磁場の全磁力 (B) は Shock の増加後数時刻で減少し、同時に main phase に対応して増加する ($B \gtrsim 10^8$)。元々とともに南向成分 B_{ZS} が増大し、南向の変動が始まつてから1時刻程度の後 main phase が始まる。又、この B の増加直前には discontinuity があり、これが対応する si が地上で毎観測される。下図にこのような場合の例を示す。

2. Shock 以後 SSC がある程度間隔ある場合は地磁気活動が無い場合

Shock 後 2 時間程度は B が減少する。その後は徐々に減少する。

($B_{max} < 10^8$)。又、南向成分は比較的小さい。

右図は、Aug. 29-31, 1966
に起つた2つの SSC による
続く磁気嵐時の地磁気
活動 (PC, AE, Dst) 及
惑星間磁場 (B , B_Z) の
変動を示す。



前田力雄

電波研究所平岡立所

地磁気変動には太陽自転周期と関連するじょう乱成分が混入している。古くから知られてゐる K_p index の 27 日周期性をもつて例証である。 ΣK_p index は磁気圏の形態変動に關係あるものであり⁽¹⁾、したがって惑星間磁場とも深い關係にある⁽²⁾。このことから S/N を別とすれば、地表における磁気観測量から抽出された太陽自転周期中の変動もまた磁気圏変動の測度となるう。この單純な場合として、極点付近における地磁気の鉛直成分と惑星間磁場の方向との相関かすでに議論されてゐる⁽³⁾。

ここでは、極周における磁気ベクトルを黄道座標系で表示したとき、27日変動成分が問題にすこし。あとで惑星間磁場との關係を考察するとき IMP の磁場データを利用することとする。解析期間には 1963-1966 年を選んだ。解析の手続は

H , D , Z 成分の 1 時間値から黄道座標系にかけ meridional 成分, azimuthal 成分, radial 成分を求めた。

1 日平均値を求めた。

27 日平均値を求めた。

27 日変動量 DM_{XS} , DM_{YS} , DM_{ZS} を求めた。

おもな結果は

DM_{XS} の振巾は 10 数度であるのに対し、 DM_{YS} , DM_{ZS} の振巾は数度である。

DM_{XS} は ΣK_p と逆相関である。

DM_{XS} , DM_{YS} , DM_{ZS} は磁気変動の測度、 DM_{YS} は惑星間磁場が地球磁場に及ぼす効果の測度である。

文献

(1) Dessler, A. J., and J. A. Fejer, PSS, 11, 505, 1963.

(2) Siebert, M., JGR, 73, 3049, 1968.

(3) Mansurov, S. M., Geomag. Aeronom., 9, 622, 1969.

Gdアイソトープに基づいた原始太陽系の
一考察

A. Loveless^{*}・專瀬 久夫^{**}・小嶋 祐^{***}・R. D. Russell・柳田 昇平^{**}

* Univ. British Columbia, ** 東大・化學, *** 東大・地物

Gd^{157} , Sm^{149} は大きさ $1.6 \times 10^5 barn$ 及び $5 \times 10^4 barn$ という極めて高い熱中性子衝突断面積を持つ元素である。このため Gd アイソトープ比は、最も鋭敏な中性子検出器と合わせて用いられることが出来る。初期太陽は、現在の数百倍の luminosity を持つていて時期が古い方と推定される。このほど高い luminosity の時期は 18. Solar radiation も極めて強く、だからかって Solar particles と宇宙塵(隕石の原物質)との核反応も又増大するであろうと推定される。

筆者等は、隕石の起源に関する諸説(1967)と作業假説と(1)、(2)の假説によれば、最も太陽に近い場所で誕生したと考えられる(1)下記と、最も Solar radiation の影響を受けていたと考えられる(2)Enstatite Chondrite について、 Gd アイソトープ比を測定した。もし初期太陽が、著しく高い活動度をもつていたとすれば、enstatite chondrite の Gd アイソトープ比は最もよく、その影響が見出されたるであろう。

実験結果は、下表に示す通りである。

| | $\frac{Gd^{157}}{Gd^{160}}$ | $\frac{Sm^{149}}{Sm^{152}}$ |
|--|-----------------------------|-----------------------------|
| terrestrial rock (this work) | 0.71601 ± 0.00009 | 0.51942 ± 0.00012 |
| terrestrial rock (Eugster et al., 1970) | 0.71589 ± 0.00004 | — |
| Enst. Chondrite (Abee) | 0.71602 ± 0.00010 | 0.51871 ± 0.00022 |

以上の結果によると、地球上の岩石と、隕石(Enst. Chond.)の Gd , Sm アイソトープ比の間に有意義な差(0.1%以上)が認められなかった。すなはち、この隕石(Abee)は、地球上の岩石に比べ有意義に高い熱中性子距離をもつてゐる(?)。因に Gd^{157}/Gd^{160} は0.1%の変化を起す熱中性子束では約 $10^{-7} \text{ cm}^2 \text{ s}^{-1}$ である。

第 2 会 場

講演番号 2-1~2-70

海底磁力計 (I)

藤田尚美 田島 稔
□地理院

大地震の発生頻度の多い太平洋沿岸海底において、地磁気経年変化異常監視、電気伝導度異常の観測、海流・磁気的効果等の調査を行なうことを目的として、□地理院では海底磁力計の開発を進めていた。今回は主にシステム設計について述べる。

本装置はアロトン磁力計で、全磁力、浮力を応じて水平分力は 15 分毎 ± 3 メートルまたは 1 時間毎 ± 1 メートル測定可。

構成については、上方から、水中浮標、柱出部、電子制御記録部、リリース装置、重錘から成り、全長約 10 m の海底に設置され、ある期間観測記録をとった後、時計付構によりリリースし、重錘を切り離して浮上し、海上復電波を発振する。

重量は水中浮標、重錘を除く、約 100 kg であり、浮力も約 100 kg である。
自由落下速度約 50 cm/sec、自己浮上速度約 100 cm/sec における水中浮標、重錘を調節する。

回収方法としては自由落下・自己浮上方式を中心としたが、碇置式浮標方式の海底地震計との共存方式も検討したい。

バルーンによる地磁気測定

加藤義雄、青山 嶽、遠山文雄
東海大学 工学部

1970年9月4日、原の町気球実験場から放球された気球(B₂-27)に搭載したアロトン磁力計により高度約25kmまでの地球磁場の高度変化と、水平距離にして約180kmにわたる測線についての磁気分布の全磁力測定を行った。

測定精度はテレメータ系を含めて±2ガンマである。観測は午後6時頃から約6時間にわたりて行われ、データは約15秒に1点得られた。

この実験の主な目的は次の点にあった。

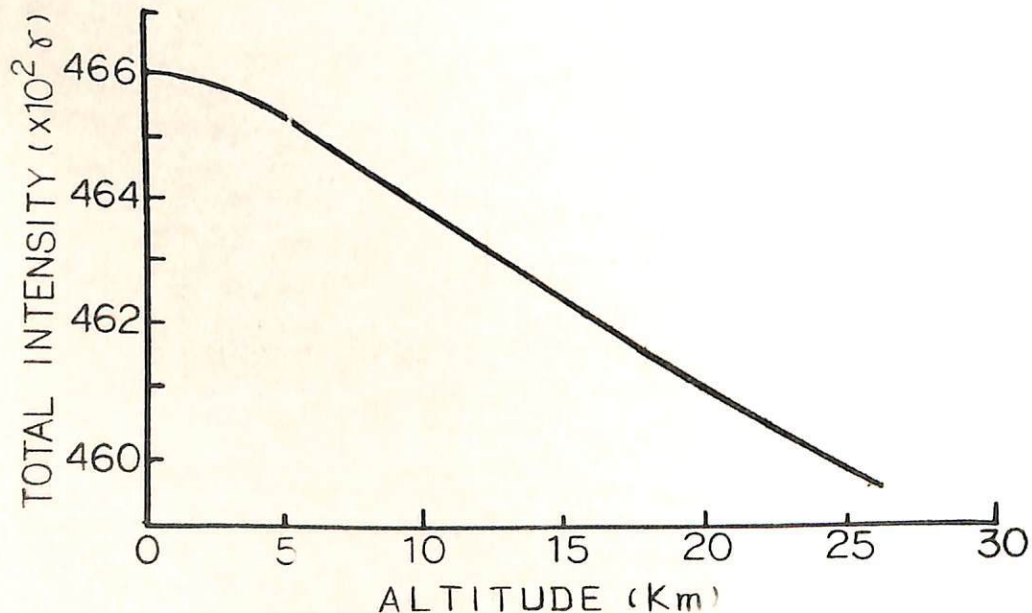
1) 地球磁場の高度変化は、地表からたゞちに逆三乗則に従うかどうか。

2) 局地的な磁気異常などの位の高度までとの影響を及ぼすか。

3) 地磁気の変動の中で1分以上の周期を持つものについて、高度約25kmでの観測と地上観測との間に差があるかどうか。

以上の目的で観測を行つたが、この観測の性質上、ある程度地域的広がりを持った観測が出来ない為、今回の観測結果のみですべての結論を導くには至らないが、およそ次の様な結果が得られた。

目的の第1である地球磁場の高度変化については、下図に示す様に単純な逆三乗則では表れられない結果を得られた。すなはち、高度約5km程度までは地下の影響が大きく表れ、その後次第に逆三乗則に近づくが、高度約15kmからこの逆三乗則には従う様である。次に第2の問題とは、測定が海上ではあるが地磁気分布図から見て大きな異常がない所の対応が見られた。第3の問題の変動は、現在まだ解析中であるが、目立った現象は見つかっていない。



一等磁気測量の資料による地磁気年変化量 分布について

水野 浩雄

国 土 地 球 院

一等磁気測量の資料を用いて、地磁気年変化量の分布とその時間的変動を考察してきた。前回の学会では一等磁気測量のすべての資料を有效に利用する立場で、以上の処理方法を試みた。すなはちまず、基本的には毎年一回の観測が5回以上づつしてあるAグループの測定、10年程度の長い間隔で2~3回しか測定のないCグループの測定、およびその中間にBグループの測定に分類する。次にAグループの資料により一年毎の年変化量分布をPrimary chartとして求めよ。資料の多いA、Bグループの測定についてはPrimary chartと参照するとともに資料の少いことを補うべし、やはり一年毎に年変化量を求めて、A、B両グループのよみとり値をあわせてsecondary chartを作り。secondary chartとCグループの測定に適用して測定値とsecondary chartからの期待値とくらべることにより、secondary chartの信頼性をみよ。以上が処理方法である。この方法によりsecondary chartは $2\%/\text{year}$ 程度のP.D.で信頼できること、年変化量の分布は広い範囲にわたり、急速に変動することを主張した。

これに対して、このようすの処理方法の妥当性について批判をうけた。私も一年毎によみとり値と問題にしたのは、オーナー的には“すべての資料を有效に利用するため”であった。しかし実際にやってみると、 $2\%/\text{year}$ の間隔で思ったよりも無理なくセンターが書けることが判り、あえてそのまま公表した次第である。そしてsecondary chart of $2\%/\text{year}$ のP.D.で信頼でき、(たゞ)で、少くとも $2\%/\text{year}$ の間隔のセンターの時間的変動は、それなり屈曲は別として、大局的には信頼できると主張した。その後私はオーナーにsecondary chartとCグループの比較の結果であり、オーナーには、柿岡へせ満別、柿岡へ鹿屋の日平均値の差のよらつきから推定である。

今回は一等磁気測量の資料を女満別、鹿屋の両観測所の資料でそれを化成し、同じように一年毎の年変化量をよみとり、すでに用意してある、柿岡による結果と合せ、この方法の妥当性を検討する。

観測点Tにおける観測値と、J、K両観測所の資料によりepoch t₀に化成した reduced value E_t、観測年時々の逐数としてそれが $M^{PT}(t_0, t)$, $M^{PK}(t_0, t)$ となる。

$$\frac{\partial M^{PT}(t_0, t)}{\partial t} - \frac{\partial M^{PK}(t_0, t)}{\partial t} = \Delta^{PTK}(t)$$

は、一定年時々に対しては P_t にかかる限り一定値となるべきである。それは年時々における J 観測所の K 観測所に対する相対的年変化量 $\partial M^{TK}(t_0, t)/\partial t$ に等しくなるべきである。各年時々、各成分毎に、多くの観測点から得られた $\Delta^{PTK}(t)$ の平均値と、J、K 両観測所の資料から直接まとめてくる $\partial M^{TK}(t_0, t)/\partial t$ と比較することにより、この方法の妥当性を検討できる。また $\partial M^{TK}(t_0, t)/\partial t$ のために $\Delta^{PTK}(t)$ との精度はうつかり見ることにより同じ目的を達することができる。

下に示す表は、J にて鹿屋、K にて女満別の両観測所を用いたときの、上記諸量である。これらの値は、1967年の両観測所の資料をまだ入手しない段階での暫定的なものであるが、それでもなお、一等磁気測量の測定地内のほぼ両端に位置する観測所（かつてはそりの精度差を有する観測所）による化成値から得た年変化量の向には、最高で $4.5\%/\text{year}$ 、最も小さいものでは $1.6\%/\text{year}$ 、平均で $3.0\%/\text{year}$ のP.D.で矛盾がないことが判る。このことは、上記のようすの処理方法の妥当性を支持するものである。同時に、これが

た年変化量図が external origin に左右されてしまいかねない。という点についても、ケツクに及ぼす影響への心配がある。何故ならば、近くの観測所によって画いた年変化量分布のパターンと、遠くの観測所によって画いたそれとが、上記 S.D. の程度で一致することは、とりも当然である。遠く、観測所を用いて画いても、external origin による影響はそれ以下だ"という目安となりうるからである。

したがって、柿岡による化成値と用いて年変化量分布図を画ければ、 $\sim 5/\text{year}$ 程度の S.D. で画けることは、このことからも期待できる。

| t | n | $\overline{\Delta^{PJK}(t)}$ | $\frac{\partial M^{JK}(t_0, t)}{\partial t}$ | diff. | δ |
|------|-----|------------------------------|--|-------|----------|
| 1960 | D | 14 | + 6 | + 8 | - 2 |
| | H | | + 4 | - 1 | + 5 |
| | Z | | + 7 | + 7 | 0 |
| 1961 | D | 13 | + 13 | + 9 | + 4 |
| | H | | + 4 | - 1 | + 5 |
| | Z | | + 7 | + 7 | 0 |
| 1962 | D | 13 | + 11 | + 9 | + 2 |
| | H | | + 1 | 0 | + 1 |
| | Z | | + 8 | + 5 | + 3 |
| 1963 | D | 15 | + 8 | + 10 | - 2 |
| | H | | 0 | 0 | 0 |
| | Z | | + 2 | + 5 | - 3 |
| 1964 | D | 20 | + 14 | + 12 | + 2 |
| | H | | - 1 | - 1 | 0 |
| | Z | | + 4 | + 6 | - 2 |

n : 使用した磁気点数

$\overline{\Delta^{PJK}(t)}$: $\Delta^{PJK}(t)$ の平均値

δ : $\Delta^{PJK}(t)$ の S.D.

単位 : γ

三宅島における地磁気変化異常（2）

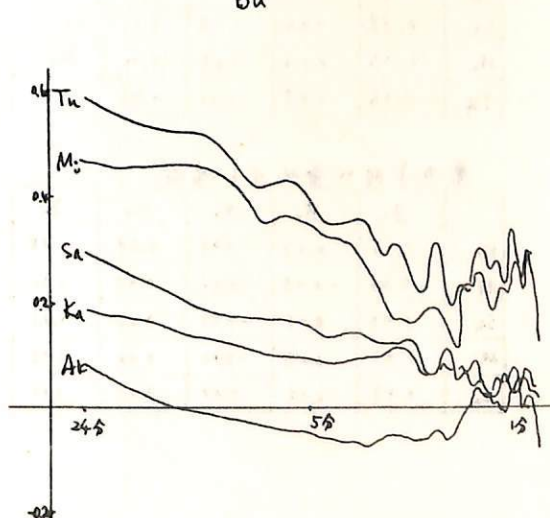
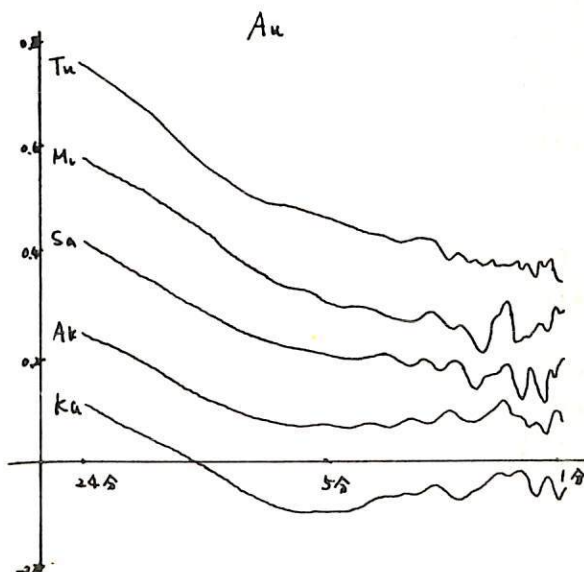
本藏義守
東京大学地震研究所

春の学会では magnetic storm のスペクトル解析より周期 120 分～5 分の A, B の周期特性を求め、三宅島における地磁気変化異常を論じた。この周期帯では、三宅島付近では Central Japan Anomaly と Island Effect が重なっておりこれがわかり、しかも Central Japan Anomaly は周期が短くなるにつれてその影響が小さくなるという特性を持っています。しかししながら周期 5 分から 24 分ほど読み取り誤差が大きくなっていますので正確なことは言えないし、また、周期 5 分から 24 分で Central Japan Anomaly の影響が小さくてほとんど消えてしまふように見えますので、今回は読み取り間隔をもと短くして、短周期の変化異常を論じることとした。

今回の読み取り間隔は 28.8 秒であるので記録上読み取り可能な最低限度であり、後で用期 1 分前後の結果は誤差が大きいと想われる。Cut-off Period 24 分の High-pass Filter をかけて、24 分～1 分の周期帯について解析した。この周期帯でもやはり長周期側が卓越してしまって whitening Operation を行つた。前回と同様、繰り返しの storm を解析し、最終的にはそれらの平均操作を施して、より平均的な結果を導いた。

結果は下図に示されています。これを見ると B についてはよくわかるのが、A については、はっきり傾向が変わっていることがわかる。しかも傾きが違う周期はだいたい 5 分である。それより長い周期については 120 分～5 分の Trend にはほぼ一致するが、短い周期については横軸に平行に近くなっています。

これは周期 5 分以上では Island Effect と Central Japan Anomaly の影響が重なっており、5 分以下では Central Japan Anomaly の影響は消えて、Island Effect だけが支配的となることを示しています。このことは地下の Conductor についての情報を与えるものであると思われますが、それについては今日は論じない。



三宅島における地磁気変化異常 (3)

本藏義序
東京大学地震研究所

Island Effectについては筆者により、不均質薄層導体モデルを用いて計算がなされており、伊豆大島において実測値との比較が行なわれている。また筆者、近藤により、三宅島においても計算はなされているが、あまり正確でないと思われる改めて計算を行なった。計算は磁場が南北方向に変化する場合と、東西方向に変化する場合について行なう。Self-induction の影響を無視した。

解くべき方程式は

$$\rho \nabla^2 \psi + \text{grad } \rho \cdot \text{grad } \psi = -(\rho - \rho_0) \nabla^2 \bar{\Psi}_0 - \text{grad}(\rho - \rho_0) \text{grad} \bar{\Psi}_0.$$

$$\rho = \frac{1}{\sigma_0 D} \quad \sigma_0 = 4 \times 10^{-11} \text{ emu.} \quad D: \text{海溝.}$$

$$\rho_0 = \frac{1}{\sigma_0 D_0} = 2.5 \times 10^5 \text{ emu} \quad D_0: 1 \text{ km}$$

$$\bar{\Psi}_0 = \frac{1}{2\pi} (U + iV) \sin \lambda x \quad \lambda = 10^{-8} \text{ cm}^{-1}$$

$$U = \frac{1}{1+d^2}, \quad V = \frac{d}{1+d^2}, \quad d = \frac{\rho_0 \lambda}{2\pi \omega}$$

ψ : anomalous current function

周期30分の磁場変動による relaxation method (accelerated Liebmam method) を用いて計算した。中、最大値は約4.5 residual が0.1 KTF, 大きな収束した。計算結果は下記の通り。

南北方向に変化する場合

| | Zu | Zv | Xu | Xv | Yu | Yv |
|----|-------|-------|------|------|-------|------|
| Ka | -0.29 | -0.03 | 1.10 | 0.01 | 0.00 | 0.00 |
| Ak | 0.29 | 0.04 | 1.07 | 0.01 | -0.04 | 0.00 |
| Sa | 0.35 | 0.04 | 1.06 | 0.01 | -0.01 | 0.00 |
| Mi | 0.35 | 0.04 | 1.05 | 0.01 | 0.00 | 0.00 |
| Tu | 0.65 | 0.07 | 1.05 | 0.01 | -0.01 | 0.00 |

X: 北向き成分
Y: 西向き成分
Z: 下向き成分
u: in-phase part
v: out-of-phase part

東西方向に変化する場合

| | Zu | Zv | Xu | Xv | Yu | Yv |
|----|-------|-------|-------|------|------|------|
| Ka | 0.12 | 0.02 | -0.01 | 0.00 | 1.06 | 0.01 |
| Ak | -0.44 | -0.05 | -0.01 | 0.00 | 1.12 | 0.01 |
| Sa | 0.06 | 0.01 | -0.01 | 0.00 | 1.06 | 0.01 |
| Mi | 0.63 | 0.07 | -0.01 | 0.00 | 1.05 | 0.01 |
| Tu | 0.39 | 0.04 | 0.00 | 0.00 | 1.05 | 0.01 |

瑞穂町（京都府）における地磁気観測について

前田 坦・鈴木 康・住友則彦
(京大理) (京大教養)

京都大学理学部では新たに地磁気の観測所を京都府瑞穂町(下図)に設け、研究と教育のために役立てるに至った。当観測所の位置は地理及地磁気座標では次のようす所であるが、日本では特に内陸部の観測所が少ないので各種の研究に役立つものと思われる。

$$\text{地理座標} \quad \left\{ \begin{array}{l} \varphi = 35^\circ 13' 4'' \\ \lambda = 135^\circ 20' 6'' \end{array} \right.$$

$$\text{地磁気座標} \quad \left\{ \begin{array}{l} \vartheta = 24^\circ 45' \\ \Lambda = 202^\circ 26' \end{array} \right.$$

9月中旬から10月中旬にかけてフラックスゲート磁力計による予備観測を行はれてきたので、今までに気がついた当観測所の地磁気変化の特徴を述べてみる。

- 人工ノイズのはい所をさがしたが、当地は京都の一帯近い電車線から30 Km余りであるが、まだそれらの影響と思われるノイズが存在する。
- φ_B はまだ日が浅くて何といえはいが、電離層ダイナモのうずの中心の直下を思わせる変化が多い。それを除けばE型がや、多いようだ。
- 工成分の変化は鳥取と比べて小さい。周期数時間以下の変化について調べると、Z/Hの絶対値は鳥取の半分程度である。またZとHのphaseは短周期では逆、長周期では正となることは鳥取と同じだが、その境界が鳥取の場合よりはずつと短かく30分～50分のところにありそうだ。



荒木 健・大久保 謙二

地磁気観測所

女満別で地磁気観測されたのは1952年ご、鹿屋では1958年からである。しかし女満別では磁気儀の精度の点で毎時値として正式に発表されたのは1957年からである。

この両地図の日変化の特性については必要に応じてその都度報告されていはるが、いずれも短期間のものであり、長期にわたる調査結果はまだ得られていない。

最近資料の蓄積により1958年から1968年までの太陽活動の1サイクルにわたる両地図の日変化などの統計を行なつたので、今回はこの期間の両地図の日変化の特性をベクトルダイヤグラムなどにより、All Days・Calm Daysについて季節毎の相異、各成分の軌道、太陽活動との関係などについて柿岡と比較した結果を報告する。

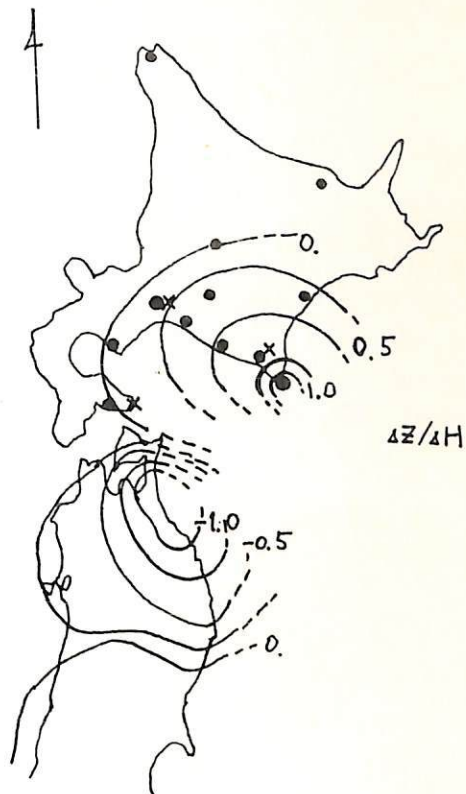
北海道における地磁気短周期変化(Ⅱ)

西田泰典
北海道大学理学部地球物理

現在までの地磁気変化観測に加え、エリモ岬および干支で観測を行つた。~~E~~

エリモ岬では ΔZ の変化が非常によく H の変化と相関してあり、近くの観測点浦河によく似ている。しかしながら ΔZ の振巾 자체は非常に大きく $\Delta Z/H$ の値が1を越えている。又干支では ΔZ の振巾がかなり小さくなっている。近くの他の観測点、平取、日高と同様 ΔZ の変化と相関している。(昭和45年春の電磁気学会)。 $\Delta Z/H$ のコニターを引くと下図の如くなり、かなり大きな異常を形成しているようになる。

道北部にまで観測空白部が残っているが、大ざっぱな地磁気変化の異常の様子がわかってきたので~~一~~、二の異常を説明しなければならぬ。今回そのてはじめとして、浦河、干支、恵山で(X印)地電流観測を行つたので、その結果も含めて発表する。



2-10 講演題目 東海地方のCA観測(予報)

著者名 加藤愛雄 須戸正弘 早坂泰

所属 東北工業大学

要旨

東海地方の地下構造を知るために、静岡及び愛知県下にまたがり、静岡市新開地4
東にて、CAの観測を行った。特に震周期の変動に注目するため、高感度の倍周波
数計を試作した。(感度: $0.2 V/mm$, SN比: 0.3 dB) 今回は観測結果の予報ととめる。

鳥取砂丘における地電流観測について

宮腰耕一郎・安原通博・住友則彦・鈴木亮
(鳥取大) (京都教育大) (京大教養) (京大理)

鳥取大学の砂丘利用研究所において地電流と地磁気の観測を行ったのでその結果を報告する。

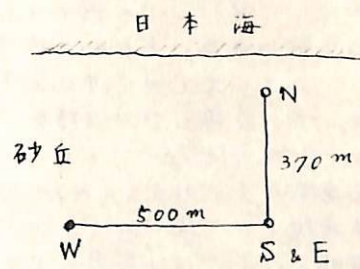
観測場所は砂丘である。最も近いN極は海岸より200m程の距離しかない。海岸線はほぼ東西に延びている。従ってNS成分はほぼ海岸と直角の成分となり、EWは並行となる。電極はNとW極とはそれを小独立であるが、1本の電極を共有している。電極の材質は木炭で、それを地下1m余りの所にうめ。SとEはすれりと炭の粉でかたのめている。NS、EWの電極間の距離はそれを370mと500mである。接地抵抗は電極をうめた直後にそれを1KΩ程度である。極間の大地の抵抗は數10Ωである。電極の間に多少高さの差があるが、高いうからN、W、S & Eとなる。地電流のE成分は低い所にある極が他に対し高電位になることが知られておりが、今回の場合は常にS、EがN、Wに対して高電位となつてゐる。観測点の近辺は広大な砂地であるが、地下に入ればそこは相当の陸地奥深くまで海水が入り込んでゐるようである。

地磁気の方はフラックスゲート磁力計による観測値を利用した。

資料は目下解析中であるが、電場は極端に polarize している。そのホドグラフは周期によらずほゞ完全に N NW - S SE の方向の直線となる。これは地電流が海岸線と直角方向に流れ易いといふ性格とはよく一致するが、あまりに極端である。この polarization は電場変化で $NS > EW$ ことであるが、一方磁場変化では $H > D$ であるので、蓋に直角な電場と磁場の比もとるとその比は NS / D の方が EW / H よりも常に1桁程大となる。従って、たとえば conductivity が一様な semi-infinite earth における電場と磁場の関係

$$(E/H)^2 = \rho_a / 0.2 T$$

はこのまゝではつかえない。



関東地方における地表電流と電場磁場

柳原一夫

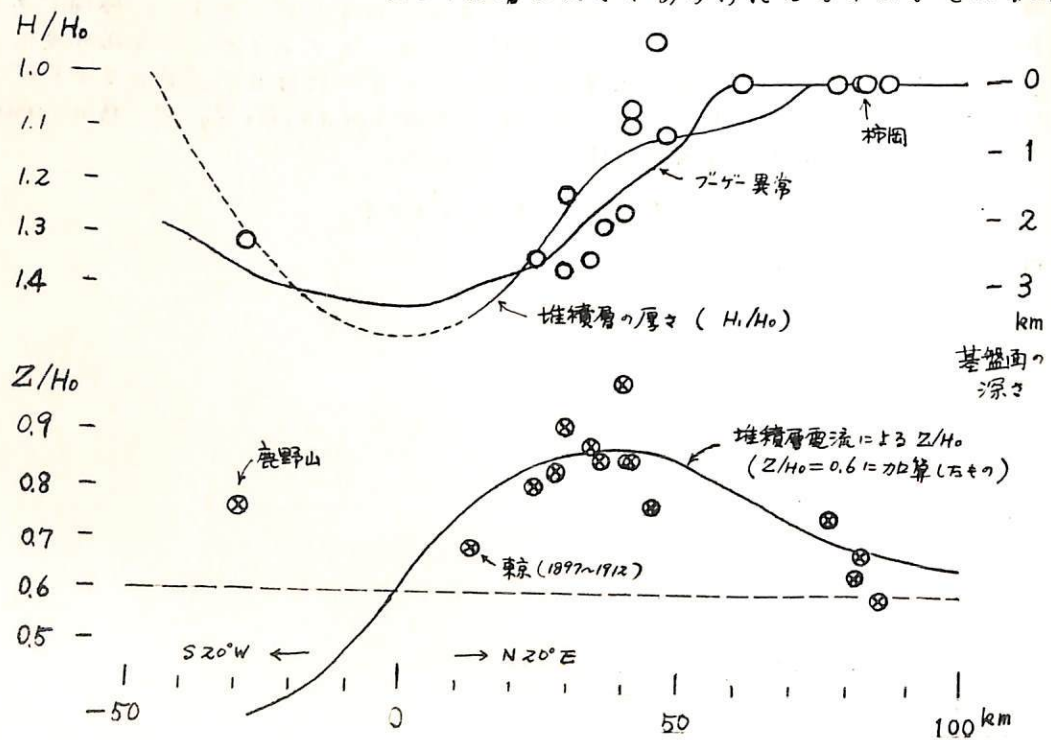
地磁気観測所

最近CA研究において地下浅層を流れる電流による影響の重要性が認識され始めた。日本では関東地方は比較的地下浅層構造が知られ、堆積層の厚さ、その電気伝導度、電場磁場の分布等もかなり測定されてい。そこでこの地方で地下浅層電流の磁場に与える影響を調べてみた。

まず磁場については、久保木によれば東関東地域で大層複雜な分布をしていて、そのデータから一地点(浜田)を除くと約 $N20^{\circ}E$ の線に沿って単純な分布をしているのに気が付く(図)。この線はまた堆積層等深線に垂直である。かつ電場(地電流)の分布はこの線に垂直、すなわち堆積層等深線に平行である。

そこでまず地下浅層電流は $N20^{\circ}E$ 線に垂直に流れ、電流の大きさは ED/P であるとする。 E : 電場, D : 堆積層の厚さ, $P = 4 \Omega m$: 比抵抗。これにより磁場は $N20^{\circ}E$ 方向に $H_1 = ED/2P$ である。周期 $T = 500$ sec (SSC, SI等)に対応して、 $E/H_0 = 0.83$ mT/kA/s(実測)を入れると $H_1/H_0 = 0.13D$ (D in km)となる。 $N20^{\circ}E$ と水平分力との方向の違いを無視すると図の如く、水平分力の実測分布は堆積層中の電流によって生じたものとして説明される。 H_0 は柿岡の水平分力変化量で堆積層の影響をうけない量として使用した。

次にZ成分については電流の大きさの分布(すなわち堆積層の厚さの分布)を $N20^{\circ}E$ 断面についてMax.から60km点で零になるように一様に減少するとして垂直方向には同じ距離60kmまで一様に存在するとして近似し磁場を計算すると D_{max} 点から北の方では Z/H_0 の分布をよく説明できる。 $Z/H_0 = 0.6$ のもともとの値に最大で0.28を加わり $Z/H_0 = 0.88$ となる。しかし南の方の点(鹿野山のみぞべ)ではこの表層電流の影響は Z/H_0 を減少すべきであるが必ずしもそうならない。これは海の影響が大きくあらわれたものもある。



地電流の局所的および局地的異常について

気象庁・地磁気観測所 白木正規
柳原一夫

地電流の局所的異常は、地球の表面の電気伝導度の非一様分布のためにはずれ見かけの異方性と考えられる。この異方性によつて、外部磁場の変化で誘導された電場 E° は、第一近似によれば $E^{\circ} = (+)H^{\circ}$ と修飾を負ふ。ただし、(+)は2階のアーベルである。地球を均質球と考えたとき、電場 H° は磁場 H° との間に位相差 $\pi/4$ を有する。

$$E^{\circ} = \lambda \begin{pmatrix} 0 & 1 \\ -1 & 0 \end{pmatrix} H^{\circ}, \quad \lambda = \sqrt{\frac{F}{2T}}$$

と表わせる。これから、

$$E = (+) \lambda \begin{pmatrix} 0 & 1 \\ -1 & 0 \end{pmatrix} H^{\circ}, \quad (+) = \begin{pmatrix} +1 & +1 \\ +1 & +1 \end{pmatrix}$$

となり、 E と H° の関係から $\lambda (+) \begin{pmatrix} 0 & 1 \\ -1 & 0 \end{pmatrix}$ を求まる。

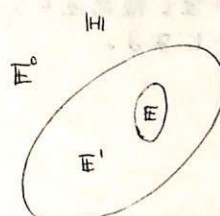
日変化と短周期変化などを考慮すれば、 E と H° の位相差は $\pi/4$ に近いことから E° と H° 間に以下均質地球の仮定が近似的に正しいと考えられる。ただし、実際に上の式を用いて、林岡、女満別、鹿屋の3点について、日変化、短周期変化の $\lambda (+) \begin{pmatrix} 0 & 1 \\ -1 & 0 \end{pmatrix}$ を求めると、 $+1_2 \neq +1_1$ となり (+) は著しい非対称性を示す。

この (+) の非対称性は、観測点のまわりの伝導度の分布を単純な $+1_2 = +1_1$ とした異方性を置き換えることを示す。この非対称性について、2階のアーベルテニソルの積は非対称となることから、(α), (β) を対称テニソルとして、次のようを取り扱うを考える。

均質球と考えられる地磁気誘導された電場 E° は、観測点をとりまく海陸の分布によつて生じる局地的異方性によつて $E^{\circ} = (\alpha)H^{\circ}$ と修飾され、つまり観測点の近傍の堆積層の分布によつて生じる局地的異方性によつて $E^{\circ} = (\beta)E^{\circ} = (\beta)(\alpha)H^{\circ} = (+)H^{\circ}$ と修飾されたものが観測されることが考える。

無限導電率の中に異なつて、下伝導度の摺円形の領域があるとき、この領域内では (+) はアーベルテニソルとなることから、局地的および局地的異方性として2重の摺円形分布を有する。林岡市立などのまわりの観測点の電場 E , E' に上の取扱いを適用して見た。これから電場 E と E' の間に矛盾のない結果を得られた。

この結果を利用して、日変化に対する2重の修飾を取除いた場合の見かけの比抵抗を求めた。



地磁気鉛直成分変動を考慮した Sf e 電流系

福島 直・富田 宏・飯島 健
東京大学 理学部

Sf e 現象の実際の記録を調べると、特に鉛直成分変動が複雑な様相を呈する。

鉛直分力の変動は同一の観測所に於いても、必ずしも水平分力変動と単純な比例関係にはない。これは Sf e の外部磁場自身に水平成分以外に鉛直分力も含まれている為であろうと考えられる。地球内部の電気伝導度分布を推定する手段として地磁気短周期変動の解析が行なわれてあり、通常は外部磁場が比較的単純な形に仮定し得る bay, sc, 等が利用される。併しながら、もし Sf e の外部磁場(電流系)が或る程度簡単な形に仮定出来るならば、観測記録の複雑さ、観測可能地域の制限、等の制約にも抱らず、CA研究の有力な一助ともなり得るものと考えられる。

ここでは先ず、モデル計算を用いて Sf e 時の電離層電流系を地表データから定量的に推定することを考える。

1) 地磁気変動の水平成分を X, 鉛直成分を Z で表わすと

$$X_0 = X_e + X_i + X_a, \quad Z_0 = Z_e + Z_i + Z_a \quad (1)$$

ここで、0; 観測値 e; 外部原因に依る。i; 内部(正常)原因に依る。a; 内部(異常)原因に依る。

2) Z_a と X_0 の関係は (sc の場合) 前田氏に依り調べられており結果を用い。

$$Z_a = \alpha X_0 \quad (\alpha \text{ は場所によるパラメーター}) \quad (2)$$

3) X_a は Z 成分の外場が anomaly に依り曲げられる効果によるとし、その地点に於ける地磁気抱束面(所謂、力武-横山面)の傾きをもつて anomaly の状態を表現する

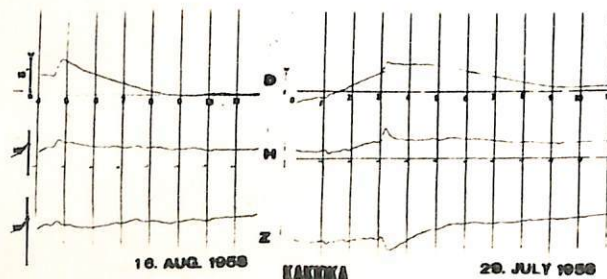
$$X_a = \beta Z_0 \quad (3)$$

$$\beta = (\sin X \cos X + \sqrt{\frac{\sin X}{2}} \cos(\theta - 2X)) / (\cos^2 X + \sqrt{\frac{\sin X}{2}} \sin(\theta - 2X))$$

従って (1) より

$$\begin{cases} X_0 - \beta Z_0 = X_e + X_i \\ Z_0 - \alpha X_0 = Z_e + Z_i \end{cases} \quad (4)$$

4) 電離層(地上 100 km)に適当な電流系を設定し、完全導体(地下 400 km)に於ける反射を考慮して (4) 式の右辺の値を数値的に算出する。次に X_0 (H_0, D_0) を用いて等価電流系のパターンを調べて、これをモデルのパターンに等角写像し、各々の地点での左辺の値(観測値より求まる)と比較する事により、等価電流系の電流密度を推定出来ることになる。



ランダムに分布した磁気双極子による全磁力分布

藤田尚美 井内 登
□土地理院

ある深さに分布する單一磁気双極子による全磁力分布には方向性があり、この方向性の強弱が磁気編模体にどの程度影響を与えるかを調べる。

ある深さの平面上、乱数表を用いてランダムに磁気双極子を分布させ、ある高さの平面上で、どのような全磁力分布を示すかを求めた。

磁気双極子の数を 9, 25, 49 にとり、双極子分布の深さを格子間隔の 0.2, 0.5, 1.0 と変更、また伏角 $I = 30^\circ, 45^\circ, 60^\circ$ の場合について全磁力分布の計算を行なつた。

$I = 30^\circ$ のは、磁気的東西方向に編模体が現われ易い傾向がある。これは、伏角値が小さく、編模体が全磁力の一般傾向とはほぼ平行の場合には、原因がランダムに分布しても、説明出来るので注意を要する。

行 武 稔

東京大学地震研究所

前にも同じ題目で講演したことがあるが、その際は、17-18世紀のデータとして、Fritsche の球函数解析結果を用いた。その後 Fritsche の解析には難点があることがわかったので、17-18世紀の地球磁場に対して球函数解析をやり直し、その結果を使って停滯性磁場と移動性磁場の分離をおこなった。方法は前と全く同じで、まず永年変化磁場より移動速度を求め、Gauss-Schmidt 係数の各次数毎に分離をおこなった。

1. 地磁気永年変化の移動速度

新たに得られた、17-18世紀に対する球函数解析結果より、地磁気永年変化の係数を求め、その位相の時間的変化により移動速度を見積った。1710-1965のデータについて得られた結果は第1表の通りである。これを見ると Sectorial term について、移動速度が精度よく求まっている。他の項ではばらつきが大きくなっている。このことは、sectorial terms は主として移動性磁場からなることを示唆している。したがって移動速度を見積る上では、これらの項のみに着目した。

前回には、低次の項程、移動速度が遅く、高次の項程速いという結果が得られた。今回はそのような速度の分散性が認められないばかりか、逆に僅かではあるが、低次の項程速度が速いという結果が得られた。移動速度に分散性があるとしても、過去 2~300 年の範囲を問題にする限り、その影響はあまり大きないと考え、全体が一様な速度で回転するとして、 $n=m$ ($n=1, 2, 3, 4$) の移動速度の荷重平均 $0.293/g$ をこれから用いることにする。

2. 停滯性磁場と移動性磁場の分離

Gauss-Schmidt 係数が

$$g_n^m = F_n^m \cos g_n^m + K_n^m \cos m\omega(t - \tau_n^m)$$

$$h_n^m = -F_n^m \sin g_n^m - K_n^m \sin m\omega(t - \tau_n^m)$$

の形をしているとして、13組の Gauss-Schmidt 係数（年代：1600, 1650, 1700, 1770, 1780, 1829, 1845, 1885, 1922, 1945, 1955, 1960, 1965）を使って F_n^m , g_n^m , K_n^m , τ_n^m を求めた。結果は第2表に示してある。前回、Fritsche の解析結果を用いて得られた結果とも比較のために示してある。両者の間に著しい相違は認め難い。

3. 永年変化曲線

上に得られた停滯性磁場と移動性磁場とを逆に合成して、いくつかの異なる偏角伏角の永年変化曲線を計算し、観測と比較してみた。このように特定地底での永年変化を合成する場合、 $n=5, 6$ の高次の項も無視できない役割を果していることが判明した。

第1表

| $n m$ | 速度 | 標準偏差 |
|-------|--------|-------|
| 1 1 | -0.389 | 0.088 |
| 2 1 | -0.177 | 0.086 |
| 2 | -0.286 | 0.031 |
| 3 1 | -0.454 | 0.220 |
| 2 | -0.644 | 0.107 |
| 3 | -0.271 | 0.013 |
| 4 1 | -0.276 | 0.240 |
| 2 | -0.571 | 0.101 |
| 3 | 0.195 | 0.090 |
| 4 | -0.219 | 0.037 |

第2表

| $n m$ | 速度 | 標準偏差 | Fritsche の解析を含む | | | | | |
|-------|-------|--------|-----------------|---------|---------|------------|---------|---------|
| | | | F_n^m | g_n^m | K_n^m | τ_n^m | F_n^m | g_n^m |
| 1 1 | 38.76 | 259.6° | 2670° | 5.49 | 4056° | 255.3° | 2354° | 5.36 |
| 2 1 | 10.94 | 52.3 | 2317 | 6.88 | 1257 | 41.9 | 2114 | 0.76 |
| 2 | 6.79 | 100.5 | 2004 | 1.96 | 698 | 106.2 | 1972 | 1.94 |
| 3 1 | 10.49 | 206.5 | 1135 | -3.00 | 1039 | 204.3 | 1116 | -3.03 |
| 2 | 11.04 | 356.4 | 242 | 1.44 | 1064 | 354.7 | 242 | 1.41 |
| 3 | 3.82 | 363.4 | 586 | 1.23 | 363 | 311.6 | 552 | 1.28 |
| 4 1 | 9.96 | 14.5 | 446 | 6.25 | 713 | 13.8 | 318 | 4.07 |
| 2 | 7.16 | 35.3 | 183 | 3.00 | 659 | 33.4 | 125 | 2.80 |
| 3 | 19.7 | 118.7 | 239 | -1.17 | 255 | 119.5 | 230 | -1.20 |
| 4 | 20.1 | 72.5 | 151 | 1.45 | 196 | 74.0 | 142 | 1.41 |

Bullard Geilman Lilley の Dynamo Model の非定常解

宇野 栄
東大・理

力武常次
東大・地震研

Bullard Geilman のタイナモに運動 S_2^{2S} をつけ加えたものは、高次の項までと、ても固有値 V_m に発散がみられないことが Lilley (Proc. Roy. Soc. Lond. A. 316, 153-167, 1970) によって示された。

ここでは、このモデルの非定常解を調べた。

速度場 $T_1(r) = 10r^2(1-r^2)$
 $S_2^{2C}(r) = r^3(1-r^2)^2$

$$S_2^{2S}(r) = \begin{cases} 1.6r^3(1-4r^2)^2 & 0 \leq r \leq 0.5 \\ 0 & 0.5 < r \leq 1 \end{cases}$$

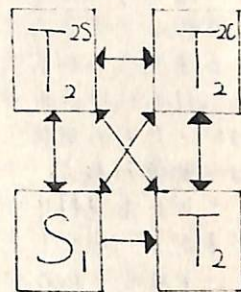
磁場 S_1 及び S_2 と上の速度場を通して相互作用をもつもののうち degree 2 以下のもの T_2, T_2^{2C}, T_2^{2S}
の計 4 個

初期条件 軸方向一様磁場

$$S_1(r) = r^2/2, T_2(r) = T_2^{2C}(r) = T_2^{2S}(r) = 0$$

境界条件 $r=0 \quad S_1 = T_2 = T_2^{2C} = T_2^{2S} = 0$

$$r=1 \quad \frac{\partial S_1}{\partial r} + S_1 = T_2 = T_2^{2C} = T_2^{2S} = 0$$



磁場間の相互作用

横: T_1 による

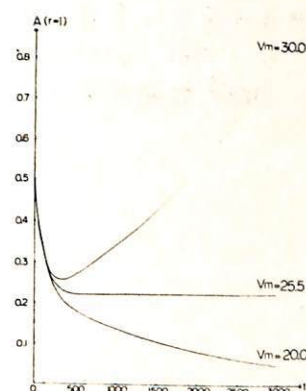
縦: S_2^{2C} による

斜: S_2^{2S} による

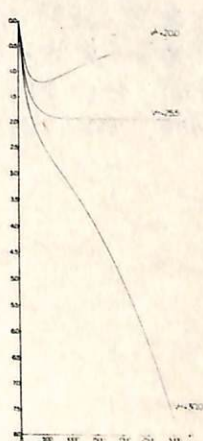
上の条件下で $V_m = 20.0, 25.5, 30.0$ の 3 つの場合について計算した。差分法は $\Delta r = 0.05$, $\Delta t = 0.0001$ で空間中央差分、時間前進差分を用いた。 $V_m = 25.5$ は $\Delta r = 0.05$ の場合の Lilley の定常固有値である。差分法の安定性については、変数係数の場合の理論が確立されていない上に、方程式系が複雑のため厳密な議論はできないが、準必要条件として $\Delta t \leq \frac{2}{9}(\omega r)^2$ である。

これより次のようなことがいえる。

- $V_m = 25.5$ の場合は 400~500 ステップで定常に達する。実時間に換算すると約 6000~7000 年である。このとき $r=1$ での磁場 S_1 と初期に与えられた一様磁場とを比べると、同方向で 0.4~0.5 倍の大きさである。他の場合は、400~500 ステップの後、指数的に減少又は増大する。
- 磁場 T_2 は磁場 S_1 の 10 倍程度である。



磁場 S_1 の時間変化



磁場 T_2 の時間変化

銚子周辺の地磁気層位

新妻信明^{*}・木村勝弘^{**}・酒井豊三郎^{**}

* 東北大・教養・地学 ** 東北大・理・地質

銚子周辺に分布する中新世へ更新世の海成層から、層位间隔 50cm ~ 10m ごとく、携帯用コアラーで定方位定形試料を採取し、DRM を測定し、地磁気層位学的な検討を行なった。

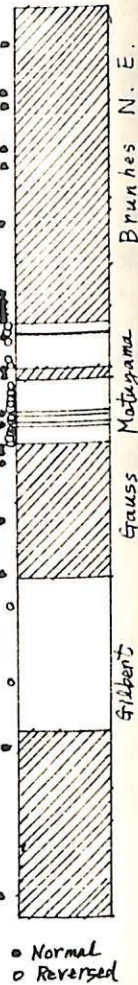
銚子周辺の更新世から更新世の地層は、連續的に堆積したシルト岩からなり、層位学的鍵層になる凝灰岩薄層を多数夾在し、堆積速度も深海底堆積物に比較して大きく、遠洋性生物の化石に富むため、古地磁気層位、古地磁気、古生物学の研究に非常に適している。しかし、地層の露出地は、海岸近く、付近には河川が少なく、試料は主として海岸段丘崖から採集せねばならぬが、たため風化している試料が多く、残留磁気の安定性の充分な吟味を行なう必要がある。

シルト岩試料中の磁性鉱物を磁石で取り出し、Js-T 曲線 (5000 oe) を検討すると、風化している試料の Js はほぼ直線的に減少し、570°C 位で 0 となる。未風化のものは Js は 300°C 位までの減少が少なくて、それ以上の温度で急速に減少する。風化した試料で Js が直線的に減少することは、低温 K キーリー 矢を持つ磁性鉱物が二次的に生成されたためと考えられる。

段階的な交流消磁および熱消磁を行ない、偏角・伏角の変化経路を比較検討してみると、300°C までの交流消磁で安定な残留磁気の方向をもつ試料でも 250°C の熱消磁で安定な方向を失なうものがある。これは、250°C 以下 K キーリー 矢を持つ磁性鉱物の持つていた磁化方向が、この試料の残留磁気の大部分を占めていたためと考えられる。

したがって、今回の測定は、各層準について、1 つの試料を 90oe と 180oe で交流消磁し、もう 1 つの試料を 90oe で交流消磁し、さらに 300°C で熱消磁して残留磁気を測定し、安定性を吟味した。

その結果、Matuyama Reversed Epoch 中に深海底の堆積物中には見出されていながら、た Event が見い出された。これらの Event は Cox (1969) が火山岩の TRM と K/Ar 絶対年代によって見出した Event とほぼ合うことがわかった。また、Oddyke 3 (1966, 1969) が Olduvai Event と呼んでいるものは、Cox (1969) の Gilea Event に相当するものと考えられる。



有田・唐津窯および山陰安来の窯跡の
考古地磁気

浅海英三・時松克宏
島根大学文理学部物理学教室

佐賀県多久市の「大山窯跡」（江戸後期 1800～1860？），有田市の「天狗谷窯跡」（江戸初期 1616～1656 の40年間），および唐津市外の「岸田飯洞窯下窯跡」（鍋倉末期・室町末期・慶長中期等）等があるが佐賀県文化館長承竹底氏の説桃山末期 1570～1600（火口能力が高む），更に山陰安来市の「山口郷新造院瓦窯跡」（A.D.733 の出雲風土記に新造院の記事あり奈良時代初期 700～750？）の各窯跡を採取してその NRM を測定した。まだ僅か四年前に過ぎない九州・山陰地方には尚非常に多くの窯跡があつたので今後、これらの考古地磁気としらべて近畿地方共の他の結果と比較検討したい。

第四紀火山灰層の磁化 (IV)

堂面春雄
山口大学教育学部

山口県を中心に分布する第四紀火山灰層は、前回までに述べたように、上部・赤褐色層(B層)および、下部・灰白色層(W層)に区別されるが、各層よりえられた強磁性物質についての、粒度分布、キュリー温度分布、X線解析資料などについて、今までにえられた結果を述べる。

B層およびW層相互の本質的な関連は、今迄不明瞭であるにいたらぬが、各層に与えて名(B, W)の如き色別の他に、上述の物理についてや相異がみられる；

| 粒度分布 | B層試料 | | | W層試料 | |
|------|------|---|---|------|--|
| | 粗粒 | 2 | : | 1 | |
| 大粒 | 1 | : | 1 | | |

キュリー分布

| | | | |
|---------|------|---|-----|
| 600°C以上 | 3 | : | 2 |
| 500~600 | 1 | : | 1 |
| 150~100 | 3 | : | 2 |
| Mode | 不可逆的 | | 可逆的 |

X線解析 peak比

| | | | |
|--------------------|---|---|-----|
| T.tamag. Series | 1 | : | 0.5 |
| Ilimanohama series | 1 | : | 0.6 |

火山灰の帶磁実験(II)

背景 不 大 豊 理

前回(第47回)の講演会において、水中堆積物ごとひ火山灰が、降雨等の水のしきこけによく帶磁することを報告したが、その中で実験室内での帶磁実験では、外部磁場に比べ、伏角が大きく出る(inclination error)ことが問題点として残されていた。そこで今回は、inclination error と磁化強度の生長区を中心として検討を行った。

実験は、伊豆大島の～A.D. 500年噴出の火山豆石を含む火山灰、S1(中村一明氏分類による)近くで採取したものから、粒度区がえて4種の試料区つくり、万の方のにつれて、水のしきこけによる磁化の生長、万よび伏角の変化を測定した。試料は10～12gの量をふろへ区別して器下堆積させたもので、実験開始前の磁化は、 2.3×10^{-6} emu/g以下であった。結果を次に示す。

| 回数 | ① < 105 μ | | ② 105 < 149 μ | | ③ 149 < 297 μ | | ④ 297 < 840 μ | |
|----|--------------------------|------|--------------------------|------|--------------------------|------|--------------------------|------|
| | M ($\times 10^4$ emu/g) | I |
| 1 | 1.90 ± 0.87 | 36.7 | 1.61 ± 0.21 | 41.3 | 1.53 ± 0.26 | 38.8 | 0.44 ± 0.06 | 9.9 |
| 2 | 1.91 ± 0.73 | 36.6 | 1.83 ± 0.35 | 39.6 | 1.54 ± 0.29 | 39.3 | 0.57 ± 0.09 | 18.8 |
| 3 | 2.12 ± 0.31 | 36.1 | 2.14 ± 0.36 | 39.7 | 1.77 ± 0.30 | 37.7 | 0.66 ± 0.16 | 19.4 |
| 4 | 2.25 ± 0.20 | 37.3 | 2.15 ± 0.26 | 39.0 | 1.97 ± 0.27 | 39.5 | 0.62 ± 0.15 | 21.7 |
| 5 | 2.35 ± 0.23 | 35.8 | 2.33 ± 0.27 | 39.4 | 2.17 ± 0.31 | 40.3 | 0.84 ± 0.16 | 23.4 |

1回のしきこけは、5mmの降雨に相当する水にひいて行われ、測定はしきこけ後6時間経過してから行。た。この時より、試料が乾くまでの間の磁化、方向の変動はほとんど無視できるものである。た。磁化は最初、粒度が細かい程度多いが、くりかえしてしきこけを行なせると、差は減りする方向に変化する。S1中の火山豆石のNRMは $(0.77 \pm 0.4) \times 10^{-4}$ emu/g、全体では $(3.58 \pm 0.22) \times 10^{-4}$ emu/gの強度である。

伏角はいずれの試料についてとも、外部磁場($I=49^\circ$)に対して大きく出る。これは②③の粒度の試料についてはほとんど変化せず、がっかりがえしのしきこけによくても大きくは変わらじ。しかし④の試料については、しきこけが重なるにつれ、磁化方向が外部磁場方向へ変化していく現象が認められた。

S1は水蒸気爆発によるもので、堆積環境は最初から濡れた状態であったが、(中村一明 personal communication)この状態での帶磁実験は $I=39.8^\circ$ を与え(実験は粒度③についてのみ)上記の結果と差異はない。しかし、10分間で5mmの雨量を与えた実験に対して、～12時間で5mmの実際の降雨による帶磁では inclination error が半減すること(試料は熔岩堆積物にしたもの)、万よび④の試料については、しきこけのくりかえしによって、inclination error が減ることを考慮すると、自然界で磁化がほとんど磁場方向むくことはありえないことではじめられるが、この点については自然環境下での実験が必要である。

火山灰中の強磁性鉱物の磁気的性質

百瀬 章一
信大 理学部

才四紀の最も新らしい地層にローム層と呼ばれてゐる過去の火山降下物層がある。これら火山降下物層は時間上層にして何枚か堆積してゐる、筆者はローム層間の对比層中に挟まつてある Pumice 層中の強磁性鉱物の磁気的性質を同定に利用 ~~する~~^{する} ことを試みてゐる。今までには種々熱磁気分析を行なつて、左と之は Curie 温度か Original 相の温度を示すかどうかといつた best 行程が二種類、これらについて今までに三回報告したが、Pumice fall の Curie 温度は場所を異なつても、又層の部分によつても(同一 Pumice 層) 変る所だ。この結果は、全すべての Pumice fall は二種類の不規則である。(噴火起原 5-6km ~ 2.7km、喷火中期 Pumice については上記の 守山噴火と小石川)。この性質は Lava flow と比較して特異な点である。この持性を明らかにする目的で熱磁気分離を行なつてゐる。今回ばかりは実験結果について報告してゐる。

秋田県男鹿半島の火山岩の磁気

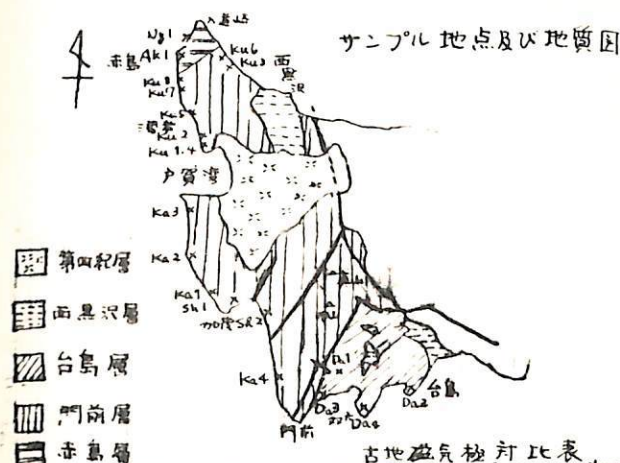
村上敬助、兼富一雄⁰、鈴木正明
秋田大学 鉱山学部 鉱山地質学教室

最近、新オホミ中新世の火成岩とくにいわゆる“グリンタフ”地区に関する岩石残留磁気の測定データーが集まつて來た。そこで今回はグリンタフの東北日本内帯の模式地である男鹿半島の火山岩（主に下部中新世のもの）について残留磁気を測定した。

試料は野外において、明らかに熔岩、凝灰岩と認められるものについて、各相の岩相單位ごとになるべく広範囲に採集した。結果は下圖に示す通りであるが、下位より、門前層群中の赤島層は正帶磁、門前層中の滑岩（くぐりいわ）熔岩類は、はゞ中間帶磁、加茂熔岩類は逆帶磁、真山流紋岩類は逆帶磁、その上位の台島層群は、はゞ正帶磁であった。

今回の結果をこれまでのデーターと比較してみると、殆んどの地域（福島盆地、出羽丘陵、仙台地方、能登半島）において、地質的に門前階に相当するものと見做される層に、逆転帶磁の共通性が見出されることが明らかになつた。このことは、この年代における種調査の示準的な“Epoch”ともなるべきことと示唆する。

この逆転の際の極移動の往路は、これまでに教じられてゐる同一 Epoch のもの（福島盆地、出羽丘陵）とは必ずしも一致しなかつた。



| 古地磁気極方位表 | | | | | | |
|------------------|--|-------------------|--|-------------------|--------|------------------|
| 出羽丘陵 (資料 146) | | 仙台地方 (資料 1463) | | 福島盆地 (資料 1457) | | 能登半島 (資料 145) |
| 須郷田層 | | 旗立層 | | 梁川層 | 東4P内互層 | 西黒沢層 |
| 森田層 | | 青庭層 | | 柳田層 | | 正帶磁 |
| 御倉層 | | | | 果樹層 | | |
| 赤井層 | | | | 内水層 | | |
| 野井層 | | | | 門前層 | | |
| 七面峰層 | | 高館層 | | 雲山層 | | 逆帶磁 |
| 御井層 | | | | | | |
| 草井層 | | | | | | |

| 地質編年表 及び 岩相 | | 時代 | 磁化方向 | 岩相 |
|-------------|------|------|------------|--|
| 中部 | 台島層群 | 台島層 | | 安山岩質玄武岩（熔岩） --- Da1 石英安山岩（凝灰岩, 熔岩） --- Da2 3, 4. |
| 中新世 | | 門前層 | 真山 流紋岩類 | 黒雲母アーノレス安山岩 流紋岩（熔岩） --- Sh 1, 2 |
| 下部 | | 加茂層 | 加茂 熔岩類 | 玄武斑状輝石安山岩 (熔岩) - Ka 1, 2, 3 |
| 中期 | | 台島層群 | 滑岩 熔岩類 | 粗面岩質安山岩（角礫岩） Ka 1 灰岩質粗面輝石安山岩 (熔岩) - Ku 4 1419.1±1.9 黒雲母流紋岩 (熔岩) --- Ku 5, 6, 7, 8 |
| 新世 | | 赤島層 | | 変質粗面流紋安山岩（熔岩） --- Ng 1 変質輝石安山岩（熔岩） --- Ak 1 |

笠嶋貞雄・西田潤一
京都大学理学部地質学教室

西日本各地に分布する小規模のアルカリ玄武岩について、その飽和磁化-温度曲線(T_s-T_{curve})をとるとNéelの提唱するP-typeの磁化曲線を示すものが見出される。これらの資料についてその残留磁気の低温での変化、及び真空中、 10^4 atmの真空中での加熱、冷却過程での T_s-T_{curve} を測定した。これらの結果に基づいて海洋底玄武岩について報告されていける結果と比較検討してみた。

伊藤晴明 M. D. Fuller
島大文理 ピッツバーグ大学

貫入花崗岩体の磁性と冷却速度から、地球磁場の反転残構を詳細に追跡することができたので、その結果について報告する。

岩体の貫入年代は K-Ar dating により 8.2 ± 0.5 million years (Mt. Hood) とさわらものである。これと比較したまえ、 14.7 ± 1 million years (Mt. Rainier) の岩体についての測定結果も報告する。これら2つの岩体は Stock 状であるとされ、地表面における形態および大きさは明瞭でなく、正確な冷却速度は求められていが、反転に要した時間は大体 10^3 年の Order であったと予想された。8.2 million years の岩体は Contact 附近が Reverse に帶磁し、内部は Normal であった。 14.7 million years の岩体は Contact 附近は Normal に帶磁していたが、見かけ上の岩体内部には Reverse に帶磁した場所と Normal に帶磁した場所が見出された。しかし Normal から Reverse、または Reverse から Normal への変化はほぼ連続的であり、二三ヶ所で intermediate NRM をもつ岩石試料を得られた。これら岩体の NRM の測定結果と室内実験により、次のような結論を得られた。

- (1) 地球磁場の反転においては、最初に磁場の強度が減少はじめ、次いで Inclination が変化し、最後に Declination が変って、磁場の逆転が起るようになる。
- (2) 双極子磁場は、方向の変化が起る前にその強度を比較的はくくと減少し、方向を変える過程では、比較的はやくその方向を変化したようになる。
- (3) 外部磁場を変化しながら TRM をつくると、一定の外部磁場に対する TRM よりも不安定である。

インド・デカン高原の古地磁気学

(2) NRM とその安定性

木下 篤・河野 長・青木 豊
東京大学理学部地球物理学教室

インド・デカン高原で採集された玄武岩溶岩の連続層序からの試料を用い、これらの岩石のNRMの方向強度と、このNRMの交流消磁・熱消磁・低温消磁に対する安定性をしらべる。

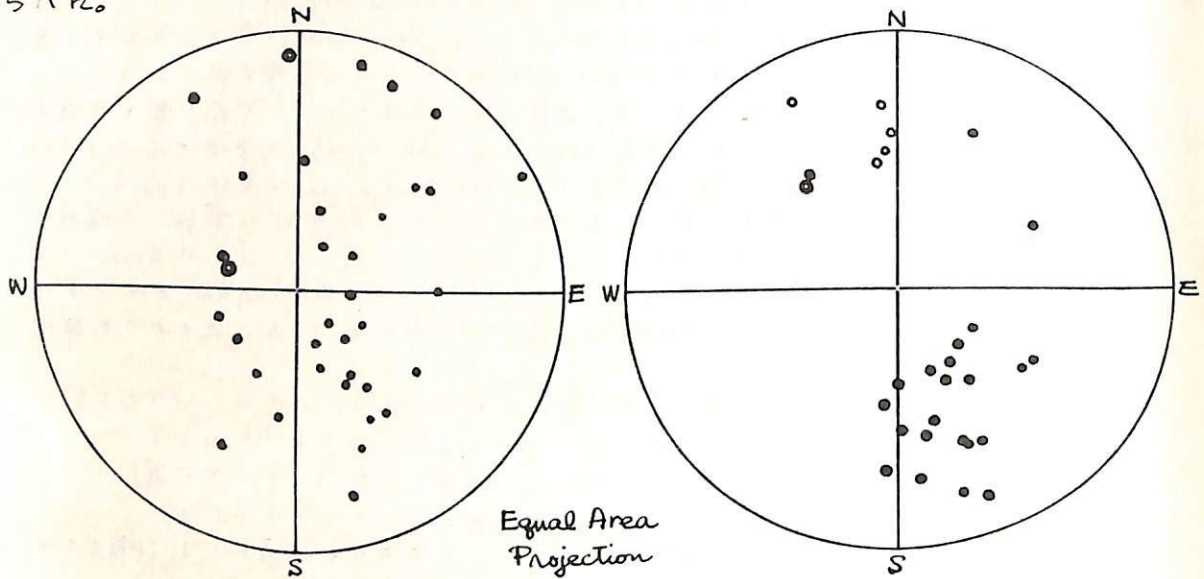


Fig. 1 Mahabaleshwar 各層(36枚)の自然残留磁気(NRM)の平均方向。

Fig. 2 同じ試料についての交流消磁後の安定な残留磁化方向。

自然残留磁化(NRM)自体は各層毎にばらばらで、また同一層内においても方向のまとまりはない。交流消磁は全ての試料について 50, 100, 200, 300, 400 oe の 5 段階で行つたが、その結果、最も L の大きくなつた時の方向を stable component と考えるとこ。その方向の分布は Fig. 2 のようになり、方向の系統性がはつきりあらわれてそ。これらの岩石の磁化のうちの不安定成分は、最近の地磁場による VRM 成分としては説明ができない。不安定成分のうちごく簡単に消磁される部分は試料採取後測定までの短時間に獲得された可能性があり、これについては Storage 実験で検討中である。又 300 oe 程度の磁場をかけないと消すことの出来ない部分(安定成分と向きが異なり)、また各試料毎にもう向こまうらしい)の原因は今のところ不明であるが、デカン高原の岩石で一般的に見られる小規模の熱水変成と関係があるかも知れない。

いずれしてもデカン高原の玄武岩が original magnetization を保つことは確実である。すなはち Mahabaleshwar の 36 枚の溶岩(厚さ約 1000 m)は下部が "reversed" 上部が "normal" で間に 1 回の逆転があるだけであり、その幅は噴出量にもかかわらず、デカン高原は比較的短かい期間に生成したのかも知れない。伏角の平均は 40~50° ので、もし地磁場が双極子と近似できるならば、この採集地点(~18°N)は溶岩噴出時に 23~31°S(マダガスカル-南アフリカ連邦の緯度)にあつたことが推定される。

Paleogene Granite の古地磁気 [I]

伊藤晴明 道板克安
鳥取大学文理学部

中國地方に於て、中生代末は古第三紀とされてゐる花崗岩が広く分布してゐる。これらの岩体の一部は河野、植田(1966, 1967)によつて年代が決定されてゐる。それによると、約 60 million years と 30 million years にわたる岩体が島根、鳥取両県に露出してゐる。今回は次の場所における年代のものについて、NRM の測定結果を報告する。特に島根県横田町大谷(46 million years)より得た岩石は比較的安定した Reverse NRM をもつてゐた。

年代測定のされた場所と岩質は次の通りである。

島根県

| | | |
|-------------|-------|------------------|
| 大原郡大東町石畠 | 花崗肉綠岩 | 58 million years |
| 飯石郡三刀屋町三刀屋 | " | 51 " |
| 仁田郡横田町大谷 | " | 46 " |
| 飯石郡三刀屋栗谷 | " | 44 " (Reverse) |
| 鳥取県 | | |
| 三朝町人形峠 | 花崗肉綠岩 | 60 million years |
| 三朝町木地山(下吉屋) | アダメロ岩 | 38 million years |

岐阜県下呂町付近に分布する濃飛流紋岩の磁化

野村哲

群馬大学教養部

岐阜県の東北部を中心にして分布する濃飛流紋岩類は、白亜紀の後期に形成されたことがわかっている。

このうち、岐阜県下呂町および付知町付近の濃飛流紋岩類は、山田直利らによつて調査され、次のような層序が明らかにされてきた。

| |
|----------|
| 高樽溶結凝灰岩 |
| 阿寺層 |
| 夕森山溶結凝灰岩 |
| 赤石溶結凝灰岩 |
| |
| 東俣溶結凝灰岩 |

これらの岩石の自然残留磁気を調べてみると、東俣層の上部から夕森山層までは、逆転磁化を示したが、高樽層は正常磁化であった。

西田洋一・佐藤貞輔
京都市立理学部地質学鉱物学教室

和歌山県下の二疊系に古期玄武岩のNRMを測定した。NRMのIntensityは非常に弱く安定性の試験等については不充分なところが多いが得られた結果は下に示す表のようである。

| N | Site | Direction of NRM | | α_{95} | V.P.P | |
|----|------|------------------|-------|---------------|---------|-----------|
| | | D | I | | ψ | λ |
| 13 | A | NW 69.5° | 41.0° | 25.0° | E 54.5° | N 30.5° |
| 12 | B | NW 56.5° | 47° | 15.2° | E 27.5° | N 29.0° |
| 7 | C | NE 80° | 101° | 51.0° | W 62.0° | N 60.0° |

この結果と山口県真ノ奥地方、石炭紀の赤色頁岩について以前に得られているDataと比較し検討した結果次のようによことか指摘できる。

- 1) 地石の傾きの補正を行なうとsite A, B, Cについて得られ NRM の方向はかえって散乱する。
 - 2) 地石の傾きの補正を行なわずに V.P.P. を求めると site A, site B の V.P.P. は真ノ奥の $\pm L$ (W 156.0°, S 22.0°) と丁度地磁の裏面に位置することになる。
- 以上のことについて考察してみた。

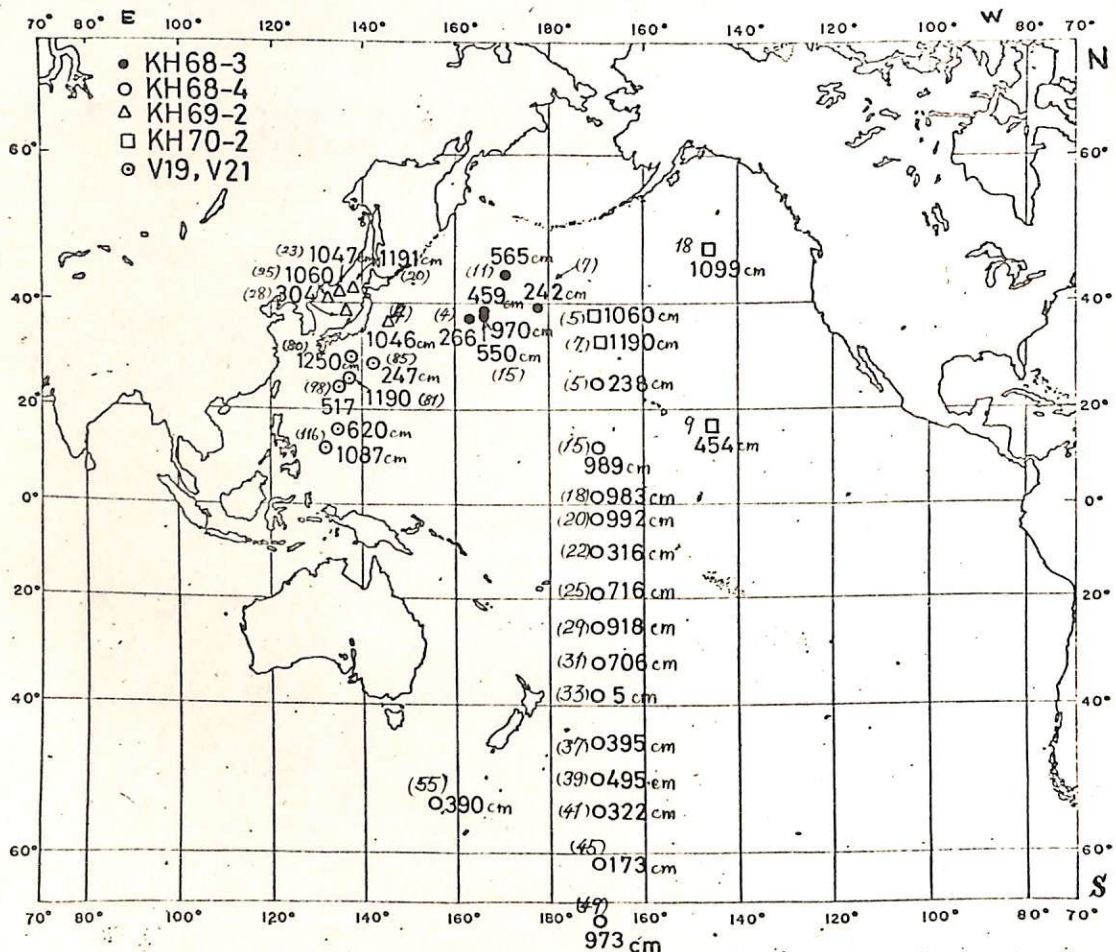
太平洋底堆積物の古地磁気

小林和男、北沢一宏
東京大学 海洋研究所

白鳳丸の過去3年にわたる4航海において採集された太平洋底堆積物コアについて、古地磁気学的結果をまとめて述べる。

計25本のコアのうち、ほぼ半数がうは地球磁界の反転が見られる。特に、 170°W 線上で $2\sim5^{\circ}$ おきに採られた試料から、 38.5°N と 2.5°S の地点でそれぞれ 4.5 my , 3.5 my と“費”していると思われるものが見出された。

堆積速度は生物生産力の差をほか、ローカルな地形や附近の火山活動などの影響を微妙に反映しているようだ。汎世界的なトレンドよりも、狭い範囲でのちがいが目立っている。



堆積物コア(ピストンコア)の採取地点とコアの長さ

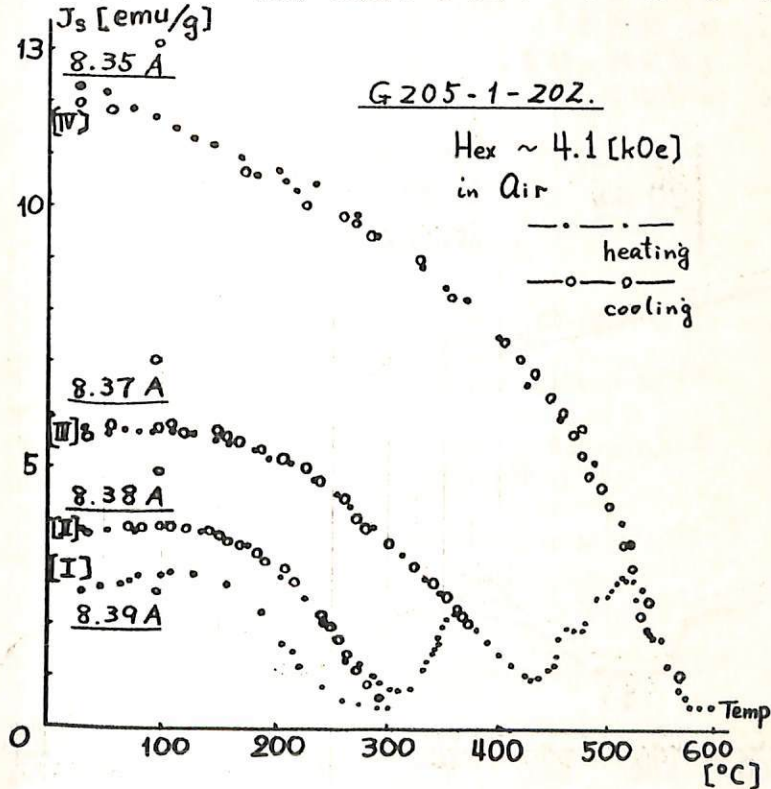
()内のイタリックは地点番号、ゴチック数字は採れたコアの長さ(単位センチメートル)を示す。

海洋底岩石の磁性

北沢一宏，小林和男
東大・海洋研究所

過去数年の間に日本近海の海山からドレッヂにより採集された岩石の磁気的性質について報告する。特にJEDS-6(日本深海研究第6次航海)およびKH69-Z(白鳳丸研究航海、69年ガ2次)において、エリモ海山にて採集された岩石は海洋底産の岩石としては磁性鉱物の粒度が比較的大きく、粉碎して磁気選別することにより、X線解析、化学分析、熱分析などの測定を行い得る程度の磁性鉱物が得られた。

一般に海洋底産岩石の飽和磁化の温度変化は岩石ごとに様々な様相を呈し、多くのものは200°C程度の温度変化に対しては可逆的な変化を示し、200°Cから室温にまで冷却した時には元の飽和磁化の強さを示す。300°C以上の温度変化に対しては非可逆な飽和磁化の温度変化を示し、加熱温度が高くなるにしたがって室温に冷却したときの飽和磁化も大きくなる傾向を示す。図に岩石中より選別した磁性鉱物について行いた測定結果を一例として示した。このように、室温[I] → (加熱) → 300°C → (冷却) → 室温[II] → (加熱) → 375°C → (冷却) → 室温[III] → (加熱) → 530°C → (冷却) → 室温[IV] → (加熱) → 600°C → (冷却) → 室温[V] という加熱-冷却の過程における飽和磁化を測定した。[IV]の状態に達すると、飽和磁化は温度変化に対して可逆的な変化を示すようになる。熱変化後の室温にまで冷却した時のX線回折によれば[I]～[IV]の状態で立方スピネル構造の格子定数が図に示すように一連の変化を示す。[I]においては回折線はすべてスピネル型のものとして説明できるが、[III]においてはスピネル型の回折線の他に数本の回折線が現われ、[IV]においては、それらの新らたら回折線の強度は増し、スピネル型のものは弱くなる。これは加熱処理を行ったことによりスピネル型の鉱物から新らたら鉱物が生じたものと考えられる。また、この変化の様子を明確にするために行いた熱分析の測定結果をも含せ報告する。

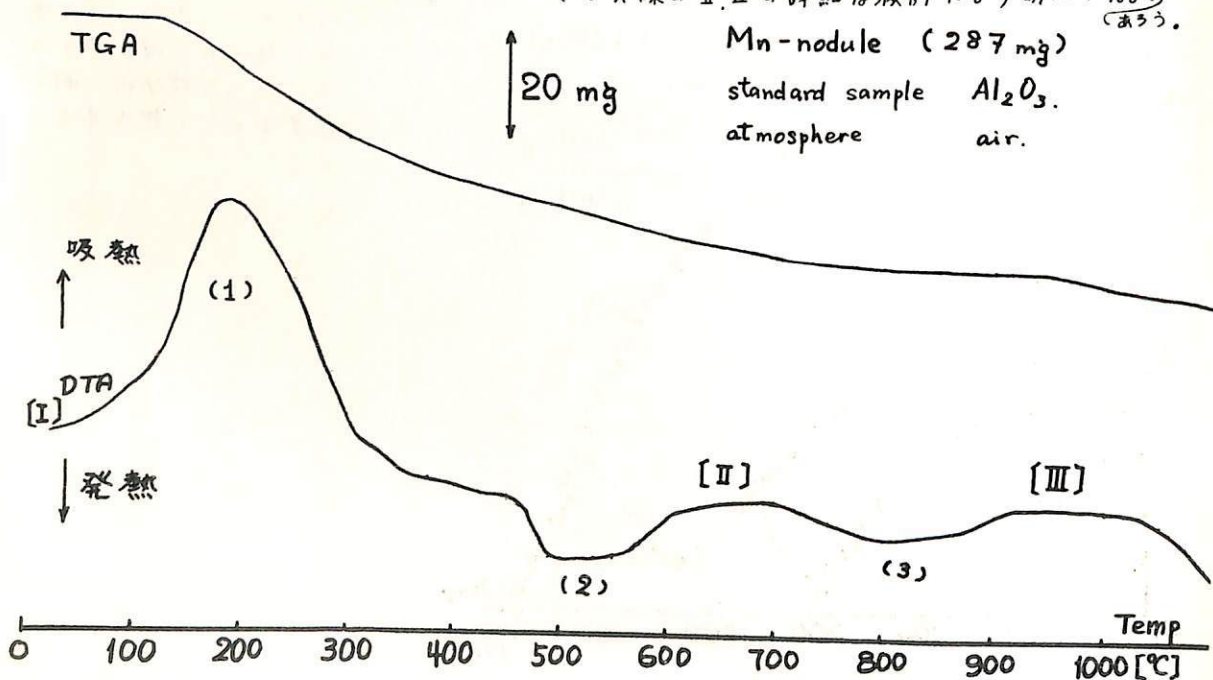


海底マンガン鉱物の物性(II)

北沢一宏
東大・海洋研究所

今回の報告は第46回講演会(1969年10月、名古屋)の報告に続くものである。試料として用いたマンガン鉱物は堆古海山にてドレッゲにより採集されたもので、前回の報告の際に使用したものである。

今回は熱分析およびX線解析による結晶構造の決定について報告する。図に熱分析の結果を示す。マンガン鉱物にはかなりの量の水が付着していることは以前から報告されており、今回も付着水を除くことを目的として行なった。200°Cで1時間の熱処理の前後で30%近くの質量の減少が認められた。このように一度200°Cで短時間の熱処理したものを試料として用いた。示差熱分析の測定結果によれば(1)200°Cを中心にして大きな吸熱ピーク(2)500°C~600°Cに顕著な発熱ピーク(3)750°C~900°Cに小さな発熱ピークがみられる。このうち(1)は結晶水あるいは-OH基の離脱現象であろうと考えられる。(2)は後述するX線解析の結果と合せ考えると結晶化にともなう発熱と考えられる。(3)のピークは現段階では説明できない。熱重量分析によれば150°C近くから単調な質量の減少がみられ1000°Cでは測定前の質量の1/6程度の減少が測定された。図中のI, II, IIIの各状態の試料によるX線解析を行なった。Iの状態の試料からは非晶質物質にみられるような回折像しか得られなかつた。IIでの回折像には明瞭なスピネル型の像と他に数本の回折線が現われる。スピネル型の回折線は $MnFe_2O_4$ のものと考えられる。他の回折線については検討中である。IIIではIIほとんど同じ回折線が得られる。X線解析の結果からも熱分析に對する(2)のピークは結晶化の反映と考えられる。(3)についてはX線のII, IIIの詳細な検討により明らかになる。
(ある)



大洋底よりドレッジされた岩石の K-Ar 年代

兼岡 一郎・小嶋 稔
(東大理)

我々の研究室では、従来から大洋底よりドレッジされた岩石の K-Ar 年代測定を続けていて、これらの年代を知り、また大洋底の成因、大洋底弧大渦等を検討する上で、極めて重要な情報を手に入れよう。

しかししながら、大洋底に噴出する岩漿体は外圧よりもガス分逃げにくく、退剝アルゴンが生じやすくなること、海水との反応により変質或いはイオン交換を通じて見掛けの年代を実際より若くするなど的问题がある。退剝アルゴンの問題については、今のところ岩石中のガラス含有量と対応するといつ (Funkhauser et al. 1968) の報告があり、實際にガラス含有量の少ない巨大な斑晶を含むもの火山岩においては、顯著な退剝アルゴンの存在は認められていない。従ってドレッジされた岩石についても、既成鏡視法を併用して、ガラス含有量の少ない結晶質岩の中央部は亜鉛試料として用いれば、退剝アルゴンの影響は最小限にかぎられる。変質に因らず、用いる試料に制約があるさて、結局これら岩石の K-Ar 年代は、それらの生成年代の younger limit を示すものと考えるべきである。

日本海溝付近、Philippine 海、日本海よりドレッジされた岩石の K-Ar 年代測定結果を表す。

Table. K-Ar Ages of Dredged Submarine Rocks

| Sample | Dredging Depth (m) | Rock Name | $(^{40}\text{Ar})_{\text{rad}}$ (moles/gm) | $\frac{(^{40}\text{Ar})_{\text{air}}}{(^{40}\text{Ar})_{\text{tot}}} \times 10^3$ | (K) (%) | Age (m.y.) |
|-------------------------------------|------------------------|-----------------------------|---|---|--------------------|-------------|
| Northwestern Pacific | along the Japan Trench | | | | | |
| JT 1-55 (36°04'N 143°32'E) | 3,350-3,700 | Trachy andesite(?) | 3.409×10^{-10} | | 16.7 2.86 ± 0.06 | 66.0 ± 1.3 |
| JT 5 (37°07'N 145°18'E) | 2,200-2,630 | Trachy andesite(?) | 3.519×10^{-10} | | 33.8 2.51 ± 0.03 | 69.5 ± 1.5 |
| JT 8-12 (39°37'N 143°43'E) | 3,050-3,100 | Trachy andesite(?) | 2.845×10^{-10} | | 20.8 3.21 ± 0.01 | 49.2 ± 1.0 |
| JT 18-20 (40°57'N 144°54'E) | 3,950-4,200 | Trachy andesite(?) | 2.969×10^{-10} | | 31.6 2.03 ± 0.02 | 80.7 ± 1.7 |
| Philippine Sea | | | | | | |
| 42D (17°49.1'N 144°46.5'E) | 5,049 | Olivine-titanaugite basalt | $< 3.382 \times 10^{-12}$ | ~ 100 | 0.444 ± 0.008 | < 4.3 |
| 45D (17°33.1'N 144°53.4'E) | 6,813 | Variolite | $< 3.098 \times 10^{-12}$ | ~ 100 | 0.134 ± 0.016 | < 13.0 |
| 46D (17°49.1'N 144°46.5'E) | 5,985 | Olivine-titanaugite basalt | 6.818×10^{-12} | | 96.5 0.653 ± 0.001 | 5.9 ± 2.8 |
| Japan Sea | | | | | | |
| YS 1-2 (39°32.0'N 135°20.8'E) | 347-385 | Olivine-augite basalt | 5.552×10^{-11} | | 51.2 1.45 ± 0.01 | 21.6 ± 0.5 |
| YS 7-1 (39°12.0'N 134°53.0'E) | 320 | Augite basalt | 3.225×10^{-11} | | 51.2 0.940 ± 0.002 | 19.3 ± 0.5 |
| HS-A (38°30.7'N 137°03.5'E) | 325 | Hypersthene andesite | 9.488×10^{-12} | | 90.2 0.684 ± 0.006 | 7.70 ± 0.81 |
| MAS-A2 (39°31.6'N 138°11.0'E) | 975 | Augite-hypersthene andesite | 1.298×10^{-11} | | 73.5 1.76 ± 0.01 | 4.16 ± 0.16 |

海山玄武岩の K/Rb , (Sr^{87}/Sr^{86})。小嶋 樹^{*}・座主繁男^{*}・上野直子^{**}^{*}東大・理 ^{**}東洋大・自然科學

太平洋地域からトレアドリード、14ヶの海山玄武岩につき、(K/Rb)及び(Sr^{87}/Sr^{86})を測定した。この結果(K/Rb)は、200から700の値をとることが山かづ。一般に、海殻から採集されたソレアイト玄武岩は、 K/Rb が1,000以上といふ高い値を持つのに比べ、海山玄武岩の(K/Rb)は、低く低い。このことは、海山玄武岩はアルカリ玄武岩で、海殻から得られるソレアイト玄武岩とは成因的に異なることを意味するものかも知れず。

日本海溝東部(海洋側)の海山は、海溝の大陸側にある伊豆-マツア半島、大山岩に比べ、かげり低い(Sr^{87}/Sr^{86})をもつ。これは、rigid plate 如海溝の大陸側に沈みたため、地殻物質の混入が大陸側でより顕著であるせいとも解決されるが、又、アルカリ玄武岩、ソレアイト玄武岩の成因による差を示すことも可能である。

さらに Shallow rise や得らばれた岩石は、有意義に高い(Sr^{87}/Sr^{86})を示し、かつて、この Rise の rigid plate の縁に位置するとの仮説を支持する様にも見受けられる。これは、rigid plate の沈降部では、一般に地殻物質がマントル物質に混入(高い(Sr^{87}/Sr^{86}))を示すと考えられるからである。

アポロ12号月岩石及細砂の磁気的性質

永田 武

東京大学・理学部

F. C. Schwerer

U.S. Steel Research Center

Chemical and Mineralogical compositions of Apollo 12 lunar materials are appreciably different from those of Apollo 11 ones, as indicated in the following table of metallic oxide compositions.

| Sample | | SiO ₂ | Al ₂ O ₃ | TiO ₂ | FeO | MgO | CaO | Na ₂ O | K ₂ O | MnO | Cr ₂ O ₃ | ZrO ₂ | NiO |
|--------|----|------------------|--------------------------------|------------------|------|------|------|-------------------|------------------|-----|--------------------------------|------------------|------|
| ROCK | 11 | 40.6 | 10.6 | 10.3 | 18.8 | 8.0 | 9.9 | .54 | .14 | .39 | .60 | .13 | .023 |
| | 12 | 40 | 11.2 | 3.7 | 21.3 | 11.7 | 10.7 | .45 | .07 | .26 | .55 | .02 | .24 |
| FINE | 11 | 43 | 13 | 7.0 | 15.6 | 7.6 | 11.6 | .50 | .14 | .34 | .41 | .07 | .015 |
| | 12 | 42 | 14 | 3.1 | 17 | 12 | 10 | .40 | .18 | .25 | .41 | .09 | .025 |

In wt %.

Correspondingly, magnetic properties also are somewhat different in Apollo 12 lunar crystalline rocks and fines from those of Apollo 11 materials. For example, the antiferromagnetic Néel point peak of ilmenite (FeTiO_3) was clearly observed in the magnetization-temperature curve in Apollo 11 materials, but it is almost buried under the paramagnetic curve for Apollo 12 materials. In the following table, main magnetic properties of Apollo 12 crystalline rock (12053-47) and fine (12070-102) observed as precisely as possible are compared with those of Apollo 11 samples, which were observed previously by the authors.

| Magnetic parameters | Crystalline rocks | | Fines | |
|---|----------------------|----------------------|----------------------|-----------------------------|
| | 10024-22 | 12053-47 | 10084-89 | 12070-102 |
| Initial Susceptibility (χ_o) | 2.6×10^{-4} | 2.6×10^{-4} | 8.8×10^{-3} | 7.2×10^{-3} emu/gm |
| Paramagnetic Susceptibility (χ_a) | 3.4×10^{-5} | 3.2×10^{-5} | 3.5×10^{-5} | 2.5×10^{-5} " |
| Saturation Magnetization (I_s) | 0.155 | 0.20 | 1.17 | 1.28 |
| Saturation Remanent Magnetization (I_R) | 1.5×10^{-3} | 8×10^{-4} | 8.4×10^{-2} | 6.2×10^{-2} " |
| Coercive force (H_c) | - | 8 | 36 | 22 Oe |
| Remanence Coercive force (H_{RC}) | - | 80 | 460 | 450 " |
| NRM (I_n) | 7.5×10^{-6} | 2.3×10^{-6} | - | - emu/gm |
| Effective AC-demag. field (\tilde{H}_o) | 25 | 10 | - | - Oe |

Only a noticeable difference between Apollo 11 and 12 materials may be that the magnitude of (I_R/I_s) is a little smaller in Apollo 12 samples than Apollo 11 samples. Although I_n of sample 12053-47 is smaller than that of Sample 10024-22, it may not be significant. Because NRM measurements of two other Apollo 12 crystalline rocks (12038-29 and 12038-32) show that ($I_n = 8.7 \times 10^{-6}$ emu/gm, $\tilde{H}_o = 508$ Oe) and ($I_n = 5.1 \times 10^{-6}$ emu/gm, $\tilde{H}_o = 5$ Oe).

アポロ月岩石の圧磁気効果

永田 武
東京大学 理学部

アポロ11号及び12号によって採集された月火成岩及び月角砾岩の多くが無視出来ない大きさの残留磁気を保有している事実は、既に確立されたと言える。然し、その残留磁気の獲得機構については、全く未知といつてよい現状である。月岩石残留磁気の獲得機構の一つの可能性として、弱磁場内において極めて強いショックをうける事による圧残留磁気又は、衝撃残留磁気機構が考えられる。この論文に於ては、単軸静加圧による圧残留磁気発生をアポロ12号月火成岩について実験した結果を報告する。

(i) 試料の磁気的性質

$$\begin{aligned} \text{自然残留磁気強度} &= 2.3 \times 10^{-6} \text{ emu/gm}, & \text{有効 AC 消磁場} &= 10 \text{ oe}. \\ \text{臨界 AC 消磁場} &= 7 \text{ oe}, & \text{飽和磁気} &= 0.20 \text{ emu/gm}. \\ \text{飽和残留磁気} &= 8 \times 10^{-4} \text{ emu/gm}, & \text{抗磁力} &= 8 \text{ oe}. \\ \text{残留抗磁力} &= 80 \text{ oe}, & \text{初期帶磁率} &= 2.6 \times 10^{-4} \text{ emu/gm}. \\ \text{常磁性帶磁率} &= 3.2 \times 10^{-5} \text{ emu/gm}, & \text{IRM 係数 } B &= 2.4 \times 10^{-8} \text{ emu/gm} \cdot \text{Oe}^2. \end{aligned}$$

(ii) 一定単軸圧下における圧残留磁気, $J_R''(\text{HPPH}) \sim H$ の関係

$$P = 255 \text{ kg/cm}^2 \text{ に於いて}$$

$$J_R''(\text{HPPH}) = 9.0 \times 10^{-7} \cdot H \text{ emu/gm}.$$

(iii) 一定磁場内における圧残留磁気, $J_R''(\text{HPPH}) \sim P$ の関係

$$\begin{aligned} J_R''(\text{HPPH}) &\approx B(3HH_c - H^2) \quad \text{for } H \leq 1/2 H_c \\ J_R''(\text{HPPH}) &\approx B(H^2 + HH_c + \frac{1}{2}H_c^2) \quad \text{for } H \geq 1/2 H_c \end{aligned} \quad \left. \right\} \text{但し } H = 9.37 \text{ oe}.$$

$$\text{但し. } H_c(P) = 5.4 \times 10^{-2} P \text{ oe} \quad (\text{但し. } P \text{ の単位} = \text{kg/cm}^2)$$

(iv) 圧残留磁気理論との比較

(ii)の表現は、永田-Carleton理論と一致し、又この理論に基いて予測なく表現される。この理論によれば、 P 一定の場合 $J_R''(\text{HPPH})$ と H との関係は、

$$J_R''(\text{HPPH}) = 3BH_c H$$

であるから実測値から $H_c(P) = 5.0 \times 10^{-2} P \text{ oe}$ が得られるので、全体の実験結果及び永田-Carleton理論は良好な一致を見せている。

(v) 月岩石の残留磁気の一解決

上述の実験結果が極めて小さな磁場・極めて強い圧力まで拡張し得るならば、 $H = 10^3 \text{ oe}$, $P = 10^2 \text{ Kbar}$ の組合せて、月岩石は、 $4 \times 10^{-6} \text{ emu/gm}$ 程度の残留磁気を獲得出来る。

月角礫岩残留磁気の特殊性

永田 武

東京大学 理学部

アポロ月岩石試料のうちで、特に角礫岩(Breccia)が、強いNRMを保持している場合が多いという事実は、すでにアポロ11号月岩石予備調査報告においても指摘されておりである。月角礫岩の大部が、月面との隕石衝突による衝撃圧によって固められたものであることは、月角礫岩中鉱物中に見られる Shock metamorphism の証拠によって明らかにされている。この様な Shock によって構成された月角礫岩の NRM の特性は特に興味があるもので、アポロ11号大粒月砂試料 No. 10021 及び No. 10085(共に主研究担当者・スコット博士)中の月角礫岩の試料の他に、新たに月角礫岩試料 No. 10048-55 の特別交付をうけ、それ等の一般的磁気的性質ならびに NRM 特性を詳しく分析した。

(i) これ等の試料の磁気的性質は次表の通りである。

| Magnetic parameters | 月角礫岩試料番号 | | | Unit |
|--|----------------------|----------------------|----------------------|---------|
| | No. 10021-32 | No. 10048-55 | No. 10085-16 | |
| Initial Magnetic Susceptibility χ_o | 8.6×10^{-3} | 9.6×10^{-3} | 4.3×10^{-3} | emu/gm |
| Paramagnetic Susceptibility χ_a | 2.7×10^{-4} | | 4.4×10^{-5} | emu/gm |
| Saturation Magnetization I_s | 0.74 | | 0.44 | emu/gm |
| Saturation Remanence I_R | 5.0×10^{-2} | | 6.7×10^{-2} | emu/gm |
| Coercive Force H_c | 19 | | 125 | Oersted |
| Remanence Coercive Force H_{RC} | — | | 670 | Oersted |

(ii) これ等の試料の NRM 特性は、次表の如くである。

| NRM Parameter | No. 10021-32 | No. 10048-55 | No. 10085-16 | Unit |
|---|-----------------------|----------------------|-----------------------|---------|
| Intensity I_n | 1.50×10^{-5} | 5.6×10^{-5} | 1.53×10^{-4} | emu/gm |
| Effective AC-demag. field \tilde{H}_o | 35 | ~ 400 | ~ 1400 | Oersted |
| Critical AC-demag. field \tilde{H}_* | 40 | ~ 100 | > 500 | Oersted |
| (VRM)(NRM) ₀ | 8.4 | 7.4 | 0.23 | . |

ここに $(NRM)_0$ は、NRM の安定成分を示し、又 VRM は地磁場中で実質的に飽和した VRM を意味する。

(iii) 先づ試料 10021 と 10048 における著しい粒状磁気が注目される。両試料共に月面微細粒が単に凝固させられた部分が全体の殆んどを占め、特に No. 10021 においてその傾向は著しい。無磁場中における VRM の時間的減衰の曲線を測定分析することにより平均粒子直径 d が $250\text{ }\text{\AA}$ 以下の金屬鉄粉群の磁化に帰せられる。特に試料 10021 においては、VRM 成分が大部分を占めるので安定残留磁気成分の検討は困難である。

(iv) 試料 10085 は、著しく衝撃変成された岩片であって、VRM 成分は他の試料に比べて著しく小さい。注目されるのは交流消磁に対する極めて高い安定性である。試料 10048 については VRM 成分除去後の安定成分がやはりかなり高い交流消磁安定性を示している。この試料の部分的にはかなり衝撃変成をうけている。結論として熔融を伴う様な割り合った衝撃変成を月面で受けた月岩石は著しく安定な残留磁気を獲得している事になる。この特殊な残留磁気の発生機構の究明は将来の一難題となるであろう。

極移動の原因について

川井直人
大阪大学基礎工学部

一般に回転体は慣性能率最大の軸を運んで回転するものである。この軸のまわりに回った方がエネルギーが最も安定軸となる。

アジアから東へ、アメリカから西へ、またオーストラリアが北上するなど大陸が移動し、太平洋が狭められるようになると、たゞあるから、この質量移動がクリスマス島あたりを通つて、いた主軸のまわりの能率に変化を与えるのではないどうかと疑つてみたいくなる。

大陸の慣性能率をアイソスタンチーを考慮して計算すると、大陸が存在しないで海ばかりの時とわずかの違いを許せばほとんど同様の値となる。したがつて大陸が浮かんでいる限り、それがどう移動しようともなる慣性軸に対してもたゞした変化を与えるものではなく、大陸移動が自転軸の変化には大きい役割を演じないことがわかった。したがつて、これ以外の理由で大きい質量変化と移動を引き起す要因を考えなければならぬ。

マントル対流は物質の移動であり、地底で温められ、密度の軽くなつた岩石が上昇する一方、冷えて密度の高くなつた岩石がマントル中へ環流する。しかも、太平洋の中心あたりに湧き出しがあるので、この流れの慣性能率に与える効果を考へるべきだが、このマントル対流は昔から今まで一應不変であり、定常流とする限り、最も今もこの対流の慣性能率に与える効果は一定とすべきで、自転軸への変化にはつながらぬ。

そこで最後に花崗岩のマントル中での部分融解と、その上昇が慣性能率（太平洋中心軸のまわりの）に与える変化量を考へることにする。

小さい密度 ρ_g の花崗岩が、より大きい密度 ρ_m のマントル岩石から部分融解してでき、それから上昇して地表に現われたとする。太平洋中心から大陸までの距離を r とし、当時の大陸の極距離を θ として近似計算を行なうと、花崗岩 1cm^3 がマントル内で生成し、のち地表へ逆入することにより、 $\delta I = -2(\rho_m - \rho_g)rh \sin \theta$ だけその慣性能率が減少するとなる。

各大陸で太平洋のまわりに現在分布する花崗岩の量は膨大であり、少なく見積ても、 $r = 4.5 \times 10^{22}\text{cm}^3$ となる。したがつて、 $(\rho_m - \rho_g)$ を 1.0 とし、 h を 100km とみなして能率減少の全量をなるべく少なく見積りながら計算しても、 $\delta I = -1.0 \times 10^9\text{g cm}^2$ とさやめて大きいものとなり、太平洋の中心を通つて慣性主軸が激減する一方、これと直交する軸の能率が増大して、ついには現在の軸が主軸となつてしまつたと考えればよ。

SQUID 磁力計の基礎実験 (II)

(Superconducting Quantum Interference Device)

北林泰一 大道寅男
九大物理

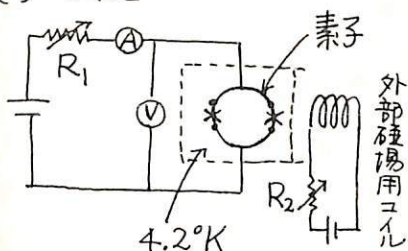
"Weak link" とは、2個の超伝導体が分れてはいるが、粒子が一方から他方へトンネル効果又はその他の過程でリーク出来る程に接してはいる状態をいう。具体的には2つの超伝導体が 厚さ数Åの絶縁被膜を通して接触するか(茎膜素子、接触素子)又は数μmの橋を通じて電気的に結びつけられていふと(ブリッジ素子)これらは Weak link されたり。Josephson はこのように弱超伝導体内を バリアを通じて電位差ゼロの超伝導電流が流れ得ることを示した。その電流は

$$I = I_0 \sin X \quad X: \text{超伝導体内の状態函数の位相差}$$

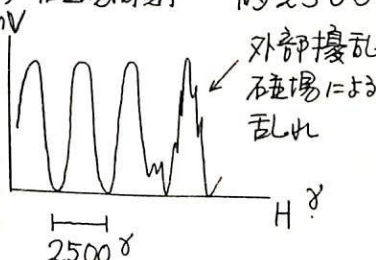
このXは外的条件 例えは磁場によって変化させることが出来るので、電流の変化を利用して磁場の変化を知り得る。これを一般に Josephson 効果 といつていい。この効果を利用し 現在 $10^9 \sim 10^{10}$ ガウスの磁場を測定したことか報告されており 球船には更に1~2桁上まわることが期待されたり。

筆者達は1年程前から この種の磁力計の基礎実験を試みてきたが 未だ実験装置も幼稚で整はず 素子は使用する金属の合金を実験室で製作すまことから始めねばならぬ状態であるが 今回最も基礎的な特性を得る技術を取得したのでその結果を報告する。

- (1) 素子 接触素子。2点接触型。接触圧外部調整型。ケシゴム程度の大きさ。(スライド)
(2) 回路

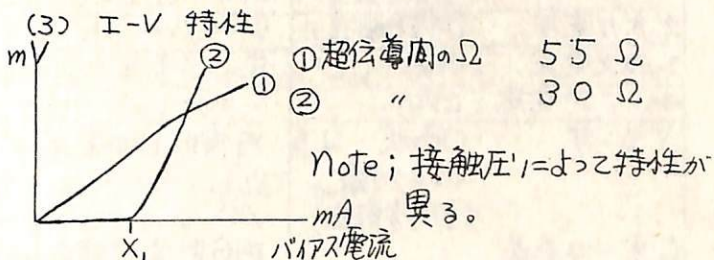


- (4) 磁場周期 約2500Hz



- (5) 今後の課題 感度をあげよこと

今回の実験によると 素子の感度を 1% 程度に up することは比較的容易と思われるしかし装置全体を地球磁場からシールドし 理想的には絶対磁場ゼロの空間をつくることは容易なことではなく、又素子の永久変化に対する安定性、エレクトロニクス回路の傾向の向上の問題等 実用には未だ程遠い現状である。



R_1 を調節してバイアス電流が X_1 附近にならようセトし、次に R_2 を変化させて 素子の磁場を変化されると 出力は左図のようにならう。周期変化をする。山の間かくは約2500ガウス。なので出力を $10\sim 100$ 倍読みとれるとすると この素子の感度は $25\text{Hz} \sim 250\text{Hz}$ といふことになる。実験中曲線の乱れを (左図左はい) 屡々経験したが、これは人が鉄金属をもって歩いたり大型デットボットが上空を通過した事によることを確認している。

低エネルギー正荷電粒子流の測定

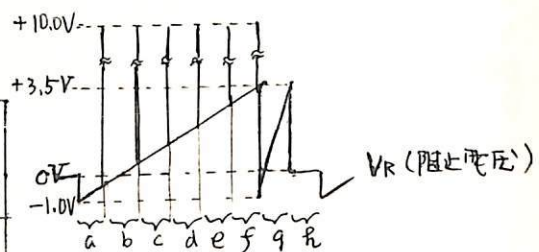
竹屋 芳夫 奥本 隆昭 南繁行
大阪市大工

正イオンに関する諸量測定のために用いる飛翔体搭載用改良型フアラデーカップ¹⁾について、著者らは従来から開発を行なってきたが、今回L-3H-7号機に搭載する装置の設計が完了したので報告する。

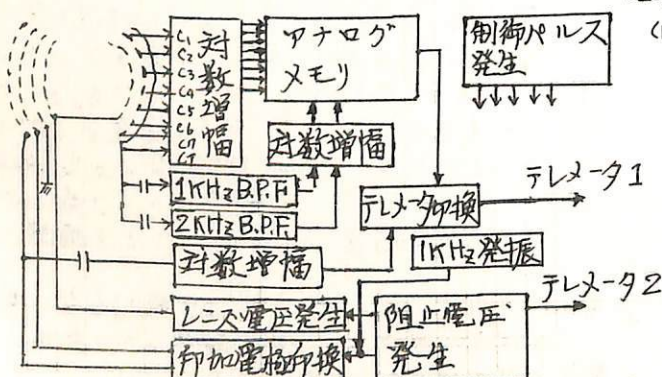
本装置は、層間の重層正イオンを対象としたため、その諸元は第1表の通りである。また装置の構成と1周期の測定項目をそれを基第1回、第2回に示す。各部の特性については先に述べたので詳細を省くが、特に電離層のロケットによる観測を目的としたので以下の点に考慮した。すなわちロケット飛翔中の高度変化ならびに、スピンの影響で、セニサに入射するイオンの方向が絶えず変動するので、各測定量をアナログ量で記憶し、その後次、読み出しする方法を採用了。この方法はデジタル記憶に比べ、回路構成が簡単でこれが利点である。記憶回路部は、円筒形電離子レンズの収束機構を用いて、分割コレクタから方向性(種子束の)を求めるという改良型フアラデーカップ¹⁾の特徴を發揮させたために、是非必要とされる。

第1表 装置の諸元

| | |
|------------------|---|
| 1. 測定イオン電流(DC成分) | $1 \times 10^{-8} \sim 1 \times 10^{-6}$ (A) |
| " (1KHz成分) | $1 \times 10^{-9} \sim 1 \times 10^{-7}$ (A) |
| " (2KHz成分) | $2 \times 10^{-11} \sim 2 \times 10^{-9}$ (A) |
| 2. 采カ電圧 (対数増幅) | 0~5(V) |
| 3. 阻止電圧 (VR) | 第2回参照 |
| 4. レンズ電圧 (VL) | -3.75 VR |
| 5. セニサ (形状) | 円筒形(20mm) |
| (コレクタ数) | 7 |
| (方向分解能) | 12° |
| 6. データ伝送 | 時分割記憶読み出し |



注) +10V は管取電圧で、騒音測定
(1) 昭和43年度宇宙観測シンポジウム P.6-40



中性大気測定用質量分析器 (II)

畠野信義 前田浩五郎 伊藤富造
(鹿波研) (電子技術総合研) (東大宇宙研)

上層大気の組成を測定するため、ロケット搭載可能な中性大気測定用質量分析器の開発を行つた。

測定器は、Quadropole 型質量分析器にイオニ源を組合せたものを利用した。
質量分析器についでは、S-210-5 の下部充満層イオニ源の測定のために搭載 / T2P のと同じものを利用した。

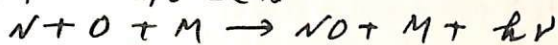
イオニ源については、先にその構造、効率、特性等につき報告した。ここでは、イオニ源と組みた分析器全体の各部組成、特に酸素原子に対する検出率についての実験を行ふ。

中性大気組成の測定については、測定器の各組成に対する感度差が問題となる。
特に酸素原子が、イオニ源中で大きな割合を占めると考慮される。これを正しく測定するためには二つの方法が考えられる。一つは感度差を補正する測定器を開発することと、酸素原子の積分の主原因となる熱せられたイオニ源金属面をヘリウム流で冷却する等の工夫がなされた。他の一つは通常の測定器を用いてその特性を正確に較正することである。即ち(1)の方法と(2)酸素原子はいわば大気中に存在すると測定される各組成の既知量の値を正しく(3)により飛翔用分析器の較正を行う。酸素原子は NO 測定法により作る。これは N₂ をマイクロ波放電により一部を N₂ として、これに NO を注入する。



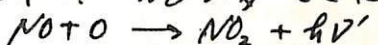
$$k_1 = 22 \times 10^{-11} \text{ cm}^3 \text{ molecule}^{-1} \text{ sec}^{-1}$$

できた O は更に過剰の N₂ と反応する。



$$k_2 = 5 \times 10^{-23} \text{ cm}^6 \text{ molecule}^{-2} \text{ sec}^{-1}$$

により青色の発光を行う。NO が多いためには。



$$k_3 = 3 \times 10^{-17} \text{ cm}^3 \text{ molecule}^{-1} \text{ sec}^{-1}$$

により黄緑色の発光があり、NO と N₂ が等しいとき無色となる。このときは N₂ と O の割合が存在する。このとき放電を停止すると NO が、NO の供給とともに N₂ が、それだけ反応生成物の O と同量だけ存在することになる。NO の量は流量計、既知量のタングステン電極化等から正確にわかることができる。反応の方向は約 1 Torr である。分析器の較正是 10⁻⁵ Torr 感度で行つたが、10⁻⁴ レシオスのビニールで差動排氣を行つて行つた。このため正確な分子の量は計算によろ必要があるが、少なくとも O, N, NO の間の感度差の較正是正確に行つたとされる。又、NO は他の气体との較正と別の方法、不齊式、相対感度を求めることが可能である。更に、金属導体による吸着現象を利用して O の流量を正確に求めることもできる。これら装置によろ分析器の較正実験につづく。

スペースチャンバー中の電子波伝播

中村良治 伊藤富造
東大宇宙研

電子プラズマ波の伝播の実験により分散関係が得られる。それは元から電子密度、温度を求める。宇宙研スペースチャンバーを用いて低密度プラズマ中の electrostatic wave の励起の実験を行った。測定の方法は Fig. 1 の如くでいわゆる干渉法を用いた。Exciterとして直径 15cm の mesh grid, Receiverとして $1\text{ mm} \phi \times 10\text{ cm}$ の probe を軸上にあき、grid を probe から 2m 程動かした。Helmholtz coil により 60 ガウスの磁場を加えた時の生のデータを Fig. 2 に示す。ガスは Ar でガス圧 5×10^{-6} Torr, $n_e = 3.2 \times 10^4 / \text{cm}^3$, $T_e \approx 0.9 \text{ eV}$ 。電子一中性原子の衝突の mean free path は約 20m であるので波の減衰は Landau damping による。励起周波数は 6 MHz で grid に加えた励起電圧 V_{ex} が A) $7.1 V_{pp}$, B) $3.7 V_{pp}$, C) $1.4 V_{pp}$ である。波長は V_{ex} によらないが図のように減衰率は V_{ex} に依存し V_{ex} が約 $0.4 V_{pp}$ より小さければ一定であるがそれとこえるとほぼ直線的に増大する。励起電圧が $0.2 V_{pp}$ での得られた分散関係を Fig. 2 に示す。これは理論的には磁場のある有限断面積のプラズマの分散式と一致する。磁場なしでも実験を行い Bohm-Gross 型の分散を得、それと probe との n_e , T_e を比較しかねりの一致をみた。 V_{ex} と共に減衰率が増加するのは共鳴粒子の効果と考えられるがその影響として更に振巾振動が観測された。(Fig. 2) 振巾振動の山から山までのきりを λ_{osc} とすれば理論的に

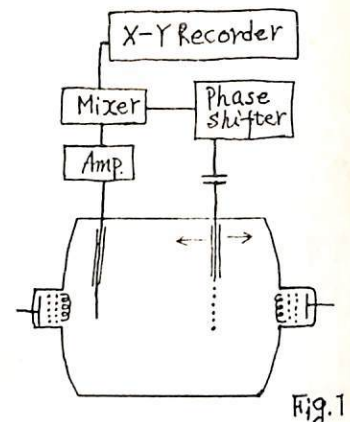


Fig. 1

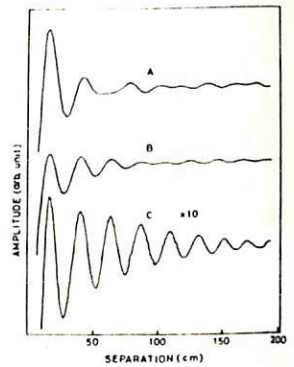


Fig. 2

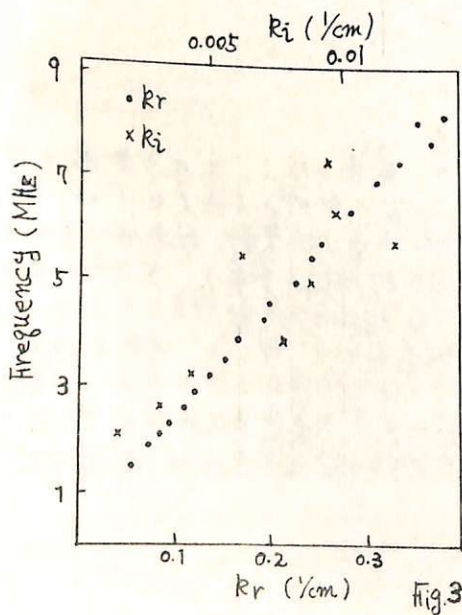


Fig. 3

$(\frac{\lambda}{\lambda_{osc}}) V_p = (\frac{e\phi}{m})^{1/2}$ が導かれている。ここで λ , V_p は波の波長、位相速度、 ϕ は波のポテンシャルで V_{ex} に比例する。 λ_{osc} の代わりに最初の谷の位置を代入して左辺を V_{ex} に対してプロットしたのが Fig. 4 である。更に振巾の minimum 点で位相をずらすのが見られた。(Fig. 2) V_{ex} が大きになると共にそれは 180° になってしまふ。すなはち波が減衰していく途中で新しい波が波が増大し始め、この 2 つの位相差が 180° なつてゐると思われる。

- 理論的な説明のない新らしい現象である。

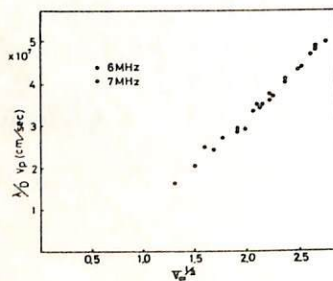


Fig. 4

下部電離層における荷電粒子の捕捉

平尾邦雄 田中高光

東京大学宇宙航空研究所

下部電離層は気象学と電離層物理学の境界領域であり、また化学反応の面から見れば、いわゆる微量成分が重要な役割を演ずる領域である。電離層物理学の立場から見れば、この領域の電子密度を決定するメカニズムはなにかということが当面の研究の目的となろう。電子密度分布を決定する要素は大きくわけて次の6つになる。

- (1) 電子生成のメカニズム NO, O(Δ)、レム、X-ray 及宇宙線、金属
- (2) ナイオンモード電子消滅 一次イオン、二次イオン特に水イオン
- (3) 一イオンモード電子消滅 一次イオン、二次イオン
- (4) 電子再分布メカニズム
- (5) (1)～(3)をきめるための輸送係数の値 重力波、超長波、潮汐
- (6) 反応速度をきめる温度場

たとえば冬季異常は(1)と(6)が主メカニズムであるというのは昔よりいわれていることであり、SIDI は(1)の X-ray の原因であるという今はよく知られている。また最近 Reid は(2)の水イオンが電子密度決定に重要であることを、85 km 付近の電子密度の急な減少を根拠に主張している。これなどは冬季異常は下層よりの水の輸送が原因であるという理論に発展する可能性もある。しかしここで Reid が用いている電子密度分布は L.G. Smith の固定プローブのデータであることは問題となる。また質量分析は電子密度決定に対して(1)～(6)の要素が互にどう作用しているのかを決定する有力な手段である。

さて電子密度の高度分布を測定したり、質量分析でイオン密度を測定したりする時、我々はどうしても次のことを無視できない。すなわち高度 100 km 以上では荷電粒子は軌道運動を行うが下層になるにつれて拡散型の方程式に支配されるようになるということである。ここでは特に静電探針に注目し、探針の特性が軌道運動型から拡散型へ移行していく様子を問題にしてみたい。ロケットによる下部電離層の電子密度測定にはどうしても考えなくてはならない問題である。

実験は 0.01 torr から、6 torr までの領域において探針特性の変化を測定した。これを WASSEERSTROM の理論 CHOU の理論と比較してみた。

主な結果は次のとおりである。

(1) 電子密度は $N_e = 1.4 \left(1 + \frac{R_p}{\lambda_e}\right) N^*$ (N^* ...変曲点の電流より出した密度) でだいたいよい。

(2) 球プローブで $\lambda_e \approx \frac{1}{10} R_p$ までは飽和電流はへるがカーブはひずまない。

この結果 $I_e = e^{-x_p} / \left(1 + \frac{R_p}{\lambda_e} \int_0^1 e^{-x_p+x} dz\right)$ の式は疑問である。

これは CHOU の理論であるが分布函数の仮定のしかたに問題があるのではないか。

(3) $\lambda_e < \frac{1}{10} R_p$ ではカーブはひずんでこの領域での電子温度測定はかなりむずかしい。

しかし近似的に出す方法はある。

(4) 以上の結果を出す時どうしても含まれてくるカーブの肩のひずみについて、このひずみは放電管の放電のさせ方にかなりいがんする。

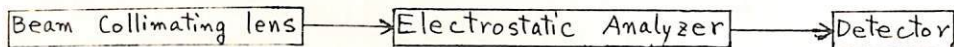
今後 S-210 ロケットを用いて D 層のラングミュアカーブを出し、電子密度の絶対測定を行う予定であるが、その際には一イオンのある時のラングミュアカーブの特性が問題となつて来る。 (1)～(6) の各過程が定量的におさえられれば、下部電離層の種々のじょう乱かどりモードを通してかこっているじょう乱であるか、すなわちじょう乱の構造が正確に決定できるであろう。

低エネルギー電子スペクトロメータ

向井利典 松村正三 平尾邦雄

東京大学宇宙航空研究所

原子或分子の気体による低エネルギー(1~数百eV)電子の散乱の実験は電離層の素過程の研究上、重要である。また、その一部に使われている低エネルギー電子スペクトロメータを搭載して電離層の非熱的電子のエネルギー分布およびそのfluxを直接測定する事が可能であると考えられる。スペクトロメータの主要部の構成は。

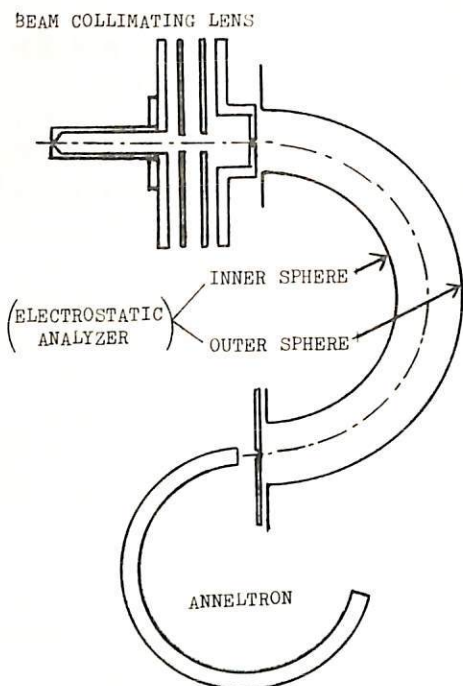


から成っていて、左図に示す。

これらに関する若干の計算と実験について報告する。

(i) Beam Collimating lens

被測定電子が次のElectrostatic Analyzerを通過するように成るエネルギーを減速(又は加速)し、かつcollimationするための電子レンズである。これはElectrostatic Analyzerを通過する際の被測定電子のエネルギーを一定にして、スペクトロメータのエネルギー分解能をエネルギー(被測定電子の入射時のエネルギー)に亘りて不变にするために必要である。またこの種のcollimatorの電子のtransmissionは一般に電子レンズの色収差により被測定電子のエネルギーと共に変化するので、このtransmissionを被測定電子のエネルギーに亘りて一定にするために、入口のpin hole(1mmφ)と出口のpin hole(0.5mmφ)、Electrostatic Analyzerの入口を兼ねる)の間に2枚のaperture lensを置いてこれらのpotentialを調整する。これらについての計算と実験についての詳細は講演の際、報告する。



(ii) Electrostatic Analyzer

筆者らは同心半球形静電偏向板を用いているが、これの電子透過特性については昨年の本学会で報告した。相対的エネルギー分解能($\Delta E/E_0$)は非常によくcollimationされたbeamに対しては入口と出口のpinholeの直径(又はスリット幅)を w 、電子の平均軌道半径を r_0 とすると $\Delta E/E_0 \approx w/2r_0$ となる。従って半値幅(ΔE)を小さくするためには Analyzing Energy をできるだけ低くする方が良いわけであるが、エネルギーが低くなると碰撞の影響、space charge の影響も大きくなるので、その兼ね合いで実際に analyze するエネルギーが決まる。現在筆者らは $r_0 = 30\text{ mm}$, $w = 0.5\text{ mm}$ で、5eVで spherical Electrostatic Analyzerの中を電子を通している。

(iii) Detector

出力電流の大きさにより Faraday Cup を使って electrometer で測定するか、又は electron multiplier を用いて計数する。図では Channeltron と置いてある。

スペース・チャンバーによる Faraday Cup の基礎実験

東大宇宙研 幸尾邦雄, 三浦重夫
電波研 宮崎茂, 森弘隆

1. 緒言

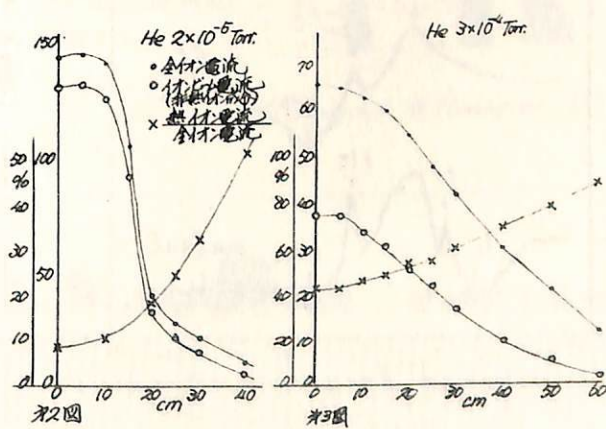
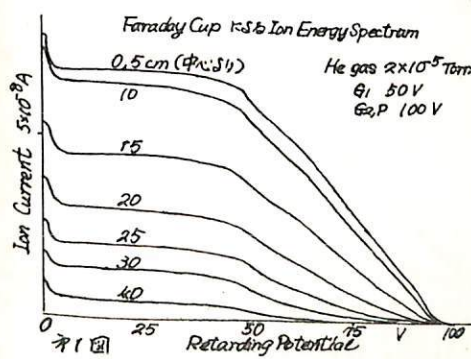
Retarding Potential Trap (Faraday Cup) の多電極系センサーによる宇宙研スペース・チャンバー・プラズマの電子およびイオンの分離測定の基礎実験と後方拡散プラズマ源によるチャンバー内の Thermal Ion および Non-thermal Ion の空間分布を調べた。

2. 実験

プラズマ源としてオキサイド・カーボードおよびスチールのグリッドを有する後方拡散型を用いた。使用したガスは He gas flow 方式で圧力は $\sim 10^{-5}$ Torr および 10^{-4} Torr 台で行った。この状態は Thermal Plasma & Ion beam が混在する状態である。測定電極としては、單純な構成の Retarding Potential Trap 5 枚と、5 枚のグリッドとコレクタを有するセンサーを用いた。

3. 結果概要

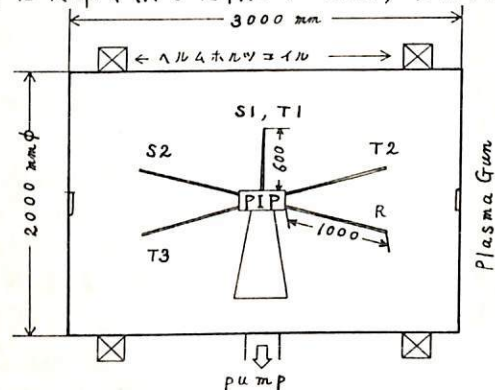
第 1 図は Faraday Cup による Ion energy spectrum の測定結果。パラメータは中心を 0 cm として、上方に移動した (60 cm まで)。ここでセンサーは一方のプラズマ源の方を向いている。左端に Thermal energy 部分が明瞭に記録されていることが注目に値する。またビーム径は約 20 cm φ であることが判る。また第 2 図および第 3 図は空間電位点-k における全イオン電流とイオンビーム電流の関係を示す。結論として Retarding Potential Trap による Ion および Electron の分離(大電流電圧特性)が得られ、イオン温度および電子温度は $\pm 50^\circ\text{K}$ で決定できることが判った。また Ion Energy Analyzer をして測定した場合、チャンバー内のプラズマ状態は 10^{-5} Torr 台ではかなりビーム成分が多く、Thermal に比してそれ程度多く粒子密度が存在する。またプラズマ源の G₂, P で加速されたイオン流は広範囲のエネルギー中にわたり G₁ の加速電圧に相当するシーケンサードバイオニンビームが存在することが明らかに判る。次に 10^{-4} 台の圧力では Non-thermal 成分は勿論存在するが非常にブロードになっており、衝突によってエネルギーが失なわれていることが推定される。また Non-thermal 成分は thermal 成分の 10 倍程度の大きさになる、といふ。この実験で明らかには、これは Thermal ion の温度はチャンバー内一定であるが、Non-thermal 成分は場所によつて、また圧力によつて顕著に変化しているので、Ion に関する実験を行はう場合との対比を考慮する必要がある。また実験に用ひた Faraday Cup の Ion Energy Analyzer としての性能は Energy 調節として 0 ~ 数 100 eV で分解能は 100 eV 付近で 1 eV 程度であることが推定される。



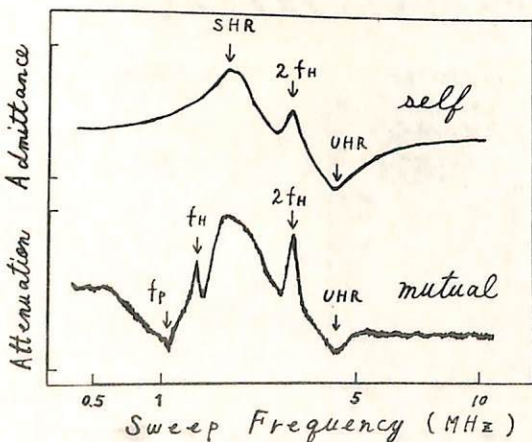
江尻全機 麻生武彦 横堀進義
東大宇宙研 京大工 京大工

東大宇宙研に設置された、大型スペースアラスマチャンバーにて、アラスマ中のアンテナの自己及相互インピーダンスの測定を行った。現在迄、高周波掃引型インピーダンスプローブにより、アンテナの自己インピーダンスの測定が実現され、高域ハイブリッド共鳴(UHR)及び、アンテナの周囲に形成されるイオシースによるシース共鳴(SHR)等が検出され、理論も確立し、ロケット及び人工衛星搭載用として実用化されており。UHR, SHRに加え、筆者らは、自己インピーダンスに於いて、ジャイロ共鳴周波数の第2高調波の共鳴をロケット実験で検出し、新たに理論的検討を加えた。本実験は、スペースチャンバー内で自己インピーダンスの確認と、新たに、2本のアンテナ間の相互インピーダンスを測定し、自己インピーダンスの特性と比較検討をした。

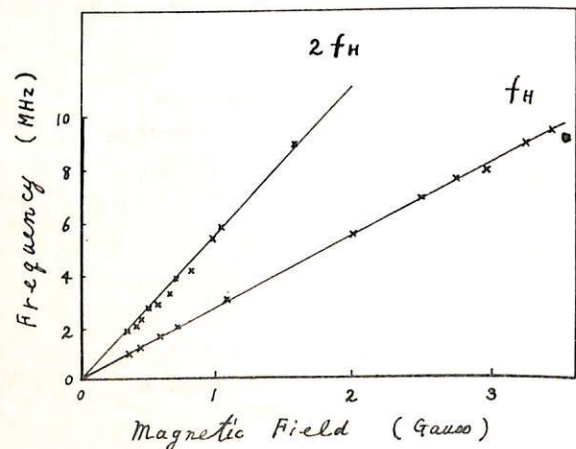
図-1に、スペースチャンバー内のアンテナ配置を示した。図中、Sは Self impedance probe で、Tは Transmitter, Rは Receiver antenna で、T-Rにより相互インピーダンスを測る。Tには 50Ω 終端の定電圧 (V_0) 共給で、電流 $I(\omega)$ は自己インピーダンス $Z_i(\omega)$ の周波数特性により変化する。Rにより、誘起電圧を測定すれば、T-Rの相互インピーダンスの特性が計算される。図-2に測定の一例を示す。self は自己アドミタンスで、Mutual は受信電圧の形で表わされよう。図中に矢印で示した様に、UHR, SHR、対応の他、ジャイロ共鳴(f_H)及びその第2高調波($2f_H$), アラスマ共鳴(f_p)等が検出されており。これらの peak の磁場依存性を調べた結果を図-3に示すヒークの様にあり、 f_H , $2f_H$ が直線に非常に良くなる。 $T_1 - R$, $T_2 - R$, $T_3 - R$ モードの比較(磁場に対する伝播方向依存)、送信レベルによる違い、及び、ロケット実験(L-3H-5)で得られた結果との簡単な比較を行おう。



[図-1]



[図-2]



[図-3]

音藤尚生・森岡昭・栗島正幸
東北大学理学部地球物理学教室

地磁気脈動を周波数解析する場合に、本来音声分析やVLF現象の解析の為に設計された Sonagraph や VLF 解析装置をそのままの状態で使用しようとすると、有効周波数範囲が狭過ぎるので脈動全域を大量解析する事は殆んど不可能に近い。譬えば、Missilizer で 1 年間の $Pc1 \sim 5$ を解析するには解析実時間丈で半月間以上を必要とするので未だ嘗て此の様な大量解析が成された例は無い。今回 dynamic spectrum analyzer における周波数軸の閾値型と対数型若しくは準対数形にして脈動周波数帯のほぼ全域を cover し、且つ従来の Sonagraph よりも 20 ~ 400 倍も速く解析し得る高速周波数解析装置 (Hissa) を考案したので報告する。

(A) Sonagraph 型 Hissa Missilizer の周期軸の閾値形を mechanical に自由に変換し、グラウン管表示で記録する。表示方式としては主に次の三種類が考えられる。

- (1) 強度時間表示方式 之は脈動の強度対時間曲線を周波数毎に表示する。(オ1A 図参照)
- (2) 輝度変調表示方式 脉動強度は輝度変調表示する。
- (3) 強度セクション表示方式 所謂 amplitude section に相当する。(オ1B 図参照)

この中、(1) 又は (2) の方式で 1 年間の $Pc1 \sim 5$ を解析すると実時間約 18 時間で済む。

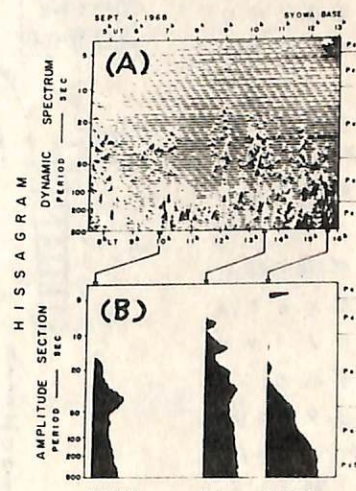
(B) Rayspan 型 Hissa 今、rayspan の filter 出力をグラウン管の Y 軸(下記(1)の場合)又は Y 軸((2)の場合)に入れる。之を X 軸方向に準対数型鋸歯状波で掃引しつつ連続流れ撮影を行はうと下記の方式で超高速解析が可能となる。

- (1) 輝度変調表示方式 此の方式で昭和基地の ULF 資料を 1 年間分解析したが、その一部をオ2A 図に示す。此處に示された毎日分の解析実時間は僅か 7 秒である。
- (2) 強度セクション表示方式 結果の一例をオ2B 図に示す。此の図では original の時間にして 40 秒毎の amplitude section が連続的に表示されて居り、此の図に相当する解析実時間は 0.4 秒である。

(1)(2) の何れの方式を用いても 1 年間の $Pc1 \sim 5$ を解析するのに要する実時間は僅かに 1.1 時間に過ぎない。

(Hissa の応用例については講演番号 1-43 及び 1-52 の予稿参照)

最後に、Rayspan 型 Hissogram を得る為に東大地球物理研究施設の VLF 解析装置をお借りした事を深く感謝する。



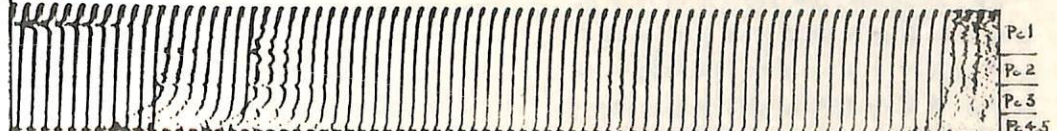
オ1図 Sonagraph 型 Hissogram 例

オ2図 Rayspan 型 Hissogram 例

(A) 輝度変調
表示方式



(B) 強度セクション
表示方式



松本治弥
(神戸大学工学部)

超高层観測ロケット L-3H-5号機は昭和45年9月19日20時30分内え洞から発射され、メインロケットは発射より15分36秒後に最高高度 2017 kmに達した。これに搭載された EPA装置 (Electron and Proton Analyzer) は 100 ~ 25,000 eV の電子、陽イオンの観測を目的としたもので高度 500 km から観測を開始し上昇時は電子、陽イオン、下降時はゲート回路の不具合により電子のみを低下した感度でそれぞれ観測した。まだ正確な飛翔データがなく、また定量的な解析の前段階としての定性的な分析、解釋の段階であるが速報として報告する。

装置の構成図は图1 図のようなもので 3 枚の静電偏向板の中央の板に 0 ~ 2 KV の電圧を加えることにより電子、陽イオンを分離するとともにエネルギー選別を行なう。偏向板から出た粒子はモードルチヤネル形二次電子増倍管で増倍されて電圧パルスに変換され增幅したのち交互に切りかえられて対数圧縮の DA 変換器へ送られ、ニードルパルス計数率を直流電圧に変換してテレメータへ送られる。

この電子回路はチップ化により動作をチップ化されている。このほか増倍管高圧の +3 KV, -3 KV は増倍管動作をチップ化し、アラーム(偏向板)電圧とともにテレメータへ送られる。これらはタイマチャートは图2 図に示される。直流量として検出可能。

計数値は $10 \sim 10^4 \text{ counts/sec}$ であり。これは入射粒子束に換算すると $10^3 \sim 10^6 \text{ particles/cm}^2 \text{ sec str keV}$, $10^4 \sim 10^7 \text{ particles/cm}^2 \text{ sec str}$, $10^2 \sim 10^5 \text{ particles/cm}^2 \text{ sec}$ に対応する。これらは単位の相違は粒子束のエネルギー及ペクトルの形、方向の均一性などの仮定による相違である。

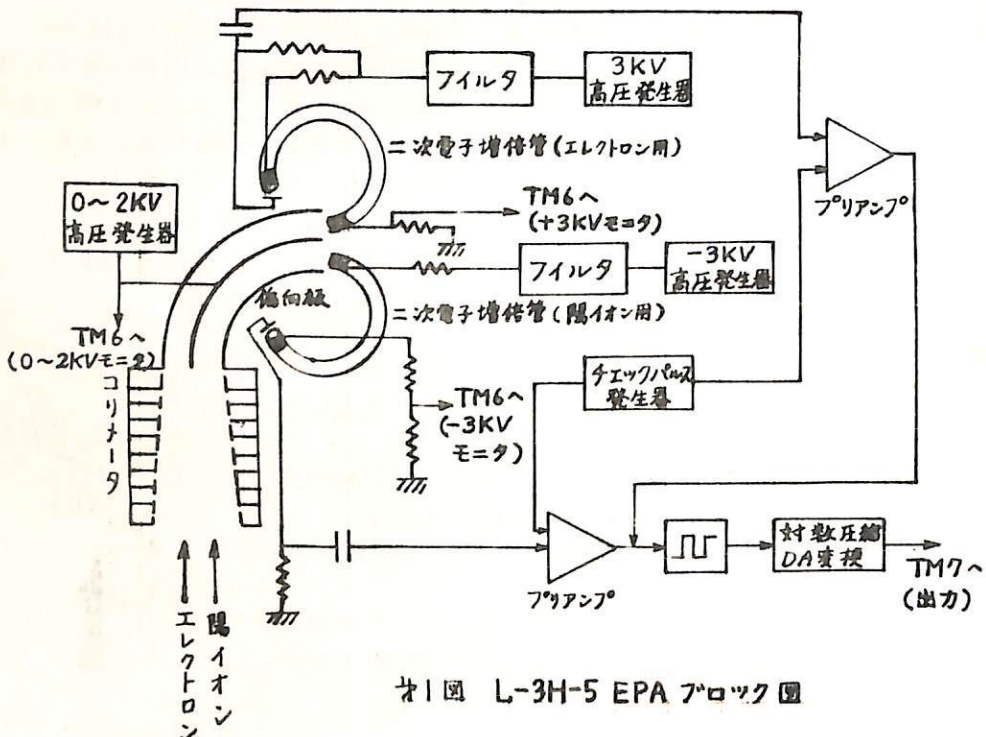


图1 図 L-3H-5 EPA ブロック図

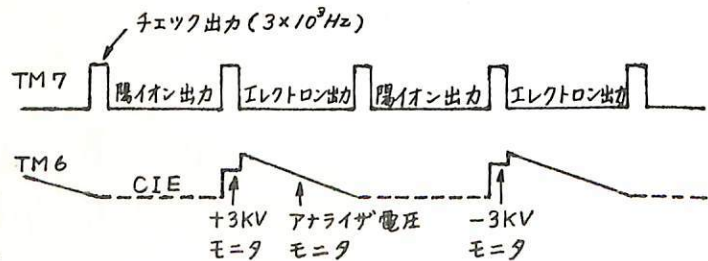


图2 図 EPA タイマチャート

試作増倍管計数効率のX線波長感度特性

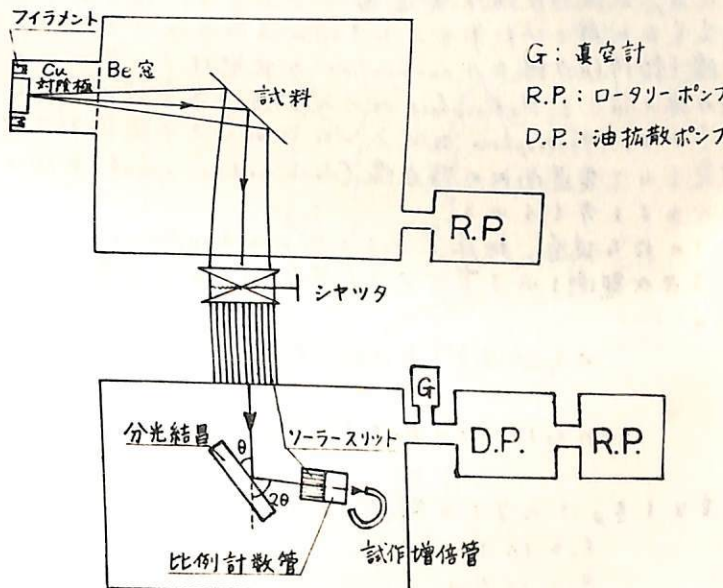
松本治弥
(神戸大学 工学部)

われわれの試作したチャネル形ニセ電子増倍管の電子、イオンなど粒子線に対する特性はすでに実験をかねて資料もあり、それらの検出用として実用に供しているが軟X線領域における特性も調べておくことは将来観測、計測用として用いるため必須と思われる。今回は東大宇宙研に設置された軟X線発生装置を使用して1~10 Åについて計数効率を測定し結果について報告する。

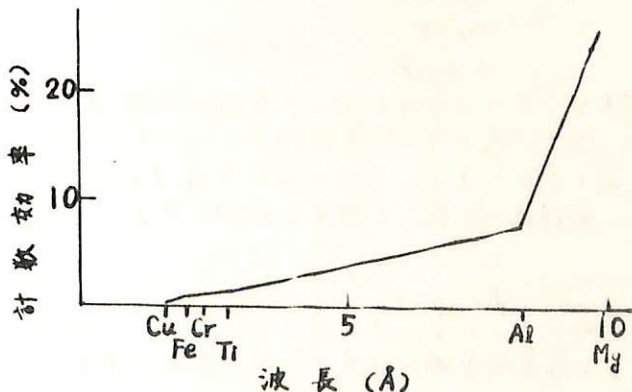
使用した装置の構成の概要をオ1図にしめす。対陰極から出たX線を金属試料(使用したもののはCu, Fe, Cr, Ti, Al, Mg)に当てて蛍光X線を取り出し。これを分光結晶(LMOあるいはEDDT)へグラッタ角 θ で入射させてグラッタ反射により 2θ まげて單色化しソーラースリットを通してガスフロー形の比例計数管で計数する。この計数管を基準として測定するためには本末計数管と増倍管を置きかえて比較すればよいわけであるが計数管の位置が微妙でかえって誤差が大きめがあつた。一方計数管は右側に窓を持ち(前: 2μポリプロピレン、後: 6μマイラ)若干のX線を後方へ透過する。これを利用して計数管背後に供試増倍管を置き、同時に計数して計数管PRガスの吸収率、窓面積などから増倍管に入射するX線強度を計算し、増倍管計数と比較して計数効率を求めた。

結果は下表にしめす。この波長特性を図に描けばオ2図のようになる。 10 \AA 以上の波長では計数管の吸収が大きくこの方法では測定不可能であった。またMgの場合も増倍管計数値が小さく誤差が大きいと思われるが予測されるように波長とともに高い感度をしめしている。

終りに本装置使用の便宜さをはかつて頂いた東大宇宙研小田教授、宮本助教授、装置製作作者理学電機株式会社研究課新井課長はじめ課員の方々に深甚なる謝意を表する。



オ1図 増倍管X線計数効率実験装置概要図



オ2図 増倍管計数効率の波長特性

宇宙線日変化の22年変化

北村 正直
気象研究所

惑星間空間にかけた宇宙線の bidirectional anisotropy model & Heliosphere の磁気的構造との関係について考察し、宇宙線日変化最大時刻 (T_{\max}) の22年変化を説明する。

Heliosphere における銀河宇宙線の拡散領域は太陽活動によって影響を受けます。これは(宇宙線強度の11年変化もそれに起因すると考えられます)従つてこの領域は拡散によって Heliosphere 内へ侵入し、Heliosphere 枠部の磁力線 (Archimedian spiral) に沿つて太陽方向に向って運動する成分 (Δj_1) は、当然太陽活動の影響を受けますと考えられます。

一方、太陽磁力線は黄道面のまわりを、極方向の磁力線の存在も観測されており、しかもそれが毎年11年ごとに方向が反転することも知られています。従つて極方向の太陽磁力線と銀河磁力線との connection の状態は11年ごとに変化し、結果として、極方向から磁力線が沿つて Heliosphere 枠に入ると銀河宇宙線の成分は22年周期の変化をすることが考えられます。Heliosphere 枠に入ると、これらの宇宙線粒子は、その後太陽に吸収されるものと散乱されて黄道面内の磁力線 (Archimedian spiral) に沿つて外方に向つて運動する成分 (Δj_2) をもつと考えられます。

この特徴の場合、地球上では上述の bidirectional anisotropy (Δj_1 及び Δj_2) による宇宙線日変化が観測されました。今、以上の宇宙線 anisotropy のエネルギー・スペクトラムを失く

$$\Delta j_1(E, \Psi) = k_1 j_0(E) (E/E)^{m_1} \cos \Psi \quad (E \geq E_1) \\ = 0 \quad (E < E_1) \quad \} \dots (1)$$

$$\Delta j_2(E, \Psi) = k_2 j_0(E) (E/E)^{m_2} \cos(\Psi - \phi) \quad (E \geq E_2) \\ = 0 \quad (E < E_2) \quad \} \dots (2)$$

とするとき、これらよりの解析により、

$$E_0 = 10 \text{ Bev}$$

$$E_1 \sim 10 \text{ Bev}$$

$$E_2 \sim 10 \text{ Bev}$$

$$m_1 = 1 \sim 2$$

$$m_2 = 0$$

$$\phi \sim 180^\circ$$

} ... (3)

であり、且つ Δj_1 及び Δj_2 の方向は大体 Archimedian spiral の方向であることを知ります。但し上式で $j_0(E)$ は平均微分スベクトルとして、 Ψ は Δj_1 の方向と $\Psi = 0$ と反時計回りと測るものをとします。これらから Δj_1 及び Δj_2 の11年変化及び2年変化を考慮し、太陽の一般磁場が反転した時真と偽の原真と(アキラミヤ)、それを表せば

$$k_1 = a_1 \cos\left(\frac{2\pi}{11}t\right) + b_1 \quad \dots (4)$$

$$k_2 = a_2 \sin\left(\frac{2\pi}{22}t\right) + b_2 \quad \dots (5)$$

と表す形で表します。この場合、 $a_1 \sim 0.2$, $b_1 \sim 1.5$, $a_2 \sim 0.05$, $b_2 \sim 0.15\%$ とし、太陽活動による惑星間空間の磁場の方向の変化を考慮に入れると、太陽 T_{\max} の22年周期の説明ができます。

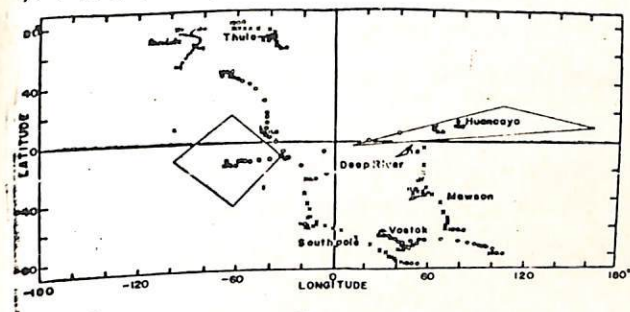
極地域の宇宙線日変化

須田 友重
気象研究所

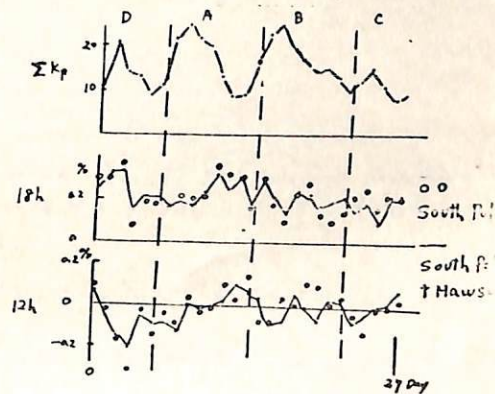
極地域の日変化は、回転軸に近い所をみてみると、一般に小さくな。しかし、South Pole や Mawson の Asymptotic Direction は、カーブに見るように、Low Energy で赤道附近をみており、これらは解析から Low Energy の特性がみられる可能性がある。

第2図には、1964年9月平均値の日変化 1st Harmonics を示してある。これらは McCracken 連の日変化の予想と合つてあり、日変化が、18時方向に平均として向かっており、エクランーにあまりよくなく又低エネルギーまでのがれてゐると考えてよい。

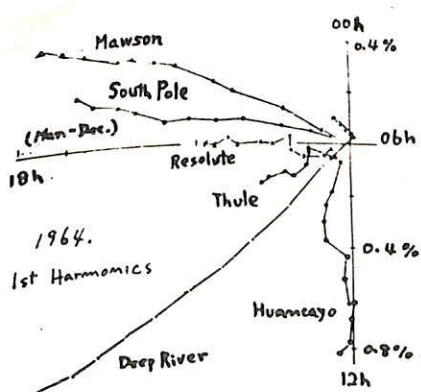
1964年3月から10月までの data を Wilcox 連に従つて sector ごとに分けて、種々の統計をとつた。A 及び B の領域では Forbush Decrease も連續してみており、擾乱期であるが、C 及び D は静穏な時期である。第3図は日変化を 18時方向と、12時方向に分けてあるのである。これらを (A,B), (C,D) の期間で ΣK_p との相関図にしたもののが第4図であるが、頂の相関がみられる。



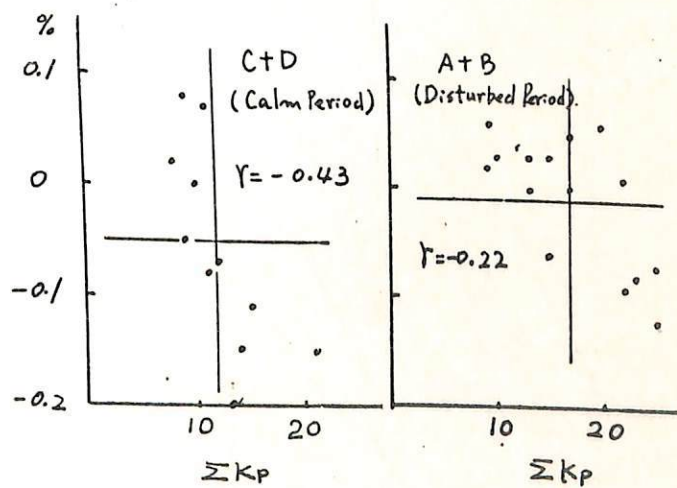
第1図



第3図



第2図



第4図

Theoretical calculation of the cosmic ray daily
variation expected at Mt. Norikura meson telescope

藤本和彌

名大理

惑星間空間で、宇宙線 Axis Symmetric Anisotropy による生ずる daily variation 一般的な Formulation の最近は(1985) 2 行われた (in press)
この Formulation によれば、宇宙線 Anisotropy & Daily variation の相互作用量として Coupling Coefficient が定義される

現在、東郷岳の Multi-Directional Meson Telescope の観測結果を基にした各構成部分が行われた

この解析に用いた coupling coefficient の計算結果は 7.11 と報告された

宇宙線異常性の遠日解析

理研 地球物理系、気象部

Super neutron monitor network data が測定された遙日解析の結果は、
方位と状況（振幅、位相、rigidity dependence）を調べた。parameter の決定は
 χ^2 test による。

Station i の $T^h(\nu, T)$ は観測された半日変化 $\bar{Y}(T)$ の理論的値

$$S(T) = \sum_k W_i(R_k) f(R_k) \Delta R_k \sum_l f(\theta_l, T, R_k)$$

$W_i(R_k)$ は $\bar{W}(R_k) / \sum_i \bar{W}(R_k) Y_k \Delta R_k$

rigidity spectrum は

$$g(R_k) = a(R_k/k_0)^{\beta} \exp(-R_k/k_0)$$

方向 ν の source function は 2 次の Legendre の多項式

$$f(\theta_i, T, R_k) = \frac{1}{2} (3 \cos^2 \theta_i - 1)$$

遙日解析。 θ_i は観測点の asymptotic direction (λ_i, ϕ_i) と source direction (λ_s, T) の角度である。 β は常数で 1 日成分を含む場合の半日変化成分 A, B が成り立つ Fourier 解析で 3 次と 2 次の成分 A, B が

$$A = \frac{3}{4} \cos^2 \lambda_s \sum_k W_i(R_k) f(R_k) \Delta R_k \sum_{l=1}^9 \cos^2 \lambda_l \cos 2\phi_l$$

$$B = -\frac{3}{4} \cos^2 \lambda_s \sum_k W_i(R_k) f(R_k) \Delta R_k \sum_{l=1}^9 \cos^2 \lambda_l \sin 2\phi_l$$

各 Station の counting rate を重ねて可視

A, B の平均値が観測値 $\pm \sigma$ と合はる様に理論値を調整して χ^2 test を行なった。

Fig. は χ^2 値の等高線図の 13M F である。

χ^2 minimum の部分（斜線）は $B.R_0 = 20 \pm 10$ である。

等高線は平行でなく向かってある。 $\beta = 9$

等高線は平均半日変化の解析 β と高精度中間計算

の結果 β と良く一致する。

他現象との関連で、1/3 日変化は $\beta \approx 2$ と

調べた。遙日解析より得た半日変化の

density gradient $\beta = 5 \pm 1$, pitch angle

distribution $\beta = 5 \pm 1$ と若干の差がある。

(1) M. Wada and H. Komori, Can. J. phys.

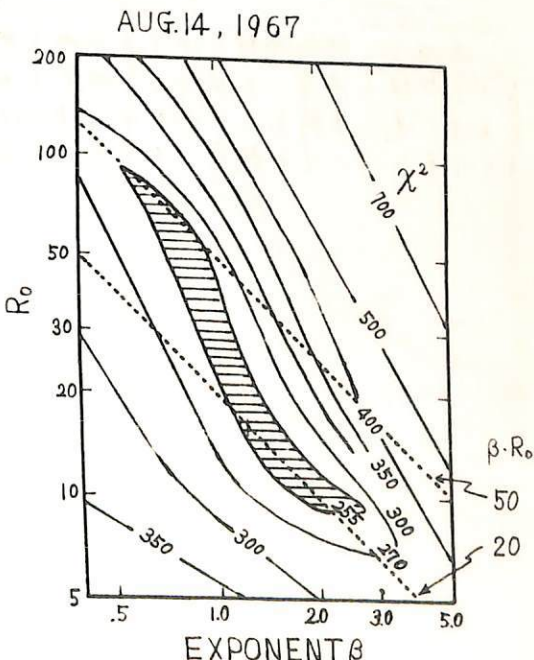
46 (1968) 46

(2) K. Nagashima et al. 学会報告

(3) S. Mori et al. 学会報告

(4) J. T. Quenby and B. Littell

Planet Space Sci. 16 (1968) 1209



宇宙線日変化と太陽活動について(II)

石田喜雄、菅野常吉、斎藤俊子
福島大・教育 福島医大・物理

これまで、IGY-IQSYの期間(第19太陽サイクル)の資料を用いて、次のようなことを報告してきた。

1) T_{mn} と太陽黒点数について

T_{mn} (宇宙線中性子強度日変化極大時刻(地方時))と太陽黒点数(R)との間に

$$T_{mn} = a_0 + b_0 \times 10^{-2} \cdot R \quad (1)$$

の関係があり、 b_0 は全世界的に、(a) 赤道及低緯度地では $b_0 \leq 0$ で、(b) 南極部及以南太西洋では $b_0 > 0$ という分布を示している。

2) T_{mn2} と太陽コロナ線強度について

T_{mn2} (宇宙線中性子強度半日変化極大時刻(地方時))と太陽コロナ線強度(I)との間に

$$T_{mn2} = a_2 + b_2 \times 10^{-2} \cdot I \quad (2)$$

の関係があり、 I を太陽直緯度 $30^\circ N \sim 30^\circ S$ を 5° 毎に分け、それぞれと、 T_{mn2} との相関をみると、太陽面赤道部と良い相関を示す地点と、 30° 附近の I と悪い相関を示す地点があること及び、この場合も地点によって正相関を示すところと負相関を示すところがあることもわかった。

3) 以上のことから、第19太陽サイクルに於ては次のことがいえそうに思われる。

宇宙線一日変化は太陽面に近いところに原因を持つものの modulation をうけ、半日変化はそれより高度のコロナと強い関係を持つものに原因を持つ modulation をうけると考えられる。

今回は、調和解析の予測の観点を無視してもよいかどうか——現在わかっているところでも無視し得ないと思われる地点がある——について検討した結果について述べる予定である。更に資料が入手出来れば第20太陽サイクルの場合についても上述のことかいえるかどうかについても報告する予定である。

宇宙線強度の日変化の解析

森 覚* 安江新一* 一之瀬匡與**
信大理* 信大教養**

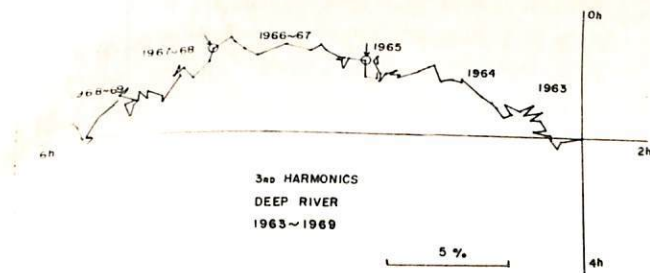
藤井等によれば惑星間空間磁場に沿う太陽方向への“loss cone”を考えることにより、 $\frac{1}{3}$ 日変化(P_3^3)は説明できる。又、チャルテンハムとクライストチャーチのデータ解析から P_3^3 の存在が、長島等により示され、さらにこの P_3^3 の異方性から生ずる P_3^1 と従来の18h方向の P_1^1 との2方向異方性を仮定することにより、山と地上の位相の逆転が説明されるという提案があった。

我々は中性子のデータを用いて $\frac{1}{3}$ 日変化(P_3^3)の存在について調べた。Atleo et al. は1964年の中性子のデータでパワースペクトル解析を使って半日変化を確認したが、その際 $\frac{1}{3}$ 日変化についてはふれていない。我々はDeep River の1962-1969年、及びAlert の1965-1969年の中性子データを用いて解析を行った。

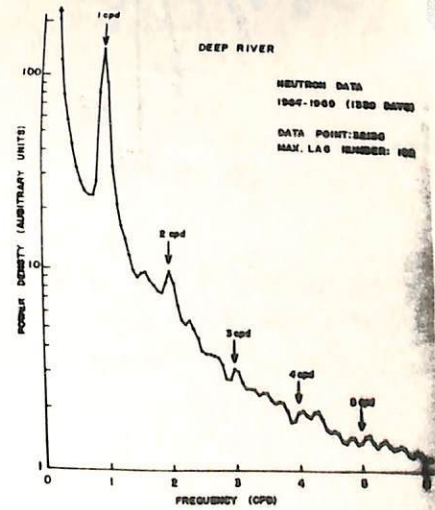
(1) 第1図は $\frac{1}{3}$ 日変化のダイアグラムを示す。この図から $\frac{1}{3}$ 日変化のベクトルが6h方向にのびていることがわかる。この図は P_3^3 が安定に存在していることを示しているとしてよい。

(2) 一方Deep Riverでの1年ごとのパワースペクトルを求め、これを重ね合わせた結果を第2図に示す。1日変化と半日変化に対応する1 cpd と2 cpd に有意なピークが見られる。さらに3 cpd のところにもピークの存在がみられる。Deep River の気圧を使った同様の解析ではパワーは全cpd にわたって平らである。すなわち上記の宇宙線強度の3 cpd の有意なピークは気圧変動によるものではないと思われる。

等方的な成分の寄手をとり除くため、Deep River と Alert の差を使った解析も進めた予定である。



第1図



第2図

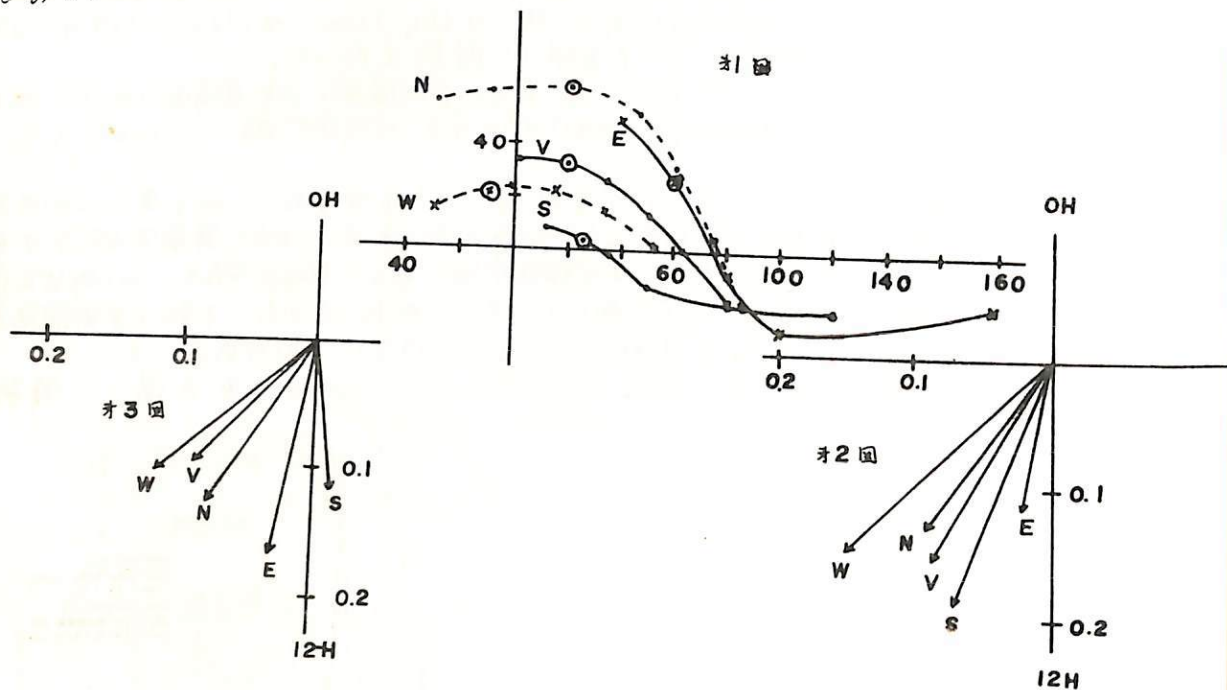
地下 30m.w.e における宇宙線の強度変化

へ之穂匡興** 森 覚* 安江 新一* 豊坂 修二*
信大敬養** 信大理*

1970年6月より地下 30m.w.e において、 $1m^2 \times 4$ のプラスチックシンチレータを 1.6m 離して上下 2段にわいた宇宙線計によつて連続観測を開始した。

第1回は天頂角 32° 方位角 54° (N方向より E方向にとる) における各成分の軌道である。第2回は6月15日～31日、第3回は6月15日～8月31日までのうち49日のデーターを用いた太陽暦日変の解析の結果である。

各成分の位相関係は軌道とよく一致している。その後の観測結果もあわせて述べる予定である。



HF ドップラーによる TID 観測

筒井 樹 小川 故
(京都大学工学部)

HF ドップラーにより TID の観測が出来たので報告する。

電離層の反射面に凹凸があり、それが水平に移動する場合、HF ドップラー観測によると、それとどうぞ事が出来る。第 1 図のように電離層における電波の反射点付近の高さで凹凸が正弦的であるとすると、その水平移動によるドップラー観測は第 2 図のようになる。これとともに電離層自身の運動を求める事が出来る。

今この簡単な正弦的モデルについて適當な近似を行なうと次式のようになる。

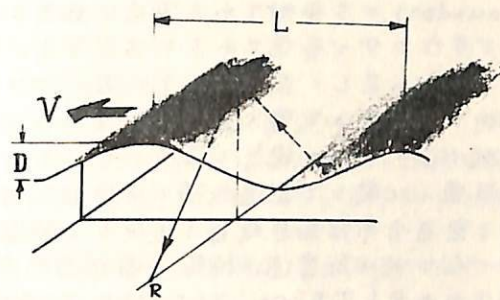
$$D \cong \frac{c T_{\max}}{2\pi} \cdot \frac{|\Delta f_{\max}|}{f_1} \quad \text{---(1)}$$

$$V \cong \left[\frac{c h'}{T + T_{\max}/2} \frac{\Delta f_{\max}}{f_1} \right]^{1/2} \quad \text{---(2)}$$

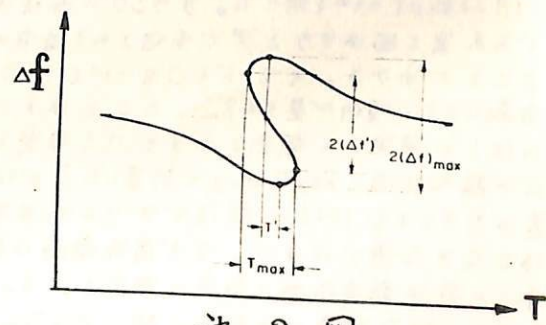
$$L \cong V T_{\max} \quad \text{---(3)}$$

ここで、 D 及び L は正弦的な凹凸とも、た電離層のそれを振幅及び波長であり、 c は真空中の電波の速度、 f_1 は使用周波数を垂直入射に変換した値、 V は電離層の水平移動速度、 h' は Ionogram による電離層の見かけの高さである。

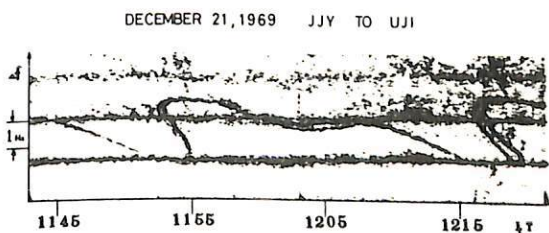
第 3 図は実際の観測した TID の例である。この TID は 9:00 から 16:00 JST まで続いていた。このデータともとて 12:10 JST から始まる S 字カーブ "12711" を計算すると次のようになる。



第 1 図



第 2 図



第 3 図

$$\begin{aligned} h' &= 250 \text{ km} \\ L &= 56 \text{ km} \\ D &= 1.4 \text{ km} \\ V &= 310 \text{ m/sec} \end{aligned}$$

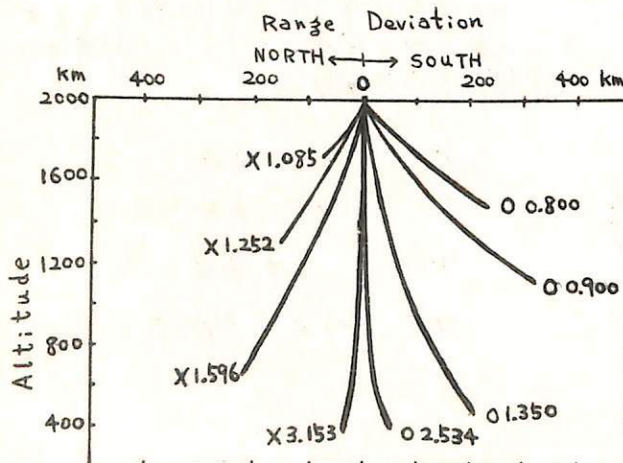
上部電離層での Ray Tracing

中 村 勝
郵政省電波研究所

トップサイド・イオノグラムを解析して上部電離層の電子密度分布($N(h)$ プロファイル)を求める際に反射波は鉛直下方から帰ってくると仮定している。すなもちサウンダ(sounder)から発射された電波は鉛直下方に進んだものが反射され、同じ経路を上方に進んでサウンダで受信されると仮定する。この仮定は磁場がある場合には屈折率が異方性を示すために正しくない。本文においてはアローエット2のトップサイド・イオノグラムを解析して得られた電子密度分布を用いて各モードについての反射経路を計算し、その鉛直伝播からのずれの程度を考察した。またイオノグラムの読み取り値とRay Tracingから求めた計算値を比較して鉛直伝播の仮定の妥当性について検討を行った。Ray Tracingに使用した電子密度分布は鉛直伝播を仮定して読み取り値から得たものであるから鉛直伝播の仮定が妥当でなければ計算値は読み取り値からはずるはずである。電子密度分布は電波研究所から出版された DATA ON TOPSIDE IONOSPHERE Vol. 1 (Electron Densities and Scale Heights from Alouette II Observations over Japan, Oct., Nov., and Dec. 1966) から3例を選んだ。その結果、鉛直伝播の仮定はほぼ妥当であって読み取り値と計算値に大きなずれは無く、さしあたり $N(h)$ 解析に Ray Tracing を考慮する必要がありことが明らかになった。

第1図と第1表は3例のうちの1例についての結果である。電子密度分布は11月8日18時27分22秒UTのものを用いた。サウンダの高度は2008kmでありサウンダ位置での地磁気伏角は38°である。第1図はサウンダで受信される電波の伝播経路である。伝播周波数ほど鉛直からずれることがわかる。XモードとOモードではOモードのほうが幾分鉛直からのずれが大きく、電波は分散しやすい傾向が見られる。このことはトップサイド・イオノグラムにおいてOトレースよりXトレースのほうが安定して観測されるという事実と関係があるようだ。第一表はイオノグラムの読み取り値とRay Tracingで計算して見かけの伝播距離の比較である。観測値と計算値との差は大きても100km程度であり、これは現在のイオノグラムの読み取り精度を考えるとそれほど大きな値ではない。なお屈折率面は磁力線に関して対称であるから地磁気伏角が0°または90°の時は鉛直伝播の仮定は満足される。従って電子密度分布が単純な高士の関数として与えられるような場合には解析の際にRay Tracingを無視しても大きな誤差を生じないことがわかる。

第1図 Ray Path.



第1表 見かけの距離

| Mode | Frequency MHz | Group Delay/2, km observed | calculated |
|------|------------------|-------------------------------|------------|
| O | 1.088 | 2815 | 2885 |
| | 1.192 | 2295 | 2315 |
| | 1.350 | 2015 | 2210 |
| | 1.629 | 1890 | 1925 |
| | 2.534 | 1850 | 1880 |
| | 3.468 | 1960 | 1995 |
| | | | |
| X | 1.000 | 905 | 780 |
| | 1.085 | 1870 | 1750 |
| | 1.252 | 2640 | 2495 |
| | 1.407 | 3010 | 2970 |
| | 1.517 | 3130 | 3055 |
| | 1.596 | 2945 | 3010 |
| | 1.738 | 2505 | 2485 |
| | 1.879 | 2240 | 2375 |
| | 1.998 | 2125 | 2245 |
| | 2.378 | 1960 | 1895 |
| | | | |

VLF ヒスの偏波、入射角について

田中義人

名古屋大学空電研究所

1968年昭和基地で得られた偏波及び入射角記録(偏波ペン書き録: 12, 25 KHz, CRT方式: 5, 12, 25 KHz)を解析した結果、次のことがわかった。

1. 波は右旋且ほ円偏波である。
2. 入射角は余り大きくなく(約數十度)、且高緯度側にづれる。
3. 波のエネルギーの大半はほぼ磁気子午面にそって下降して来る。
4. 偏波ペン書き連続記録。解析結果より見て、異に入射角と夫々独立の位相を持った複数個の波心、右旋且ほ円偏波をなす概して磁気子午面にそって下降して来る、地上で同時に受信されるものと思われる。
5. 地上で反射された波のエネルギーの大半は電離層中に再透過する。従って中、低緯度まで伝播しない。故にオーロラヒスは local phenomenon である。

ホイッスラー波の電離層入射 — ダクトによる
エネルギー集中の一機構 —

荒木 徹
(京大工)

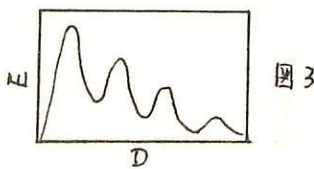
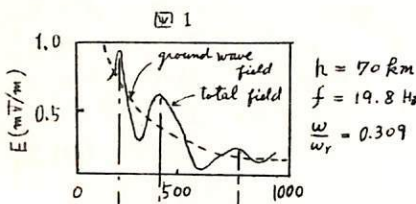
ホイッスラー波は 磁力線に沿って存在する ionization duct 内に confine されて伝わると考えられておりが、これとは別に ホイッスラー波が電離層に入射する際に すでにある程度のエネルギー集中が行なわれる可能性があるのではないかに至りて論ずる。

球面地球と球面電離層と重なる空間での場を考慮する。地表に置かれた垂直電気双極子による電場の垂直方向成分 E_r の地表における値と 距離 D に対するプロットであると図1のようである (J. R. Wait, 1957)。これを 2 次元的に波源の直上から見ると 図2のようだ E_r の強度に応じた同心円の継模様がでてくるはずである。これは 波源から発射される無数の ray の合成によって干渉線にあたる。Wait は 電離層が半方的の場合につれて 地表での場を計算したが、この方法を修正発展させて非等方電離層での場を計算することができる。この時 $E_r - D$ 曲線は 多分図3のようであると思われるが、地球磁場の緯度変化と、VLF 領域での電離層の反射係数が東一面伝播の際に示す non-reciprocal 性質を考慮に入れるとき 干渉線は 図2のようない同心円にまじめられることはない。ゆがんだ形になるであろう。この干渉線は ray tracing によって反射半球に写像でき、反射半球の地表では観測点の位置によく受信電界強度の強弱がでてくるはずである。

この線の位置は周波数によって異なるので、一点で観測した不イッスラー空洞の電界強度は ある特定の周波数で強く、それより遙に強くないなりとはすんでおり 同じホイッスラーを 2 点以上で観測するとこの特定周波数が観測点によく異なっている。

しかし、干渉パターンがでてくるのは 波源から coherent 波が一定時間以上でる = とか必要であり また 雷放電は常に垂直に走るとは限らないので すべてのホイッスラーに上の考え方をあてはめる訳にはいられない。干渉線の位置変化を検出したことは、安定した單一周波数で連続的に発射される人工 VLF 電波の不イッスラー モードを使つのが最適である。

計算方法：一般に 波源からの距離が大きい時に用ひられる Mode Theory は 波源直傍では高次の mode を無視してよいので有効である。また 球面地球と球面電離層との境界条件を入めて球座標で運動方程式を解く Mode Theory は 地球磁場と任意の形でとり入れることはむづかしく困難である。したがって ここでは 多数の ray の重ね合せによって 1 点の場をもめる幾何光学近似を用いて計算を行う。



木イ・スラー波の電離層通過

鶴田 浩一郎
(東大宇宙研)

木イ・スラー波の電離層通過の数値計算の結果がやっと得らぬる
よつに打つてるので今回はその一部を報告する。

今回は計算方法の4つの中の意味で(I) Sharp IT Boundary の
電離層の場合について解析解と数値計算結果の比較
(II) Piteway の使用した電離層モデルでの彼の計算との
比較を報告したい。

イオンを含めた計算は Resonance 基での取扱い方法が未だ
解決出来ていがないので、今回はエレクトロニのみとした。

管平におけるホイッスラー空電観測について

梶 靖夫 奥沢隆志 茂野赳夫 上海 実
電気通信大学

はじめに 電通大管平宇宙電波観測所(地理的経緯度 N $36^{\circ}31'$, E $138^{\circ}19'$, 地磁気緯度 N 26.0°)では、昭和44年2月よりホイッスラー空電の予備観測を開始し、昭和45年1月よりルーチン観測を実施している。本稿では観測装置の概要とこの間に得られたホイッスラー空電の月別発生数および分散値の分布について報告する。

観測装置 受信空中線は高さ20m, 横30mのテルタ型の1ターンループ空中線で、この空中線を東西・南北両方向に張って使用する。空中線からの信号は周囲の人工雑音の除去を考慮したフリアンプで增幅され時間信号を加えて毎時20分と50分より1分20秒間データレコーダに録音される。得られたデータはソナグラフによって周波数解析される。

観測結果 (1)発生頻度 1例として図1に本年1月から3月までのホイッスラーの月別発生数を示す。季節的な発生数の変化は、冬季の1月から2月にかけて最も多く発生し春から夏にかけて激減するが秋になりやや増加する傾向を示す。1日の発生状況については、午前1時頃より日出までおよび日没から2時間ぐらいの間にピークがある。このピークのうち、冬季では後者の方に発生が集中しているが、春から夏にかけて逆に日出前の時間帯の方に発生が集中が移行している。

(2) 分散 図2に1例として1月に発生したホイッスラーについて地方時をパラメータとする分散値の分布を示す。この図より日出前の20(sec²)から日没までに40(sec²)ぐらいまでに増加し、真夜中にならない限り減少していく日変化があることが分る。

また分散には季節変化が存在し、冬季のショートホイッスラーの平均値 $D = 35.0(\text{sec}^2)$ に対し、春・秋季には $D = 40 \sim 50(\text{sec}^2)$ を増加している。冬季のホイッスラーはそのほとんどがショートホイッスラーであるが、夏季には80%以上が $D = 60(\text{sec}^2)$ 以上のロングホイッスラーである。

他の詳細は講演時にゆずる。

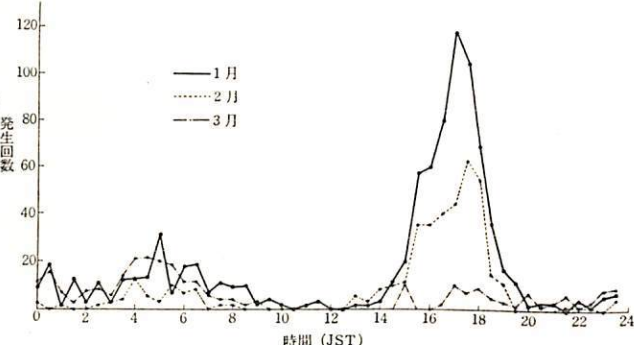
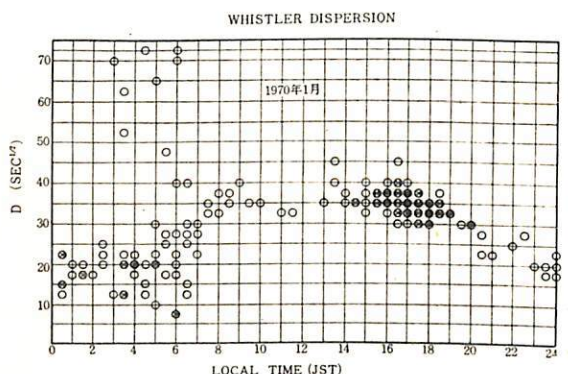


図1 ホイッスラーの月別発生数



(発生回数: ● 9回以上, □ 6~8回, ○ 4~5回, △ 2~3回, ▽ 1回)

図2 分散値の時間別分布

磁気嵐とホイストラーパッゲーション
の関連性について

- Characteristics of Whistler Propagations Associated
with Magnetic Storms on Mar. '70 -

奥沢隆志・山中馨・芳野赳夫(電気通信大学)

From the theoretical grounds, it has long been accepted (Smith et al., 1960, Smith, 1961) that whistlers can be ducted along the field-aligned columns of enhanced ionization. The great possibility has also been pointed out by several experimenters that a considerable number of such ducts may be produced more often in the periods of high magnetic activity. However, any conclusive theory of the duct formation has not yet satisfactorily been established even from morphological basis.

In order to have a possible guide to a theory of the duct formation, four points at least should be clarified from morphological ground. These are : (1) With what time scale are the ducts formed and destructed ? (2) Mainly by which the dispersion can be determined, the magnetospheric electron density or the ionospheric density ? (3) Does the temporal behavior of f_0F2 respond to that of whistler dispersion ? (4) How thick are the ducts ? Using the whistler data at Sugadaira Space Radio Wave Observatory, Univ. Electro-Communications, (geomag. lat., $26.0^{\circ}N$), as well as hourly values of f_0F2 at Kokubunji, during Mar. '70 storms and normal days preceding the storm and following the storm, some answers to these questions are presented by showing several examples in which the growing and the decaying times of the whistler duct are occasionally as short as 30 minutes or less, and an hour or less, respectively. Poor correlation is found between the dispersion and f_0F2 during the moderate and severe storms, indicating that the dispersion is mainly determined by the magnetospheric electron density in the storm periods. A good similarity is also found between the temporal variations (with time scale of an hour) of ΔD , the increment of the dispersion D from averaged diurnal values of D , and that of $\Delta(f_0F2)$, similarly defined quantity of f_0F2 . This seems to provide an evidence that ionospheric density variation at f_0F2 height, with time scale of the order of an hour, does respond to the formation and destruction of the whistler ducts. The effective width of the ducts for 5 KHz are estimated, using the diffuseness of individual whistler traces on sonograms, to be 6 to 27 km in normal quiet days and to range from 7 to 71 km in storm periods, provided that the duration time of return stroke of lightning discharge, as the source of whistler, is taken 500 μ sec.

鎌田 哲夫
名古屋大学空電研究所

K-9M-26観測ロケット実験において親子方式のロケットの開発が成功したので、既知の電波を電離層プラズマ内でやりとりをして受信電波の性質をしらべ電離層プラズマ内で予測され各種プラズマ波のモード、伝播等を把握して、自然離者電波の発生機構や伝播放式等の研究を推進する実験が可能となった。そこで実験の第1段階として電子の結果をうける周波数領域の電波を掃引して電離層内で発射し、之をプラズマを通りて受信するによりプラズマ周波数、プラズマカットオフ周波数、ハイブリッド周波数等の特性周波数現象の検出並びに音強度の測定を試みた。こゝではこの実験結果を報告する。

この実験はK-9M-29号観測ロケットを用いて、1970年1月27日19時20分(JST)に東大内之浦のスペースセンターで実施された。子ロケットは高度75kmで分高速度2.44%secで切断された。親ロケットでは切高1時より約46秒間子ロケットからの送信波を受信した。受信強度は特定の周波数で着るしい減衰を示した。この特定周波数におけるレゾナンス的減衰は電離層プラズマの特性周波数に關係するとの観察から整理し、プラズマ周波数に相等すると見做され吸収周波数から電子密度の高度分布を求め、同時に実施された電子密度の直接測定結果と比較し、オーダーとしておかしくない結果を得たのでこの吸収周波数を一応プラズマ周波数と考えたとき、他の吸収周波数の説明がつかぬものと推定した。之等に関する詳細は学会で報告する。子ロケットからの送信波が受信不能になつた後は、地上からの短波通信が復活されており、この臨界周波数から、その高度での電子密度を算定した。又0.5~5MHz領域での電離層内での音強度の測定結果もえらめた。

Multi-frequency Backscatter による電離層の観測(2)

橋詰庄一郎 德田八郎衛 田中敬史
防衛技術研究センター研究所 飯岡支所

Multi-frequency backscatter (斜入射アイオノゾンデ) による大地後方散乱波の観測においては、常に 10 MHz 程度までの電離層直接反射波が受信されるが、(図1) 今年の7月中旬に行なった連続観測においては、この直接反射波が 30 MHz 以上に及ぶ例が数多く見出された。発射方位はいずれも 270° であり、 $9^\circ, 12^\circ, 15^\circ, 18^\circ, 21^\circ$ JST を観測実施時刻とした。直接反射波に見られる特徴は次の通り。

- (1) $9^\circ, 12^\circ$ には、観測事例の約半数に現われ、1 例だけを除いて、直接反射波が現われた場合には大地後方散乱波が受信されなかったり、受信されてもその最高周波数は 10 MHz 以下に低下する。(図2)
 - (2) 15° においては、8 回の観測事例中 6 回も直接反射波が現われたが、MUF(2000 km) (1500 km) 等の値や大地後方散乱波の分散曲線には著しい変化は見られない。この 6 例中、1 例だけを除いて、(大地後方散乱波の最高周波数) \lesssim (直接反射波の最高周波数) の関係が成り立つ。
 - (3) 18° には 8 回の観測事例中、2 回、 21° には 6 回の事例中、1 回と、直接反射波の出現事例も少なくなり、その出現の有無が大地後方散乱波に及ぼす影響は見出されない。これらの電離層直接反射波は、Spread F, Field Aligned Irregularity による散乱現象とも考えられるが、夜間の出現事例が少ないのは何故か、VHF 带のみならず全短波帯にわたって大地後方散乱波が消滅するのは何故かといふ疑問を Irregularity による散乱効果だけで説明するには難しい。
- 9月には 25 MHz backscatter (回転空中線使用) を併用して連続観測を行なっているが、30 MHz に達する電離層直接反射波が受信されたのは 2 日だけであり、この現象は夏至季に特有のものではないかと思われる。

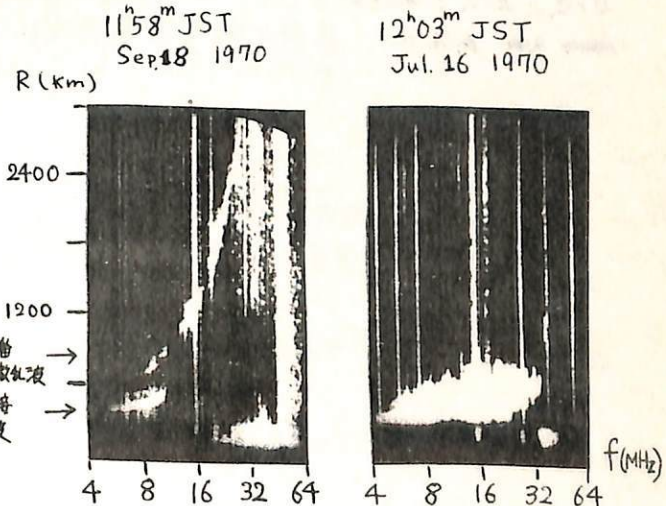


図1 正常な斜入射
アイオノグラム

図2 電離層直接反射波
のみの斜入射アイ
オノグラム

S. I. D 時における VLF 局電波の位相変化

山下享子
名古屋大学 空電研究所

電離層じょう乱時に、VLF 送信局電波の位相が変化する現象を S.P.A とよんでいる。現在まで、位相が進む場合の現象のみ報告されておりだが、最近 大塙氏等により、じょう乱時に位相が遅れる“S.P.A 負効果”的現象が4例報告されている。

ここでは、下図のようないくつかの電離層模型を使い、導波管理論を用いて、じょう乱時にかかる位相変化と減衰係数の関係を調べる。

電離層反射係数の微分方程式

$$\frac{2i}{k_0} \frac{dR}{dz} = C n^2 (1-R)^2 - \frac{1}{C} \left(1 - \frac{S^2}{n^2}\right) (1+R)^2 \quad \cdots \cdots \cdots (1)$$

R : 反射係数

$$S = \sin \theta \quad (\theta: \text{入射角})$$

$$k_0 = \frac{\omega}{C}$$

$$C = \cos \theta$$

$$n = \sqrt{1 - \frac{X}{1-iZ}} \quad ; \text{屈折率} \quad (X = \frac{\omega_p^2}{\omega z} \quad Z = \frac{v}{\omega})$$

モード方程式

$$R \cdot e^{-i2k_0 HC} = e^{-i2\pi N} \quad (N=1) \quad \cdots \cdots \cdots (2)$$

(1)式と(2)式を数値計算して、波動関数、位相項 $e^{-ik_0 S d}$ (d : 伝搬距離) から 1000 km 乃至りの 位相と減衰係数の変化を求めてみた。

\\\\均質電離層\\\\
///不均質電離層///

自由空間

大地

シュー・マニレゾナансと雷活動度について。

田中良和・小川俊雄
京都大学理学部

シュー・マン共振電磁波は主として雷放電により発生していると考えられる。従来の研究では源が單一地点にあるとして取扱われる事が多かったが、今回は源が広がりを持った場合に、垂直電場のみかけの振幅、共振周波数及びQ値の日変化に現われる差異について報告する。ある場所で観測される共振波は下部電離層及び源までの距離の影響を大きく受けるから⁽¹⁾これらを表現出来る適当なモデルを作り計算する必要がある。電離層パラメータを二次元的に考え得る事、源を多点に取れる事を考慮してM.I.T.ゲループの用了いたセクターモデルを採用したので計算法を略記しておく。

1. 経度、緯度について各々24, 18分割してそれらに(I, J)座標を与える。
2. 電離層モデルはMADDEN, THOMPSON⁽²⁾の用いた夜風、緯度で変化する二次元モデルを用い各處で等価インピーダンス Z(I, J), アドミタンス Y(I, J)を求める。
3. 源函数 S(I, J)を毎雷時刻はL.T. 16Hであるとして Thunderstorm day map から求める。⁽³⁾⁽⁴⁾
4. TM0モードの垂直電界は以下の様にして求められる。⁽⁵⁾

$$\begin{aligned} \nabla(V) - YZ R^2 V &= -S - T & \nabla \equiv \frac{\partial}{\partial X} \left((1-X^2) \frac{\partial}{\partial X} \right) + \frac{1}{1-X^2} \frac{\partial^2}{\partial \phi^2} \\ -T &= \frac{1-X^2}{Z} \frac{\partial Z}{\partial X} \frac{\partial V}{\partial X} + \frac{1}{(1-X^2)Z} \frac{\partial Z}{\partial \phi} \frac{\partial V}{\partial \phi} + (YZ - \bar{YZ}) R^2 V \end{aligned}$$

Green函数を導入すると

$$V_{ij} = \iint G_{ij} (S_j + T_{ij}) dX' d\phi'$$

Perturbationを行なって

$$V_{ij}^0 = \iint G_{ij} S_j dX' d\phi'$$

これを用いて

$$-T_{ij}^0 = \frac{1-X^2}{Z_{ij}} \frac{\partial Z}{\partial X} \frac{\partial V_{ij}^0}{\partial X} + \frac{1}{(1-X^2)Z_{ij}} \frac{\partial Z}{\partial \phi} \frac{\partial V_{ij}^0}{\partial \phi} + (YZ_{ij} - \bar{YZ}) R^2 V_{ij}^0$$

$$V_{ij}^1 = \iint G_{ij} (S_j + T_{ij}^0) dX' d\phi'$$

以下同様に計算する事で V を求める事が出来る。

$$G_w(x, \phi; x', \phi') = \sum_{n=0}^{\infty} \frac{2n+1}{4\pi} \frac{P_n(\cos \gamma)}{n(n+1) + YZ R^2}$$

座標は極座標、X; cosθ
γ; 受信点と源点とのなす中心角
R; 地球の半径

$w^2 \approx \sqrt{n(n+1)} \frac{(phase velocity)}{R}$ である。

[参考文献]

D. Jones, D. Kemp Experimental and Theoretical Observations on the Impulse Excitation of Schumann Resonances

T. Madden, W. Thompson Low Frequency Electromagnetic Oscillations of the Earth Ionosphere Cavity, Reviews of Geophysics, 3, 1965
Hand book of Geophysics, Air Force Research Division, Geophysics Research Directorate, MacMillan Co., N.Y., 1960

T. Ogawa. et. Schumann Resonances and Worldwide Thunderstorm Activity, J.G.G., 21, 1969

P. Nelson Ionospheric Perturbations and Schumann Resonance Data, Ph.D. thesis, M.I.T., May 1967

超高度大気現象と大気電場

小川俊雄
京大 理

1. 太陽フレアと大気電場 — 高山における観測

3000 m級の高山ではフレアとともに電場・電流ともに増大し、その影響は数日間続く。これは気柱抵抗の減少によると思われる。

2. オーロラと大気電場 — 極地域または高緯度における観測

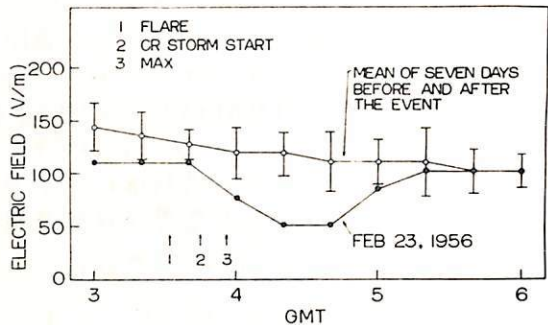
北極または北半球の高緯度地方での観測では、オーロラとともに電場が減少するが、南極では反対に増加する傾向がある。文献から記録例をみると、これらの変動は、上層大気中に突入する電子流と共に先行する70°ロトン流が、空間電荷として地上の大気電場に影響を与えるようになっている。

3. 1956年2月23日の太陽宇宙線異常増加の影響

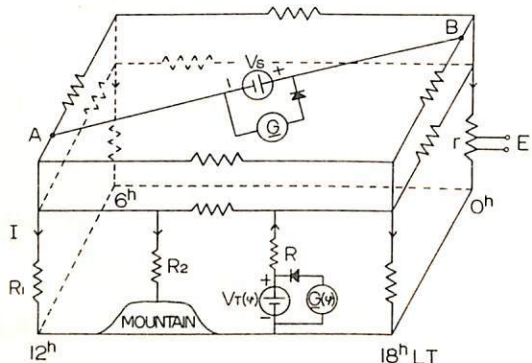
03時32分UTの太陽フレアとともに発生した史上最大の太陽宇宙線異常増加の際、電場に明らかな影響が現われた。オ1図は標高860 mの比叡山頂で観測した結果を、前後7日間の平均静電場と比較したものである。このとき、柿岡・女満別でも同様に、Swider(オーランド)でも同じ傾向が見られる。(Zugspitzeでは2と同じ結果を得ている)この直接の原因は地上の大気伝導度の増加であろう。

4. 電離層電場と大気電場

オ2図は電離層電場と大気電場の関係を示す模型図である。電離層にはダインモト($V \times B$)によって常に一定電圧に保たれている定電圧電源 V_s ($= \int E_s dl$)があると想定される。ここで V は風速の水平成分、 B は地磁気の垂直成分。 E_s は電離層静電場で、ほとんど減衰することなく下層大気中にも渗透してくる。一方、大気中には電離層モード($V_{t(w)}$)によって充電された電流は、 R と発電地域以外の電離層地殻抵抗 R_1, R_2 等を通して放電する。大気電流系の水平方向の電流による電位降下ではなく、発電地域より十分遠いところでの成層圏での水平電場は電離層電流系のものであると考えてよい。地上の大気電場の分布から電離層電場を推定する可能性について検討する。



オ1図 1956年2月23日の太陽宇宙線異常増加にともなう電場の減少



オ2図 電離層電場と大気電場の関係を示す等価回路

南極氷冠表面における電波反射について

芳野赳夫

(電気通信大学 電波物理学研究室)

本研究は著者が、オ3次南極観測隊員(1959)として越冬中、HF帯による海岸沿いの伝搬路(オーロラ帯にほづ並行)における通信の安定度が高いにもかかわらず、大陸の内陸部と昭和基地および大陸横断の伝搬路の通信がほとんど不可能に近い状態であることに気付いた。当初は、この原因は一般にPCAによると考えられていたが、内陸旅行隊からの電波が、一回電離層反射と考えられる時の電界に比較して、二回反射と考えられる距離での損失が急激に増加することから、この原因に雪面反射時の影響が加わっていると考え、本研究をおこなった。

初期のデータにむとづく論文は、すでにIEEE, G-APに採録され、(Yoshino 1967)また、優秀研究アワードを受けていますが、1967~68にかけて南極Byrd基地における氷冠のボーリングによって、当初均一温度分布として取扱っていた氷冠内の温度の、垂直温度分布が明らかになり、先の著者の得た結果に修正を加えた必要が生じた。また、その後におこなわれた氷冠雪氷の誘電特性に関する数多くの測定結果(Jirasek 1967 etc.)をも考慮して修正を加えた結果をこゝに報告する。

最近の測定による氷冠雪氷の誘電特性の垂直分布を図1、垂直温度分布を図2、温度特性を図3、氷冠表面に斜入射する電波の通路を図4に夫々示す。

氷冠表面における電磁波の反射損失はHF帯の垂直入射において約20dBであり、垂直偏波に対するブリュースター角は約50度である。したがって、氷冠表面では電磁波のエネルギーの極く少量が反射し、大部分は氷冠内に侵入する。この侵入波は次第に通路を下に向けて進み、底の岩盤に到達し、一部が反射して上に戻る。このとき電波は氷によって誘電体損失を受けるが、この量は温度に関係し、温度が高くなるにつれて増加する。しかし氷冠内では図2のように底に向かうにつれて温度上昇とともに増加する。若し氷冠の厚さを約2000メートルとするとときは電波の伝搬損失は約140dBとなり実測値とよく一致する。(Robin & Evans 1966)

本研究の結果、氷冠上で2回以上hopした短波はPCA以外に更に大きな損失を雪面反射によって受けたことが明らかになつたばかりでなく、本研究を基に、氷冠上における電波高度計の誤差の解析、電波による氷厚の測定への応用が可能となつた。

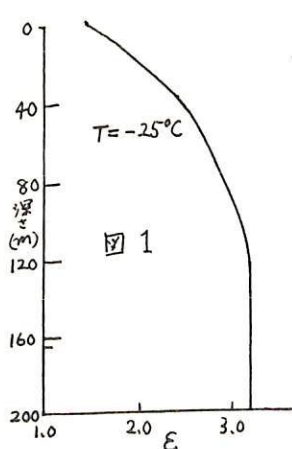


図1
氷冠の垂直温度分布

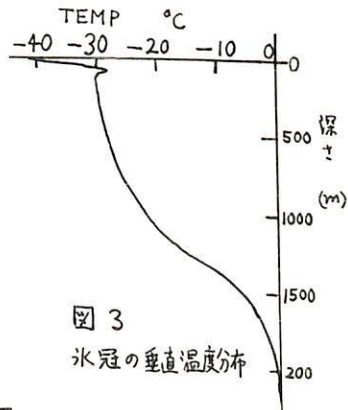


図2
氷冠の垂直温度分布

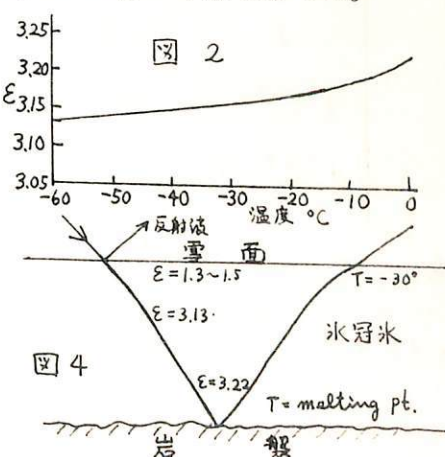


図3

図4

Three-Wave Processによるイオン音波の励起

宮武 貞夫・松本 龍弘・木村 肇根
京大工

電離層プラズマに近いプラズマを発生する大型テエンバー（スペースチエンバー）を用いてプラズマ中の波動現象に関する実験を試みた。（実験の概要については前回の予稿集参照）これらの中特に興味深いのはプラズマ中に印加した高周波電界による位相波の波動励起である。

いま電子と1種類のイオンから成る弱電離プラズマを考え、これに天頂中の外部電場 $E = 2E_0 \cos(\omega_0 t - k_0 z)$ が加わったとき、フーリエ変換された運動方程式は、非線形慣性項を無視すれば S 種の粒子 ($S = e, i$) に関する。

$$j\omega (\tilde{n}_s \tilde{v}_s) + \tilde{v}_s (\tilde{n}_s \tilde{v}_s) - j \frac{k(\tilde{n}_s \times T_s)}{m_s} - \frac{n_0 c_s}{m_s} E - \frac{e_s E_0}{m_s} (\tilde{n}_s^+ + \tilde{n}_s^-) = 0 \quad (1)$$

ここに $(\tilde{n}_s \tilde{v}_s)$, \tilde{n}_s , E はそれぞれ流量、密度、電場の (ω, k) に関するフーリエ変換で、 \tilde{n}_s^+ , \tilde{n}_s^- は密度の $(\omega + \omega_0, k + k_0)$ 及び $(\omega - \omega_0, k - k_0)$ に関するフーリエ変換である。 n_s , m_s , c_s 及び T_s は衝突周波数、質量、電荷及び温度を表す。連続の式及びアッソンの式を用いて上式から $(\tilde{n}_s \tilde{v}_s)$ 及び E を消去すると、

$$(1 + \tilde{\chi}_s) \tilde{n}_s - \tilde{\chi}_s \tilde{n}_{s+\epsilon} - j \frac{E_0 k E_0}{n_0 e_s} \tilde{\chi}_s (\tilde{n}_s^+ + \tilde{n}_s^-) = 0 \quad (2)$$

$$\tilde{\chi}_s = \frac{\pi_s^2}{\omega(\omega + j\tau_s) - k^2 n_s^2 \pi_s^2} \quad (3)$$

ここに π_s 及び λ_s はプラズマ周波数とデバイ長を表す。(2)式は (ω, k) , $(\omega + \omega_0, k + k_0)$ 及び $(\omega - \omega_0, k - k_0)$ に関する方程式でこのままでは解けない。そこで $\omega \ll \omega_0$ として、電子、1イオン共に $\omega \approx 2\omega_0$ には応答せず、さらにイオンは $\omega \approx \omega_0$ にも応答しないとする(2)式から \tilde{n}_e , \tilde{n}_i , \tilde{n}_e^+ 及び \tilde{n}_e^- に関する連立方程式が得られ、これらが non-trivialな解を持つための条件は

$$\begin{vmatrix} 1 + \tilde{\chi}_e & -\tilde{\chi}_e & -j \frac{E_0 k E_0}{n_0 e} \tilde{\chi}_e & -j \frac{E_0 k E_0}{n_0 e} \tilde{\chi}_e \\ -\tilde{\chi}_i & 1 + \tilde{\chi}_i & 0 & 0 \\ j \frac{E_0 k E_0}{n_0 e} \tilde{\chi}_e^+ & 0 & 1 + \tilde{\chi}_e^- & 0 \\ j \frac{E_0 k E_0}{n_0 e} \tilde{\chi}_e^- & 0 & 0 & 1 + \tilde{\chi}_e^+ \end{vmatrix} = 0 \quad (4)$$

(4)式に適当なパラメータを与えると ω は時間と共に増大する解を持つ。これはプラズマ波 (ω_0, k_0) によるプラズマ波 $(\omega - \omega_0, k - k_0)$ とイオン音波 (ω, k) の励起を意味し、スペースチエンバーによる実験結果に対応する解釈の一つと考えられる。

スローテール空電の発生と伝播

岩田晃、石川清治、高木増美
名古屋大学空電研究所

スローテール帯(数10 Hz ~ 1 kHz)の空電が雷放電から発生し、伝播して“くあります”について我々は数年来研究を進めています。今日は昨年の夏に行なった観測結果から、スローテール帯における電波の減衰係数を求めましたので報告いたします。1969年7月26日14時1分38秒に観測された記録であります。電波電界今市観測所から15.4 km の距離で発生した三重雷擊の付地放電であり、今市観測所では3つのステップ状の静電場変化の記録が得られました。一方同時に約1000 km 離れた鹿児島観測所では2ヶ所のスローテール空電が得られました。源よりその距離で受信した電界強度を $E_1(\omega)$ 、 d_2 の距離で受信した電界強度を $E_2(\omega)$ とすると、減衰係数 $\alpha(\omega)$ は次式で与えられる。

$$\alpha(\omega) = [20 \log \frac{E_1(\omega)}{E_2(\omega)} - 10 \log \frac{\sin d_2/a}{\sin d_1/a}] \cdot \frac{10^3}{d_2 - d_1} \quad \dots \dots \quad (1)$$

源より 15.4 km の距離で得た静電場変化を時間につけてスケルプトにて測定するにより、源の近くでの放射電界を求め、更にその振幅周波数スペクトルをフーリエ変換を用いて求めた。一方約1000 km 離れた距離で受信したスローテール空電につきてもその振幅周波数スペクトルを同様にして求めた。この2ヶ所での電界強度から(1)式を用いて減衰係数 $\alpha(\omega)$ を求めた。結果を次表に示す。

| 周波数(Hz) | 100 | 200 | 300 | 400 | 500 | 600 | 700 | 800 | 900 | 1000 | 1100 | 1200 |
|-------------------|------|------|------|------|------|------|------|------|------|------|------|------|
| 減衰係数(db) | 8.8 | 8.4 | 8.6 | 10.3 | 12.7 | 15.3 | 17.6 | 19.5 | 21.8 | 24.9 | 29.6 | 34.3 |
| Chapman & Macario | 1.53 | 4.15 | 7.48 | 11.0 | 14.0 | 17.0 | 19.8 | 22.6 | 25.5 | 27.0 | 28.5 | 29.8 |

Chapman & Macario の実測値も同時に示してある。300 Hz以下の我々の測定値が大きいのは源より 1000 km のスローテール空電が 3 m sec ~ 6 m sec 位の長さしか測定されてないからだとと思われる。400 ~ 1000 Hz の範囲では我々の測定値が小さく、それ以上の周波数では大きくなっている。測定例が少いけれども、放電点から 1000 km 離れた地表でのスローテール空電は雷放電(主として付地放電)の放射電界成分が地球電離層間を伝播して“く間に形成されたものと結論して良いであろう。